

COMMITTENTE:



PROGETTAZIONE:



DIRETTRICE FERROVIARIA MESSINA - CATANIA - PALERMO

NUOVO COLLEGAMENTO PALERMO - CATANIA

U.O. OPERE CIVILI E GESTIONE DELLE VARIANTI

PROGETTO DEFINITIVO

TRATTA CALTANISSETTA XIRBI - NUOVA ENNA (LOTTO 4A)

VI07 - Viadotto ferroviario a Doppio binario

Relazione di calcolo delle Opere Provisionali

SCALA:

-

COMMESSA	LOTTO	FASE	ENTE	TIPO DOC.	OPERA/DISCIPLINA	PROGR.	REV.
RS3U	40	D	09	CL	VI0703	001	B

Rev.	Descrizione	Redatto	Data	Verificato	Data	Approvato	Data	Autorizzato
A	Emissione Esecutiva	G. Grimaldi	Gen. 2020	M.D'effremo	Gen. 2020	A.Barreca	Gen. 2020	A. Vittozzi
B	1° agg. a consegna CSLLPP	G. Grimaldi	Mag. 2020	G.Meneschincheri	Mag. 2020	A.Barreca	Mag. 2020	Mag.

ITALFERR S.p.A.
U.O. Opere Civili e Gestione delle varianti
Dott. Ing. Angelo Vittozzi
Ingegnere della Provincia di Roma
N° A20783

 ITALFERR GRUPPO FERROVIE DELLO STATO ITALIANE	DIRETTRICE FERROVIARIA MESSINA - CATANIA - PALERMO NUOVO COLLEGAMENTO PALERMO - CATANIA PROGETTO DEFINITIVO VI07 - Viadotto ferroviario a Doppio binario					
	<i>Progetto definitivo</i> <i>Relazione di calcolo delle Opere Provvisionali</i>	COMMESSA RS3U	LOTTO 40	CODIFICA D03CL	DOCUMENTO VI0703001	REV. B

INDICE

1.	PREMESSA	6
2.	RIFERIMENTI NORMATIVI	8
3.	CARATTERISTICHE DEI MATERIALI	9
3.1	ACCIAIO	9
3.1.1	Acciaio per armatura strutture in c.a.	9
3.1.2	Profilati e piastre metalliche	9
3.2	CALCESTRUZZO.....	9
3.2.1	Calcestruzzo magro per getti di livellamento	9
3.2.2	Calcestruzzo pali, diaframmi di fondazione, cordoli opere provvisionali	9
4.	DESCRIZIONE DELL'OPERA.....	11
5.	CARATTERIZZAZIONE GEOTECNICA.....	13
5.1	TERRENO.....	13
6.	CRITERI GENERALI DI MODELLAZIONE ADOTTATI	16
6.1	METODOLOGIA DI CALCOLO.....	16
7.	CRITERI GENERALI DI PROGETTAZIONE E VERIFICA AI SENSI DEL D.M. 17-01-2019	19
7.1	METODO AGLI STATI LIMITE ED APPROCCI DI PROGETTO	19
7.2	CRITERI DI ANALISI E VERIFICA DELLE PARATIE.....	23
7.3	MODELLO GEOMETRICO DI RIFERIMENTO.....	24
8.	ANALISI DELLE OPERE PROVVISORIALI	25
8.1	DESCRIZIONE DELLE SEZIONI DI CALCOLO.....	25
8.1.1	Sezione di calcolo per scavi pila P02&P15.....	25
8.1.2	Sezione di calcolo per scavi pila P08	29
8.1.3	Sezione di calcolo per scavi pila P09÷P11	37
8.1.4	Sezione di calcolo per scavi pila P12	45
8.1.5	Sezione di calcolo per scavi pila P13÷P14.....	52
8.1.6	Sezione di calcolo per scavi pila P18	59

 ITALFERR GRUPPO FERROVIE DELLO STATO ITALIANE	DIRETTRICE FERROVIARIA MESSINA - CATANIA - PALERMO NUOVO COLLEGAMENTO PALERMO - CATANIA PROGETTO DEFINITIVO VI07 - Viadotto ferroviario a Doppio binario					
	<i>Progetto definitivo</i> <i>Relazione di calcolo delle Opere Provisionali</i>	COMMESSA RS3U	LOTTO 40	CODIFICA D09CL	DOCUMENTO VI0703001	REV. B

8.1.7	Sezione di calcolo per scavi pila P19÷P21	66
8.1.8	Sezione di calcolo per scavi pila P22÷P25	73
8.1.9	Sezione di calcolo per scavi Spalla SPB	80
9.	RISULTATI E VERIFICHE DELLA PARATIA (PILA P2&P15)	87
9.1	RISULTATI (COMBINAZIONE SLE).....	87
9.2	RISULTATI E VERIFICHE SLU-STR PARATIA (COMBINAZIONE A1+M1+R1).....	88
9.3	VERIFICA SLU-GEO DELLA PARATIA (COMBINAZIONE A2+M2+R1)	91
10.	RISULTATI E VERIFICHE DELLA PARATIA (PILA P8).....	92
10.1	RISULTATI (COMBINAZIONE SLE).....	92
10.2	RISULTATI E VERIFICHE SLU-STR PARATIA (COMBINAZIONE A1+M1+R1).....	93
10.3	RISULTATI E VERIFICHE SLU-STR PER IL SISTEMA DI CONTRASTO(COMBINAZIONE A1+M1+R1)	100
10.4	VERIFICA SLU-GEO DELLA PARATIA (COMBINAZIONE A2+M2+R1)	100
11.	RISULTATI E VERIFICHE DELLA PARATIA (PILA P9÷P11)	102
11.1	RISULTATI (COMBINAZIONE SLE).....	102
11.2	RISULTATI E VERIFICHE SLU-STR PARATIA (COMBINAZIONE A1+M1+R1).....	103
11.3	RISULTATI E VERIFICHE SLU-STR PER IL SISTEMA DI CONTRASTO(COMBINAZIONE A1+M1+R1)	110
11.4	VERIFICA SLU-GEO DELLA PARATIA (COMBINAZIONE A2+M2+R1)	117
12.	RISULTATI E VERIFICHE DELLA PARATIA (PILA P12).....	118
12.1	RISULTATI (COMBINAZIONE SLE).....	118
12.2	RISULTATI E VERIFICHE SLU-STR PARATIA (COMBINAZIONE A1+M1+R1).....	119
12.3	RISULTATI E VERIFICHE SLU-STR PER IL SISTEMA DI CONTRASTO(COMBINAZIONE A1+M1+R1)	122
12.4	VERIFICA SLU-GEO DELLA PARATIA (COMBINAZIONE A2+M2+R1)	122
13.	RISULTATI E VERIFICHE DELLA PARATIA (PILA P13÷P14)	124
13.1	RISULTATI (COMBINAZIONE SLE).....	124
13.2	RISULTATI E VERIFICHE SLU-STR PARATIA (COMBINAZIONE A1+M1+R1).....	125
13.3	RISULTATI E VERIFICHE SLU-STR PER IL SISTEMA DI CONTRASTO(COMBINAZIONE A1+M1+R1)	128
13.4	VERIFICA SLU-GEO DELLA PARATIA (COMBINAZIONE A2+M2+R1)	128

 ITALFERR GRUPPO FERROVIE DELLO STATO ITALIANE	DIRETTRICE FERROVIARIA MESSINA - CATANIA - PALERMO NUOVO COLLEGAMENTO PALERMO - CATANIA PROGETTO DEFINITIVO VI07 - Viadotto ferroviario a Doppio binario					
	<i>Progetto definitivo</i> <i>Relazione di calcolo delle Opere Provisionali</i>	COMMESSA RS3U	LOTTO 40	CODIFICA D09CL	DOCUMENTO VI0703001	REV. B

14.	RISULTATI E VERIFICHE DELLA PARATIA (PILA P18).....	130
14.1	RISULTATI (COMBINAZIONE SLE).....	130
14.2	RISULTATI E VERIFICHE SLU-STR PARATIA (COMBINAZIONE A1+M1+R1).....	131
14.3	RISULTATI E VERIFICHE SLU-STR PER IL SISTEMA DI CONTRASTO(COMBINAZIONE A1+M1+R1)	135
14.4	VERIFICA SLU-GEO DELLA PARATIA (COMBINAZIONE A2+M2+R1)	136
15.	RISULTATI E VERIFICHE DELLA PARATIA (PILA P19÷P21)	137
15.1	RISULTATI (COMBINAZIONE SLE).....	137
15.2	RISULTATI E VERIFICHE SLU-STR PARATIA (COMBINAZIONE A1+M1+R1).....	138
15.3	RISULTATI E VERIFICHE SLU-STR PER IL SISTEMA DI CONTRASTO(COMBINAZIONE A1+M1+R1)	141
15.4	VERIFICA SLU-GEO DELLA PARATIA (COMBINAZIONE A2+M2+R1)	141
16.	RISULTATI E VERIFICHE DELLA PARATIA (PILA P22÷P25)	142
16.1	RISULTATI (COMBINAZIONE SLE).....	142
16.2	RISULTATI E VERIFICHE SLU-STR PARATIA (COMBINAZIONE A1+M1+R1).....	143
16.3	RISULTATI E VERIFICHE SLU-STR PER IL SISTEMA DI CONTRASTO(COMBINAZIONE A1+M1+R1)	146
16.4	VERIFICA SLU-GEO DELLA PARATIA (COMBINAZIONE A2+M2+R1)	153
17.	RISULTATI E VERIFICHE DELLA PARATIA (SPALLA SPB)	154
17.1	RISULTATI (COMBINAZIONE SLE).....	154
17.2	RISULTATI E VERIFICHE SLU-STR PARATIA (COMBINAZIONE A1+M1+R1).....	155
17.3	RISULTATI E VERIFICHE SLU-STR PER IL SISTEMA DI CONTRASTO(COMBINAZIONE A1+M1+R1)	157
17.4	VERIFICA SLU-GEO DELLA PARATIA (COMBINAZIONE A2+M2+R1)	163
18.	VERIFICA SLU – UPL.....	164
18.1	SEZIONE DI CALCOLO PER SCAVI DELLA PILA P2 & P15.....	167
18.2	SEZIONE DI CALCOLO PER SCAVI DELLA PILA P8	168
18.3	SEZIONE DI CALCOLO PER SCAVI DELLA PILA P9 & P11.....	168
18.4	SEZIONE DI CALCOLO PER SCAVI DELLA PILA P12	169
18.5	SEZIONE DI CALCOLO PER SCAVI DELLA PILA P13-P14.....	169
18.6	SEZIONE DI CALCOLO PER SCAVI DELLA PILA P18	170

	DIRETTRICE FERROVIARIA MESSINA - CATANIA - PALERMO NUOVO COLLEGAMENTO PALERMO - CATANIA PROGETTO DEFINITIVO VI07 - Viadotto ferroviario a Doppio binario					
<i>Progetto definitivo</i> <i>Relazione di calcolo delle Opere Provisionali</i>	COMMESSA RS3U	LOTTO 40	CODIFICA D09CL	DOCUMENTO VI0703001	REV. B	FOGLIO 5 di 171

18.7	SEZIONE DI CALCOLO PER SCAVI DELLA PILA P19-P21	170
18.8	SEZIONE DI CALCOLO PER SCAVI DELLA PILA P22-P25	171
18.9	SEZIONE DI CALCOLO PER SCAVI DELLA SPALLA B.....	171

<i>Progetto definitivo</i>	COMMESSA	LOTTO	CODIFICA	DOCUMENTO	REV.	FOGLIO
<i>Relazione di calcolo delle Opere Provvisoriale</i>	RS3U	40	D03CL	VI0703001	B	6 di 171

1. PREMESSA

Il collegamento ferroviario tra Palermo e Catania fa parte del Corridoio n.5 Helsinki – La Valletta della Rete Trans-Europea di trasporto. Tale corridoio si sviluppa nel territorio siciliano secondo la direttrice Messina-Catania-Enna-Palermo, per consentire di servire i principali nodi urbani dell'isola.

La presente relazione generale descrive lo sviluppo della progettazione definitiva relativamente ai viadotti ferroviari presenti nel lotto 4a, relativamente dei lavori riguardanti la prima macrofase funzionale della tratta Caltanissetta Xirbi – Enna. La tratta Caltanissetta Xirbi – Enna (4a) ricompresa tra le stazioni di Caltanissetta X.bi (esclusa) e Enna (esclusa), dal km 0+000 (coincidente con la pk 125+759 della linea storica Palermo Catania) al km 26+700 (coincidente con la pk 157+130 della linea storica Palermo Catania).

Per la realizzazione delle fondazioni si rendono necessarie in alcuni casi opere provvisoriale di contenimento: esse possono essere costituite da palancole metalliche o pali f500/600 puntonate o meno a seconda delle esigenze. Nei casi in cui vengono utilizzati pali, quando la quota falda risulta elevata, si realizza un trattamento colonnare in jetgrouting a tergo della palificata.

Di seguito vengono riepilogati i viadotti presenti sul Lotto 4°:

LINEA DI PROGETTO -LOTTO 4a				
LOTTO	WBS	Tipologia opera	pk. Inizio	pk. Fine
LOTTO 4a	VI02	Viadotto SB	1+289,63	1+387,54
	VI03	Viadotto SB	1+665,56	1+969,07
	VI04	Viadotto SB	2+003,13	2+141,22
	VI05	Viadotto SB	2+920,22	3+479,15
	VI06	Viadotto SB	6+560,87	7+589,25
	VI07	Viadotto DB	11+741,26	12+544,70
	VI51	Viadotto SB - LS	1+292,18	1+390,23
	VI52	Viadotto SB - LS	1+707,20	1+730,00

	DIRETTRICE FERROVIARIA MESSINA - CATANIA - PALERMO NUOVO COLLEGAMENTO PALERMO - CATANIA PROGETTO DEFINITIVO VI07 - Viadotto ferroviario a Doppio binario					
<i>Progetto definitivo</i> <i>Relazione di calcolo delle Opere Provisionali</i>	COMMESSA RS3U	LOTTO 40	CODIFICA D09CL	DOCUMENTO VI0703001	REV. B	FOGLIO 7 di 171

Nel report di calcolo sono espone le metodologie e i risultati delle verifiche geotecnico-strutturali delle opere di sostegno provvisorie necessarie alla realizzazione degli scavi di sbancamento per le fondazioni del viadotto VI07 del lotto 4.

	DIRETTRICE FERROVIARIA MESSINA - CATANIA - PALERMO NUOVO COLLEGAMENTO PALERMO - CATANIA PROGETTO DEFINITIVO VI07 - Viadotto ferroviario a Doppio binario					
<i>Progetto definitivo</i> <i>Relazione di calcolo delle Opere Provisionali</i>	COMMESSA RS3U	LOTTO 40	CODIFICA D09CL	DOCUMENTO VI0703001	REV. B	FOGLIO 8 di 171

2. RIFERIMENTI NORMATIVI

- *Ministero delle Infrastrutture, DM 17 gennaio 2018, Aggiornamento delle «Norme tecniche per le costruzioni».*
- *Circolare 21 Gennaio 2019 n. 7 C.S.LL.PP. (G.U. n. 35 del 11 febbraio 2019) - Istruzioni per l'applicazione dell'«Aggiornamento delle “Norme tecniche per le costruzioni”» di cui al decreto ministeriale 17 gennaio 2018*
- *Istruzione RFI DTC SI PS MA IFS 001 - Manuale di Progettazione delle Opere Civili - Parte II - Sezione 2 - Ponti e Strutture*
- *Istruzione RFI DTC SI CS MA IFS 001 - Manuale di Progettazione delle Opere Civili - Parte II - Sezione 3 - Corpo Stradale*
- *Regolamento (UE) N.1299/2014 della Commissione del 18 Novembre 2014 relativo alle specifiche tecniche di interoperabilità per il sottosistema “infrastruttura” del sistema ferroviario dell'Unione europea modificato dal Regolamento di esecuzione (UE) N° 2019/776 della Commissione del 16 maggio 2019;*

	DIRETTRICE FERROVIARIA MESSINA - CATANIA - PALERMO NUOVO COLLEGAMENTO PALERMO - CATANIA PROGETTO DEFINITIVO VI07 - Viadotto ferroviario a Doppio binario					
	<i>Progetto definitivo</i> <i>Relazione di calcolo delle Opere</i> <i>Provisionali</i>	COMMESSA RS3U	LOTTO 40	CODIFICA D09CL	DOCUMENTO VI0703001	REV. B

3. CARATTERISTICHE DEI MATERIALI

Il progetto strutturale prevede l'uso dei materiali con le caratteristiche meccaniche minime riportate nei paragrafi seguenti.

3.1 Acciaio

3.1.1 Acciaio per armatura strutture in c.a.

Barre ad aderenza migliorata, saldabile, tipo B450C dotato delle seguenti caratteristiche meccaniche:

- tensione caratteristica di rottura: $f_{tk} \geq 540$ MPa
- tensione caratteristica di snervamento: $f_{yk} \geq 450$ MPa
- allungamento caratteristico: ≥ 7.5 %
- rapporto tensione di rottura/ tensione di snervamento: $f_{tk}/f_{yk} < 1.35$

3.1.2 Profilati e piastre metalliche

- Acciaio tipo: EN 10025-S275 JR
- Tensione di rottura a trazione: $f_{tk} \geq 430$ MPa
- Tensione di snervamento: $f_{yk} \geq 275$ MPa

3.2 Calcestruzzo

3.2.1 Calcestruzzo magro per getti di livellamento

- Classe di resistenza: C12/15
- Classe di esposizione: X0

3.2.2 Calcestruzzo pali, diaframmi di fondazione, cordoli opere provvisionali

- Classe di resistenza: C25/30
- classe di esposizione: XC2
- classe di consistenza: S4
- dimensione massima dell'inerte: $D_{max} = 32$ mm

 <p>ITALFERR GRUPPO FERROVIE DELLO STATO ITALIANE</p>	<p>DIRETTRICE FERROVIARIA MESSINA - CATANIA - PALERMO NUOVO COLLEGAMENTO PALERMO - CATANIA PROGETTO DEFINITIVO VI07 - Viadotto ferroviario a Doppio binario</p>					
<p><i>Progetto definitivo</i></p> <p><i>Relazione di calcolo delle Opere Provisionali</i></p>	<p>COMMESSA</p> <p>RS3U</p>	<p>LOTTO</p> <p>40</p>	<p>CODIFICA</p> <p>D09CL</p>	<p>DOCUMENTO</p> <p>VI0703001</p>	<p>REV.</p> <p>B</p>	<p>FOGLIO</p> <p>10 di 171</p>

- copriferro minimo: $C_{f,min} \geq 50 \text{ mm}$

	DIRETTRICE FERROVIARIA MESSINA - CATANIA - PALERMO NUOVO COLLEGAMENTO PALERMO - CATANIA PROGETTO DEFINITIVO VI07 - Viadotto ferroviario a Doppio binario					
	<i>Progetto definitivo</i> <i>Relazione di calcolo delle Opere</i> <i>Provisionali</i>	COMMESSA RS3U	LOTTO 40	CODIFICA D09CL	DOCUMENTO VI0703001	REV. B

4. DESCRIZIONE DELL'OPERA

Il Viadotto VI07 si estende dal km 11741,26 al 12544,7 al km (doppio binario) per uno sviluppo complessivo di circa 803.40 m ed è costituito da 26 campate isostatiche.

Nel dettaglio:

- 21 campate il cui impalcato è costituito da n°4 cassoncini in c.a.p. di luce L=25,00m (asse pila-asse pila) e luce di calcolo Lc=22,80m (asse appoggi-asse appoggi). Le velette esterne portano le passerelle di ispezione.
- 2 campate il cui impalcato è a struttura mista acciaio calcestruzzo ed è costituito da un cassone in acciaio di luce L=50,00m (asse pila-asse pila) e luce di calcolo Lc=48,00m (asse appoggi-asse appoggi), con soletta in c.a. di larghezza pari a 13.70m. Le velette esterne portano le passerelle di ispezione.
- 3 campata il cui impalcato è a struttura mista acciaio calcestruzzo ed è costituito da un cassone in acciaio di luce L=60,00m (asse pila-asse pila) e luce di calcolo Lc=58,00m (asse appoggi-asse appoggi), con soletta in c.a. di larghezza pari a 13.70m. La campata P9-P10 scavalca il Fiume Morello mentre la campata P11-P12 scavalca una ramificazione del fiume Morello. Le velette esterne portano le passerelle di ispezione.

Nel tratto iniziale in sinistra del Viadotto sono previsti i marciapiedi FFP.

Le spalle sono realizzate in c.a. gettato in opera. Le pile sono circolari con diametro pari a 4.50m.

Le fondazioni del Viadotto VI07, sono previste su pali in c.a. di grande diametro per le pile e per le spalle A e B.

<i>Progetto definitivo</i>	COMMESSA	LOTTO	CODIFICA	DOCUMENTO	REV.	FOGLIO
<i>Relazione di calcolo delle Opere Provisionali</i>	RS3U	40	D09CL	VI0703001	B	12 di 171

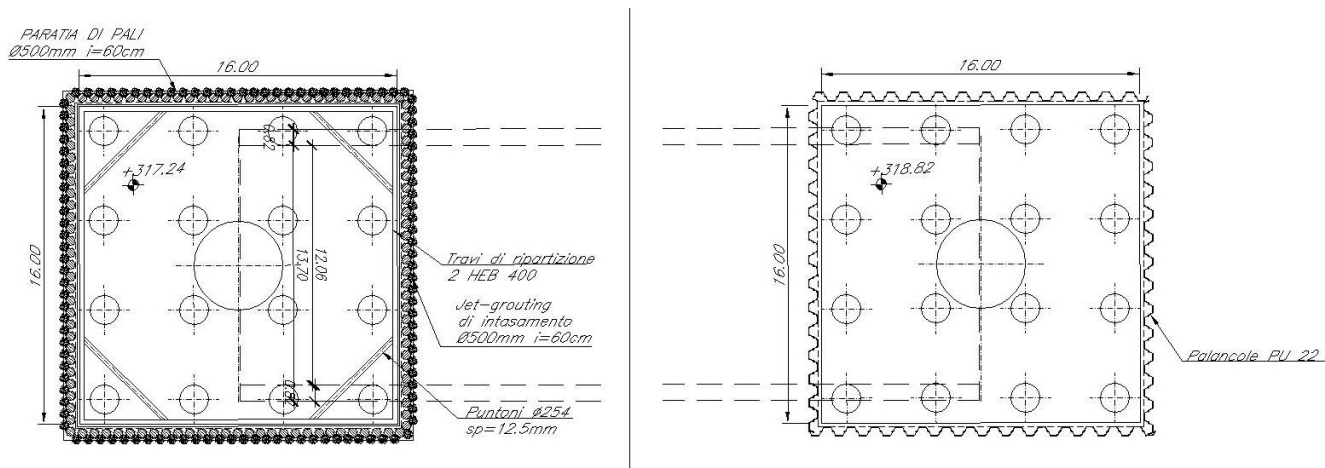


Figura 1: planimetria di scavo tipo con indicazione delle opere di sostegno

	DIRETTRICE FERROVIARIA MESSINA - CATANIA - PALERMO NUOVO COLLEGAMENTO PALERMO - CATANIA PROGETTO DEFINITIVO VI07 - Viadotto ferroviario a Doppio binario					
	<i>Progetto definitivo</i> <i>Relazione di calcolo delle Opere Provisionali</i>	COMMESSA RS3U	LOTTO 40	CODIFICA D09CL	DOCUMENTO VI0703001	REV. B

5. CARATTERIZZAZIONE GEOTECNICA

5.1 Terreno

Per l'inquadramento Geotecnico dell'area interessata dalla realizzazione delle opere ci si è riferiti a quanto indicato nella documentazione Geotecnica Generale di Progetto.

Unità a – alluvione

$\gamma_{nat} = 19.5 \text{ kN/m}^3$	peso di volume naturale
$c' = 0 \text{ kPa}$	coesione drenata
$\phi' = 35^\circ$	angolo di resistenza al taglio
$E_{op} = 25 \text{ MPa}$	modulo di deformazione elastico operativo

Unità a2 – alluvione

$\gamma_{nat} = 20 \text{ kN/m}^3$	peso di volume naturale
$c' = 26 \text{ kPa}$	coesione drenata
$\phi' = 22^\circ$	angolo di resistenza al taglio
$E_{op} = 25 \text{ MPa}$	modulo di deformazione elastico operativo

Unità TRV – Formazione di Terravecchia

$\gamma_{nat} = 20 \text{ kN/m}^3$	peso di volume naturale
$c' = 26 \text{ kPa}$	coesione drenata
$\phi' = 19^\circ$	angolo di resistenza al taglio
$E_{op} = 60 \text{ MPa}$	modulo di deformazione elastico operativo

Nei dimensionamenti delle opere si è considerata la seguente stratigrafia:

	DIRETTRICE FERROVIARIA MESSINA - CATANIA - PALERMO NUOVO COLLEGAMENTO PALERMO - CATANIA PROGETTO DEFINITIVO VI07 - Viadotto ferroviario a Doppio binario					
	<i>Progetto definitivo</i> <i>Relazione di calcolo delle Opere Provisionali</i>	COMMESSA RS3U	LOTTO 40	CODIFICA D09CL	DOCUMENTO VI0703001	REV. B

6. CRITERI GENERALI DI MODELLAZIONE ADOTTATI

6.1 Metodologia di calcolo

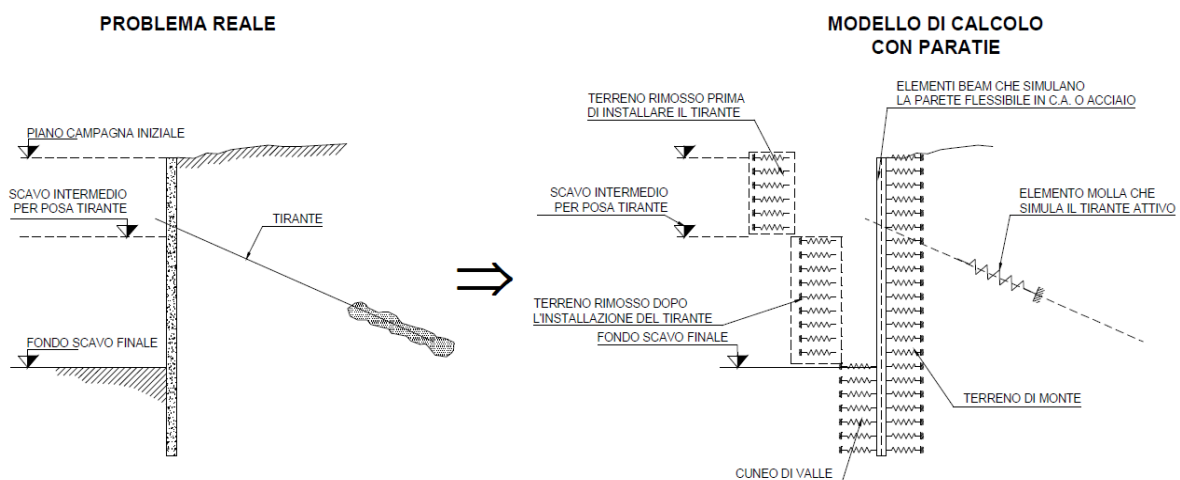
Al fine di rappresentare il comportamento delle paratie durante le varie fasi di lavoro (scavi e/o eventuale inserimento degli elementi di contrasto), è necessario l'impiego di un metodo di calcolo iterativo atto a simulare l'interazione in fase elasto-plastica terreno-paratia.

Lo studio del comportamento di un elemento di paratia inserito nel terreno viene effettuato tenendo conto della deformabilità dell'elemento stesso, considerato in regime elastico, e soggetto alle azioni derivanti dalla spinta dei terreni, dalle eventuali differenze di pressione idrostatiche, dalle spinte dovute ai sovraccarichi esterni e dalla presenza degli elementi di contrasto.

La paratia viene discretizzata con elementi finiti monodimensionali a due gradi di libertà per nodo (spostamento orizzontale e rotazione).

Il terreno viene schematizzato con delle molle secondo un modello elasto-plastico; esso reagisce elasticamente sino a valori limite dello spostamento, raggiunti i quali la reazione corrisponde, a seconda del segno dello stesso spostamento, ai valori limite della pressione attiva o passiva.

Gli spostamenti sono computati a partire dalla situazione di spinta "a riposo".



 ITALFERR GRUPPO FERROVIE DELLO STATO ITALIANE	DIRETTRICE FERROVIARIA MESSINA - CATANIA - PALERMO NUOVO COLLEGAMENTO PALERMO - CATANIA PROGETTO DEFINITIVO VI07 - Viadotto ferroviario a Doppio binario					
	<i>Progetto definitivo</i> <i>Relazione di calcolo delle Opere</i> <i>Provisionali</i>	COMMESSA RS3U	LOTTO 40	CODIFICA D09CL	DOCUMENTO VI0703001	REV. B

Al fine di ottenere informazioni attendibili sull'entità delle sollecitazioni e delle deformazioni nelle paratie è necessario poterne seguire il comportamento durante le principali fasi esecutive.

A tal riguardo, l'interazione fra la paratia e il terreno, è simulata modellando la prima con elementi finiti caratterizzati da una rigidità flessionale ed il secondo con molle elasto-plastiche connesse ai nodi della paratia di rigidità proporzionale al modulo di rigidità del terreno. Inoltre, è possibile modellare eventuali elementi di sostegno della paratia (tiranti, puntoni) con molle dotate di opportuna rigidità.

In particolare, la paratia è schematizzata attraverso un diaframma di spessore equivalente ricavato attraverso la seguente espressione:

$$s_{eq} = \sqrt[3]{12E_m J_p}$$

dove:

E_m : modulo elastico del materiale costituente la paratia

J_p : inerzia della sezione della paratia

Il terreno si comporta come un mezzo elastico sino a che il rapporto tra la tensione orizzontale efficace (σ'_h) e la tensione verticale efficace (σ'_v) risulta compreso tra il coefficiente di spinta attivo (k_a) e passivo (k_p), mentre quando il rapporto è pari a k_a o a k_p il terreno si comporta come un mezzo elasto-plastico.

Questo modello, nella sua semplicità concettuale, derivato direttamente dal modello di Winkler, consente una simulazione del comportamento del terreno adeguata agli scopi progettuali. In particolare, sono superate le limitazioni dei più tradizionali metodi dell'equilibrio limite, non idonei a seguire il comportamento della struttura al variare delle fasi esecutive.

I parametri di deformabilità del terreno compaiono nella definizione della rigidità delle molle. Per un letto di molle distribuite la rigidità di ciascuna di esse, k , è data da:

$$k = E / L$$

dove E è un modulo di rigidità del terreno mentre L è una grandezza geometrica caratteristica.

Poiché nel programma PARATIE le molle sono posizionate a distanze finite Δ , la rigidità di ogni molla è:

$$k = E\Delta / L$$

dove E è un modulo di rigidità del terreno mentre L è una grandezza geometrica caratteristica.

	DIRETTRICE FERROVIARIA MESSINA - CATANIA - PALERMO NUOVO COLLEGAMENTO PALERMO - CATANIA PROGETTO DEFINITIVO VI07 - Viadotto ferroviario a Doppio binario					
	<i>Progetto definitivo</i> <i>Relazione di calcolo delle Opere Provisionali</i>	COMMESSA RS3U	LOTTO 40	CODIFICA D09CL	DOCUMENTO VI0703001	REV. B

Il valore di Δ è fornito dalla schematizzazione ad elementi finiti. Il valore di L è fissato automaticamente dal programma. Esso rappresenta una grandezza caratteristica che è diversa a valle e a monte della paratia perché diversa è la zona di terreno coinvolta dal movimento in zona attiva e passiva. Si è scelto: in zona attiva (uphill):

$$L_A = \frac{2}{3} \ell_A \tan(45^\circ - \phi' / 2)$$

in zona passiva (downhill):

$$L_P = \frac{2}{3} \ell_P \tan(45^\circ + \phi' / 2)$$

Dove: $\ell_A = \min\{l, 2H\}$;

Dove: $\ell_P = \min\{l - H, H\}$

con

l = altezza totale della paratia

H = altezza corrente dello scavo.

La logica di questa scelta è illustrata nella pubblicazione di Becci e Nova (1987). Si assume in ogni caso un valore di H non minore di 1/10 dell'altezza totale della parete.

Il programma consente di seguire le fasi evolutive degli scavi a valle dell'opera, determinando, per ciascuna fase di scavo prevista, la deformata dell'opera e le sollecitazioni e gli stati tensionali nel terreno con essa interagente.

Il software consente di tener conto anche della presenza di vincoli lungo la paratia, sia di tipo elastico (molle /tiranti) che di tipo rigido.

La presenza dei tiranti viene infine schematizzata dal software come dei vincoli elastici, la cui deformabilità dipende dalle caratteristiche della sezione resistente in acciaio dei tiranti e dalla lunghezza libera degli stessi, eventualmente incrementata di una quantità funzione dell'efficienza (≤ 1) associata al bulbo di ancoraggio.

 ITALFERR GRUPPO FERROVIE DELLO STATO ITALIANE	DIRETTRICE FERROVIARIA MESSINA - CATANIA - PALERMO NUOVO COLLEGAMENTO PALERMO - CATANIA PROGETTO DEFINITIVO VI07 - Viadotto ferroviario a Doppio binario					
	<i>Progetto definitivo</i> <i>Relazione di calcolo delle Opere Provisionali</i>	COMMESSA RS3U	LOTTO 40	CODIFICA D09CL	DOCUMENTO VI0703001	REV. B

7. CRITERI GENERALI DI PROGETTAZIONE E VERIFICA AI SENSI DEL D.M. 17-01-2019

Nel presente paragrafo sono riportate alcune indicazioni salienti della Normativa riguardanti criteri generali di progettazione e verifica delle opere strutturali e geotecniche, oltre a specifiche da adottare per il caso delle Paratie di Sostegno.

7.1 Metodo agli Stati Limite ed Approcci di Progetto

Il progetto di opere strutturali e geotecniche va effettuato, come prescritto dal DM 17/01/08, con i criteri del metodo **semiprobabilistico agli stati limite** basati sull'impiego dei coefficienti parziali di sicurezza. Nel metodo semiprobabilistico agli stati limite, la sicurezza strutturale è verificata tramite il confronto tra la resistenza e l'effetto delle azioni. La normativa distingue inoltre tra **Stati Limite Ultimi e Stati Limite di Esercizio**.

La verifica della sicurezza nei riguardi degli **stati limite ultimi** di resistenza è stata effettuata con il "metodo dei coefficienti parziali" di sicurezza espresso dalla equazione formale: $R_d \geq E_d$. Dove:

R_d è la resistenza di progetto

$$R_d = \frac{1}{\gamma_R} R \left[\gamma_F F_k; \frac{X_k}{\gamma_M}; a_d \right]$$

E_d è il valore di progetto dell'effetto delle azioni.

$$E_d = E \left[\gamma_F F_k; \frac{X_k}{\gamma_M}; a_d \right] \quad \text{oppure} \quad E_d = \gamma_E \cdot E \left[F_k; \frac{X_k}{\gamma_M}; a_d \right]$$

Il coefficiente γ_R opera direttamente sulla resistenza del sistema.

I coefficienti parziali di sicurezza, γ_{M_i} e $\gamma_{F_j} = \gamma_{E_j}$, associati rispettivamente al materiale i-esimo e all'azione j-esima, tengono in conto la variabilità delle rispettive grandezze e le incertezze relative alle tolleranze geometriche e all'affidabilità del modello di calcolo.

In accordo a quanto stabilito al §2.6.1 del DM 17.01.18, la verifica della condizione $R_d \geq E_d$ deve essere effettuata impiegando diverse combinazioni di gruppi di coefficienti parziali, rispettivamente definiti per le azioni (A1 e A2), per i parametri geotecnici (M1 e M2) e per le resistenze (R1, R2 e R3). I diversi gruppi di coefficienti di sicurezza parziali sono scelti nell'ambito di due approcci progettuali distinti e alternativi.

Nel primo Approccio progettuale (Approccio I) le verifiche si eseguono con due diverse combinazioni di gruppi di coefficienti ognuna delle quali può essere critica per differenti aspetti dello stesso progetto, convenzionalmente indicate come di seguito:

	DIRETTRICE FERROVIARIA MESSINA - CATANIA - PALERMO NUOVO COLLEGAMENTO PALERMO - CATANIA PROGETTO DEFINITIVO VI07 - Viadotto ferroviario a Doppio binario					
	<i>Progetto definitivo</i> <i>Relazione di calcolo delle Opere Provisionali</i>	COMMESSA RS3U	LOTTO 40	CODIFICA D09CL	DOCUMENTO VI0703001	REV. B

A1+M1+R1

A2+M2+R2

Nel secondo approccio progettuale (**Approccio 2**) le verifiche si eseguono con un'unica combinazione di gruppi di coefficienti

Gli stati limite di verifica si distinguono in genere in:

- **EQU** perdita di equilibrio della struttura fuori terra, considerata come corpo rigido.
- **STR** raggiungimento della resistenza degli elementi strutturali.
- **GEO** raggiungimento della resistenza del terreno interagente con la struttura con sviluppo di meccanismi di collasso dell'insieme terreno-struttura;
- **UPL** perdita di equilibrio della struttura o del terreno, dovuta alla spinta dell'acqua (sollevamento per galleggiamento).
- **HYD** erosione e sifonamento del terreno dovuta ai gradienti idraulici.

I coefficienti parziali da applicare alle azioni sono quelli definiti alla Tab 2.6.I del DM 17.01.18 di seguito riportata per chiarezza espositiva:

Tab. 2.6.I – Coefficienti parziali per le azioni o per l'effetto delle azioni nelle verifiche SLU

		Coefficiente	EQU	A1	A2
		γ_F			
Carichi permanenti G_1	Favorevoli	γ_{G1}	0,9	1,0	1,0
	Sfavorevoli		1,1	1,3	1,0
Carichi permanenti non strutturali $G_2^{(1)}$	Favorevoli	γ_{G2}	0,8	0,8	0,8
	Sfavorevoli		1,5	1,5	1,3
Azioni variabili Q	Favorevoli	γ_Q	0,0	0,0	0,0
	Sfavorevoli		1,5	1,5	1,3

⁽¹⁾ Nel caso in cui l'intensità dei carichi permanenti non strutturali o di una parte di essi (ad es. carichi permanenti portati) sia ben definita in fase di progetto, per detti carichi o per la parte di essi nota si potranno adottare gli stessi coefficienti parziali validi per le azioni permanenti.

Nella Tab. 2.6.I il significato dei simboli è il seguente:

γ_{G1} coefficiente parziale dei carichi permanenti G_1 ;

γ_{G2} coefficiente parziale dei carichi permanenti non strutturali G_2 ;

γ_Q coefficiente parziale delle azioni variabili Q.

Nel caso in cui l'azione sia costituita dalla spinta del terreno, per la scelta dei coefficienti parziali di sicurezza valgono le indicazioni riportate nel Capitolo 6.

I valori dei coefficienti parziali da applicare ai materiali e/o alle caratteristiche dei terreni (M) sono definiti nelle specifiche sezioni della norma, ed in particolare al Cap. 4 per ciò che concerne i coefficienti parziali

 ITALFERR GRUPPO FERROVIE DELLO STATO ITALIANE	DIRETTRICE FERROVIARIA MESSINA - CATANIA - PALERMO NUOVO COLLEGAMENTO PALERMO - CATANIA PROGETTO DEFINITIVO VI07 - Viadotto ferroviario a Doppio binario					
	<i>Progetto definitivo</i> <i>Relazione di calcolo delle Opere</i> <i>Provisionali</i>	COMMESSA RS3U	LOTTO 40	CODIFICA D09CL	DOCUMENTO VI0703001	REV. B

da applicare ai materiali strutturali, mentre al Cap.6 sono indicati quelli da applicare alle caratteristiche meccaniche dei terreni.

I coefficienti parziali da applicare alle resistenze (R) sono infine unitari sulle capacità resistenti degli elementi strutturali, mentre assumono in genere valore diverso da 1 per ciò che concerne verifiche che attengono il controllo di meccanismi di stabilità locale o globale; i valori da adottare per ciascun meccanismo di verifica, sono definiti nelle specifiche sezioni di normativa dedicate al calcolo delle diverse opere geotecniche.

La verifica della sicurezza nei riguardi degli **stati limite di esercizio** viene effettuata invece controllando gli aspetti di funzionalità e lo stato tensionale e/o deformativo delle opere, con riferimento ad una combinazione di verifica caratterizzata da coefficienti parziali sulle azioni e sui materiali tutti unitari.

Al § 2.5.3 del DM 17.01.18, sono infine definiti i criteri con cui le diverse azioni presenti vanno combinate per ciascuno stato limite di verifica previsto dalla Normativa, di seguito riportati per completezza:

2.5.3. COMBINAZIONI DELLE AZIONI

Ai fini delle verifiche degli stati limite, si definiscono le seguenti combinazioni delle azioni.

– Combinazione fondamentale, generalmente impiegata per gli stati limite ultimi (SLU):

$$\gamma_{G1} \cdot G_1 + \gamma_{G2} \cdot G_2 + \gamma_P \cdot P + \gamma_{Q1} \cdot Q_{k1} + \gamma_{Q2} \cdot \psi_{02} \cdot Q_{k2} + \gamma_{Q3} \cdot \psi_{03} \cdot Q_{k3} + \dots \quad [2.5.1]$$

– Combinazione caratteristica, cosiddetta rara, generalmente impiegata per gli stati limite di esercizio (SLE) irreversibili:

$$G_1 + G_2 + P + Q_{k1} + \psi_{02} \cdot Q_{k2} + \psi_{03} \cdot Q_{k3} + \dots \quad [2.5.2]$$

– Combinazione frequente, generalmente impiegata per gli stati limite di esercizio (SLE) reversibili:

$$G_1 + G_2 + P + \psi_{11} \cdot Q_{k1} + \psi_{22} \cdot Q_{k2} + \psi_{23} \cdot Q_{k3} + \dots \quad [2.5.3]$$

– Combinazione quasi permanente (SLE), generalmente impiegata per gli effetti a lungo termine:

$$G_1 + G_2 + P + \psi_{21} \cdot Q_{k1} + \psi_{22} \cdot Q_{k2} + \psi_{23} \cdot Q_{k3} + \dots \quad [2.5.4]$$

– Combinazione sismica, impiegata per gli stati limite ultimi e di esercizio connessi all'azione sismica E:

$$E + G_1 + G_2 + P + \psi_{21} \cdot Q_{k1} + \psi_{22} \cdot Q_{k2} + \dots \quad [2.5.5]$$

– Combinazione eccezionale, impiegata per gli stati limite ultimi connessi alle azioni eccezionali A:

$$G_1 + G_2 + P + A_d + \psi_{21} \cdot Q_{k1} + \psi_{22} \cdot Q_{k2} + \dots \quad [2.5.6]$$

Gli effetti dell'azione sismica saranno valutati tenendo conto delle masse associate ai seguenti carichi gravitazionali:

$$G_1 + G_2 + \sum_j \psi_{2j} Q_{kj} \quad [2.5.7]$$

Nelle combinazioni si intende che vengano omessi i carichi Q_{kj} che danno un contributo favorevole ai fini delle verifiche e, se del caso, i carichi G_n .

Nell'ambito della progettazione geotecnica, la normativa definisce inoltre nella Tab 6.2.II, i valori dei coefficienti parziali M1/M2 da applicare ai parametri caratteristici dei terreni nell'ambito delle diverse combinazioni contemplate dai due approcci di progetto come già illustrati al paragrafo precedente:

 ITALFERR GRUPPO FERROVIE DELLO STATO ITALIANE	DIRETTRICE FERROVIARIA MESSINA - CATANIA - PALERMO NUOVO COLLEGAMENTO PALERMO - CATANIA PROGETTO DEFINITIVO VI07 - Viadotto ferroviario a Doppio binario					
	<i>Progetto definitivo</i> <i>Relazione di calcolo delle Opere Provisionali</i>	COMMESSA RS3U	LOTTO 40	CODIFICA D09CL	DOCUMENTO VI0703001	REV. B

Tab. 6.2.II – Coefficienti parziali per i parametri geotecnici del terreno

Parametro	Grandezza alla quale applicare il coefficiente parziale	Coefficiente parziale γ_M	(M1)	(M2)
Tangente dell'angolo di resistenza al taglio	$\tan \varphi'_k$	γ_φ	1,0	1,25
Coesione efficace	c'_k	γ_c	1,0	1,25
Resistenza non drenata	c_{uk}	γ_{cu}	1,0	1,4
Peso dell'unità di volume	γ_r	γ_γ	1,0	1,0

Tali valori agiscono sulle proprietà dei terreni, condizionando sia le azioni (spinte ed incrementi di spinta), sia le resistenze nei riguardi delle verifiche di stabilità dell'insieme opere-terreno con esse interagenti da effettuare caso per caso in funzione del tipo di opera.(Paratie, Muri, Pali di Fondazione ecc..)

Inoltre, ribadisce i valori dei coefficienti da applicare alle azioni nella Tab 6.2.II di seguito riportata:

Tali valori agiscono sulle proprietà dei terreni, condizionando sia le azioni (spinte ed incrementi di spinta), sia le resistenze nei riguardi delle verifiche di stabilità dell'insieme opere-terreno con esse interagenti da effettuare caso per caso in funzione del tipo di opera.(Paratie, Muri, Pali di Fondazione ecc..). Inoltre, ribadisce i valori dei coefficienti da applicare alle azioni nella Tab 6.2.II di seguito riportata:

Tab. 6.2.I – Coefficienti parziali per le azioni o per l'effetto delle azioni

	Effetto	Coefficiente Parziale γ_F (o γ_E)	EQU	(A1)	(A2)
Carichi permanenti G_1	Favorevole	γ_{G1}	0,9	1,0	1,0
	Sfavorevole		1,1	1,3	1,0
Carichi permanenti $G_2^{(1)}$	Favorevole	γ_{G2}	0,8	0,8	0,8
	Sfavorevole		1,5	1,5	1,3
Azioni variabili Q	Favorevole	γ_Q	0,0	0,0	0,0
	Sfavorevole		1,5	1,5	1,3

⁽¹⁾ Per i carichi permanenti G_2 si applica quanto indicato alla Tabella 2.6.I. Per la spinta delle terre si fa riferimento ai coefficienti γ_{G1}

	DIRETTRICE FERROVIARIA MESSINA - CATANIA - PALERMO NUOVO COLLEGAMENTO PALERMO - CATANIA PROGETTO DEFINITIVO VI07 - Viadotto ferroviario a Doppio binario					
	<i>Progetto definitivo</i> <i>Relazione di calcolo delle Opere Provisionali</i>	COMMESSA RS3U	LOTTO 40	CODIFICA D09CL	DOCUMENTO VI0703001	REV. B

7.2 Criteri di Analisi e Verifica delle Paratie

Per le paratie, al § 6.5.3.1.2 del DM 17.01.18 viene specificato che si devono considerare almeno i seguenti **Stati Limite Ultimi**, accertando che la condizione $R_d \geq E_d$ sia soddisfatta per ogni stato limite considerato:

SLU di tipo geotecnica (GEO) e di tipo idraulico (UPL e HYD)

- collasso per rotazione intorno a un punto dell'opera (atto di moto rigido);
- collasso per carico limite verticale;
- sfilamento di uno o più ancoraggi;
- instabilità del fondo scavo in terreni a grana fine in condizioni non drenate;
- instabilità del fondo scavo per sollevamento;
- sifonamento del fondo scavo;
- instabilità globale del complesso opera di sostegno-terreno;

SLU di tipo strutturale (STR)

- raggiungimento della resistenza in uno o più ancoraggi;
- raggiungimento della resistenza in uno o più puntoni o di sistemi di contrasto;
- raggiungimento della resistenza strutturale della paratia.

Per le paratie, i calcoli di progetto devono comprendere la verifica degli eventuali ancoraggi, puntoni o strutture di controventamento.

Con riferimento infine agli **Stati Limite di Esercizio**, bisogna controllare che gli spostamenti dell'opera di sostegno e del terreno circostante siano compatibili con la funzionalità dell'opera e con la sicurezza e funzionalità di eventuali manufatti adiacenti, oltre che verificare, nei riguardi degli aspetti strutturali, la compatibilità degli stati tensionali dei materiali costituenti l'opera.

In aggiunta a quanto sopra, al § C6.5.3.1.2 della Circolare Applicativa n 7 del 21 gennaio 2019 viene inoltre specificato quanto segue:

Nelle verifiche nei confronti di stati limite ultimi geotecnici delle paratie, si considera lo sviluppo di meccanismi di collasso determinati dalla mobilitazione della resistenza del terreno ed eventualmente della struttura e, specificamente, dal raggiungimento delle condizioni di equilibrio limite nel terreno

	DIRETTRICE FERROVIARIA MESSINA - CATANIA - PALERMO NUOVO COLLEGAMENTO PALERMO - CATANIA PROGETTO DEFINITIVO VI07 - Viadotto ferroviario a Doppio binario					
	<i>Progetto definitivo</i> <i>Relazione di calcolo delle Opere Provisionali</i>	COMMESSA RS3U	LOTTO 40	CODIFICA D09CL	DOCUMENTO VI0703001	REV. B

interagente con la paratia o con parte di essa. Le analisi devono essere condotte con la Combinazione 2 (A2+M2+R1),

Nelle verifiche nei confronti di stati limite per raggiungimento della resistenza negli elementi strutturali l'analisi deve essere svolta utilizzando la Combinazione I (A1+M1+R1), nella quale i coefficienti sui parametri di resistenza del terreno (M1) e sulla resistenza globale del sistema (R1) sono unitari, mentre le azioni permanenti e variabili sono amplificate mediante i coefficienti parziali del gruppo A1.

In relazione a tali specifiche integrative contenute nella Circolare Applicativa, ciascuno degli Stati Limite di verifica previsti per le Paratie, è stato esaminato riferendosi alla Combinazioni 1 per il caso deli Stati Limite STR ed alla Combinazione 2 per gli Stati Limite (GEO) e di tipo idraulico (UPL e HYD)

7.3 Modello geometrico di riferimento

Secondo quanto indicato al paragrafo 6.5.2.2 delle NTC2018, il modello geometrico deve tenere conto delle possibili variazioni del profilo del terreno a monte e a valle del paramento rispetto ai valori nominali. Nel caso in cui la funzione di sostegno è affidata alla resistenza del volume di terreno a valle dell'opera, la quota di valle deve essere diminuita di una quantità pari al minore dei seguenti valori:

- 10% dell'altezza di terreno da sostenere nel caso di opere a sbalzo;
- 10 % della differenza di quota fra il livello inferiore di vincolo e il fondo scavo nel caso di opere vincolate;
- 0,50 m.

Cautelativamente in fase di analisi la quota di fondo scavo è stata incrementata di 0.50 m.

Il suddetto paragrafo non si applica per le verifiche idrauliche.

 ITALFERR GRUPPO FERROVIE DELLO STATO ITALIANE	DIRETTRICE FERROVIARIA MESSINA - CATANIA - PALERMO NUOVO COLLEGAMENTO PALERMO - CATANIA PROGETTO DEFINITIVO VI07 - Viadotto ferroviario a Doppio binario					
	<i>Progetto definitivo</i> <i>Relazione di calcolo delle Opere</i> <i>Provisionali</i>	COMMESSA RS3U	LOTTO 40	CODIFICA D09CL	DOCUMENTO VI0703001	REV. B

8. ANALISI DELLE OPERE PROVVISORIALI

8.1 Descrizione delle sezioni di calcolo

Nel presente paragrafo sono riportate alcune indicazioni salienti della Normativa riguardanti criteri generali.

8.1.1 Sezione di calcolo per scavi pila P02&P15

Paratia di palancole.:

- PU22 profilo palanca
- L = 13.0 m lunghezza paratia

GEOMETRIA SEZIONI DI CALCOLO

La massima altezza di scavo è di 5.50 m. Tale valore è stato incrementato rispetto a quello nominale di 0.5 m.

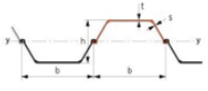
Nel calcolo si è tenuto conto del carico accidentale dovuto ai mezzi di cantiere $q_{acc} = 10$ kPa uniformemente distribuito su un'area di impronta di 5.0 m posto in prossimità dell'estradosso della paratia. Tale sovraccarico è stato considerato diffuso in profondità con un angolo di 45°.

La distribuzione delle pressioni interstiziali sulla paratia è stata considerata idrostatica con valori raccordati al piede della stessa in ogni fase di calcolo.

Altezza fuori terra	6.0	[m]
Profondità di infissione	7.0	[m]
Altezza totale della paratia	13.0	[m]

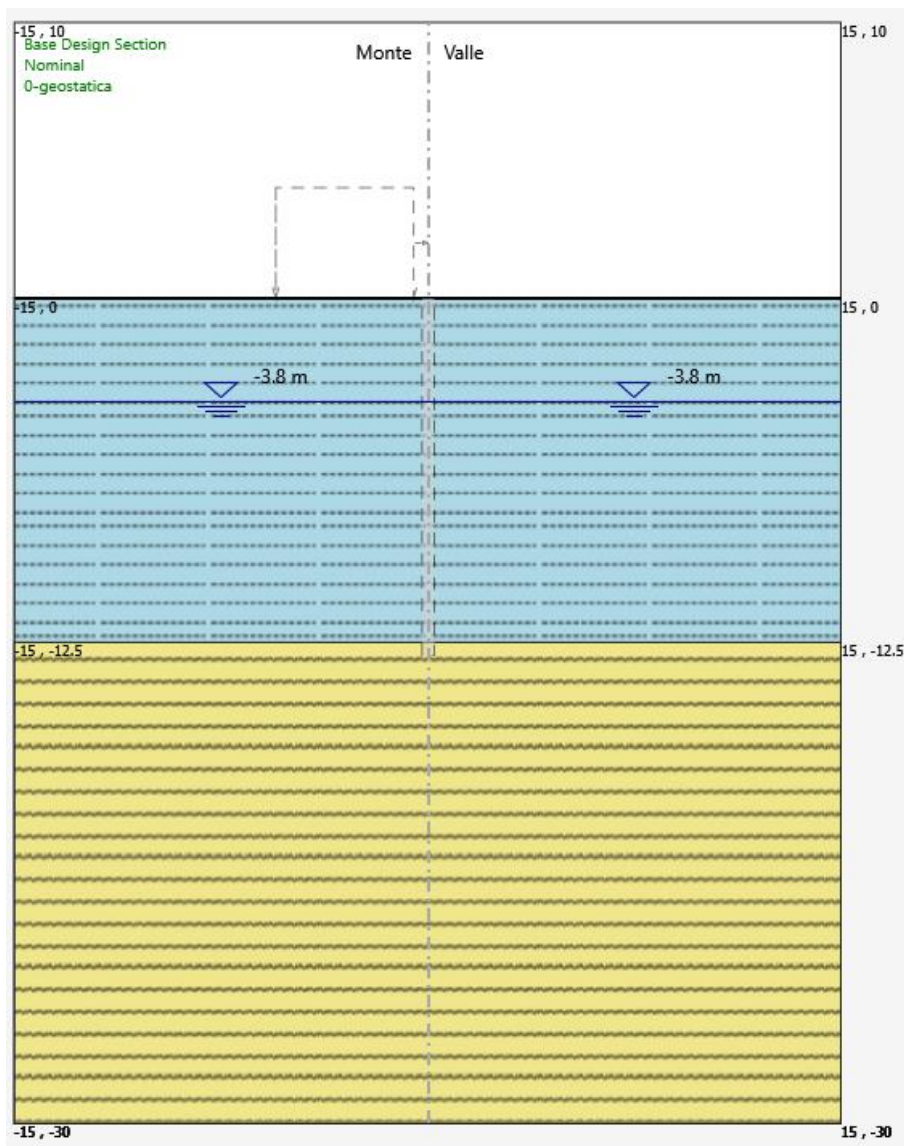
Palancole

Profilo	PU_22		Catalogo Palancole	
Materiale	S275			
Tipo	U	β_a		0.6
Peso per superficie unitaria di parete		1.4082	β_o	0.4
B	0.6	m	l_x	0.0005
H	0.45	m	Wel	0.0022
				m ³ /m



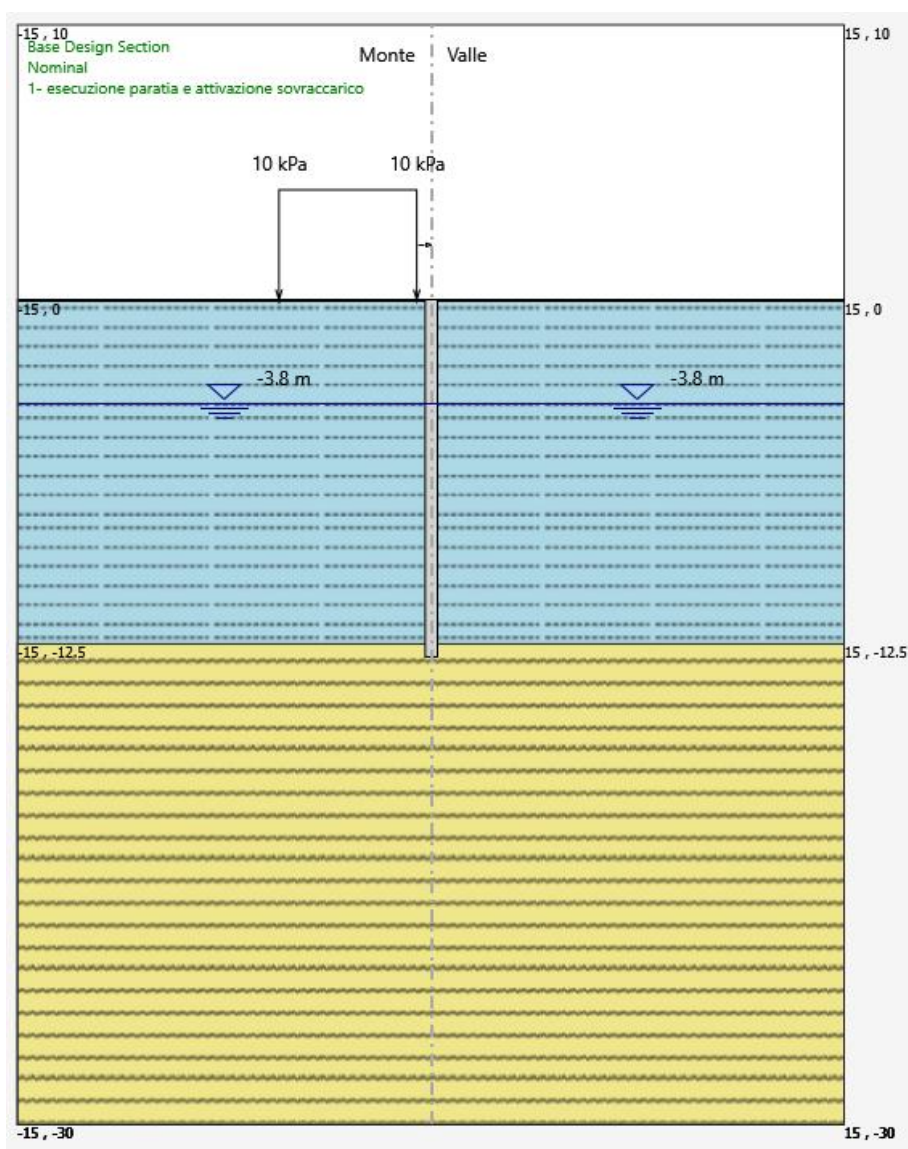
<i>Progetto definitivo</i>	COMMESSA	LOTTO	CODIFICA	DOCUMENTO	REV.	FOGLIO
<i>Relazione di calcolo delle Opere Provisionali</i>	RS3U	40	D03CL	VI0703001	B	26 di 171

FASE 0: Generazione stato tensionale iniziale



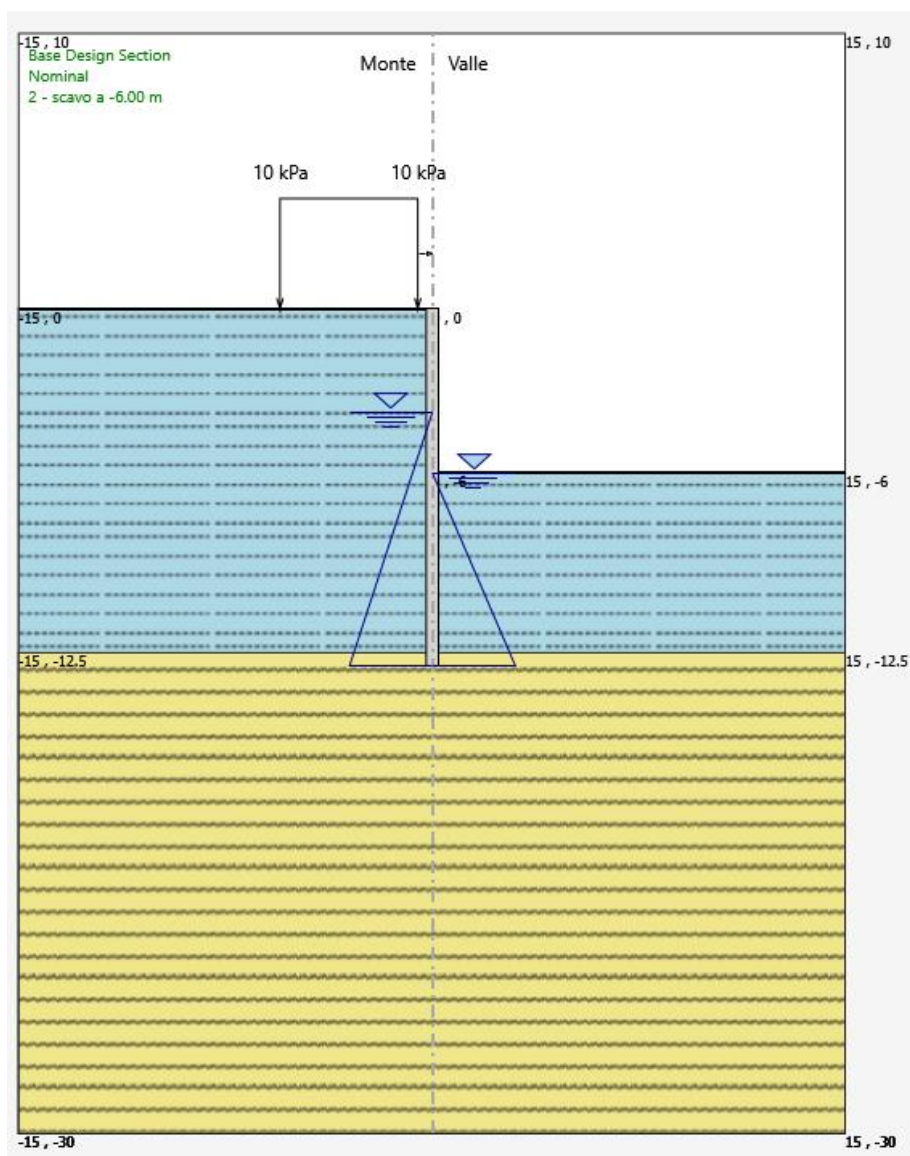
<i>Progetto definitivo</i>	COMMESSA	LOTTO	CODIFICA	DOCUMENTO	REV.	FOGLIO
<i>Relazione di calcolo delle Opere Provisionali</i>	RS3U	40	D09CL	VI0703001	B	27 di 171

FASE 1: Esecuzione della paratia e attivazione dei sovraccarichi



<i>Progetto definitivo</i>	COMMESSA	LOTTO	CODIFICA	DOCUMENTO	REV.	FOGLIO
<i>Relazione di calcolo delle Opere Provisionali</i>	RS3U	40	D09CL	VI0703001	B	28 di 171

FASE 2: Scavo fino ad una profondità di 6.0 m dal p.c



	DIRETTRICE FERROVIARIA MESSINA - CATANIA - PALERMO NUOVO COLLEGAMENTO PALERMO - CATANIA PROGETTO DEFINITIVO VI07 - Viadotto ferroviario a Doppio binario					
	<i>Progetto definitivo</i> <i>Relazione di calcolo delle Opere Provisionali</i>	COMMESSA RS3U	LOTTO 40	CODIFICA D09CL	DOCUMENTO VI0703001	REV. B

8.1.2 Sezione di calcolo per scavi pila P08

Paratia di pali in c.a.:

- $D_p = 500$ mm diametro di perforazione
- $i = 0.60$ m interasse longitudinale tra i pali
- $L = 18.0$ m lunghezza del palo

Travi di ripartizione: 2xHEB400

Sistema di puntoni (sezioni circolari cave in acciaio S275)

- tubolare cavi $\varnothing = 254$ mm
- Spessore= 20.0 mm
- Inclinazione= 45°

GEOMETRIA SEZIONI DI CALCOLO

La massima altezza di scavo è di 6.50 m. Tale valore è stato incrementato rispetto a quello nominale di 0.5 m.

Nel calcolo si è tenuto conto del carico accidentale dovuto ai mezzi di cantiere $q_{acc} = 10$ kPa uniformemente distribuito su un'area di impronta di 5.0 m posto in prossimità dell'estradosso della paratia. Tale sovraccarico è stato considerato diffuso in profondità con un angolo di 45°.

La distribuzione delle pressioni interstiziali sulla paratia è stata considerata idrostatica con valori raccordati al piede della stessa in ogni fase di calcolo.

Altezza fuori terra	7.0	[m]
Profondità di infissione	11.0	[m]
Altezza totale della paratia	18.0	[m]
Numero di file di pali	1	[m]
Interasse fra i pali della fila	0.60	[m]

	DIRETTRICE FERROVIARIA MESSINA - CATANIA - PALERMO NUOVO COLLEGAMENTO PALERMO - CATANIA PROGETTO DEFINITIVO VI07 - Viadotto ferroviario a Doppio binario					
<i>Progetto definitivo</i> <i>Relazione di calcolo delle Opere Provisionali</i>	COMMESSA RS3U	LOTTO 40	CODIFICA D09CL	DOCUMENTO VI0703001	REV. B	FOGLIO 31 di 171

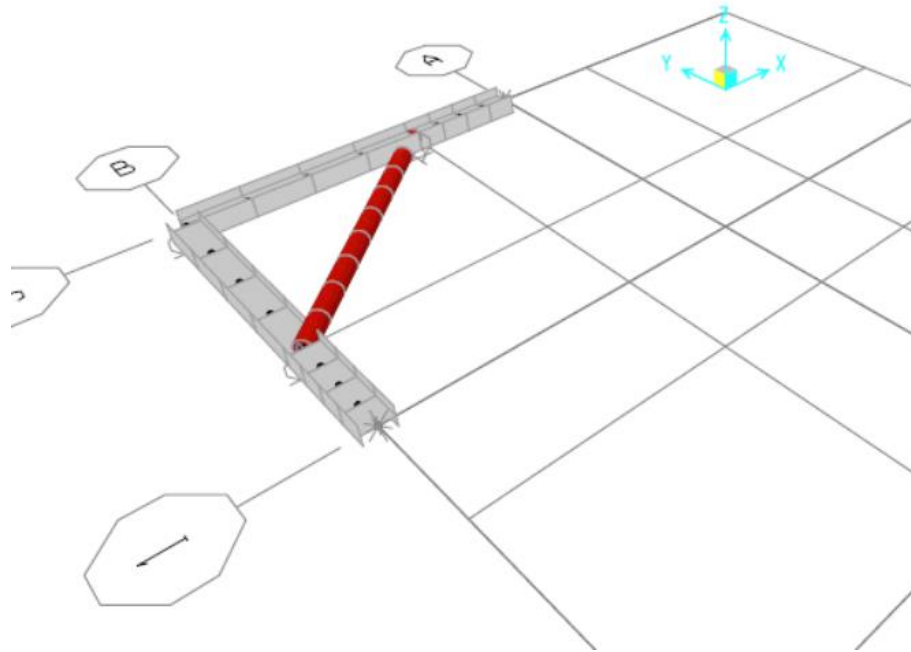
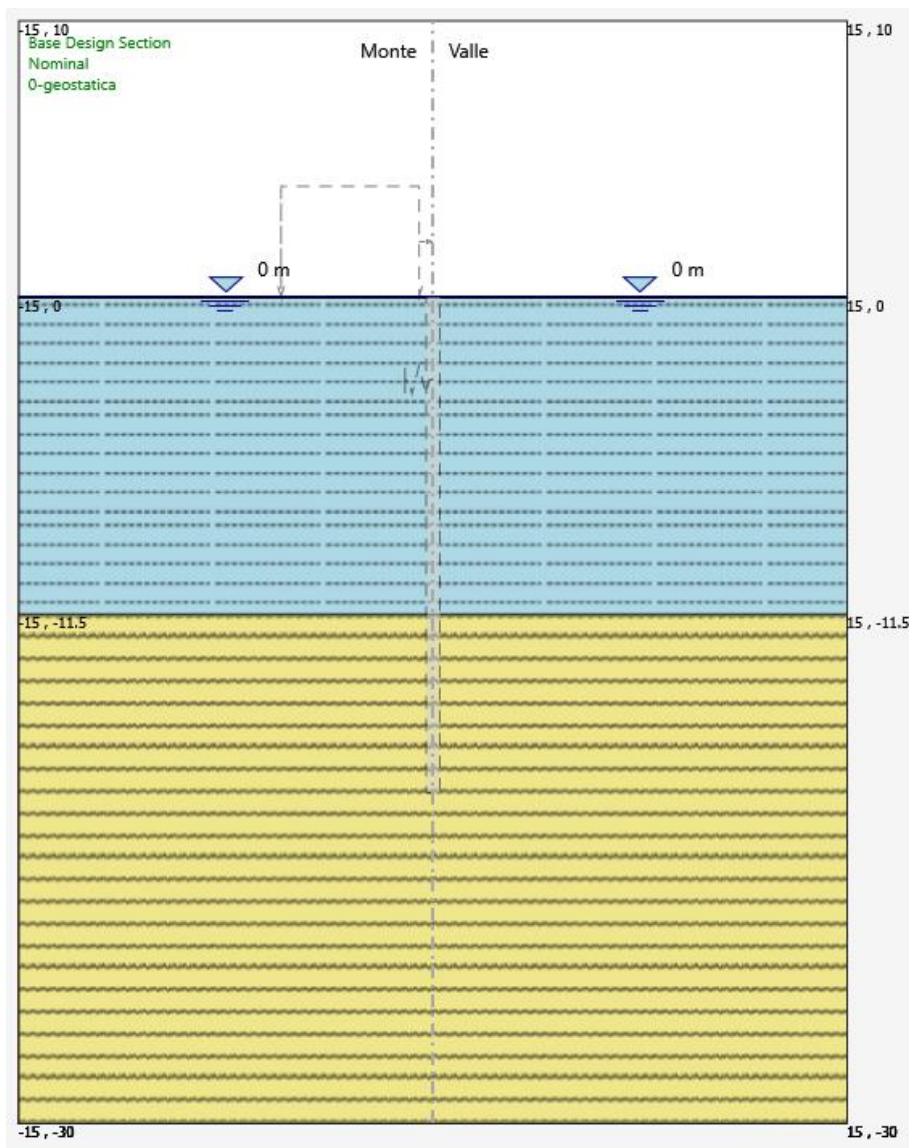


Figura 2: schema statico utilizzato nel codice di calcolo SAP2000 per la valutazione della rigidezza da assegnare al sistema di controventamento della paratia

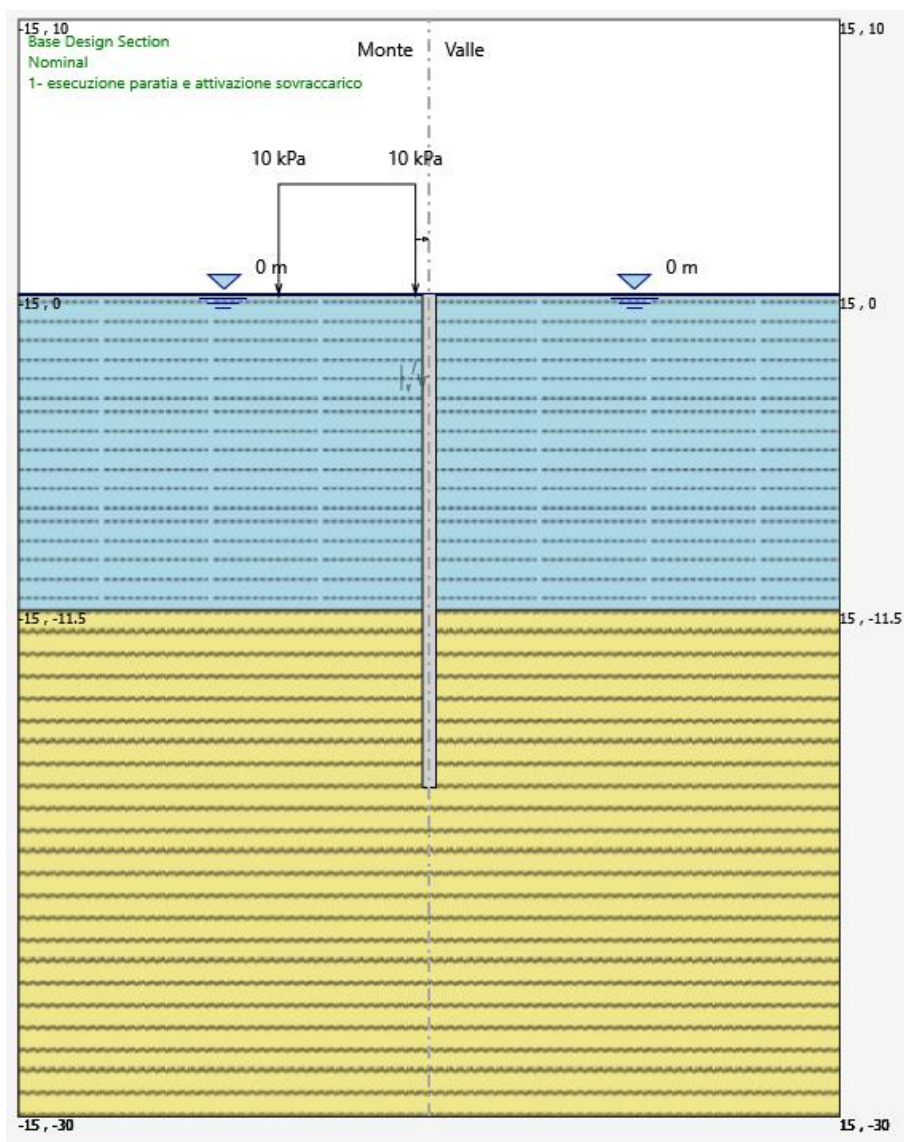
<i>Progetto definitivo</i>	COMMESSA	LOTTO	CODIFICA	DOCUMENTO	REV.	FOGLIO
<i>Relazione di calcolo delle Opere Provisionali</i>	RS3U	40	D03CL	VI0703001	B	32 di 171

FASE 0: Generazione stato tensionale iniziale



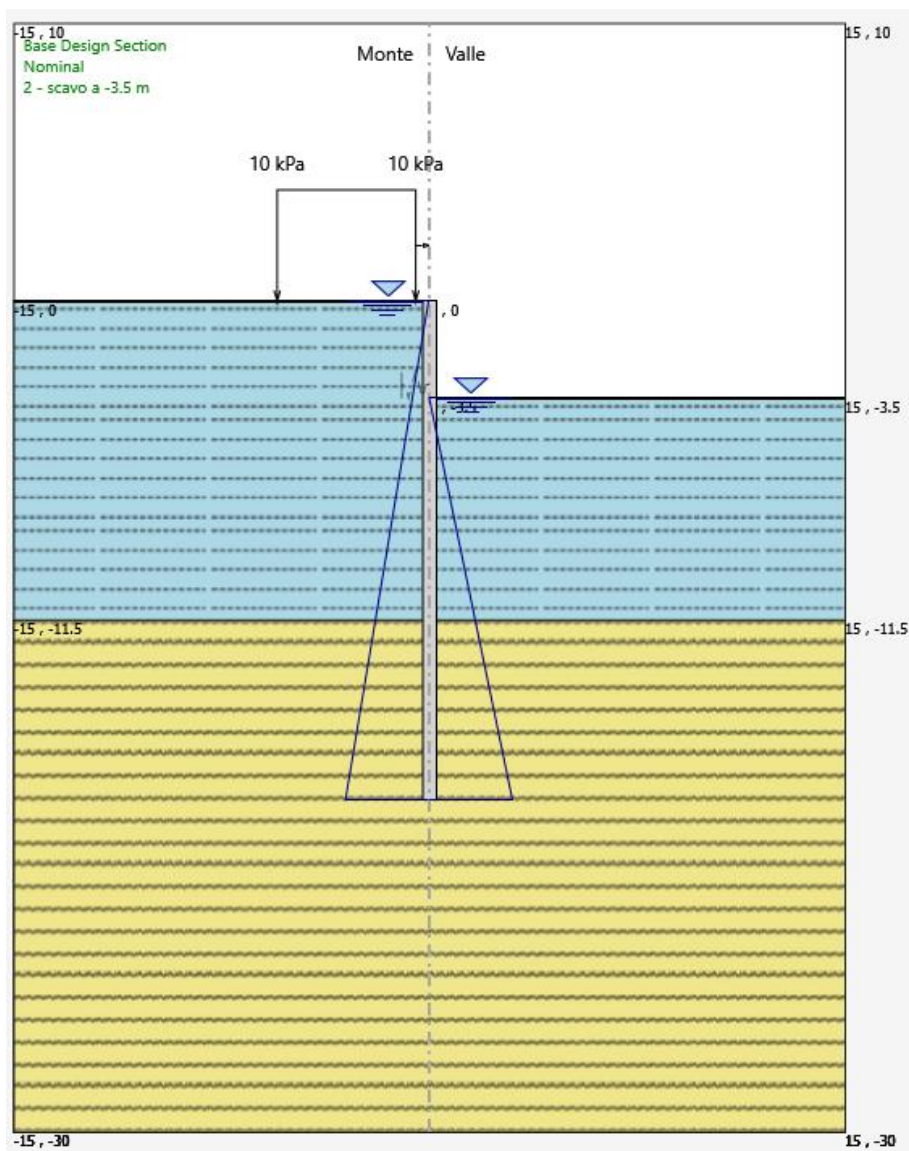
<i>Progetto definitivo</i>	COMMESSA	LOTTO	CODIFICA	DOCUMENTO	REV.	FOGLIO
<i>Relazione di calcolo delle Opere Provisionali</i>	RS3U	40	D09CL	VI0703001	B	33 di 171

FASE 1: Esecuzione della paratia e attivazione dei sovraccarichi



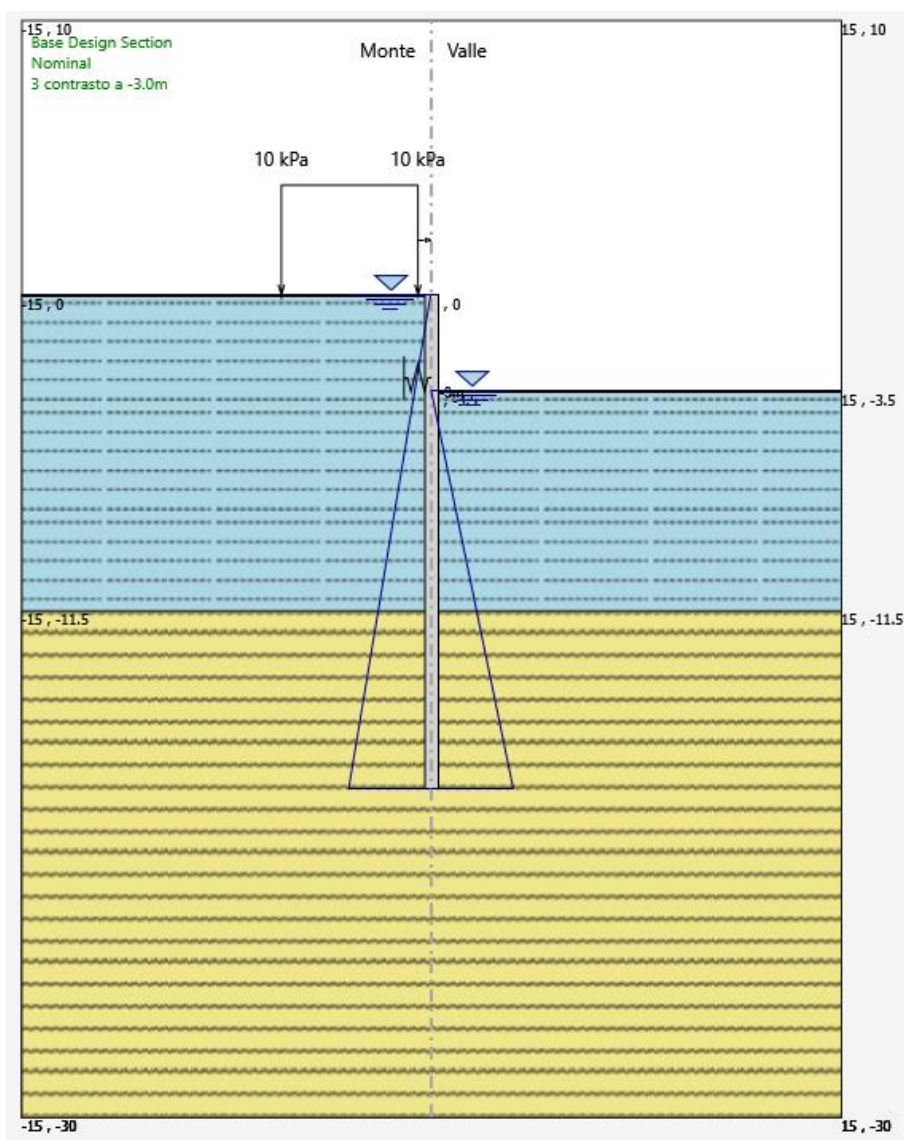
<i>Progetto definitivo</i>	COMMESSA	LOTTO	CODIFICA	DOCUMENTO	REV.	FOGLIO
<i>Relazione di calcolo delle Opere Provisionali</i>	RS3U	40	D09CL	VI0703001	B	34 di 171

FASE 2: Scavo fino ad una profondità di 3.5 m dal p.c



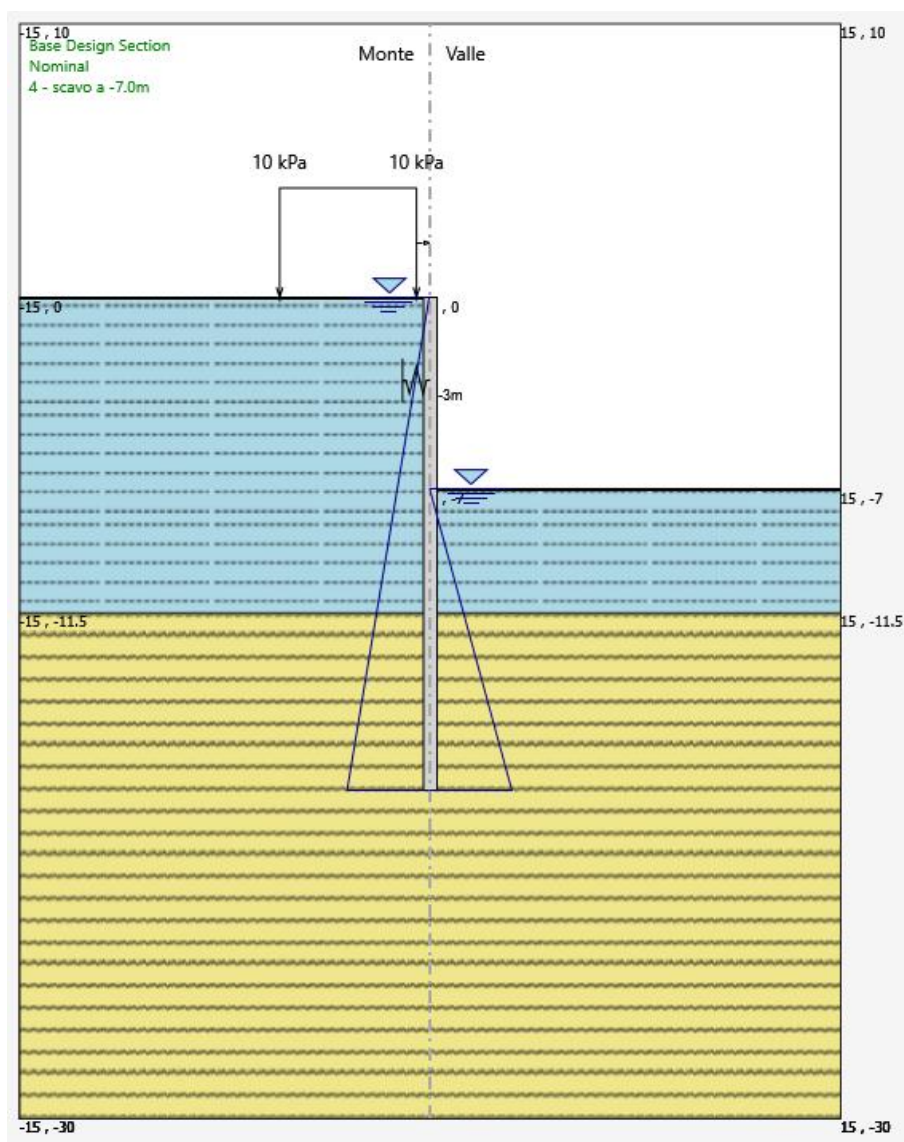
<i>Progetto definitivo</i>	COMMESSA	LOTTO	CODIFICA	DOCUMENTO	REV.	FOGLIO
<i>Relazione di calcolo delle Opere Provisionali</i>	RS3U	40	D09CL	VI0703001	B	35 di 171

FASE 3: Contrasto ad una profondità di 3.0 m dal p.c



<i>Progetto definitivo</i>	COMMESSA	LOTTO	CODIFICA	DOCUMENTO	REV.	FOGLIO
<i>Relazione di calcolo delle Opere Provisionali</i>	RS3U	40	D09CL	VI0703001	B	36 di 171

FASE 4: Scavo fino ad una profondità di 7.0 m dal p.c



	DIRETTRICE FERROVIARIA MESSINA - CATANIA - PALERMO NUOVO COLLEGAMENTO PALERMO - CATANIA PROGETTO DEFINITIVO VI07 - Viadotto ferroviario a Doppio binario					
	<i>Progetto definitivo</i> <i>Relazione di calcolo delle Opere Provisionali</i>	COMMESSA RS3U	LOTTO 40	CODIFICA D09CL	DOCUMENTO VI0703001	REV. B

8.1.3 Sezione di calcolo per scavi pila P09÷P11

Paratia di pali in c.a.:

- $D_p = 500$ mm diametro di perforazione
- $i = 0.60$ m interasse longitudinale tra i pali
- $L = 18.0$ m lunghezza del palo

Travi di ripartizione: 2xHEB400

Sistema di puntoni (sezioni circolari cave in acciaio S275)

- tubolare cavi $\varnothing = 254$ mm
- Spessore= 20.0 mm
- Inclinazione= 45°

GEOMETRIA SEZIONI DI CALCOLO

La massima altezza di scavo è di 6.0 m. Tale valore è stato incrementato rispetto a quello nominale di 0.5 m.

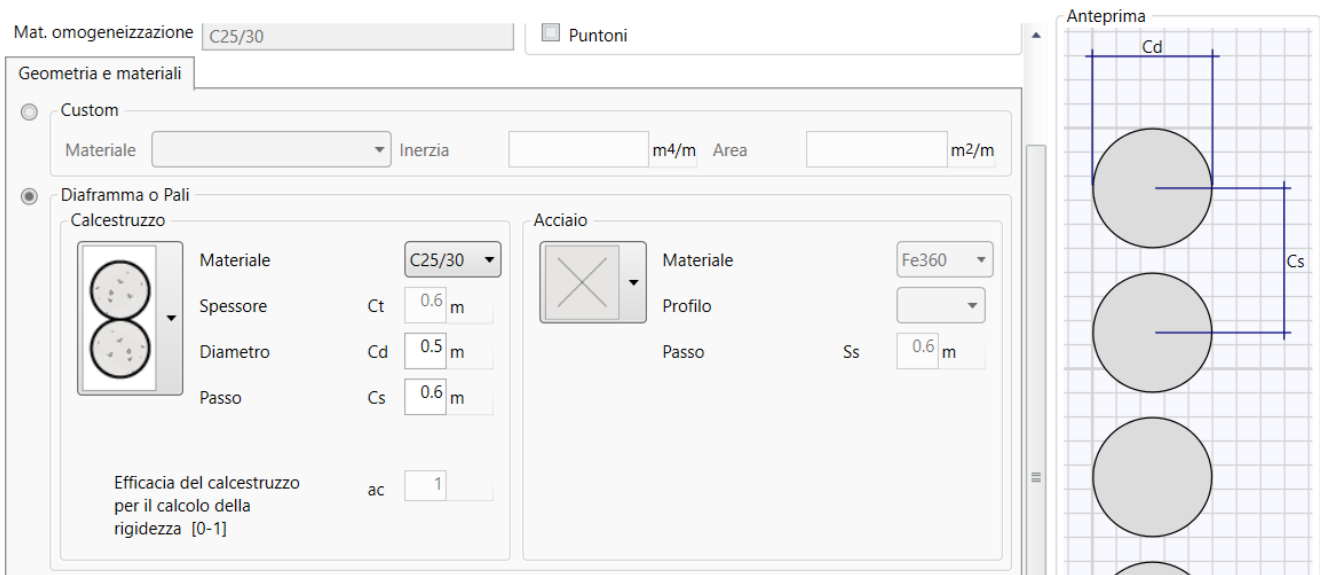
Nel calcolo si è tenuto conto del carico accidentale dovuto ai mezzi di cantiere $q_{acc} = 10$ kPa uniformemente distribuito su un'area di impronta di 5.0 m posto in prossimità dell'estradosso della paratia. Tale sovraccarico è stato considerato diffuso in profondità con un angolo di 45°. Inoltre si è tenuto conto di un sovraccarico uniformemente distribuito pari a 30 kPa corrispondente a 1.5m di terreno.

La distribuzione delle pressioni interstiziali sulla paratia è stata considerata idrostatica con valori raccordati al piede della stessa in ogni fase di calcolo.

Altezza fuori terra	6.5	[m]
Profondità di infissione	11.5	[m]
Altezza totale della paratia	18.0	[m]

 ITALFERR GRUPPO FERROVIE DELLO STATO ITALIANE	DIRETTRICE FERROVIARIA MESSINA - CATANIA - PALERMO NUOVO COLLEGAMENTO PALERMO - CATANIA PROGETTO DEFINITIVO VI07 - Viadotto ferroviario a Doppio binario					
	<i>Progetto definitivo</i> <i>Relazione di calcolo delle Opere Provisionali</i>	COMMESSA RS3U	LOTTO 40	CODIFICA D09CL	DOCUMENTO VI0703001	REV. B

Numero di file di pali	1	[m]
Interasse fra i pali della fila	0.60	[m]
Diametro pali	0.50	[m]



Il cordolo di collegamento dei pali ha dimensioni trasversali 0.70 m x 0.50 m. Di seguito si riportano le fasi di calcolo che sono state analizzate in successione.

La rigidezza del puntone è stata valutata tramite una modellazione agli elementi finiti con codice di calcolo SAP2000. Alla trave di ripartizione è stato applicato un carico uniformemente distribuito di 1 KN/m e si è mediato lo spostamento in corrispondenza della mezzeria della trave di ripartizione del punto medio (sempre sulla trave di ripartizione) tra appoggio e collegamento trave/puntone.

Tramite la formula $k = 1/u$ si valuta la rigidezza $k \approx 6200$ kN/m da applicare alle molle nel modello in Paratie Plus. La seguente figura mostra lo schema statico utilizzato in SAP2000.

	DIRETTRICE FERROVIARIA MESSINA - CATANIA - PALERMO NUOVO COLLEGAMENTO PALERMO - CATANIA PROGETTO DEFINITIVO VI07 - Viadotto ferroviario a Doppio binario					
<i>Progetto definitivo</i> <i>Relazione di calcolo delle Opere Provisionali</i>	COMMESSA RS3U	LOTTO 40	CODIFICA D09CL	DOCUMENTO VI0703001	REV. B	FOGLIO 39 di 171

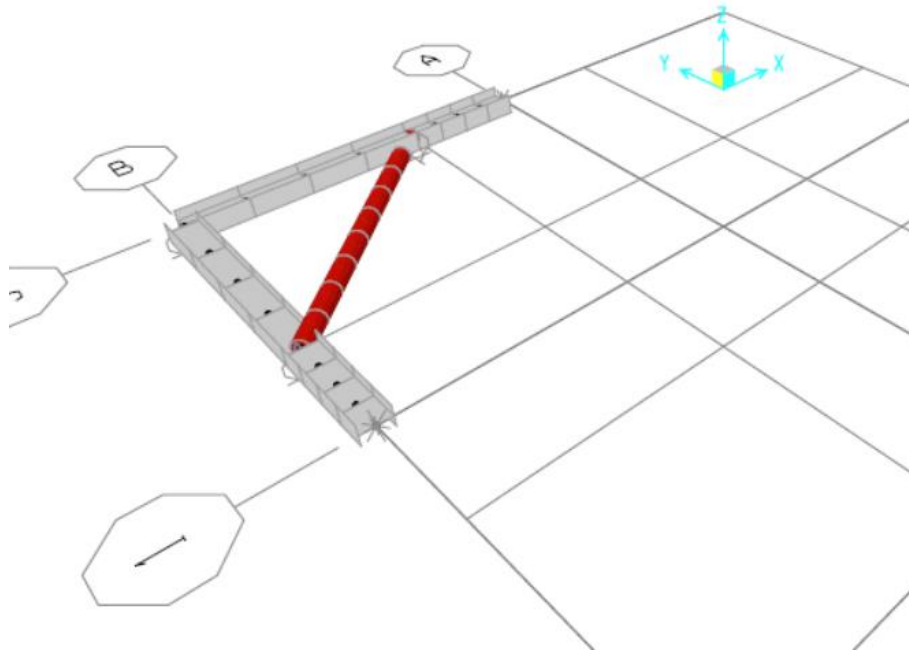
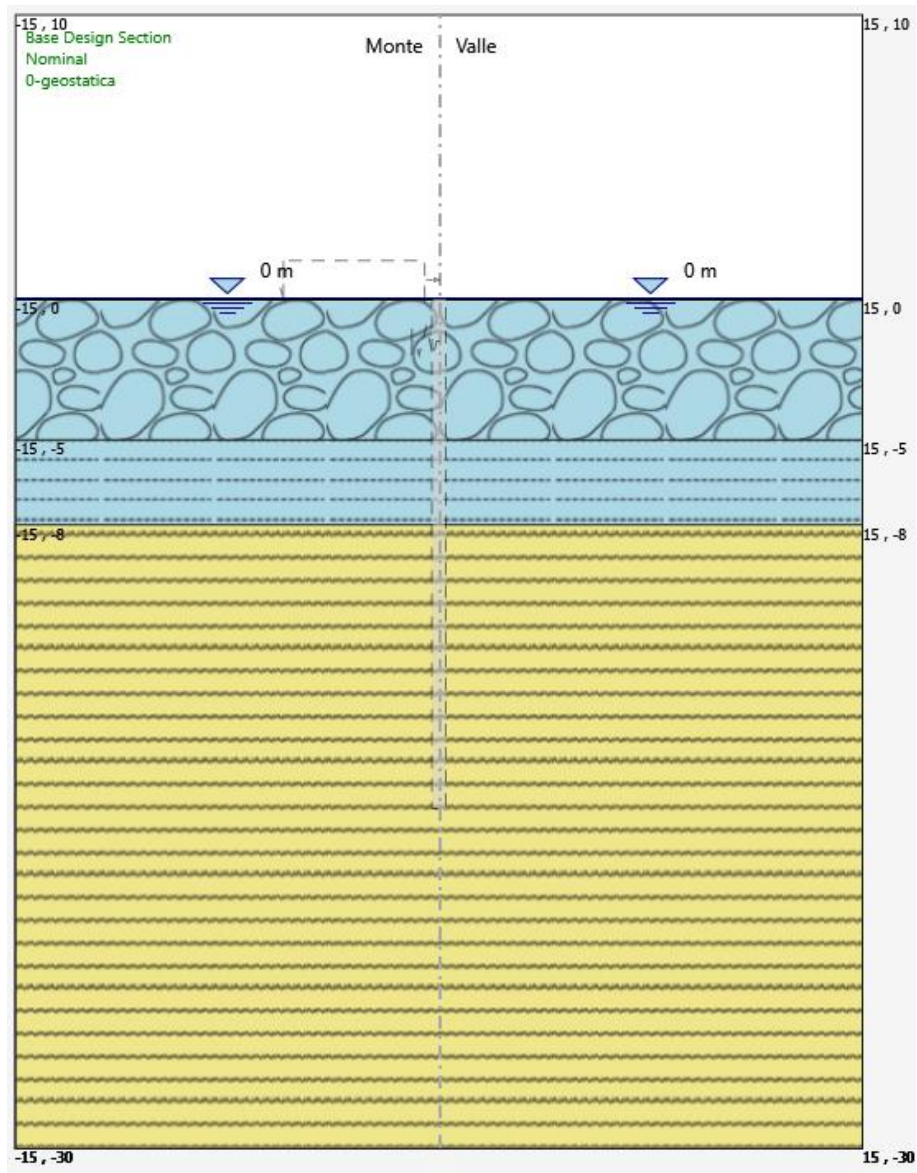


Figura 3: schema statico utilizzato nel codice di calcolo SAP2000 per la valutazione della rigidezza da assegnare al sistema di controventamento della paratia

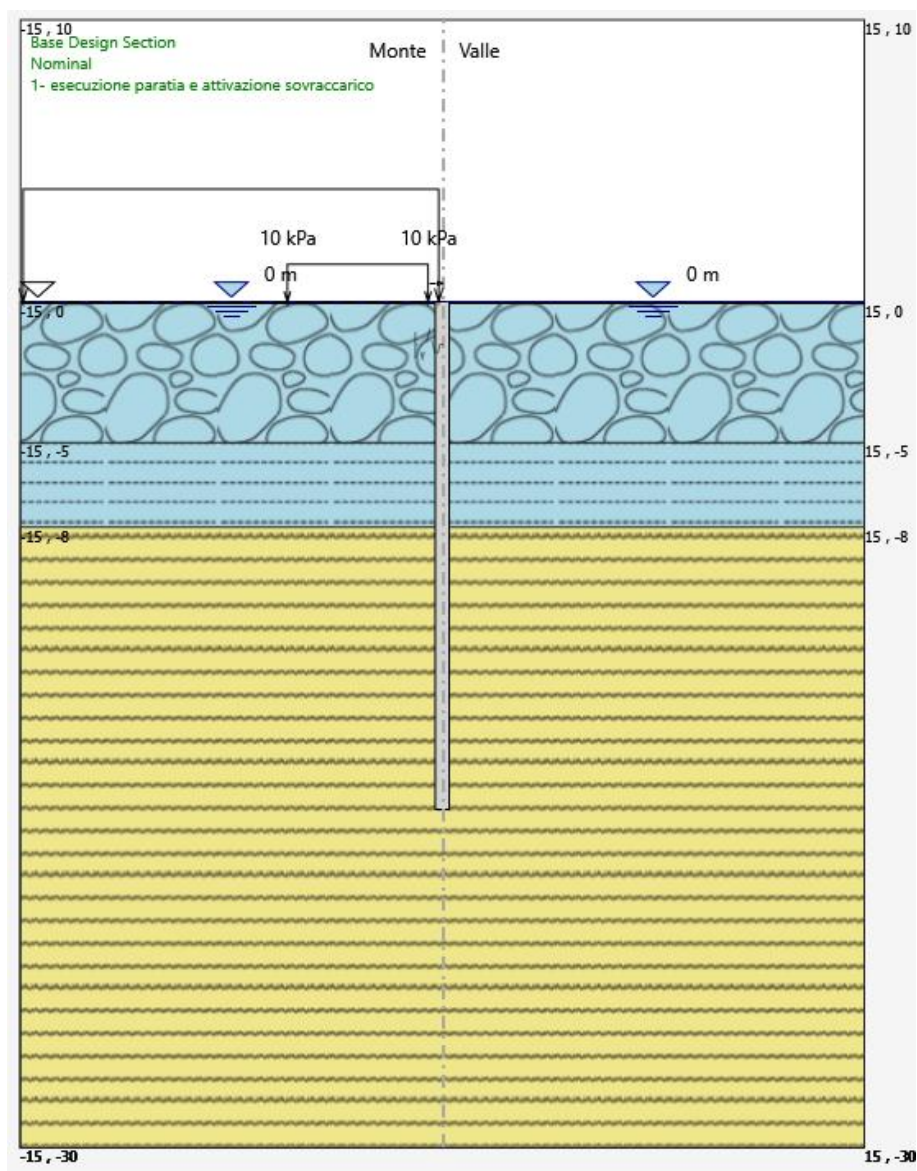
<i>Progetto definitivo</i>	COMMESSA	LOTTO	CODIFICA	DOCUMENTO	REV.	FOGLIO
<i>Relazione di calcolo delle Opere Provisionali</i>	RS3U	40	D03CL	VI0703001	B	40 di 171

FASE 0: Generazione stato tensionale iniziale



<i>Progetto definitivo</i>	COMMESSA	LOTTO	CODIFICA	DOCUMENTO	REV.	FOGLIO
<i>Relazione di calcolo delle Opere Provisionali</i>	RS3U	40	D09CL	VI0703001	B	41 di 171

FASE 1: Esecuzione paratia e attivazione sovraccarichi

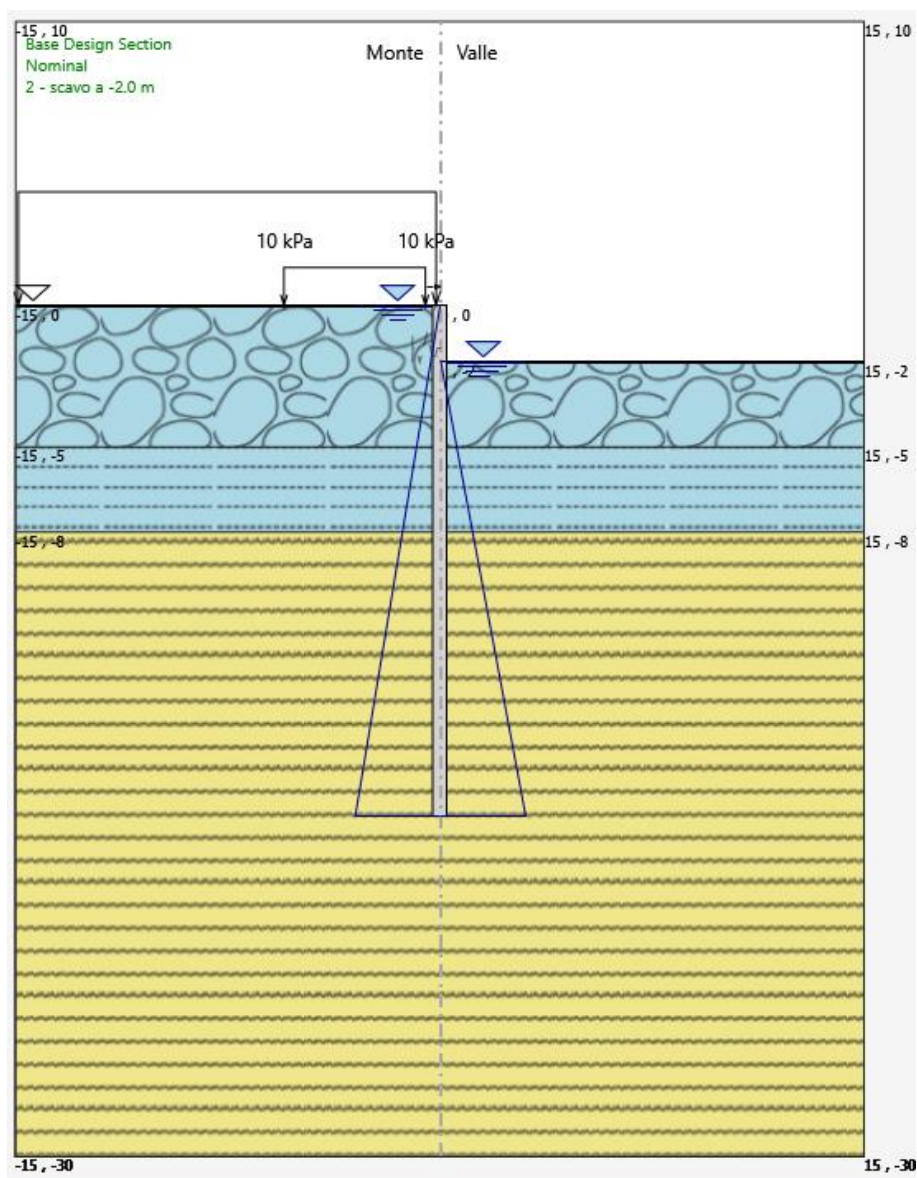




DIRETTRICE FERROVIARIA MESSINA - CATANIA - PALERMO
NUOVO COLLEGAMENTO PALERMO - CATANIA
PROGETTO DEFINITIVO
VI07 - Viadotto ferroviario a Doppio binario

<i>Progetto definitivo</i>	COMMESSA	LOTTO	CODIFICA	DOCUMENTO	REV.	FOGLIO
<i>Relazione di calcolo delle Opere Provisionali</i>	RS3U	40	D09CL	VI0703001	B	42 di 171

FASE 2: Scavo ad una profondità -2.0m da p.c.

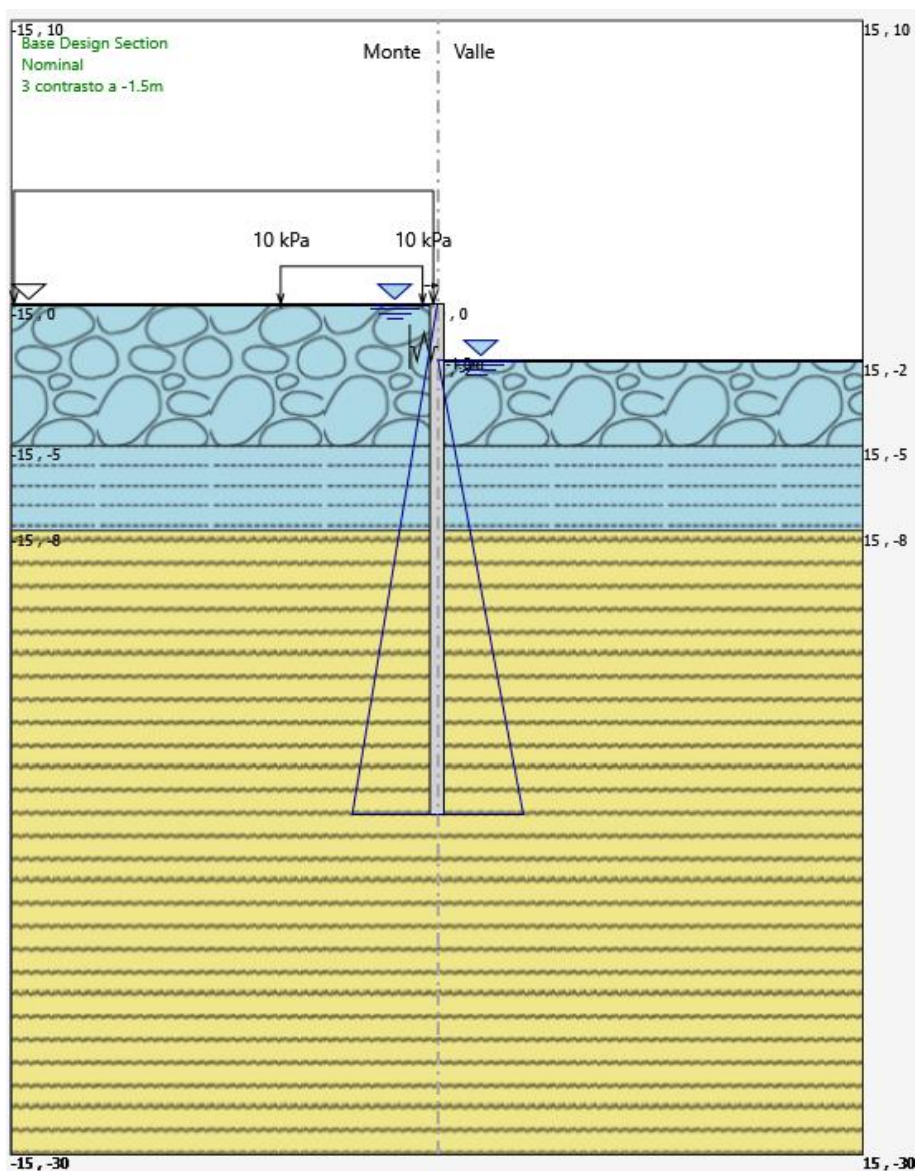




DIRETTRICE FERROVIARIA MESSINA - CATANIA - PALERMO
NUOVO COLLEGAMENTO PALERMO - CATANIA
PROGETTO DEFINITIVO
VI07 - Viadotto ferroviario a Doppio binario

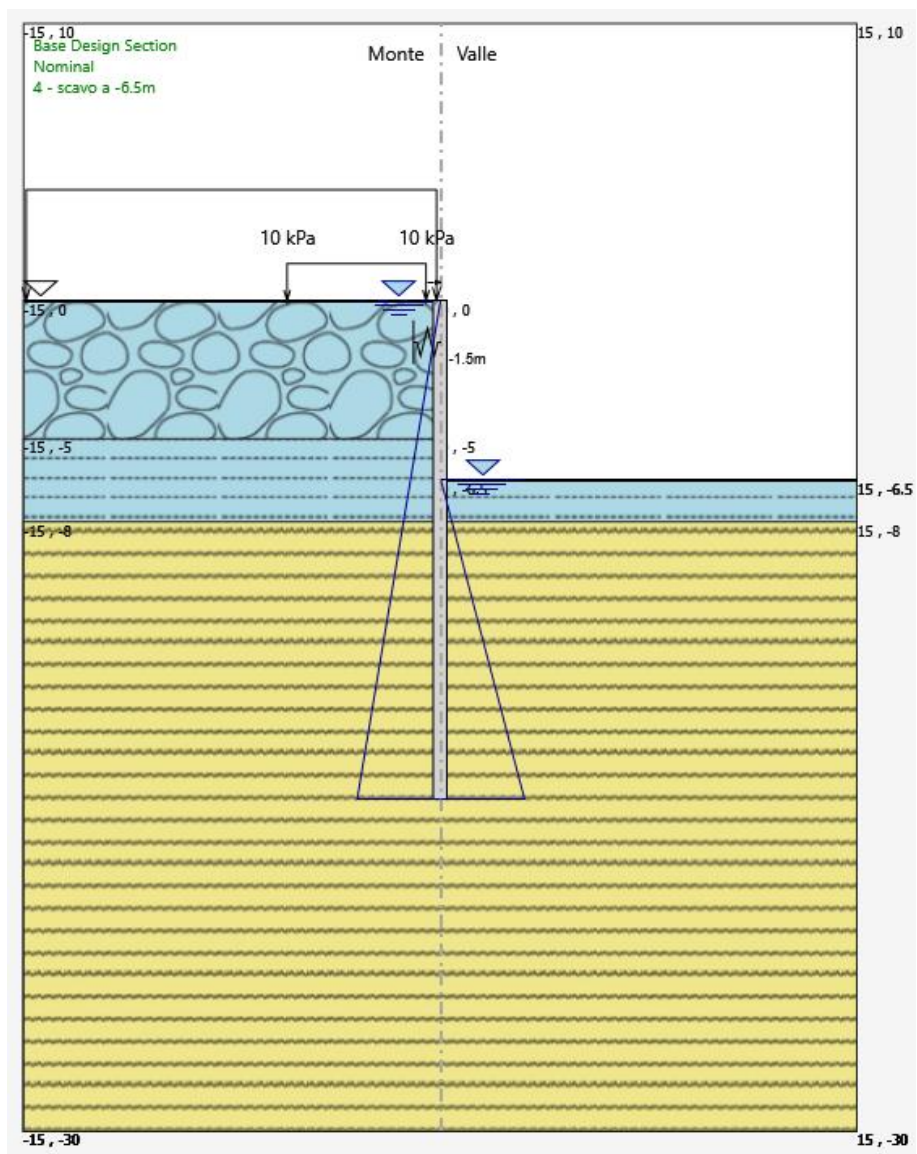
<i>Progetto definitivo</i>	COMMESSA	LOTTO	CODIFICA	DOCUMENTO	REV.	FOGLIO
<i>Relazione di calcolo delle Opere Provisionali</i>	RS3U	40	D09CL	VI0703001	B	43 di 171

FASE 3: Installazione contrasto a -1.5m da p.c.



 <p>ITALFERR GRUPPO FERROVIE DELLO STATO ITALIANE</p>	<p>DIRETTRICE FERROVIARIA MESSINA - CATANIA - PALERMO NUOVO COLLEGAMENTO PALERMO - CATANIA PROGETTO DEFINITIVO VI07 - Viadotto ferroviario a Doppio binario</p>					
	<p><i>Progetto definitivo</i></p> <p><i>Relazione di calcolo delle Opere Provisionali</i></p>	<p>COMMESSA</p> <p>RS3U</p>	<p>LOTTO</p> <p>40</p>	<p>CODIFICA</p> <p>D09CL</p>	<p>DOCUMENTO</p> <p>VI0703001</p>	<p>REV.</p> <p>B</p>

FASE 4: Scavo ad una profondità -6.5m da p.c.



	DIRETTRICE FERROVIARIA MESSINA - CATANIA - PALERMO NUOVO COLLEGAMENTO PALERMO - CATANIA PROGETTO DEFINITIVO VI07 - Viadotto ferroviario a Doppio binario					
	<i>Progetto definitivo</i> <i>Relazione di calcolo delle Opere</i> <i>Provisionali</i>	COMMESSA RS3U	LOTTO 40	CODIFICA D09CL	DOCUMENTO VI0703001	REV. B

8.1.4 Sezione di calcolo per scavi pila P12

Paratia di palancole.:

- PU32 profilo palancole
- L = 16.0 m lunghezza paratia

Travi di ripartizione: 2xHEB400

Sistema di puntoni (sezioni circolari cave in acciaio S275)

- tubolare cavi $\varnothing = 254$ mm
- Spessore= 20.0 mm
- Inclinazione= 45°

GEOMETRIA SEZIONI DI CALCOLO

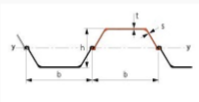
La massima altezza di scavo è di 5.10 m. Tale valore è stato incrementato rispetto a quello nominale di 0.5 m.

Nel calcolo si è tenuto conto del carico accidentale dovuto ai mezzi di cantiere $q_{acc} = 10$ kPa uniformemente distribuito su un'area di impronta di 5.0 m posto in prossimità dell'estradosso della paratia. Tale sovraccarico è stato considerato diffuso in profondità con un angolo di 45°.

La distribuzione delle pressioni interstiziali sulla paratia è stata considerata idrostatica con valori raccordati al piede della stessa in ogni fase di calcolo.

Altezza fuori terra	5.6	[m]
Profondità di infissione	10.4	[m]
Altezza totale della paratia	16.0	[m]

 ITALFERR GRUPPO FERROVIE DELLO STATO ITALIANE	DIRETTRICE FERROVIARIA MESSINA - CATANIA - PALERMO NUOVO COLLEGAMENTO PALERMO - CATANIA PROGETTO DEFINITIVO VI07 - Viadotto ferroviario a Doppio binario					
	<i>Progetto definitivo</i> <i>Relazione di calcolo delle Opere Provisionali</i>	COMMESSA RS3U	LOTTO 40	CODIFICA D09CL	DOCUMENTO VI0703001	REV. B

Palancole		Catalogo Palancole			
Profilo	PU_32				
Materiale	S275				
Tipo	U	β_s		0.6	
Peso per superficie unitaria di parete	1.8652	β_o		0.4	
B	0.6	I_x		0.0007	m^4/m
H	0.452	Wel		0.0032	m^3/m

La rigidezza del puntone è stata valutata tramite una modellazione agli elementi finiti con codice di calcolo SAP2000. Alla trave di ripartizione è stato applicato un carico uniformemente distribuito di 1 KN/m e si è mediato lo spostamento in corrispondenza della mezzeria della trave di ripartizione del punto medio (sempre sulla trave di ripartizione) tra appoggio e collegamento trave/puntone.

Tramite la formula $k = 1/u$ si valuta la rigidezza $k \approx 6200$ kN/m da applicare alle molle nel modello in Paratie Plus. La seguente figura mostra lo schema statico utilizzato in SAP2000.

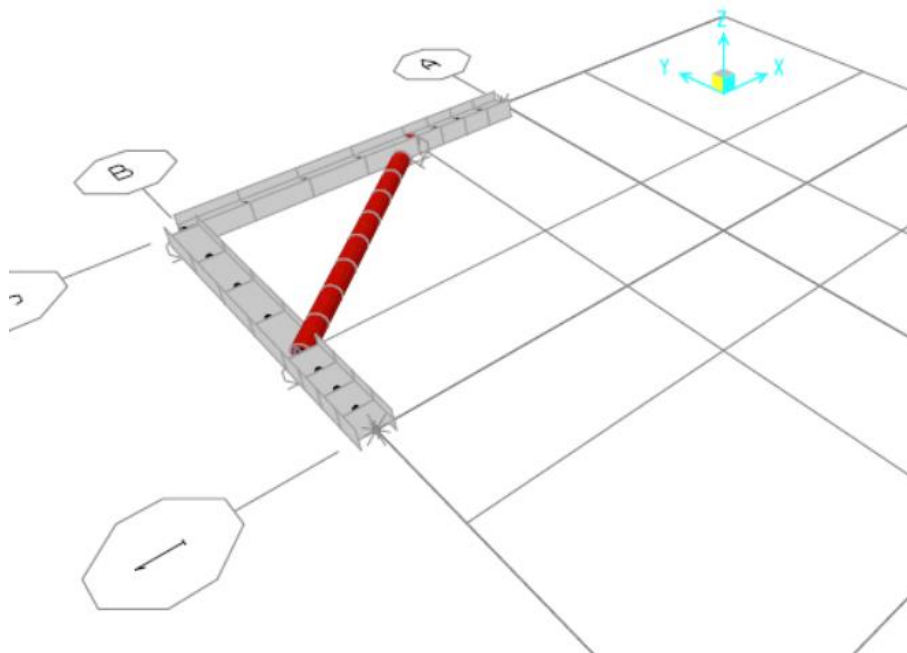


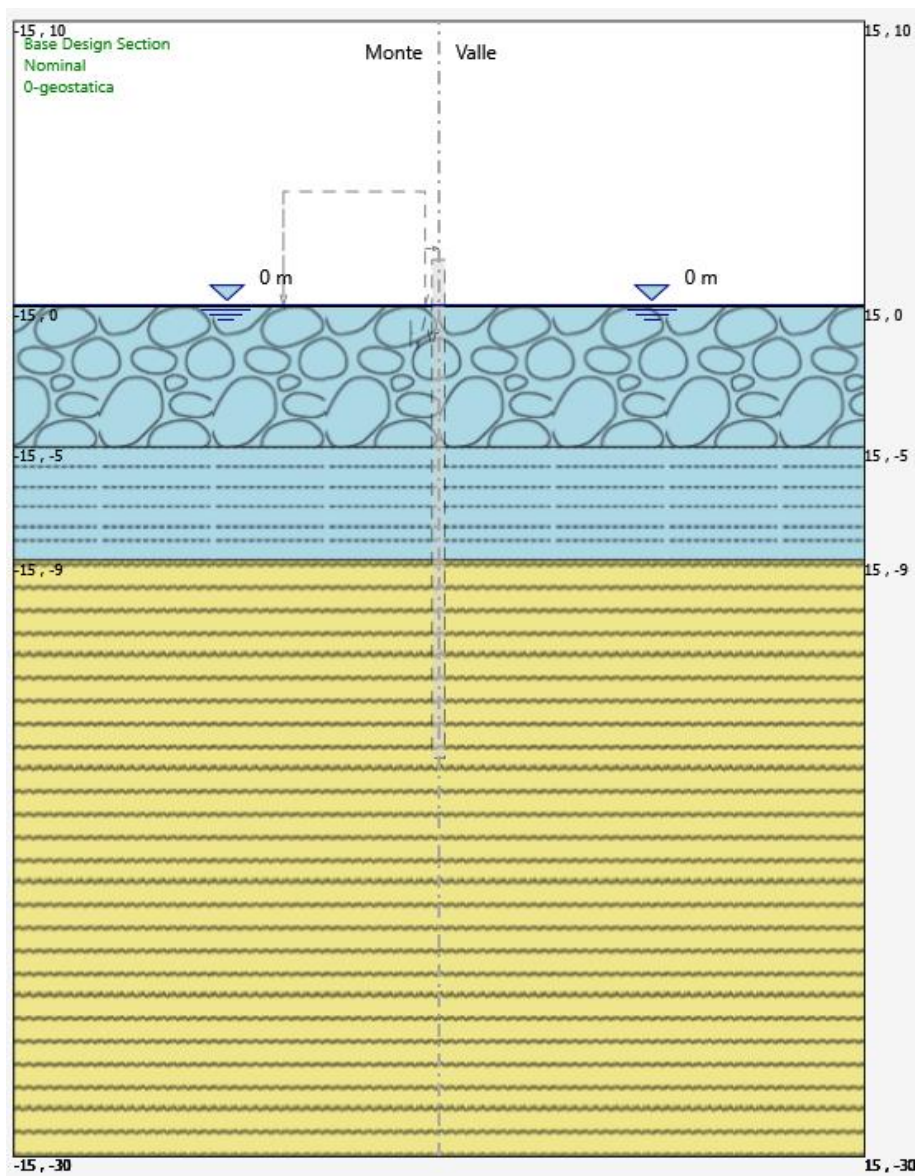
Figura 4: schema statico utilizzato nel codice di calcolo SAP2000 per la valutazione della rigidezza da assegnare al sistema di controventamento della paratia



DIRETTRICE FERROVIARIA MESSINA - CATANIA - PALERMO
NUOVO COLLEGAMENTO PALERMO - CATANIA
PROGETTO DEFINITIVO
VI07 - Viadotto ferroviario a Doppio binario

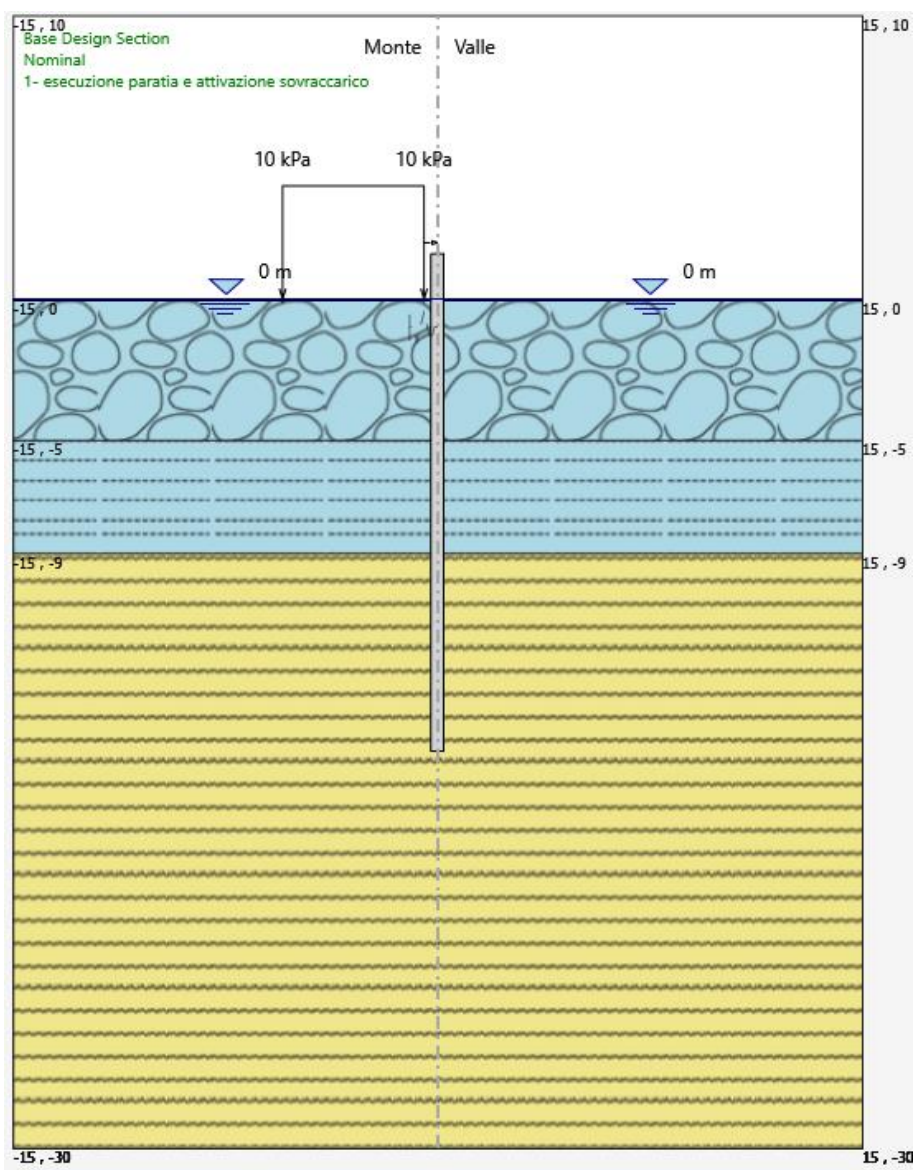
<i>Progetto definitivo</i> <i>Relazione di calcolo delle Opere Provisionali</i>	COMMESSA RS3U	LOTTO 40	CODIFICA D09CL	DOCUMENTO VI0703001	REV. B	FOGLIO 47 di 171
--	----------------------	-----------------	-----------------------	----------------------------	---------------	-------------------------

FASE 0: Generazione stato tensionale iniziale



<i>Progetto definitivo</i>	COMMESSA	LOTTO	CODIFICA	DOCUMENTO	REV.	FOGLIO
<i>Relazione di calcolo delle Opere Provisionali</i>	RS3U	40	D09CL	VI0703001	B	48 di 171

FASE 1: Esecuzione paratia e attivazione sovraccarico

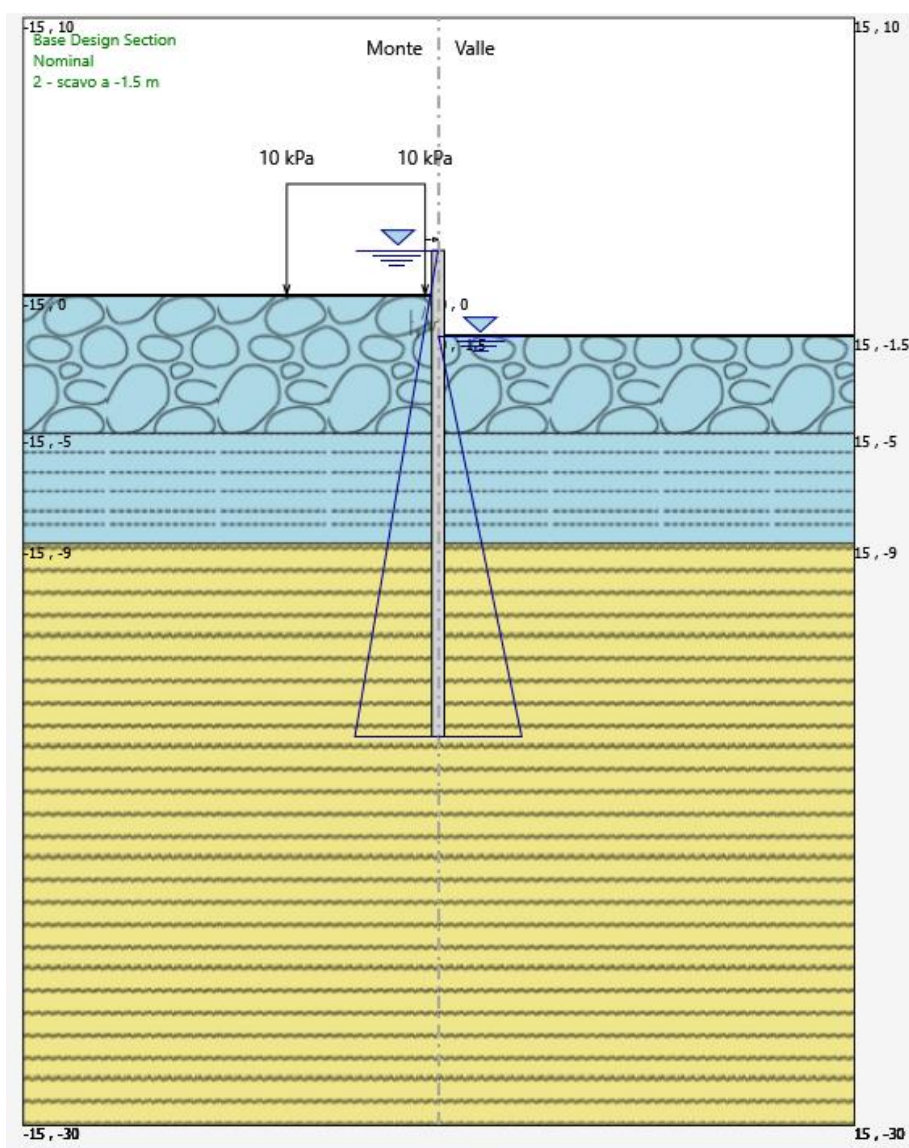




DIRETTRICE FERROVIARIA MESSINA - CATANIA - PALERMO
NUOVO COLLEGAMENTO PALERMO - CATANIA
PROGETTO DEFINITIVO
VI07 - Viadotto ferroviario a Doppio binario

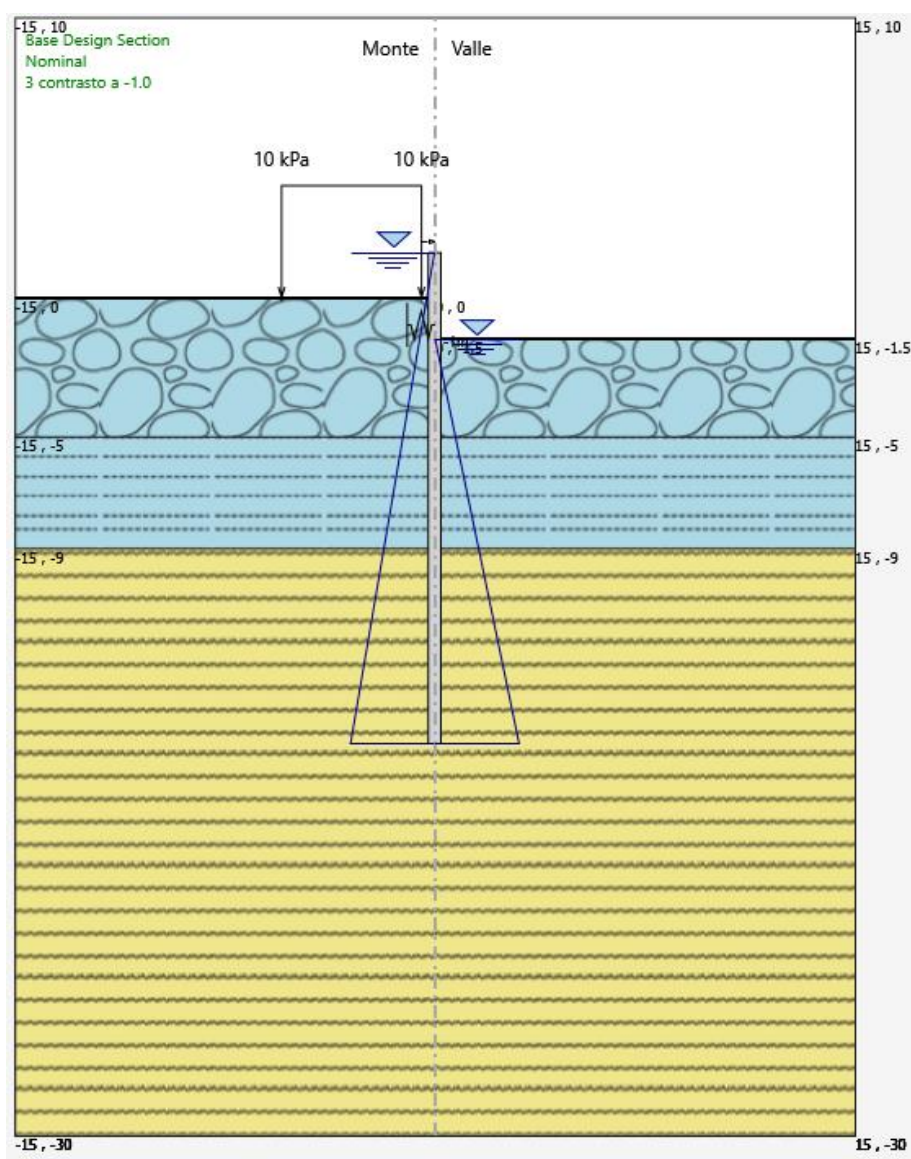
<i>Progetto definitivo</i> <i>Relazione di calcolo delle Opere Provisionali</i>	COMMESSA RS3U	LOTTO 40	CODIFICA D09CL	DOCUMENTO VI0703001	REV. B	FOGLIO 49 di 171
--	----------------------	-----------------	-----------------------	----------------------------	---------------	-------------------------

FASE 2: Scavo ad una profondità -1.5m da p.c.



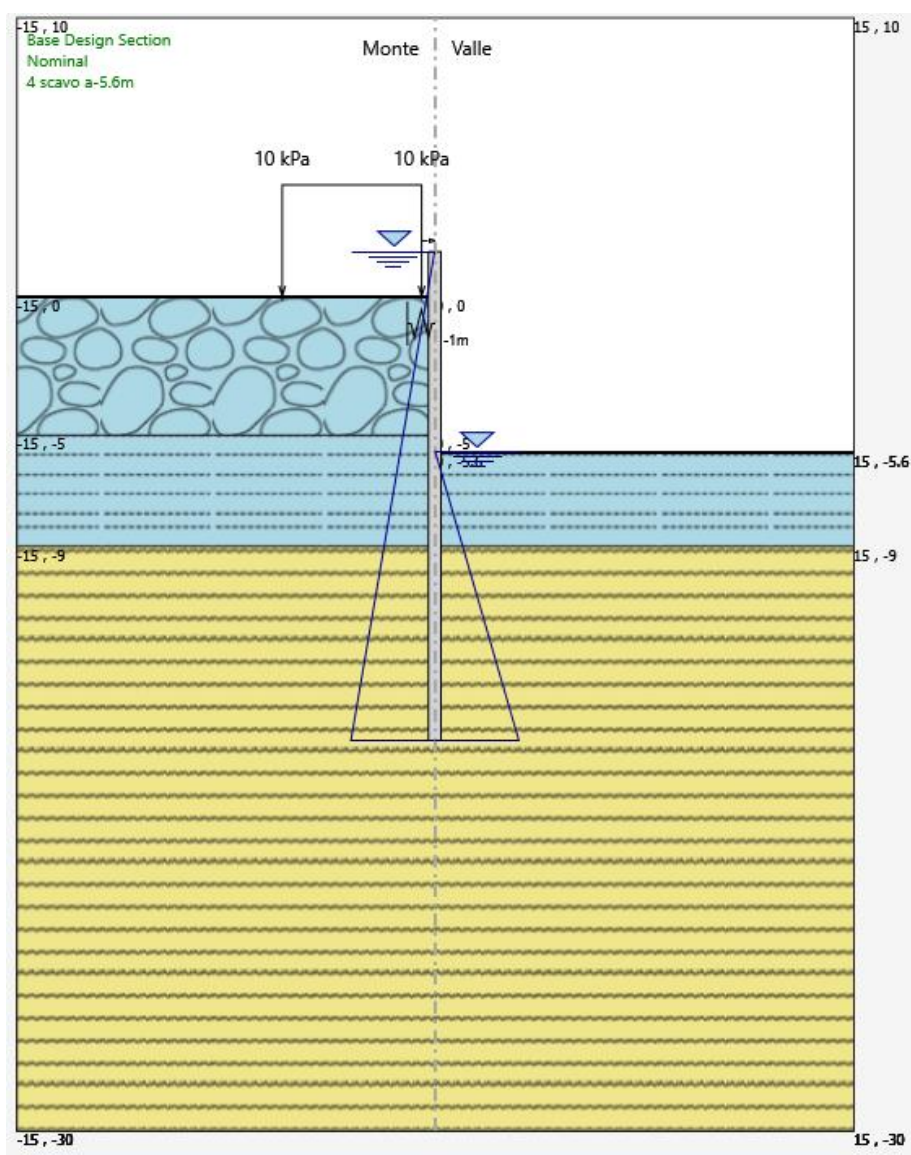
<i>Progetto definitivo</i>	COMMESSA	LOTTO	CODIFICA	DOCUMENTO	REV.	FOGLIO
<i>Relazione di calcolo delle Opere Provisionali</i>	RS3U	40	D09CL	VI0703001	B	50 di 171

FASE 3: Installazione contrasto a -1.0m da p.c.



<i>Progetto definitivo</i>	COMMESSA	LOTTO	CODIFICA	DOCUMENTO	REV.	FOGLIO
<i>Relazione di calcolo delle Opere Provisionali</i>	RS3U	40	D09CL	VI0703001	B	51 di 171

FASE 4: Scavo ad una profondità -5.6m da p.c.



	DIRETTRICE FERROVIARIA MESSINA - CATANIA - PALERMO NUOVO COLLEGAMENTO PALERMO - CATANIA PROGETTO DEFINITIVO VI07 - Viadotto ferroviario a Doppio binario					
	<i>Progetto definitivo</i> <i>Relazione di calcolo delle Opere Provisionali</i>	COMMESSA RS3U	LOTTO 40	CODIFICA D09CL	DOCUMENTO VI0703001	REV. B

8.1.5 Sezione di calcolo per scavi pila P13÷P14

Paratia di palancole.:

- PU22 profilo palancole
- L = 12.0 m lunghezza paratia

Travi di ripartizione: 2xHEB300

Sistema di puntoni (sezioni circolari cave in acciaio S275)

- tubolare cavi $\varnothing = 254$ mm
- Spessore= 12.5 mm
- Inclinazione= 45°

GEOMETRIA SEZIONI DI CALCOLO

La massima altezza di scavo è di 5.10 m. Tale valore è stato incrementato rispetto a quello nominale di 0.5 m.

Nel calcolo si è tenuto conto del carico accidentale dovuto ai mezzi di cantiere $q_{acc} = 10$ kPa uniformemente distribuito su un'area di impronta di 5.0 m posto in prossimità dell'estradosso della paratia. Tale sovraccarico è stato considerato diffuso in profondità con un angolo di 45°.

La distribuzione delle pressioni interstiziali sulla paratia è stata considerata idrostatica con valori raccordati al piede della stessa in ogni fase di calcolo.

Altezza fuori terra	5.7	[m]
Profondità di infissione	6.3	[m]
Altezza totale della paratia	12.0	[m]

	DIRETTRICE FERROVIARIA MESSINA - CATANIA - PALERMO NUOVO COLLEGAMENTO PALERMO - CATANIA PROGETTO DEFINITIVO VI07 - Viadotto ferroviario a Doppio binario					
	<i>Progetto definitivo</i> <i>Relazione di calcolo delle Opere Provisionali</i>	COMMESSA RS3U	LOTTO 40	CODIFICA D09CL	DOCUMENTO VI0703001	REV. B

Palancole		Catalogo Palancole		
Profilo	PU_22			
Materiale	S275			
Tipo	U	β_a		0.7
Peso per superficie unitaria di parete	1.4082	β_D		0.45
B	0.6	I_x		0.0005 m ⁴ /m
H	0.45	W_{el}		0.0022 m ³ /m

La rigidezza del puntone è stata valutata tramite una modellazione agli elementi finiti con codice di calcolo SAP2000. Alla trave di ripartizione è stato applicato un carico uniformemente distribuito di 1 KN/m e si è mediato lo spostamento in corrispondenza della mezzeria della trave di ripartizione del punto medio (sempre sulla trave di ripartizione) tra appoggio e collegamento trave/puntone.

Tramite la formula $k = 1/u$ si valuta la rigidezza $k \approx 6200$ kN/m da applicare alle molle nel modello in Paratie Plus. La seguente figura mostra lo schema statico utilizzato in SAP2000.

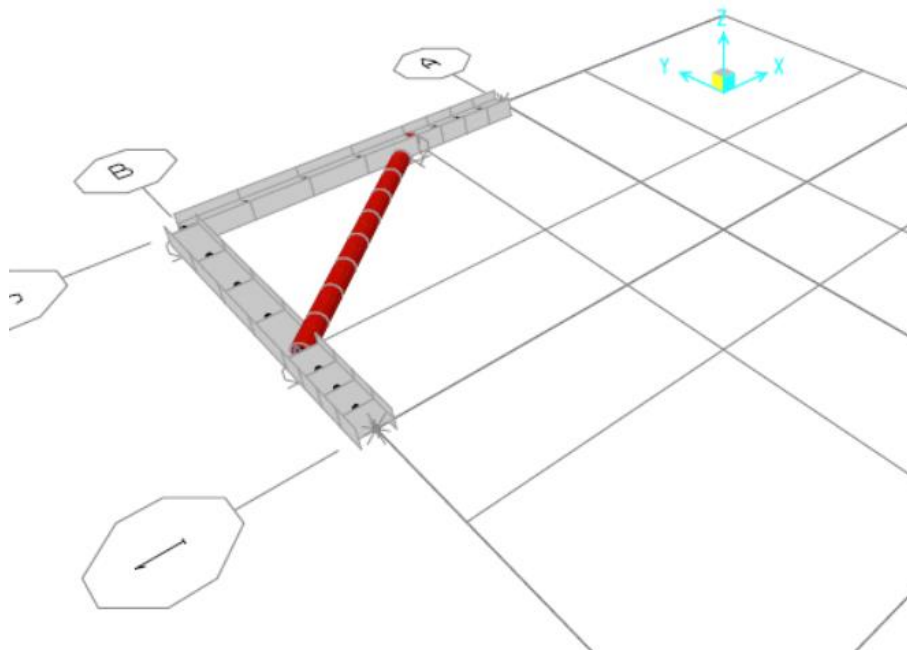


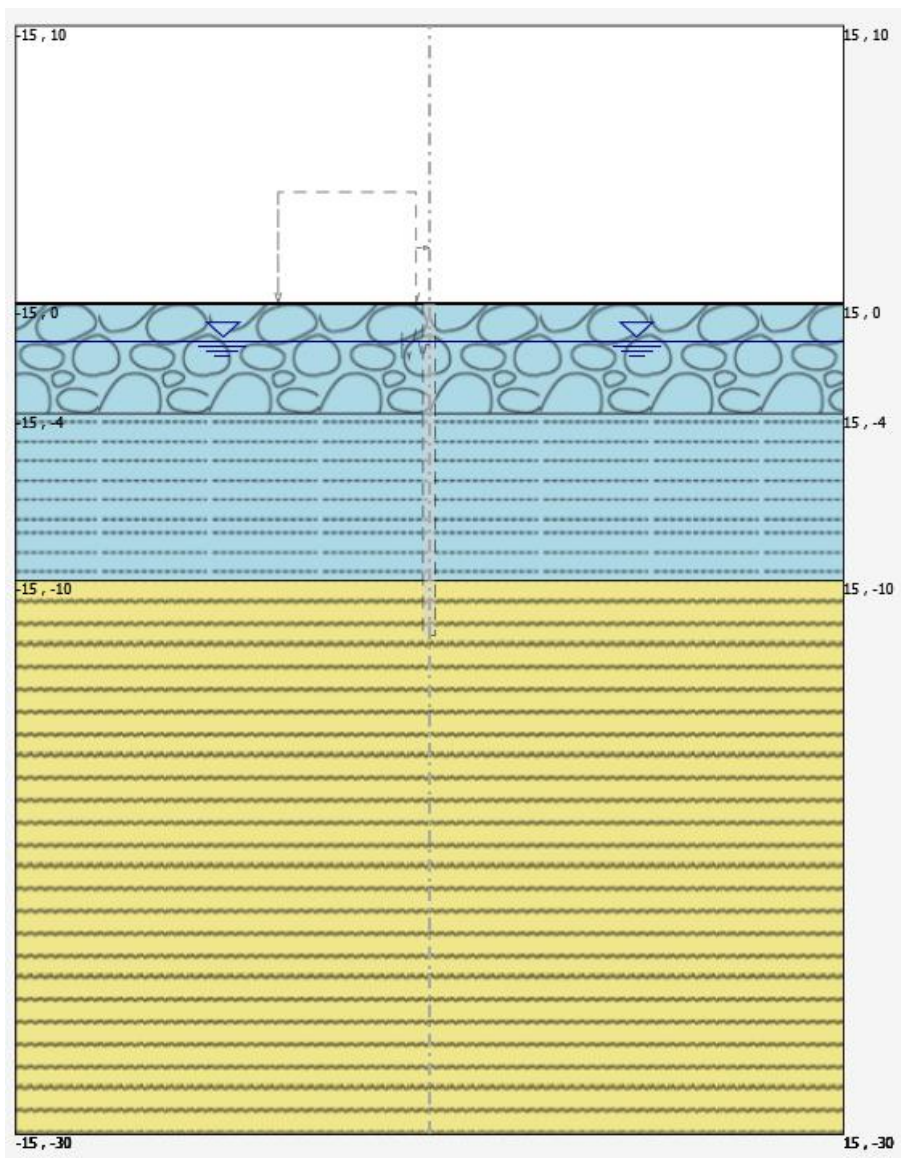
Figura 5: schema statico utilizzato nel codice di calcolo SAP2000 per la valutazione della rigidezza da assegnare al sistema di controventamento della paratia



DIRETTRICE FERROVIARIA MESSINA - CATANIA - PALERMO
NUOVO COLLEGAMENTO PALERMO - CATANIA
PROGETTO DEFINITIVO
VI07 - Viadotto ferroviario a Doppio binario

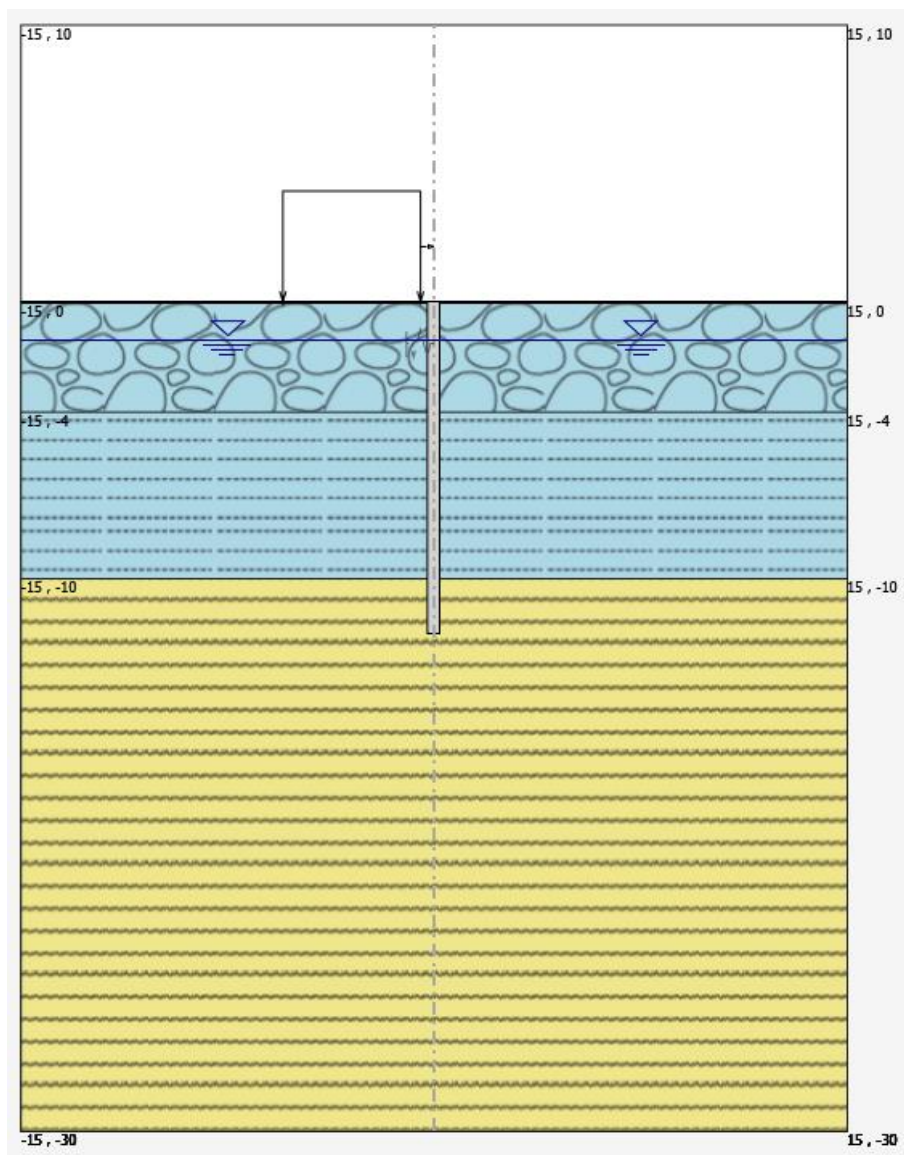
<i>Progetto definitivo</i> <i>Relazione di calcolo delle Opere Provisionali</i>	COMMESSA RS3U	LOTTO 40	CODIFICA D09CL	DOCUMENTO VI0703001	REV. B	FOGLIO 54 di 171
--	----------------------	-----------------	-----------------------	----------------------------	---------------	-------------------------

FASE 0: Generazione stato tensionale iniziale



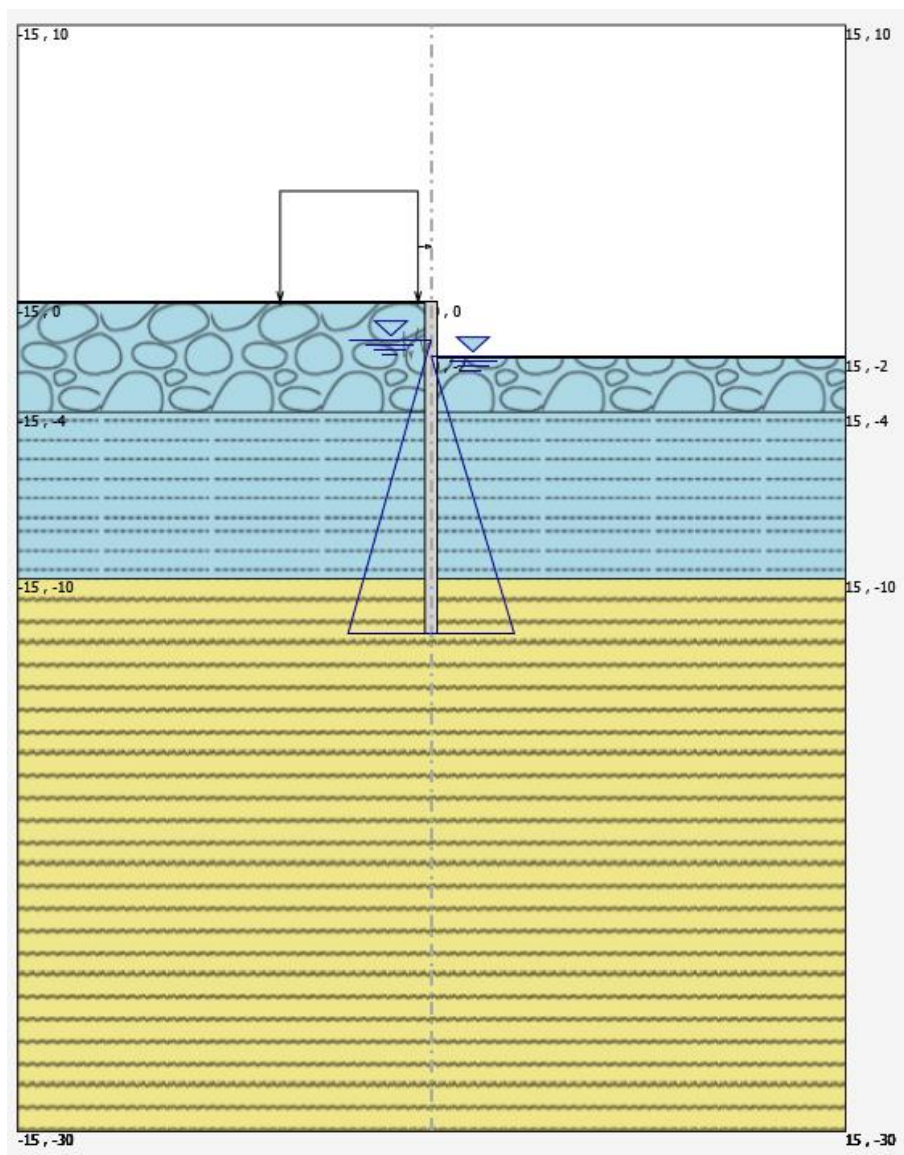
 ITALFERR GRUPPO FERROVIE DELLO STATO ITALIANE	DIRETTRICE FERROVIARIA MESSINA - CATANIA - PALERMO NUOVO COLLEGAMENTO PALERMO - CATANIA PROGETTO DEFINITIVO VI07 - Viadotto ferroviario a Doppio binario					
	<i>Progetto definitivo</i> <i>Relazione di calcolo delle Opere Provisionali</i>	COMMESSA RS3U	LOTTO 40	CODIFICA D09CL	DOCUMENTO VI0703001	REV. B

FASE 1: Esecuzione paratia e attivazione sovraccarico



 <p>ITALFERR GRUPPO FERROVIE DELLO STATO ITALIANE</p>	<p>DIRETTRICE FERROVIARIA MESSINA - CATANIA - PALERMO NUOVO COLLEGAMENTO PALERMO - CATANIA PROGETTO DEFINITIVO VI07 - Viadotto ferroviario a Doppio binario</p>					
	<p><i>Progetto definitivo</i></p> <p><i>Relazione di calcolo delle Opere Provisionali</i></p>	<p>COMMESSA</p> <p>RS3U</p>	<p>LOTTO</p> <p>40</p>	<p>CODIFICA</p> <p>D09CL</p>	<p>DOCUMENTO</p> <p>VI0703001</p>	<p>REV.</p> <p>B</p>

FASE 2: Scavo ad una profondità -2.0m da p.c.

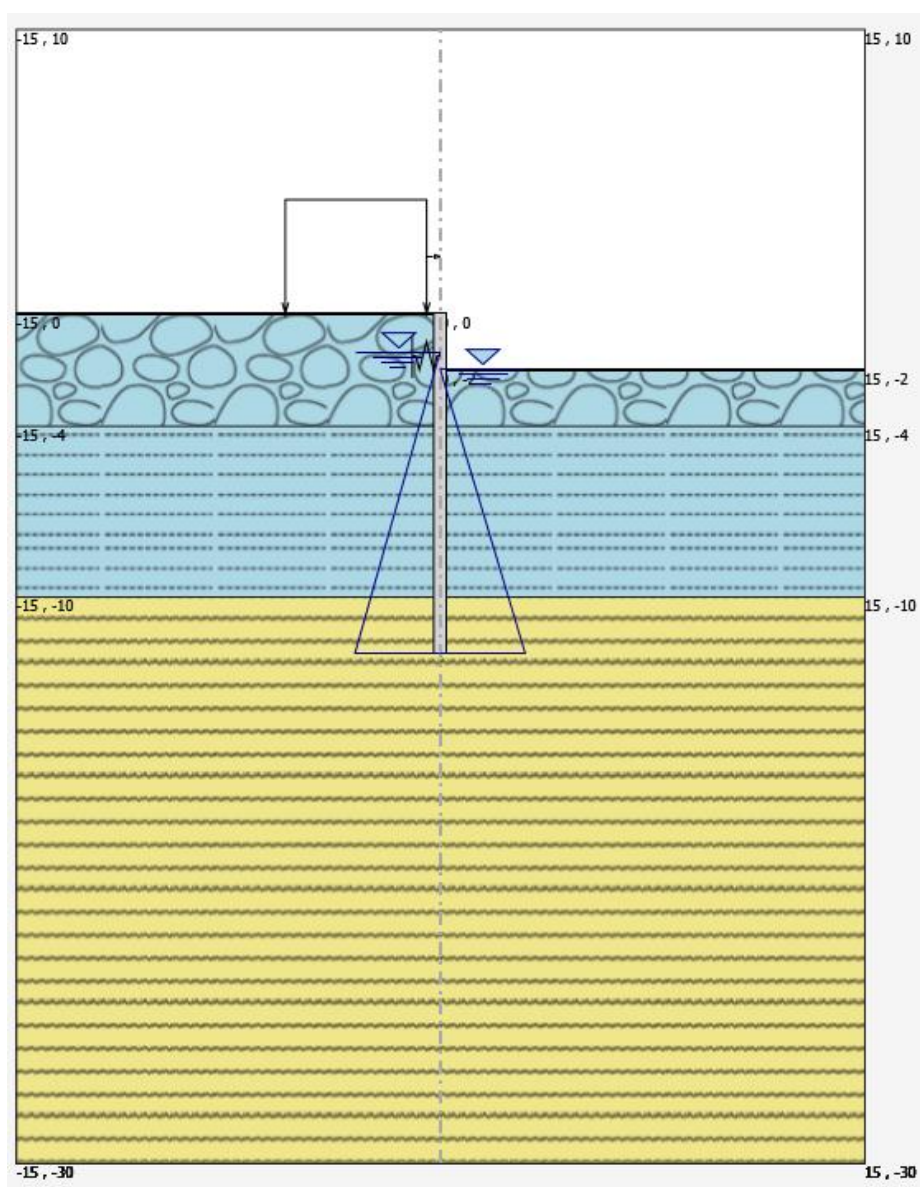




DIRETTRICE FERROVIARIA MESSINA - CATANIA - PALERMO
NUOVO COLLEGAMENTO PALERMO - CATANIA
PROGETTO DEFINITIVO
VI07 - Viadotto ferroviario a Doppio binario

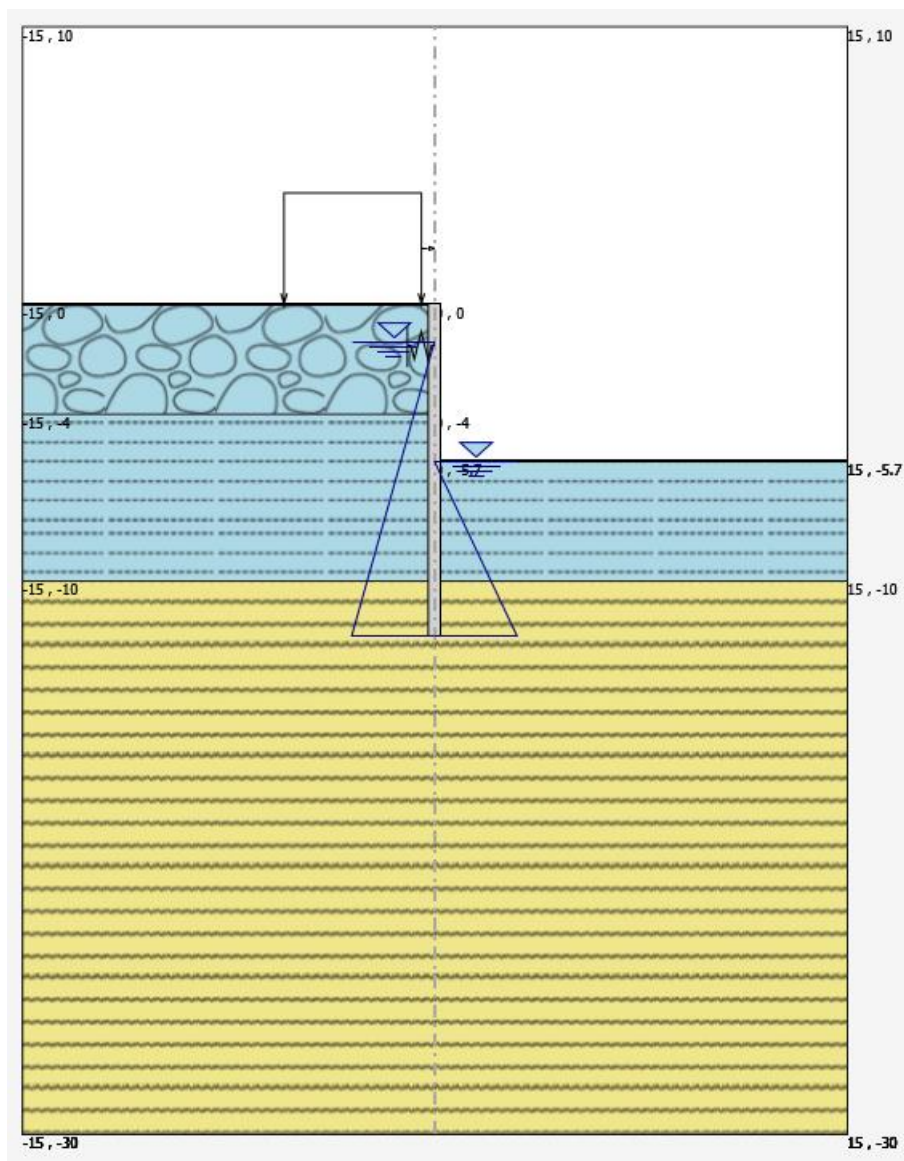
<i>Progetto definitivo</i>	COMMESSA	LOTTO	CODIFICA	DOCUMENTO	REV.	FOGLIO
<i>Relazione di calcolo delle Opere Provisionali</i>	RS3U	40	D09CL	VI0703001	B	57 di 171

FASE 3: Installazione contrasto a -1.5m da p.c.



 <p>ITALFERR GRUPPO FERROVIE DELLO STATO ITALIANE</p>	<p>DIRETTRICE FERROVIARIA MESSINA - CATANIA - PALERMO NUOVO COLLEGAMENTO PALERMO - CATANIA PROGETTO DEFINITIVO VI07 - Viadotto ferroviario a Doppio binario</p>					
	<p><i>Progetto definitivo</i></p> <p><i>Relazione di calcolo delle Opere Provisionali</i></p>	<p>COMMESSA</p> <p>RS3U</p>	<p>LOTTO</p> <p>40</p>	<p>CODIFICA</p> <p>D09CL</p>	<p>DOCUMENTO</p> <p>VI0703001</p>	<p>REV.</p> <p>B</p>

FASE 4: Scavo ad una profondità -5.7m da p.c.



 ITALFERR GRUPPO FERROVIE DELLO STATO ITALIANE	DIRETTRICE FERROVIARIA MESSINA - CATANIA - PALERMO NUOVO COLLEGAMENTO PALERMO - CATANIA PROGETTO DEFINITIVO VI07 - Viadotto ferroviario a Doppio binario					
	<i>Progetto definitivo</i> <i>Relazione di calcolo delle Opere</i> <i>Provisionali</i>	COMMESSA RS3U	LOTTO 40	CODIFICA D09CL	DOCUMENTO VI0703001	REV. B

8.1.6 Sezione di calcolo per scavi pila P18

Paratia di palancole.:

- PU22 profilo palancole
- L = 16.0 m lunghezza paratia

Travi di ripartizione: 2xHEB300

Sistema di puntoni (sezioni circolari cave in acciaio S275)

- tubolare cavi $\varnothing = 254$ mm
- Spessore= 12.5 mm
- Inclinazione= 45°

GEOMETRIA SEZIONI DI CALCOLO

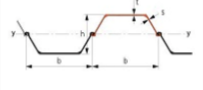
La massima altezza di scavo è di 5.20 m. Tale valore è stato incrementato rispetto a quello nominale di 0.5 m.

Nel calcolo si è tenuto conto del carico accidentale dovuto ai mezzi di cantiere $q_{acc} = 10$ kPa uniformemente distribuito su un'area di impronta di 5.0 m posto in prossimità dell'estradosso della paratia. Tale sovraccarico è stato considerato diffuso in profondità con un angolo di 45°.

La distribuzione delle pressioni interstiziali sulla paratia è stata considerata idrostatica con valori raccordati al piede della stessa in ogni fase di calcolo.

Altezza fuori terra	5.7	[m]
Profondità di infissione	10.3	[m]
Altezza totale della paratia	16.0	[m]

 ITALFERR GRUPPO FERROVIE DELLO STATO ITALIANE	DIRETTRICE FERROVIARIA MESSINA - CATANIA - PALERMO NUOVO COLLEGAMENTO PALERMO - CATANIA PROGETTO DEFINITIVO VI07 - Viadotto ferroviario a Doppio binario					
	<i>Progetto definitivo</i> <i>Relazione di calcolo delle Opere Provisionali</i>	COMMESSA RS3U	LOTTO 40	CODIFICA D09CL	DOCUMENTO VI0703001	REV. B

Palancole		Catalogo Palancole		
Profilo	PU_22			
Materiale	S275			
Tipo	U	β_a		0.7
Peso per superficie unitaria di parete	1.4082	β_D		0.45
B	0.6	l_x		0.0005
H	0.45	W_{el}		0.0022

La rigidezza del puntone è stata valutata tramite una modellazione agli elementi finiti con codice di calcolo SAP2000. Alla trave di ripartizione è stato applicato un carico uniformemente distribuito di 1 KN/m e si è mediato lo spostamento in corrispondenza della mezzeria della trave di ripartizione del punto medio (sempre sulla trave di ripartizione) tra appoggio e collegamento trave/puntone.

Tramite la formula $k = 1/u$ si valuta la rigidezza $k \approx 15000$ kN/m da applicare alle molle nel modello in Paratie Plus. La seguente figura mostra lo schema statico utilizzato in SAP2000.

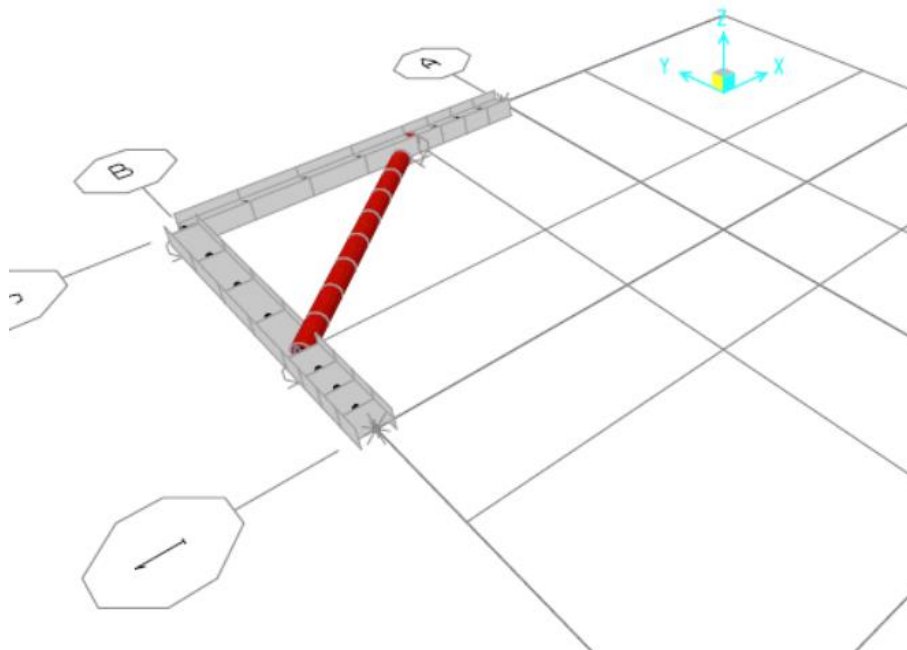


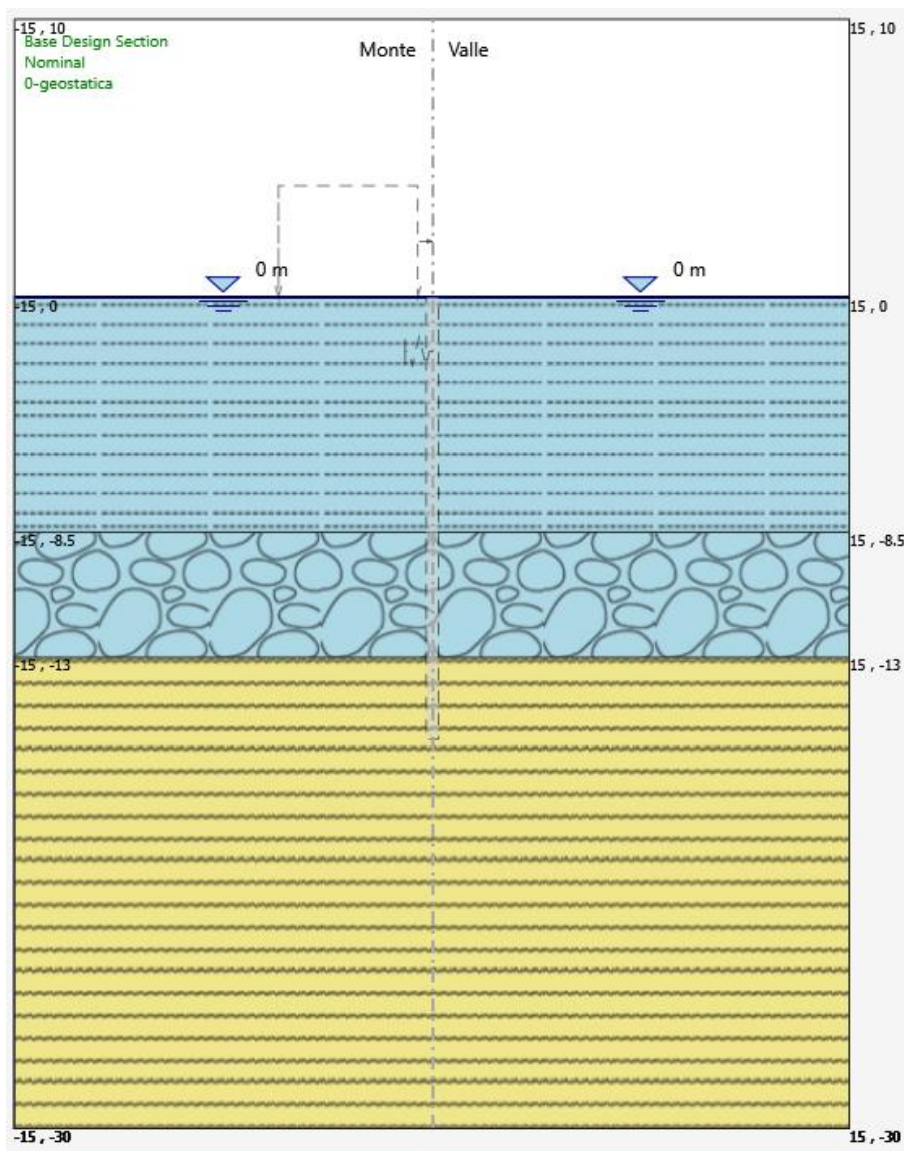
Figura 6: schema statico utilizzato nel codice di calcolo SAP2000 per la valutazione della rigidezza da assegnare al sistema di controventamento della paratia



DIRETTRICE FERROVIARIA MESSINA - CATANIA - PALERMO
NUOVO COLLEGAMENTO PALERMO - CATANIA
PROGETTO DEFINITIVO
VI07 - Viadotto ferroviario a Doppio binario

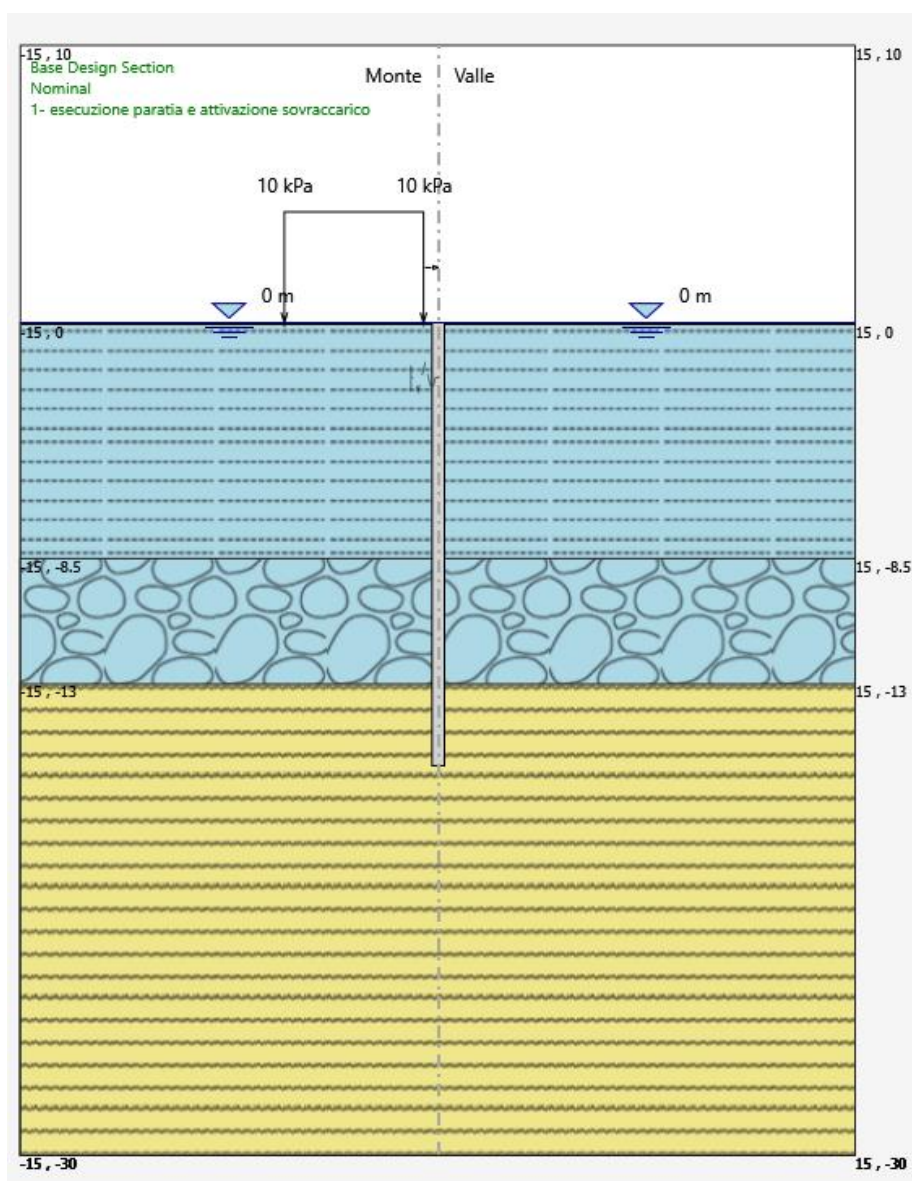
<i>Progetto definitivo</i>	COMMESSA	LOTTO	CODIFICA	DOCUMENTO	REV.	FOGLIO
<i>Relazione di calcolo delle Opere Provisionali</i>	RS3U	40	D09CL	VI0703001	B	61 di 171

FASE 0: Generazione stato tensionale iniziale



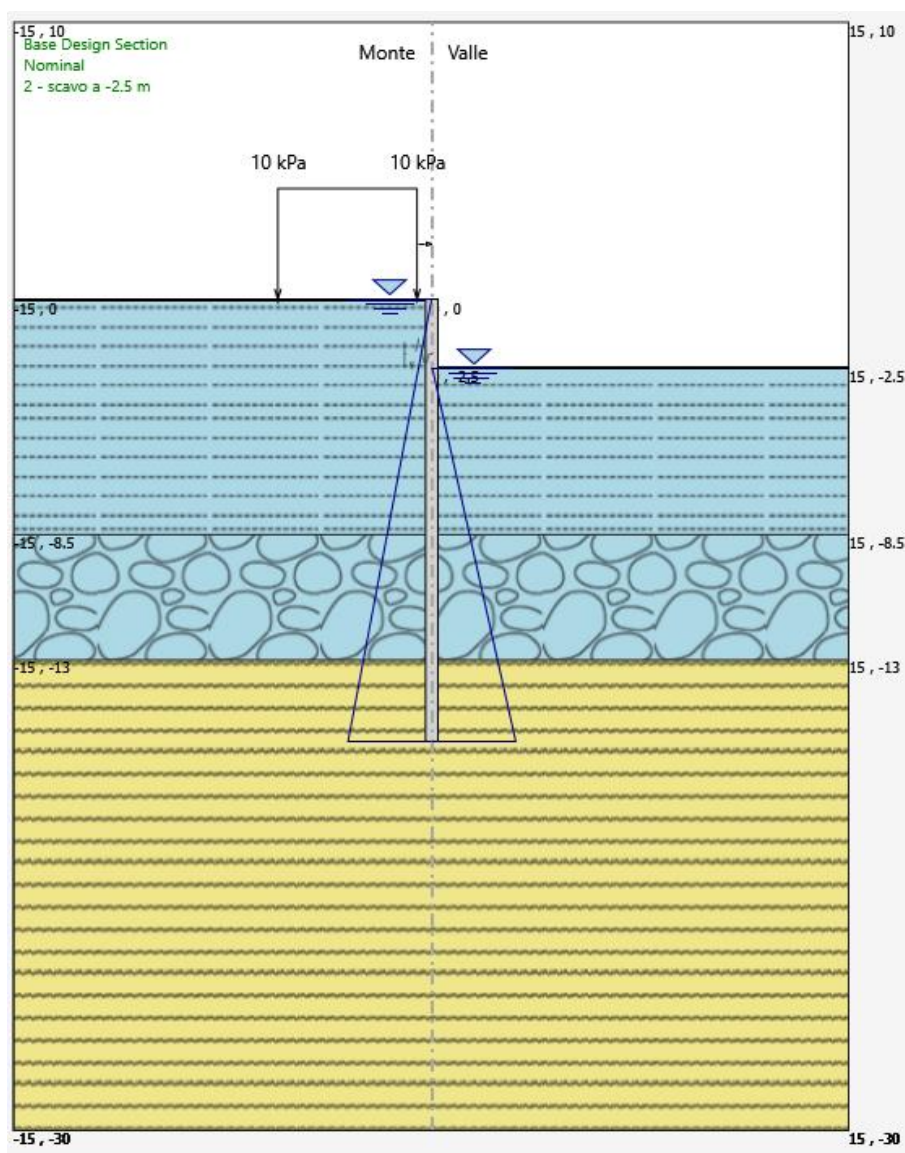
<i>Progetto definitivo</i>	COMMESSA	LOTTO	CODIFICA	DOCUMENTO	REV.	FOGLIO
<i>Relazione di calcolo delle Opere Provisionali</i>	RS3U	40	D09CL	VI0703001	B	62 di 171

FASE 1: Esecuzione paratia e attivazione sovraccarico



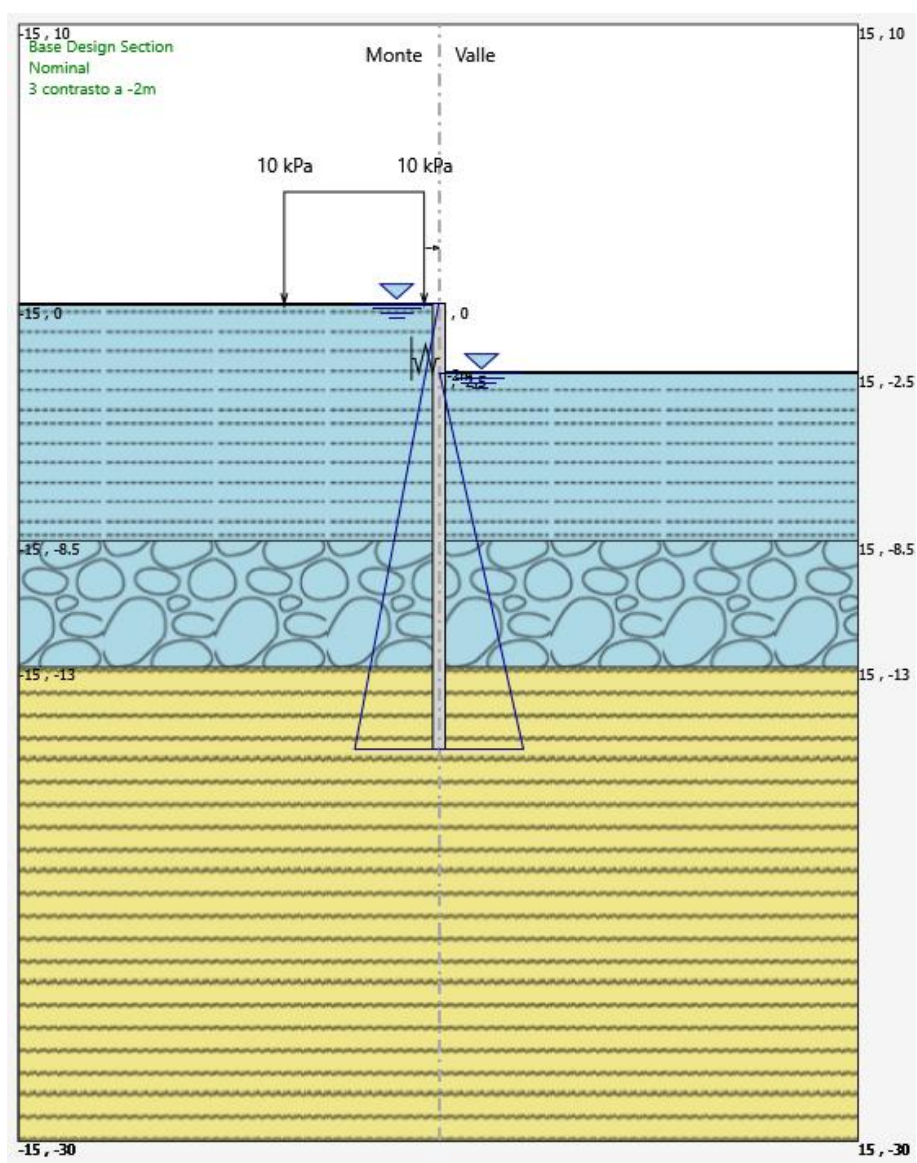
<i>Progetto definitivo</i>	COMMESSA	LOTTO	CODIFICA	DOCUMENTO	REV.	FOGLIO
<i>Relazione di calcolo delle Opere Provisionali</i>	RS3U	40	D09CL	VI0703001	B	63 di 171

FASE 2: Scavo ad una profondità -2.5m da p.c.



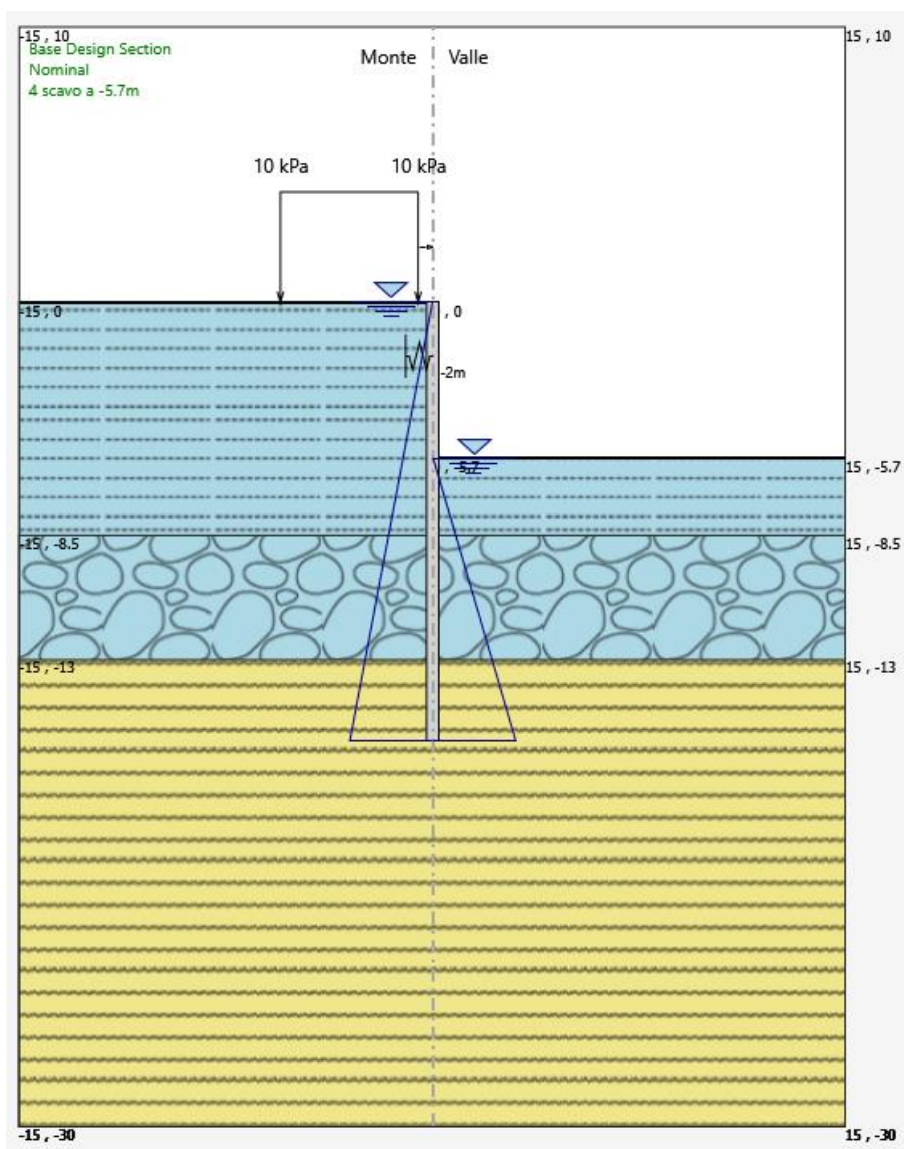
<i>Progetto definitivo</i>	COMMESSA	LOTTO	CODIFICA	DOCUMENTO	REV.	FOGLIO
<i>Relazione di calcolo delle Opere Provisionali</i>	RS3U	40	D09CL	VI0703001	B	64 di 171

FASE 3: Installazione contrasto a -2.0m da p.c.



<i>Progetto definitivo</i>	COMMESSA	LOTTO	CODIFICA	DOCUMENTO	REV.	FOGLIO
<i>Relazione di calcolo delle Opere Provisionali</i>	RS3U	40	D09CL	VI0703001	B	65 di 171

FASE 4: Scavo ad una profondità -5.7m da p.c.



	DIRETTRICE FERROVIARIA MESSINA - CATANIA - PALERMO NUOVO COLLEGAMENTO PALERMO - CATANIA PROGETTO DEFINITIVO VI07 - Viadotto ferroviario a Doppio binario					
	<i>Progetto definitivo</i> <i>Relazione di calcolo delle Opere</i> <i>Provisionali</i>	COMMESSA RS3U	LOTTO 40	CODIFICA D09CL	DOCUMENTO VI0703001	REV. B

8.1.7 Sezione di calcolo per scavi pila P19÷P21

Paratia di palancole.:

- PU22 profilo palancole
- L = 15.0 m lunghezza paratia

Travi di ripartizione: 2xHEB300

Sistema di puntoni (sezioni circolari cave in acciaio S275)

- tubolare cavi $\varnothing = 254$ mm
- Spessore= 20.0 mm
- Inclinazione= 45°

GEOMETRIA SEZIONI DI CALCOLO

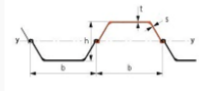
La massima altezza di scavo è di 5.20 m. Tale valore è stato incrementato rispetto a quello nominale di 0.5 m.

Nel calcolo si è tenuto conto del carico accidentale dovuto ai mezzi di cantiere $q_{acc} = 10$ kPa uniformemente distribuito su un'area di impronta di 5.0 m posto in prossimità dell'estradosso della paratia. Tale sovraccarico è stato considerato diffuso in profondità con un angolo di 45°. Si è inoltre tenuto conto di un carico, uniformemente diffuso, pari a 40 kPa pari a 2 m di terreno.

La distribuzione delle pressioni interstiziali sulla paratia è stata considerata idrostatica con valori raccordati al piede della stessa in ogni fase di calcolo.

Altezza fuori terra	5.7	[m]
Profondità di infissione	10.3	[m]
Altezza totale della paratia	15.0	[m]

<i>Progetto definitivo</i>	COMMESSA	LOTTO	CODIFICA	DOCUMENTO	REV.	FOGLIO
<i>Relazione di calcolo delle Opere Provisionali</i>	RS3U	40	D09CL	VI0703001	B	67 di 171

Palancole		Catalogo Palancole		
Profilo	PU_22			
Materiale	S275			
Tipo	U	β_a		0.7
Peso per superficie unitaria di parete	1.4082	β_D		0.45
B	0.6	I_x		0.0005 m ⁴ /m
H	0.45	W_{el}		0.0022 m ³ /m

La rigidezza del puntone è stata valutata tramite una modellazione agli elementi finiti con codice di calcolo SAP2000. Alla trave di ripartizione è stato applicato un carico uniformemente distribuito di 1 KN/m e si è mediato lo spostamento in corrispondenza della mezzeria della trave di ripartizione del punto medio (sempre sulla trave di ripartizione) tra appoggio e collegamento trave/puntone.

Tramite la formula $k = 1/u$ si valuta la rigidezza $k \approx 15000$ kN/m da applicare alle molle nel modello in Paratie Plus. La seguente figura mostra lo schema statico utilizzato in SAP2000.

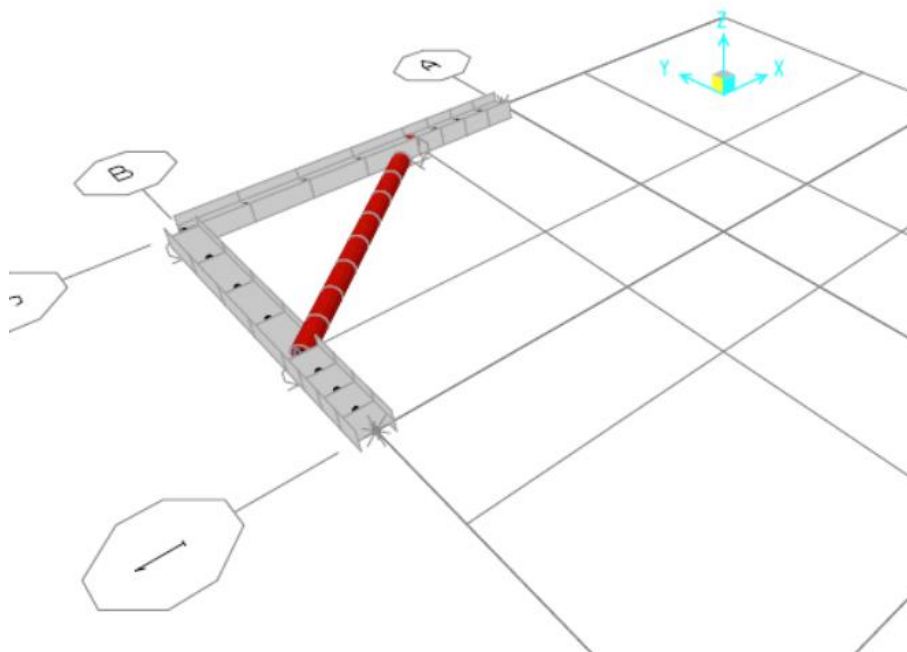


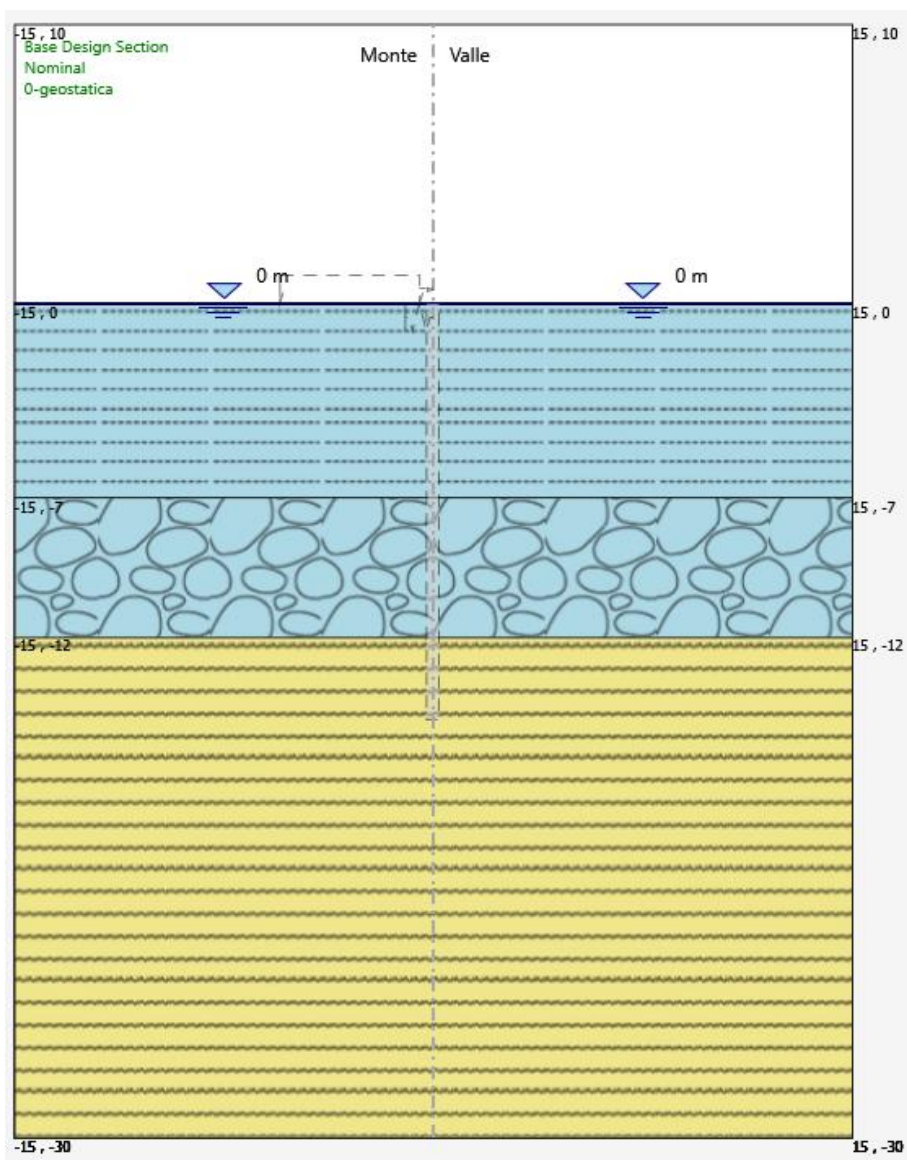
Figura 7: schema statico utilizzato nel codice di calcolo SAP2000 per la valutazione della rigidezza da assegnare al sistema di controventamento della paratia



DIRETTRICE FERROVIARIA MESSINA - CATANIA - PALERMO
NUOVO COLLEGAMENTO PALERMO - CATANIA
PROGETTO DEFINITIVO
VI07 - Viadotto ferroviario a Doppio binario

<i>Progetto definitivo</i>	COMMESSA	LOTTO	CODIFICA	DOCUMENTO	REV.	FOGLIO
<i>Relazione di calcolo delle Opere Provisionali</i>	RS3U	40	D09CL	VI0703001	B	68 di 171

FASE 0: Generazione stato tensionale iniziale

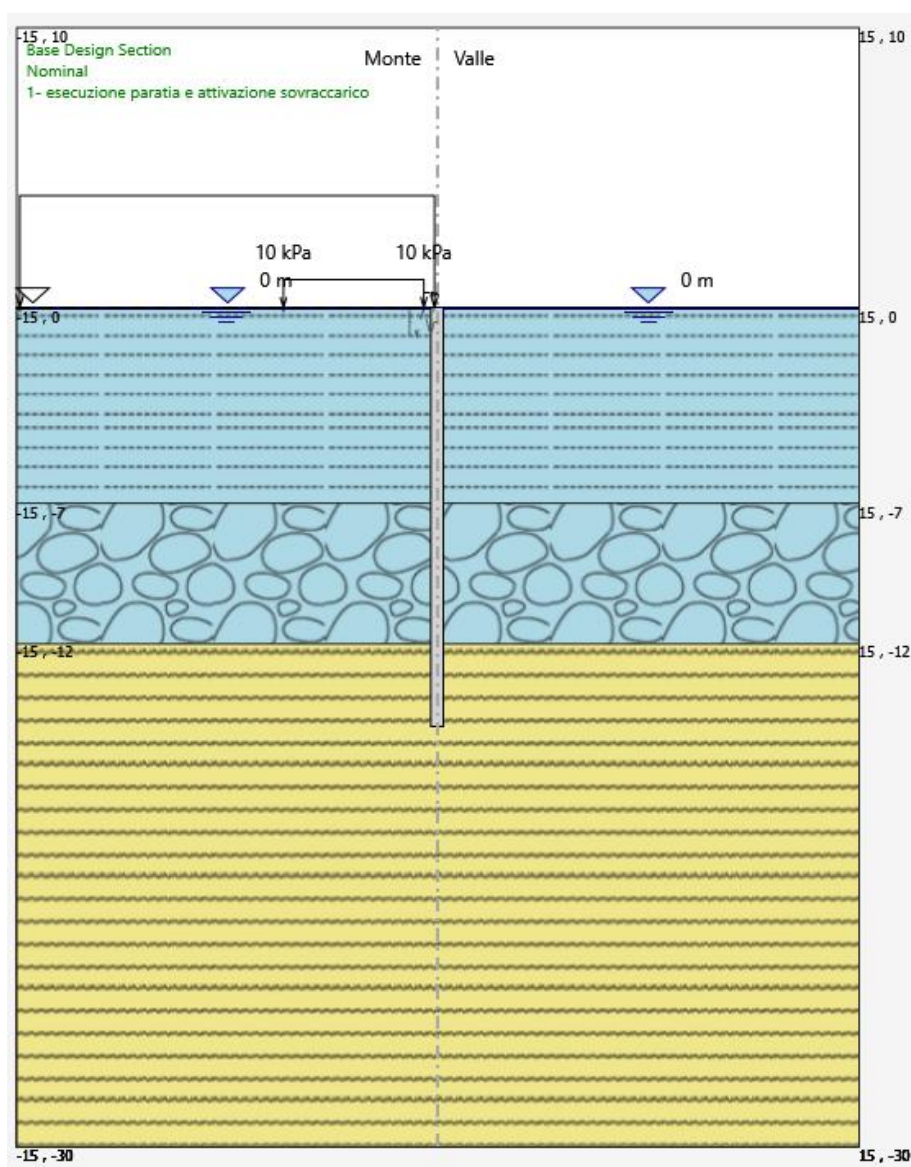




DIRETTRICE FERROVIARIA MESSINA - CATANIA - PALERMO
NUOVO COLLEGAMENTO PALERMO - CATANIA
PROGETTO DEFINITIVO
VI07 - Viadotto ferroviario a Doppio binario

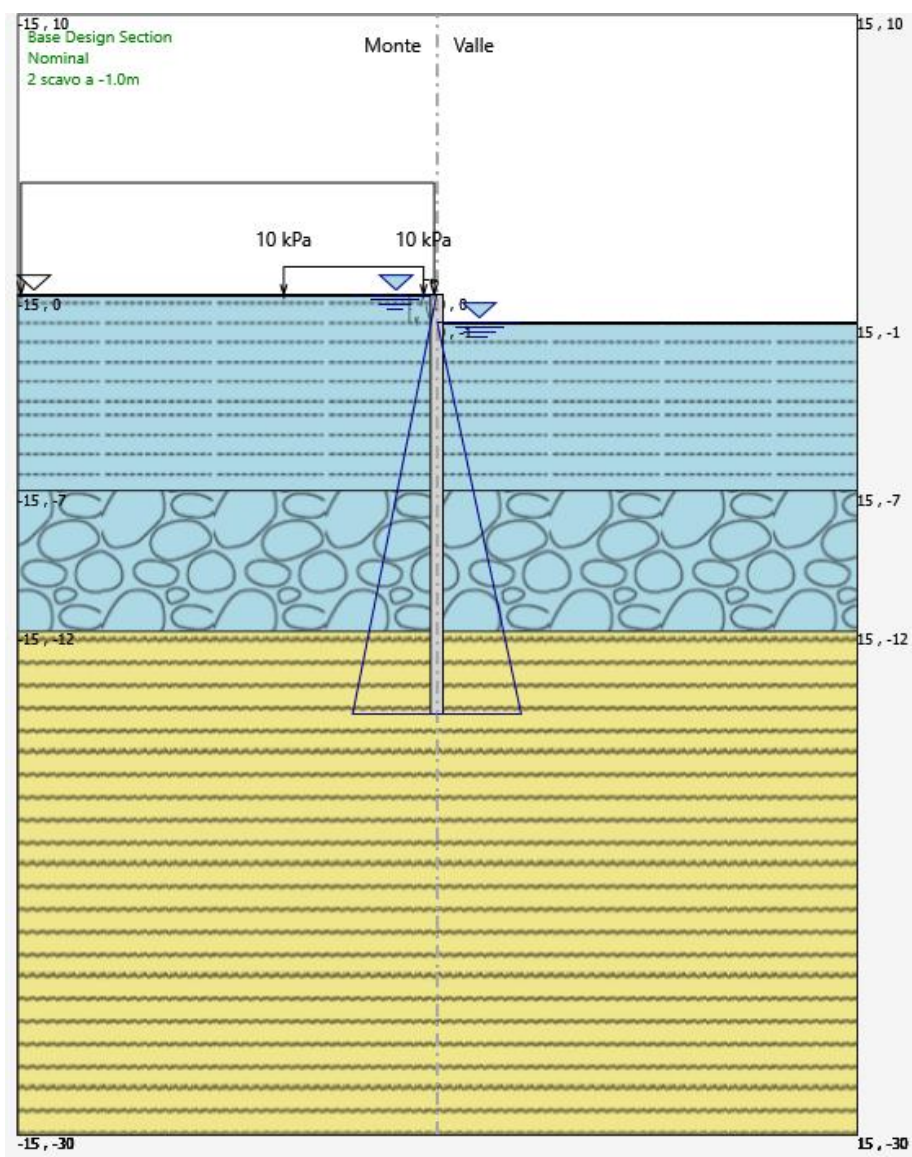
<i>Progetto definitivo</i>	COMMESSA	LOTTO	CODIFICA	DOCUMENTO	REV.	FOGLIO
<i>Relazione di calcolo delle Opere Provisionali</i>	RS3U	40	D09CL	VI0703001	B	69 di 171

FASE 1: Esecuzione paratia e attivazione sovraccarico



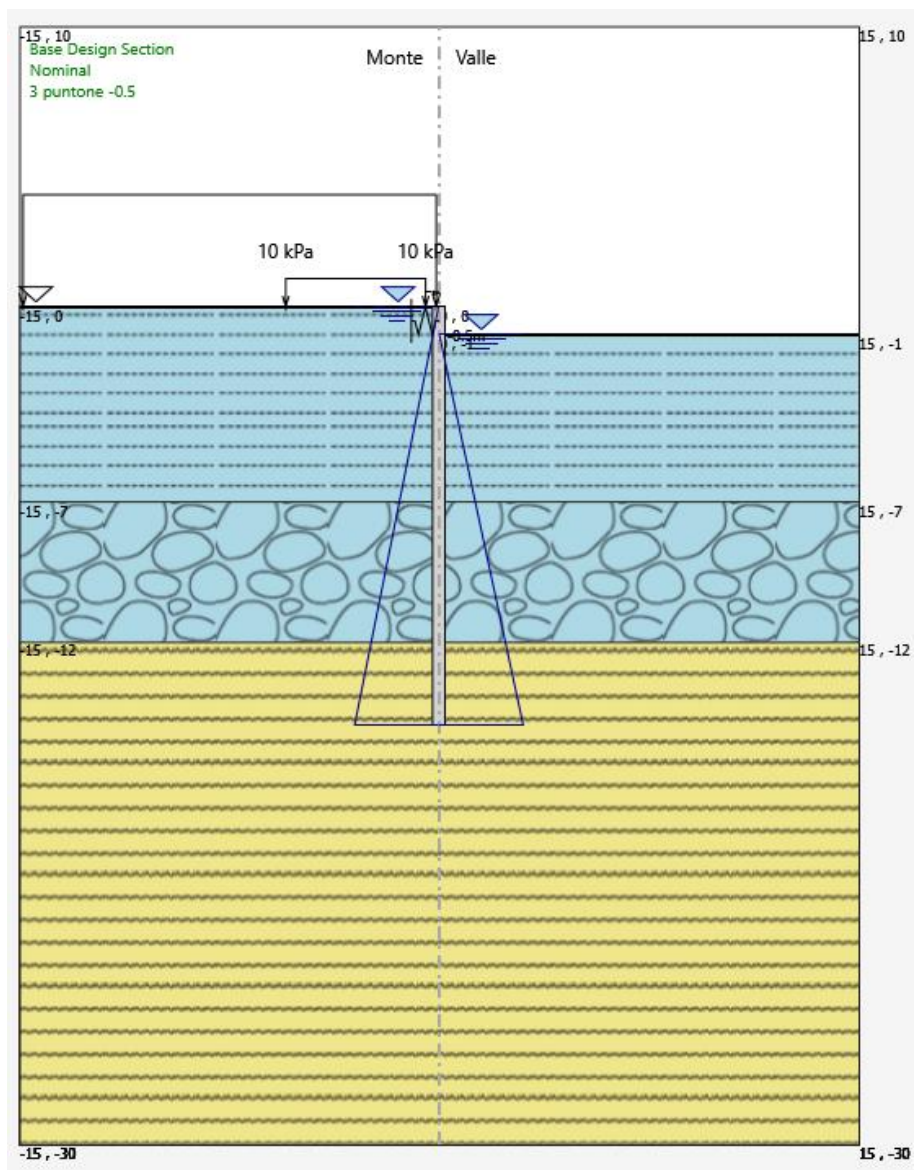
<i>Progetto definitivo</i>	COMMESSA	LOTTO	CODIFICA	DOCUMENTO	REV.	FOGLIO
<i>Relazione di calcolo delle Opere Provisionali</i>	RS3U	40	D09CL	VI0703001	B	70 di 171

FASE 2: Scavo ad una profondità -1.0m da p.c.



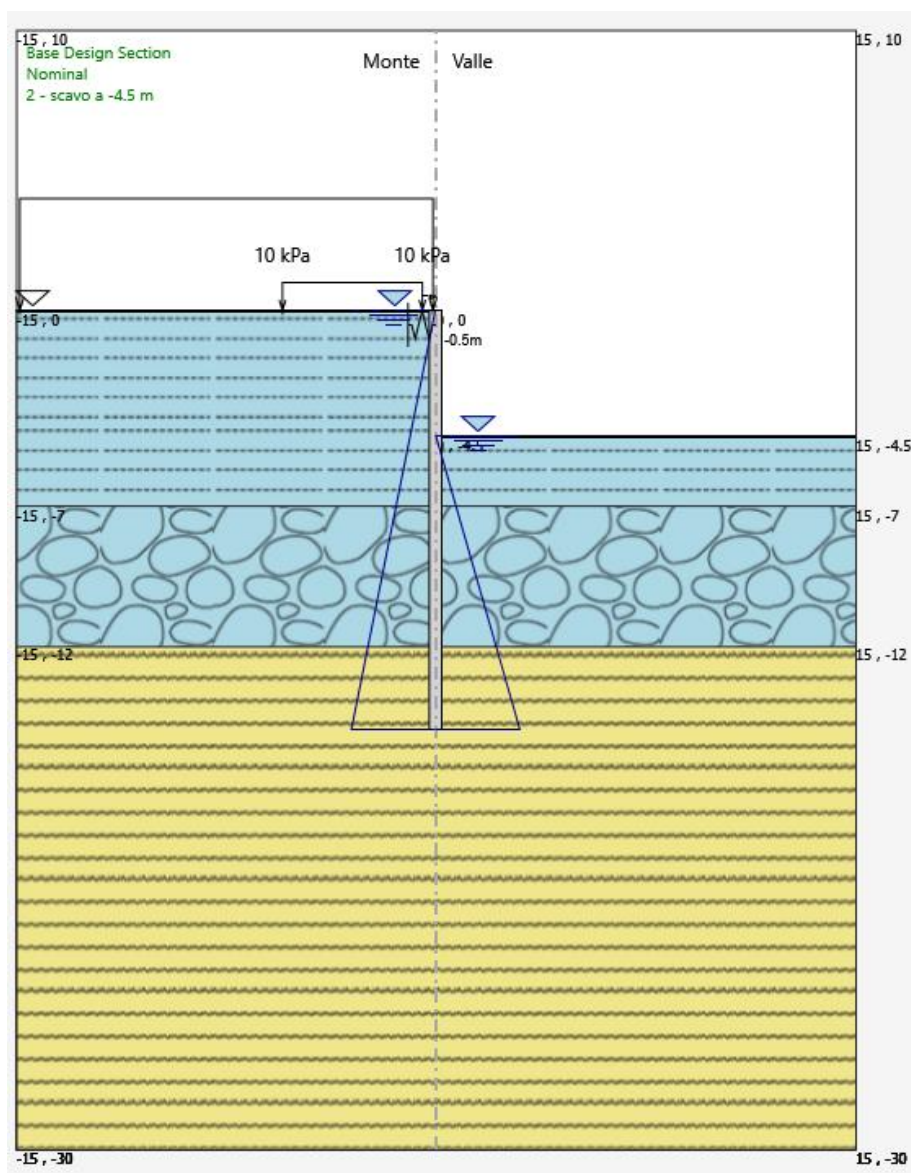
 <p>ITALFERR GRUPPO FERROVIE DELLO STATO ITALIANE</p>	<p>DIRETTRICE FERROVIARIA MESSINA - CATANIA - PALERMO NUOVO COLLEGAMENTO PALERMO - CATANIA PROGETTO DEFINITIVO VI07 - Viadotto ferroviario a Doppio binario</p>					
	<p><i>Progetto definitivo</i></p> <p><i>Relazione di calcolo delle Opere Provisionali</i></p>	<p>COMMESSA</p> <p>RS3U</p>	<p>LOTTO</p> <p>40</p>	<p>CODIFICA</p> <p>D09CL</p>	<p>DOCUMENTO</p> <p>VI0703001</p>	<p>REV.</p> <p>B</p>

FASE 3: Installazione contrasto a -0.5m da p.c.



<i>Progetto definitivo</i>	COMMESSA	LOTTO	CODIFICA	DOCUMENTO	REV.	FOGLIO
<i>Relazione di calcolo delle Opere Provisionali</i>	RS3U	40	D09CL	VI0703001	B	72 di 171

FASE 4: Scavo ad una profondità -4.5m da p.c.



 ITALFERR GRUPPO FERROVIE DELLO STATO ITALIANE	DIRETTRICE FERROVIARIA MESSINA - CATANIA - PALERMO NUOVO COLLEGAMENTO PALERMO - CATANIA PROGETTO DEFINITIVO VI07 - Viadotto ferroviario a Doppio binario					
	<i>Progetto definitivo</i> <i>Relazione di calcolo delle Opere</i> <i>Provisionali</i>	COMMESSA RS3U	LOTTO 40	CODIFICA D09CL	DOCUMENTO VI0703001	REV. B

8.1.8 Sezione di calcolo per scavi pila P22÷P25

Paratia di palancole.:

- PU22 profilo palancole
- L = 13.0 m lunghezza paratia

Travi di ripartizione: 2xHEB300

Sistema di puntoni (sezioni circolari cave in acciaio S275)

- tubolare cavi $\varnothing = 254$ mm
- Spessore= 12.5 mm
- Inclinazione= 45°

GEOMETRIA SEZIONI DI CALCOLO

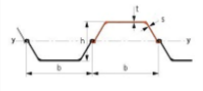
La massima altezza di scavo è di 4.0 m. Tale valore è stato incrementato rispetto a quello nominale di 0.5 m.

Nel calcolo si è tenuto conto del carico accidentale dovuto ai mezzi di cantiere $q_{acc} = 10$ kPa uniformemente distribuito su un'area di impronta di 5.0 m posto in prossimità dell'estradosso della paratia. Tale sovraccarico è stato considerato diffuso in profondità con un angolo di 45°.

La distribuzione delle pressioni interstiziali sulla paratia è stata considerata idrostatica con valori raccordati al piede della stessa in ogni fase di calcolo.

Altezza fuori terra	4.5	[m]
Profondità di infissione	8.5	[m]
Altezza totale della paratia	13.0	[m]

 ITALFERR GRUPPO FERROVIE DELLO STATO ITALIANE	DIRETTRICE FERROVIARIA MESSINA - CATANIA - PALERMO NUOVO COLLEGAMENTO PALERMO - CATANIA PROGETTO DEFINITIVO VI07 - Viadotto ferroviario a Doppio binario					
	<i>Progetto definitivo</i> <i>Relazione di calcolo delle Opere Provisionali</i>	COMMESSA RS3U	LOTTO 40	CODIFICA D09CL	DOCUMENTO VI0703001	REV. B

Palancole		Catalogo Palancole		
Profilo	PU_22			
Materiale	S275			
Tipo	U	β_a		0.7
Peso per superficie unitaria di parete	1.4082	β_D		0.45
B	0.6	I_x		0.0005 m ⁴ /m
H	0.45	W_{el}		0.0022 m ³ /m

La rigidezza del puntone è stata valutata tramite una modellazione agli elementi finiti con codice di calcolo SAP2000. Alla trave di ripartizione è stato applicato un carico uniformemente distribuito di 1 KN/m e si è mediato lo spostamento in corrispondenza della mezzeria della trave di ripartizione del punto medio (sempre sulla trave di ripartizione) tra appoggio e collegamento trave/puntone.

Tramite la formula $k = 1/u$ si valuta la rigidezza $k \approx 15000$ kN/m da applicare alle molle nel modello in Paratie Plus. La seguente figura mostra lo schema statico utilizzato in SAP2000.

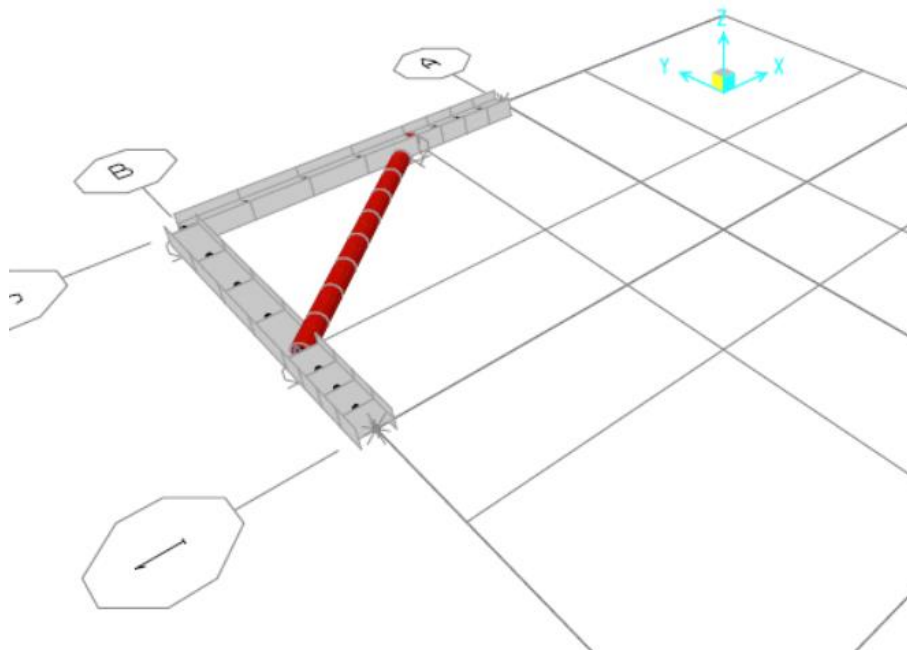


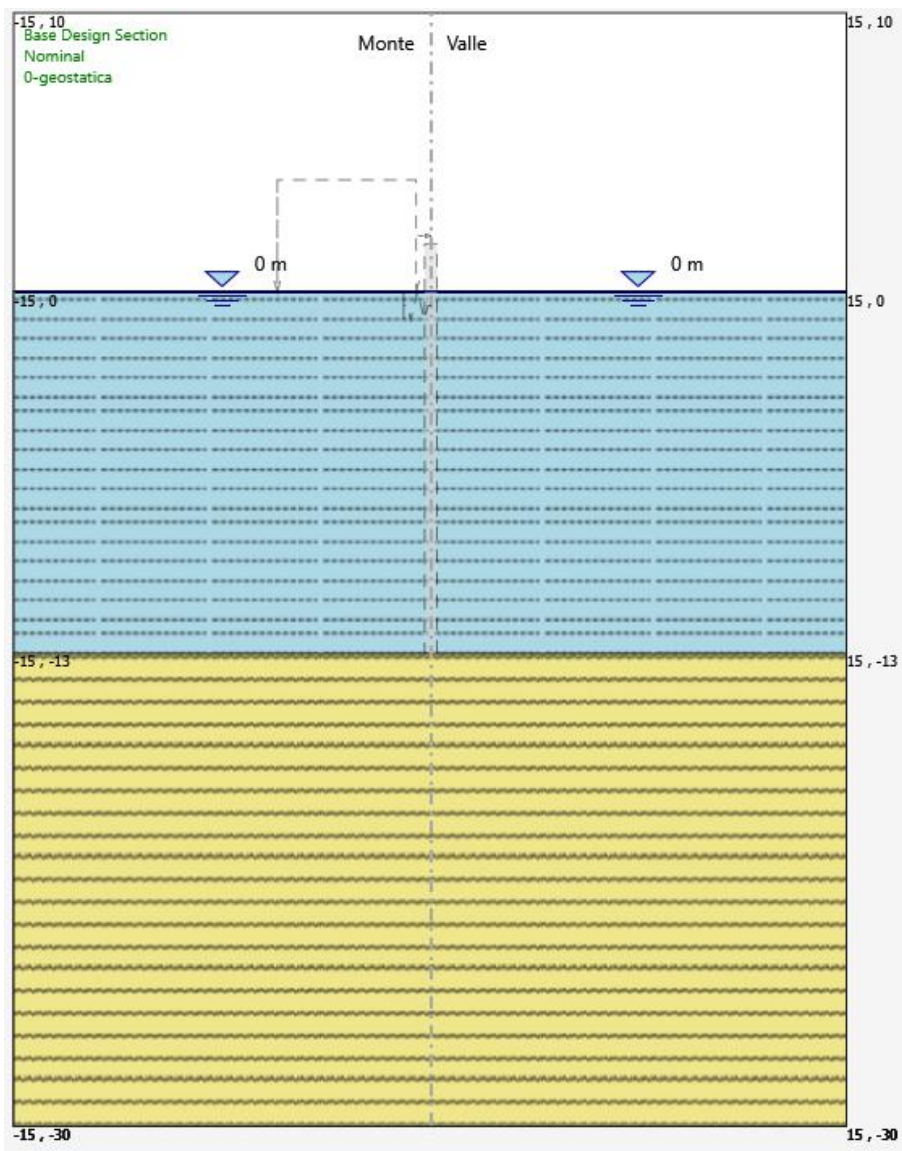
Figura 8: schema statico utilizzato nel codice di calcolo SAP2000 per la valutazione della rigidezza da assegnare al sistema di controventamento della paratia



DIRETTRICE FERROVIARIA MESSINA - CATANIA - PALERMO
NUOVO COLLEGAMENTO PALERMO - CATANIA
PROGETTO DEFINITIVO
VI07 - Viadotto ferroviario a Doppio binario

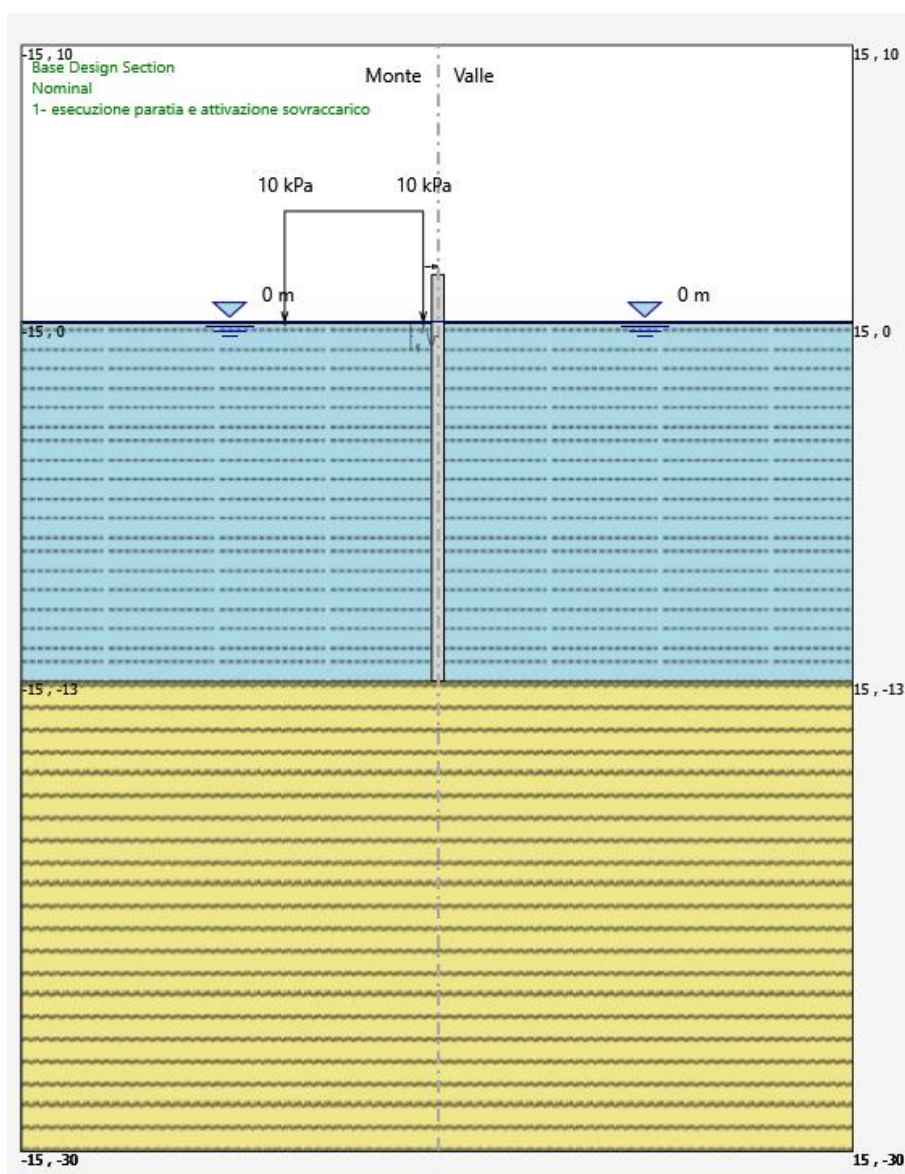
<i>Progetto definitivo</i> <i>Relazione di calcolo delle Opere Provisionali</i>	COMMESSA RS3U	LOTTO 40	CODIFICA D09CL	DOCUMENTO VI0703001	REV. B	FOGLIO 75 di 171
--	----------------------	-----------------	-----------------------	----------------------------	---------------	-------------------------

FASE 0: Generazione stato tensionale iniziale



<i>Progetto definitivo</i>	COMMESSA	LOTTO	CODIFICA	DOCUMENTO	REV.	FOGLIO
<i>Relazione di calcolo delle Opere Provisionali</i>	RS3U	40	D09CL	VI0703001	B	76 di 171

FASE 1: Esecuzione paratia e attivazione sovraccarico

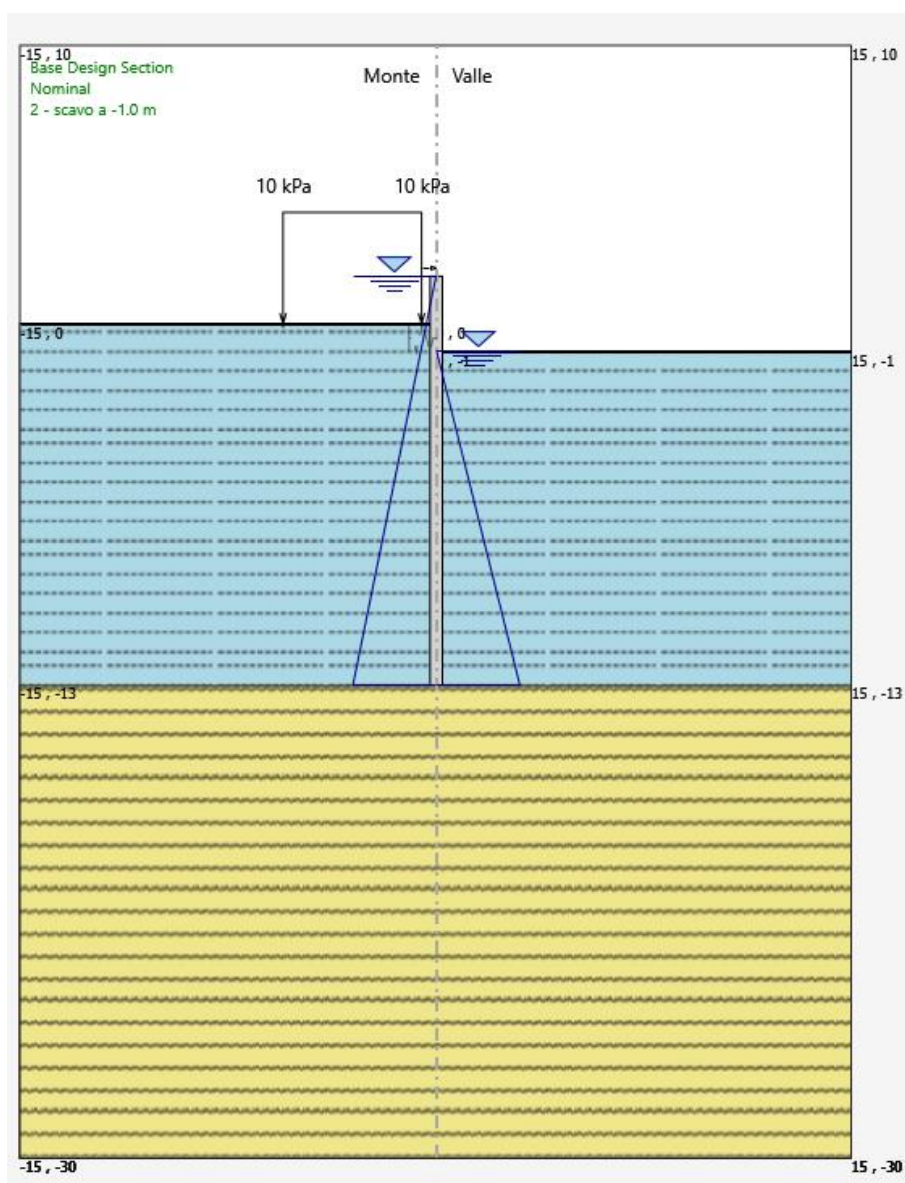




DIRETTRICE FERROVIARIA MESSINA - CATANIA - PALERMO
NUOVO COLLEGAMENTO PALERMO - CATANIA
PROGETTO DEFINITIVO
VI07 - Viadotto ferroviario a Doppio binario

<i>Progetto definitivo</i> <i>Relazione di calcolo delle Opere Provisionali</i>	COMMESSA RS3U	LOTTO 40	CODIFICA D09CL	DOCUMENTO VI0703001	REV. B	FOGLIO 77 di 171
--	----------------------	-----------------	-----------------------	----------------------------	---------------	-------------------------

FASE 2: Scavo ad una profondità -1.0m da p.c.

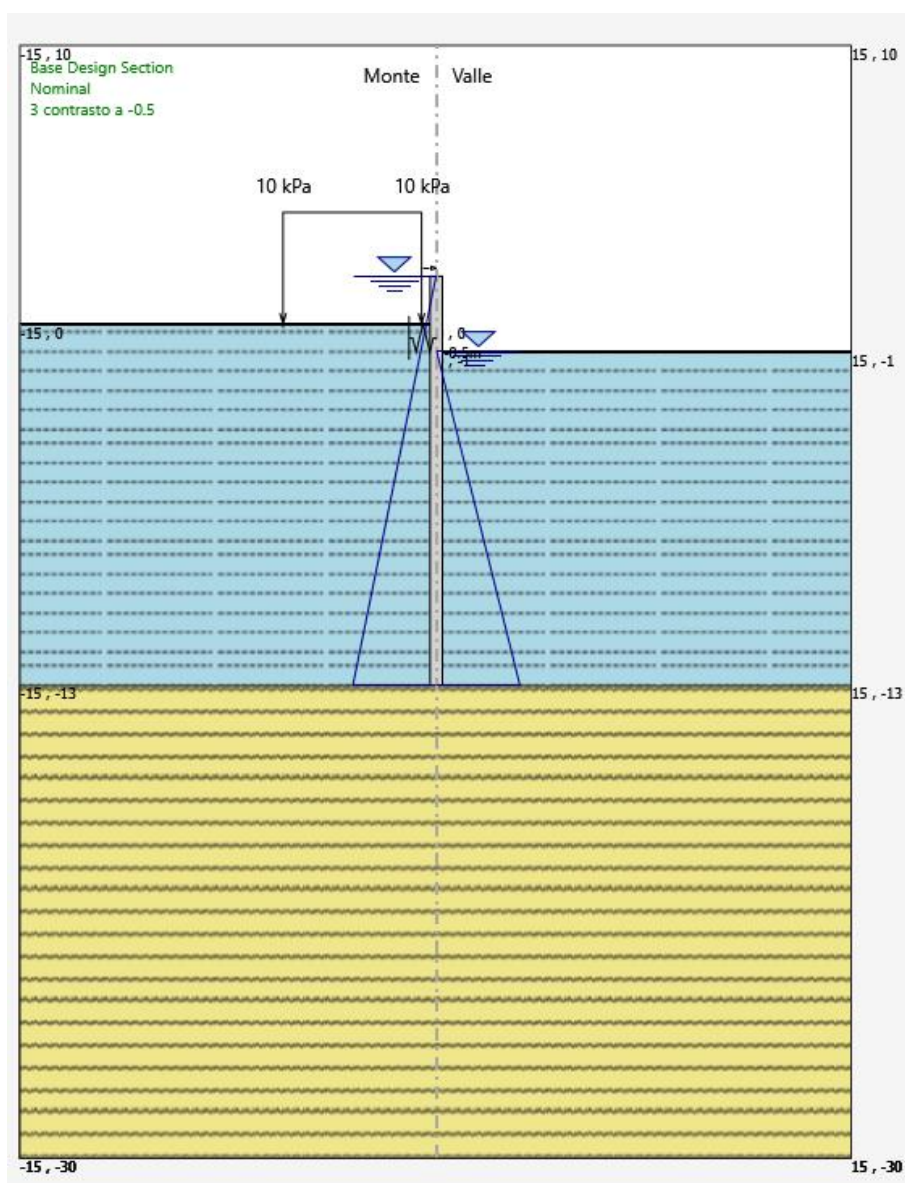




DIRETTRICE FERROVIARIA MESSINA - CATANIA - PALERMO
NUOVO COLLEGAMENTO PALERMO - CATANIA
PROGETTO DEFINITIVO
VI07 - Viadotto ferroviario a Doppio binario

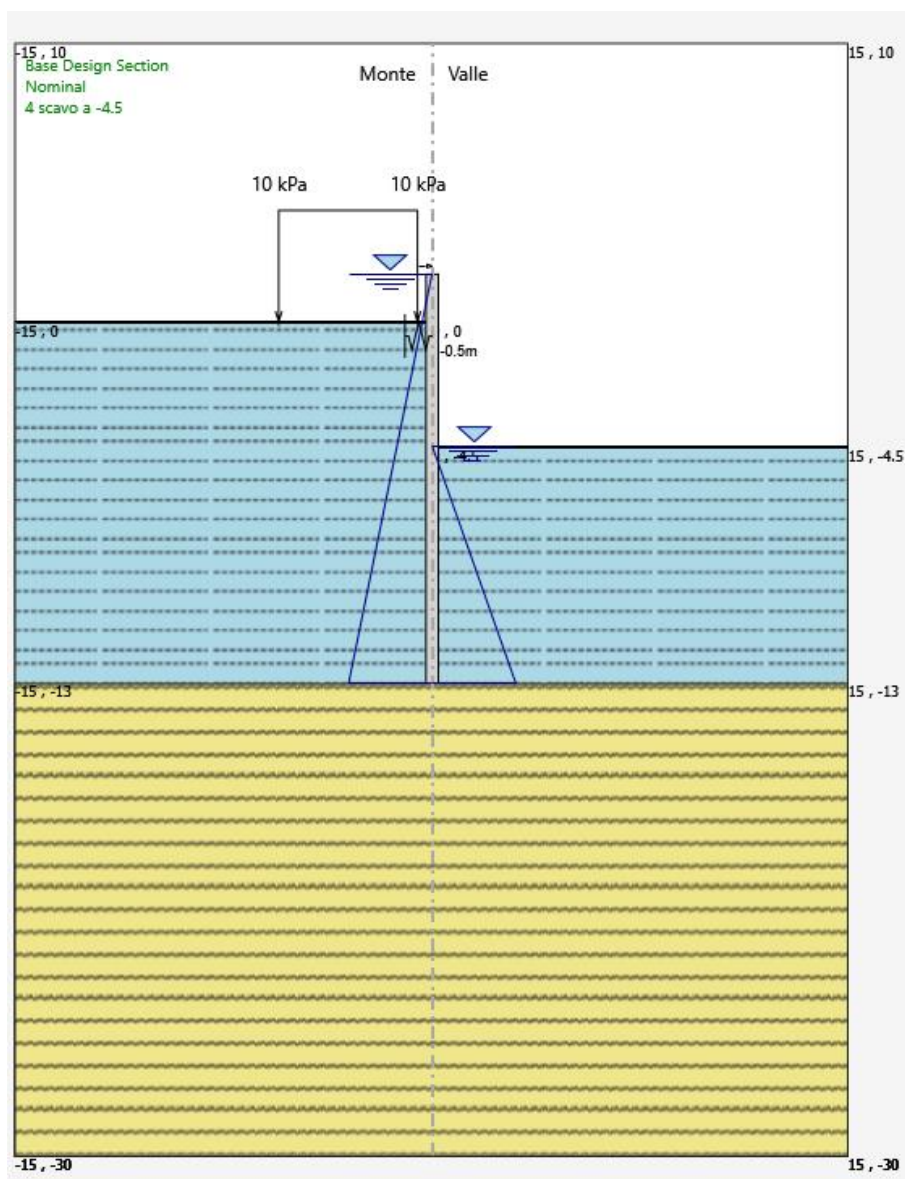
<i>Progetto definitivo</i> <i>Relazione di calcolo delle Opere Provisionali</i>	COMMESSA RS3U	LOTTO 40	CODIFICA D09CL	DOCUMENTO VI0703001	REV. B	FOGLIO 78 di 171
--	----------------------	-----------------	-----------------------	----------------------------	---------------	-------------------------

FASE 3: Installazione contrasto a -0.5m da p.c.



<i>Progetto definitivo</i>	COMMESSA	LOTTO	CODIFICA	DOCUMENTO	REV.	FOGLIO
<i>Relazione di calcolo delle Opere Provisionali</i>	RS3U	40	D09CL	VI0703001	B	79 di 171

FASE 4: Scavo ad una profondità -4.5m da p.c.



	DIRETTRICE FERROVIARIA MESSINA - CATANIA - PALERMO NUOVO COLLEGAMENTO PALERMO - CATANIA PROGETTO DEFINITIVO VI07 - Viadotto ferroviario a Doppio binario					
	<i>Progetto definitivo</i> <i>Relazione di calcolo delle Opere Provisionali</i>	COMMESSA RS3U	LOTTO 40	CODIFICA D09CL	DOCUMENTO VI0703001	REV. B

8.1.9 Sezione di calcolo per scavi Spalla SPB

Paratia di pali in c.a.:

- $D_p = 500$ mm diametro di perforazione
- $i = 0.60$ m interasse longitudinale tra i pali
- $L = 9.0$ m lunghezza del palo

Cordolo di testa: 60x100 cm

Sistema di puntoni (sezioni circolari cave in acciaio S275)

- tubolare cavi $\varnothing = 254$ mm
- Spessore= 20.0 mm
- Inclinazione= 45°

GEOMETRIA SEZIONI DI CALCOLO

La massima altezza di scavo è di 3.0 m. Tale valore è stato incrementato rispetto a quello nominale di 0.5 m.

Nel calcolo si è tenuto conto del carico accidentale dovuto ai mezzi di cantiere $q_{acc} = 10$ kPa uniformemente distribuito su un'area di impronta di 5.0 m posto in prossimità dell'estradosso della paratia. Tale sovraccarico è stato considerato diffuso in profondità con un angolo di 45°. Inoltre si è tenuto conto di un sovraccarico uniformemente distribuito pari a 50 kPa corrispondente a 2.5m di terreno.

La distribuzione delle pressioni interstiziali sulla paratia è stata considerata idrostatica con valori raccordati al piede della stessa in ogni fase di calcolo.

Altezza fuori terra	3.5	[m]
Profondità di infissione	9.0	[m]
Altezza totale della paratia	5.5	[m]

 ITALFERR GRUPPO FERROVIE DELLO STATO ITALIANE	DIRETTRICE FERROVIARIA MESSINA - CATANIA - PALERMO NUOVO COLLEGAMENTO PALERMO - CATANIA PROGETTO DEFINITIVO VI07 - Viadotto ferroviario a Doppio binario					
	<i>Progetto definitivo</i> <i>Relazione di calcolo delle Opere Provisionali</i>	COMMESSA RS3U	LOTTO 40	CODIFICA D09CL	DOCUMENTO VI0703001	REV. B

Numero di file di pali	1	[m]
Interasse fra i pali della fila	0.60	[m]
Diametro pali	0.50	[m]

Mat. omogeneizzazione C25/30 Puntoni

Geometria e materiali

Custom

Materiale Inerzia m4/m Area m2/m

Diaframma o Pali

Calcestruzzo

Materiale C25/30

Spessore Ct 0.6 m

Diametro Cd 0.5 m

Passo Cs 0.6 m

Efficacia del calcestruzzo per il calcolo della rigidezza [0-1] ac 1

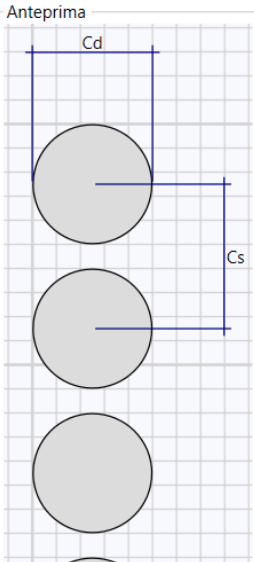
Acciaio

Materiale Fe360

Profilo

Passo Ss 0.6 m

Anteprima



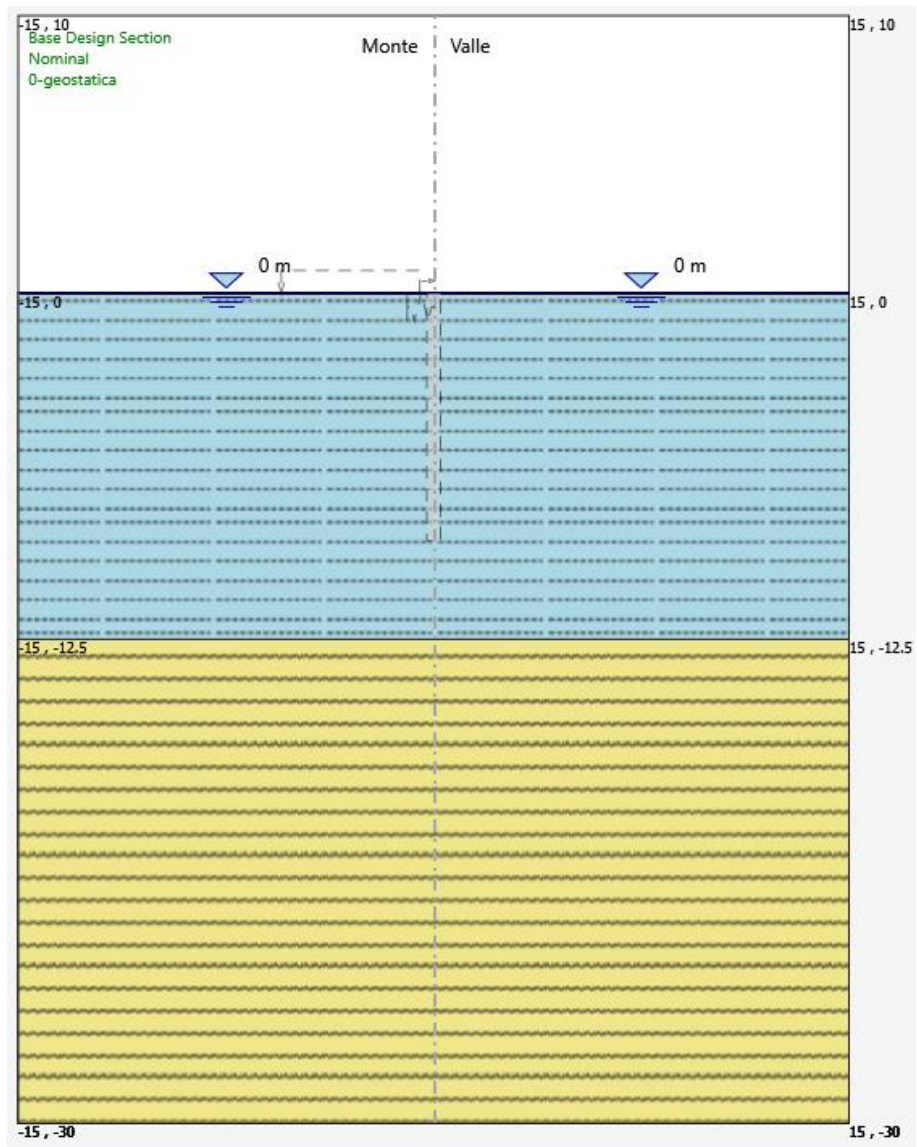
Il cordolo di collegamento dei pali ha dimensioni trasversali 0.60 m x 1.0 m. Di seguito si riportano le fasi di calcolo che sono state analizzate in successione.

La rigidezza del puntone è stata valutata tramite una modellazione agli elementi finiti con codice di calcolo SAP2000. Alla trave di ripartizione è stato applicato un carico uniformemente distribuito di 1 KN/m e si è mediato lo spostamento in corrispondenza della mezzeria della trave di ripartizione del punto medio (sempre sulla trave di ripartizione) tra appoggio e collegamento trave/puntone.

Tramite la formula $k = 1/u$ si valuta la rigidezza $k \approx 12000$ kN/m da applicare alle molle nel modello in Paratie Plus.

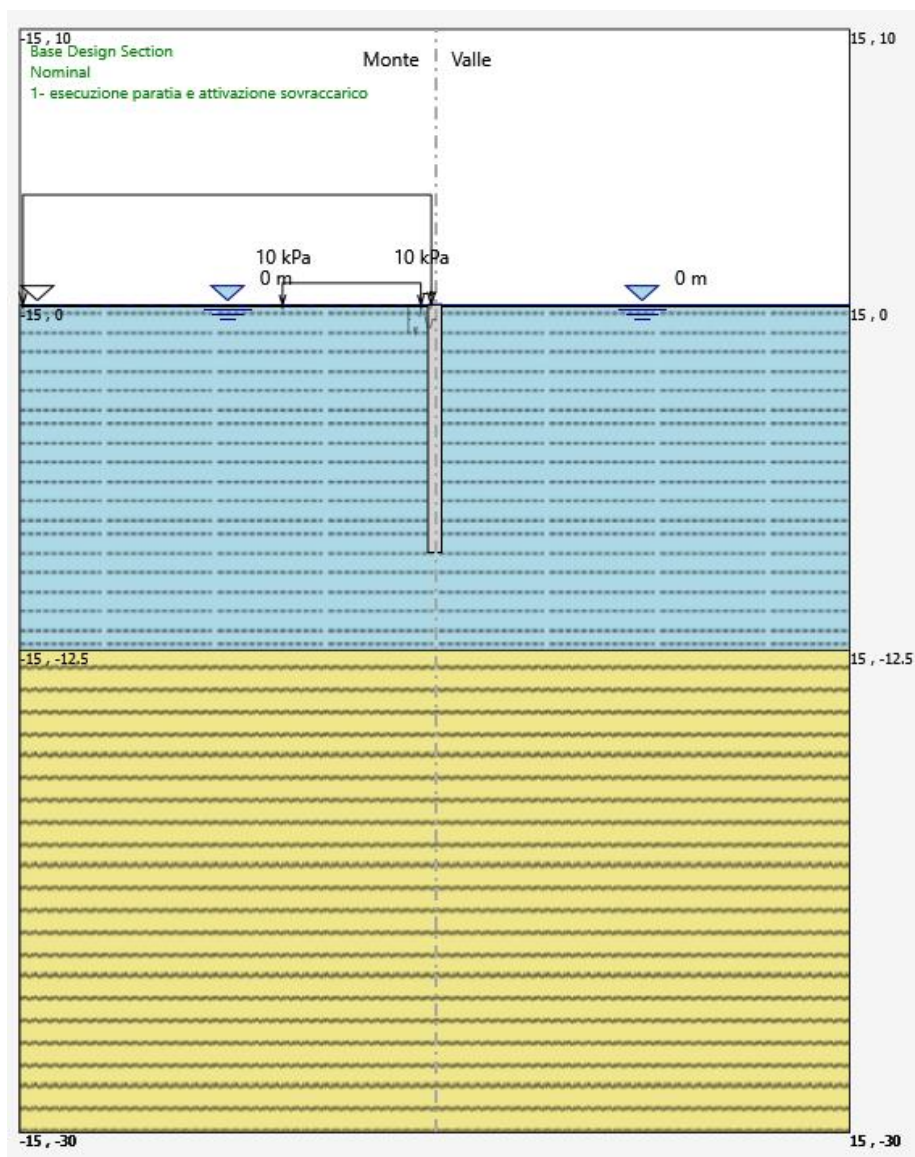
<i>Progetto definitivo</i>	COMMESSA	LOTTO	CODIFICA	DOCUMENTO	REV.	FOGLIO
<i>Relazione di calcolo delle Opere Provisionali</i>	RS3U	40	D03CL	VI0703001	B	82 di 171

FASE 0: Generazione stato tensionale iniziale



<i>Progetto definitivo</i>	COMMESSA	LOTTO	CODIFICA	DOCUMENTO	REV.	FOGLIO
<i>Relazione di calcolo delle Opere Provisionali</i>	RS3U	40	D09CL	VI0703001	B	83 di 171

FASE 1: Esecuzione paratia e attivazione sovraccarichi

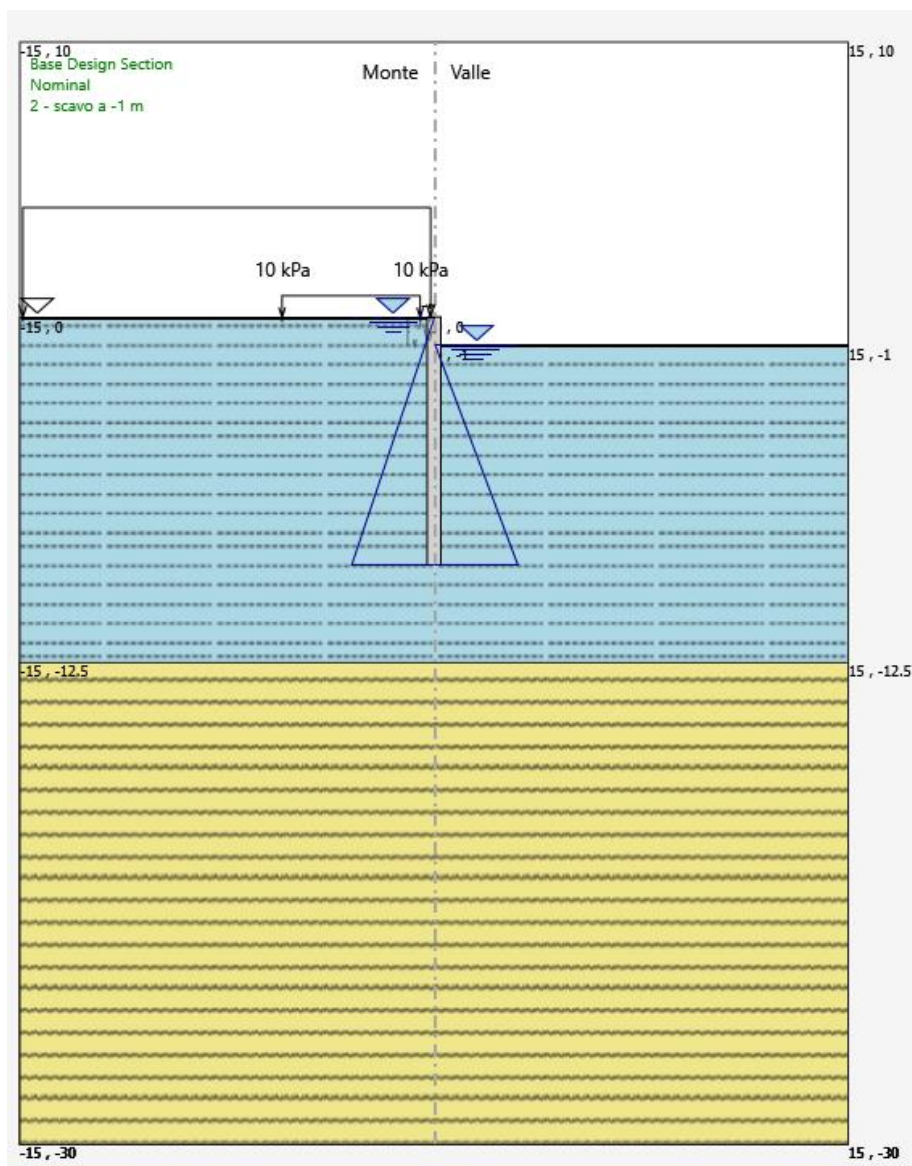




DIRETTRICE FERROVIARIA MESSINA - CATANIA - PALERMO
NUOVO COLLEGAMENTO PALERMO - CATANIA
PROGETTO DEFINITIVO
VI07 - Viadotto ferroviario a Doppio binario

<i>Progetto definitivo</i> <i>Relazione di calcolo delle Opere Provisionali</i>	COMMESSA RS3U	LOTTO 40	CODIFICA D09CL	DOCUMENTO VI0703001	REV. B	FOGLIO 84 di 171
--	----------------------	-----------------	-----------------------	----------------------------	---------------	-------------------------

FASE 2: Scavo ad una profondità -1.0m da p.c.

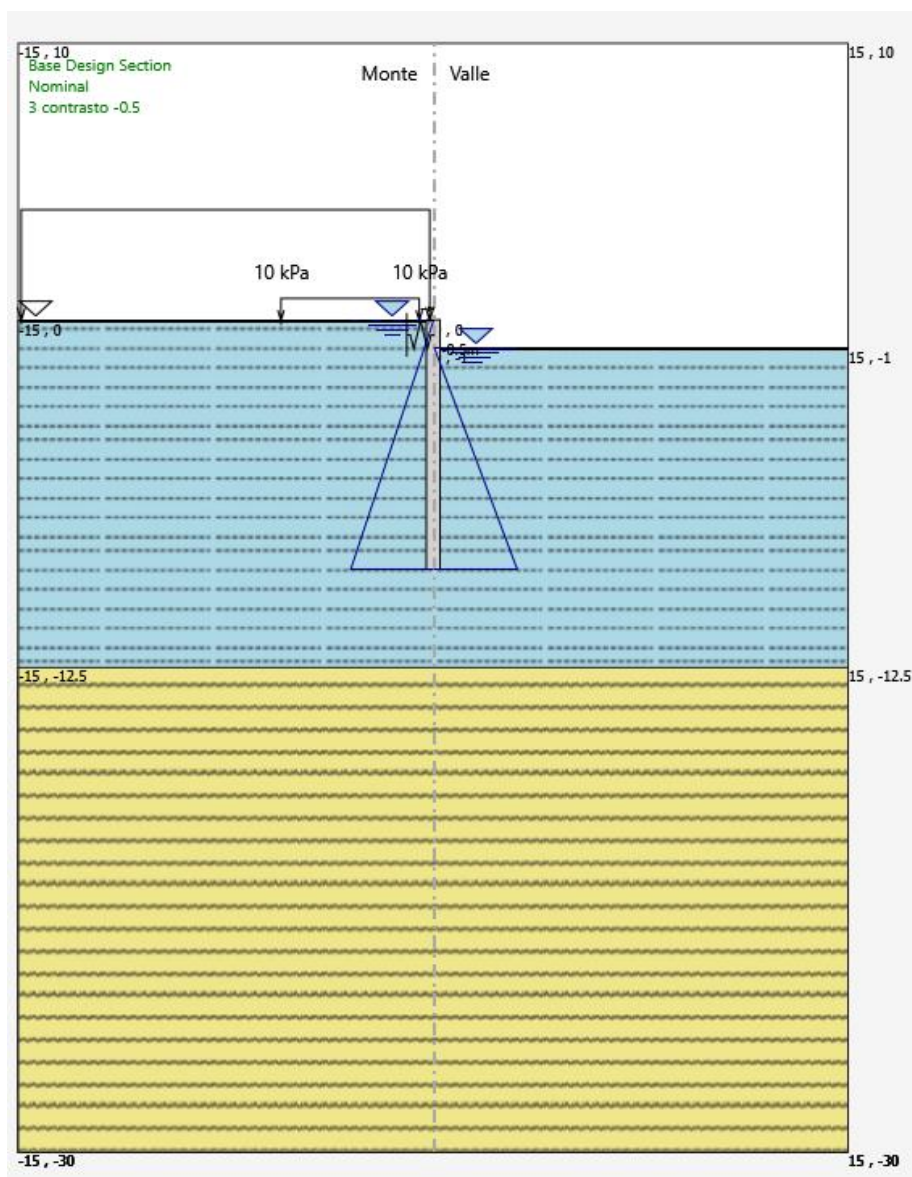




DIRETTRICE FERROVIARIA MESSINA - CATANIA - PALERMO
NUOVO COLLEGAMENTO PALERMO - CATANIA
PROGETTO DEFINITIVO
VI07 - Viadotto ferroviario a Doppio binario

<i>Progetto definitivo</i> <i>Relazione di calcolo delle Opere Provisionali</i>	COMMESSA RS3U	LOTTO 40	CODIFICA D09CL	DOCUMENTO VI0703001	REV. B	FOGLIO 85 di 171
--	----------------------	-----------------	-----------------------	----------------------------	---------------	-------------------------

FASE 3: Installazione contrasto a -0.5m da p.c.

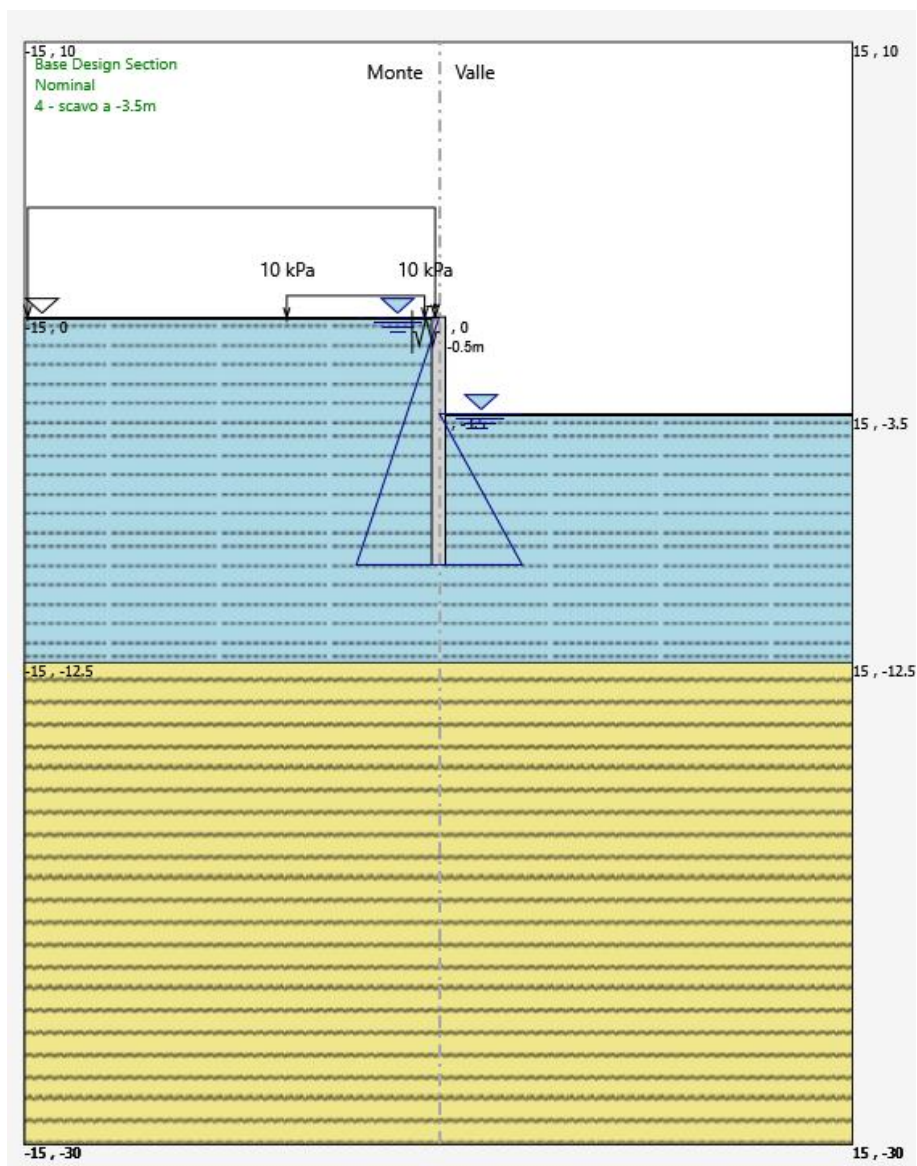




DIRETTRICE FERROVIARIA MESSINA - CATANIA - PALERMO
NUOVO COLLEGAMENTO PALERMO - CATANIA
PROGETTO DEFINITIVO
VI07 - Viadotto ferroviario a Doppio binario

<i>Progetto definitivo</i> <i>Relazione di calcolo delle Opere Provisionali</i>	COMMESSA RS3U	LOTTO 40	CODIFICA D09CL	DOCUMENTO VI0703001	REV. B	FOGLIO 86 di 171
--	----------------------	-----------------	-----------------------	----------------------------	---------------	-------------------------

FASE 4: Scavo ad una profondità -3.5m da p.c.



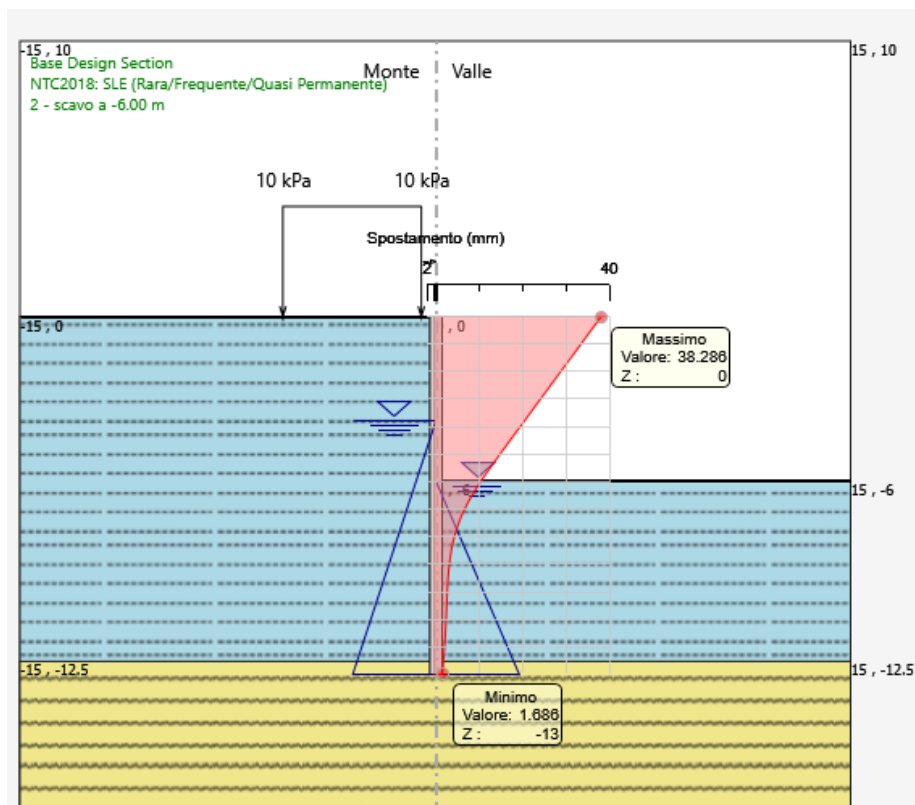
 ITALFERR GRUPPO FERROVIE DELLO STATO ITALIANE	DIRETTRICE FERROVIARIA MESSINA - CATANIA - PALERMO NUOVO COLLEGAMENTO PALERMO - CATANIA PROGETTO DEFINITIVO VI07 - Viadotto ferroviario a Doppio binario					
	<i>Progetto definitivo</i> <i>Relazione di calcolo delle Opere</i> <i>Provisionali</i>	COMMESSA RS3U	LOTTO 40	CODIFICA D09CL	DOCUMENTO VI0703001	REV. B

9. RISULTATI E VERIFICHE DELLA PARATIA (PILA P2&P15)

Nel seguito si espongono, in sintesi, i principali risultati di interesse progettuale.

9.1 RISULTATI (COMBINAZIONE SLE)

Dall'involuppo degli spostamenti in combinazione SLE si osserva che lo spostamento massimo orizzontale della paratia risulta pari a circa 38 mm.



 ITALFERR GRUPPO FERROVIE DELLO STATO ITALIANE	DIRETTRICE FERROVIARIA MESSINA - CATANIA - PALERMO NUOVO COLLEGAMENTO PALERMO - CATANIA PROGETTO DEFINITIVO VI07 - Viadotto ferroviario a Doppio binario					
	<i>Progetto definitivo</i> <i>Relazione di calcolo delle Opere</i> <i>Provisionali</i>	COMMESSA RS3U	LOTTO 40	CODIFICA D09CL	DOCUMENTO VI0703001	REV. B

9.2 RISULTATI E VERIFICHE SLU-STR PARATIA (combinazione A1+M1+R1)

Dall'involuppo del momento flettente in combinazione A1+M1+R1 si osserva che il massimo valore sulla paratia si ha ad una quota di 7.2 m da testa palo e risulta pari a 80 kNm/m.

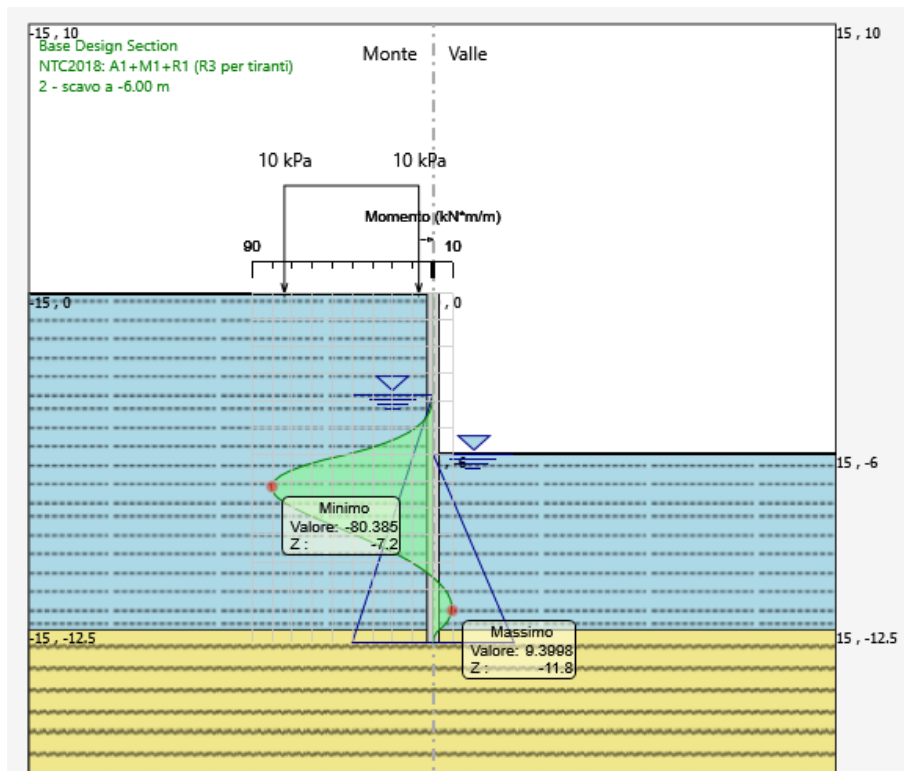


Figura 9: momento flettente allo SLU-STR

<i>Progetto definitivo</i>	COMMESSA	LOTTO	CODIFICA	DOCUMENTO	REV.	FOGLIO
<i>Relazione di calcolo delle Opere Provisionali</i>	RS3U	40	D09CL	VI0703001	B	89 di 171

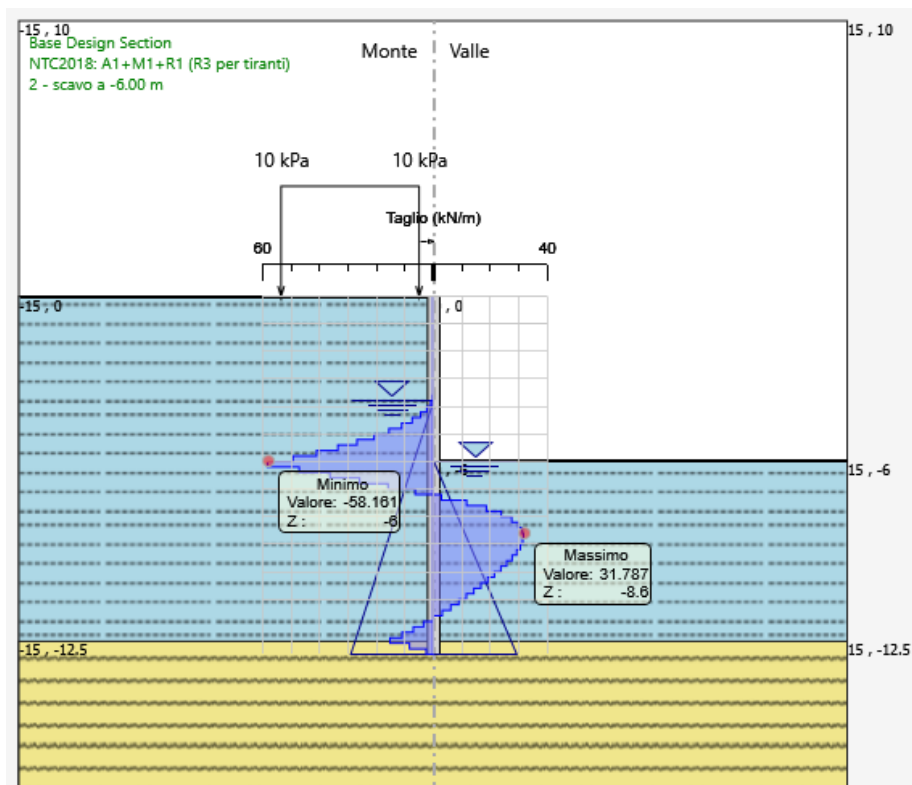


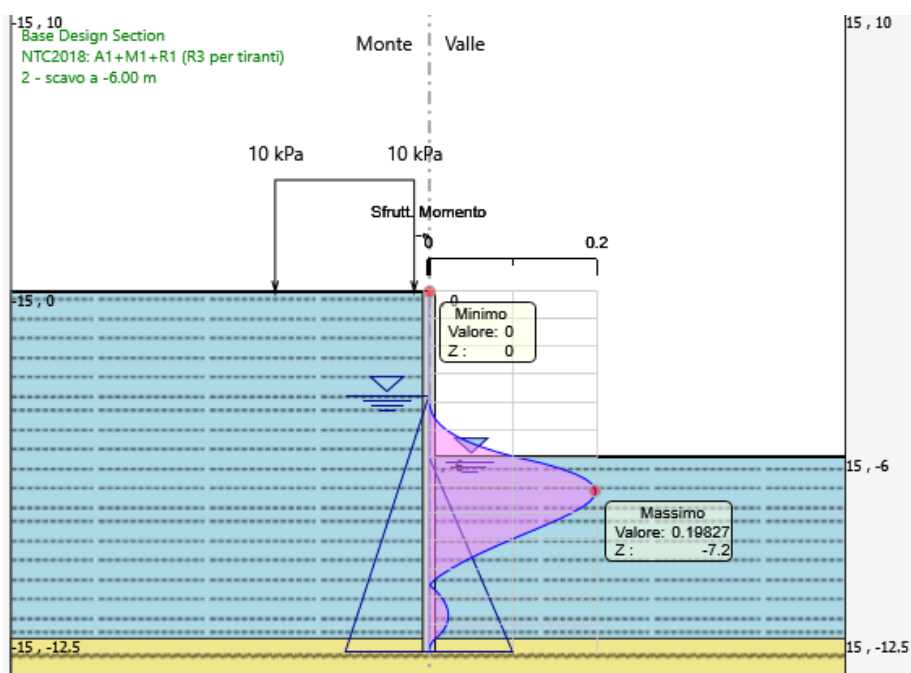
Figura 10: forza di taglio allo SLU-STR

combinazione (-)	M (kN*m/m)	profondità (m)	V (kN/m)
SLU-STR	80.4	7.2	58.1
SLE	59.7	7.2	-

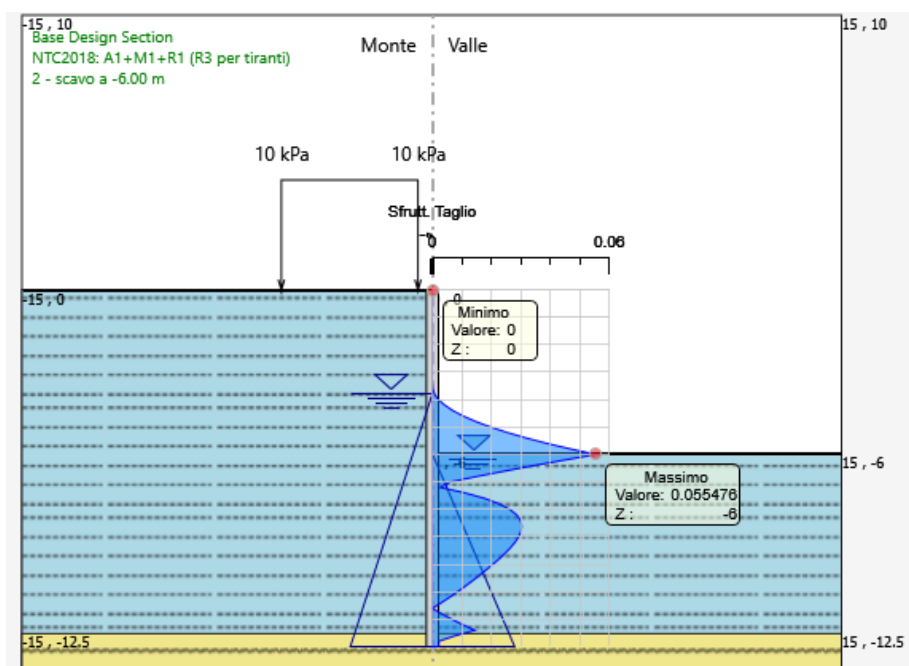
Nel seguito si riportano i risultati delle verifiche strutturali della paratia a flessione e a taglio

<i>Progetto definitivo</i>	COMMESSA	LOTTO	CODIFICA	DOCUMENTO	REV.	FOGLIO
<i>Relazione di calcolo delle Opere Provisionali</i>	RS3U	40	D09CL	VI0703001	B	90 di 171

Tasso di sfruttamento a momento flettente



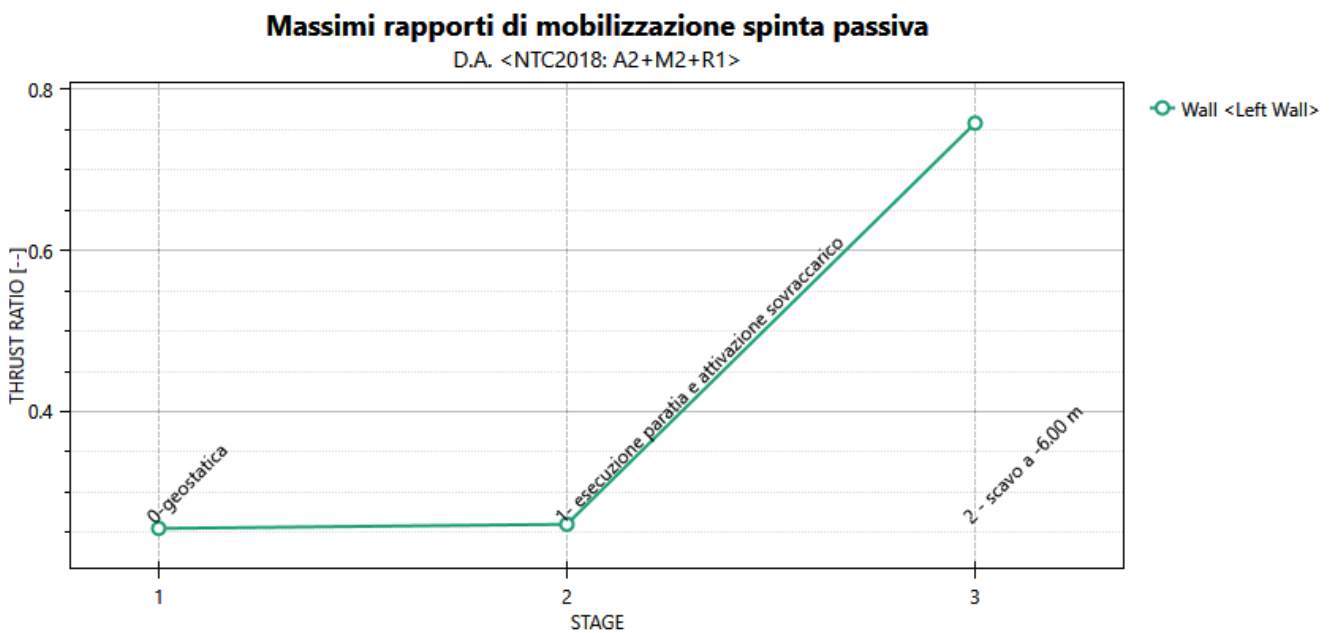
Tasso di sfruttamento al taglio



 ITALFERR GRUPPO FERROVIE DELLO STATO ITALIANE	DIRETTRICE FERROVIARIA MESSINA - CATANIA - PALERMO NUOVO COLLEGAMENTO PALERMO - CATANIA PROGETTO DEFINITIVO VI07 - Viadotto ferroviario a Doppio binario					
	<i>Progetto definitivo</i> <i>Relazione di calcolo delle Opere</i> <i>Provisionali</i>	COMMESSA RS3U	LOTTO 40	CODIFICA D09CL	DOCUMENTO VI0703001	REV. B

9.3 Verifica SLU-GEO della paratia (combinazione A2+M2+R1)

Il massimo rapporto di mobilitazione della spinta passiva è circa il 76%



Massimi rapporti di mobilitazione spinta passiva

Result Title :Wall <Left Wall>

STAGE	THRUST_RATIO [-]
1	0.255
2	0.26
3	0.758

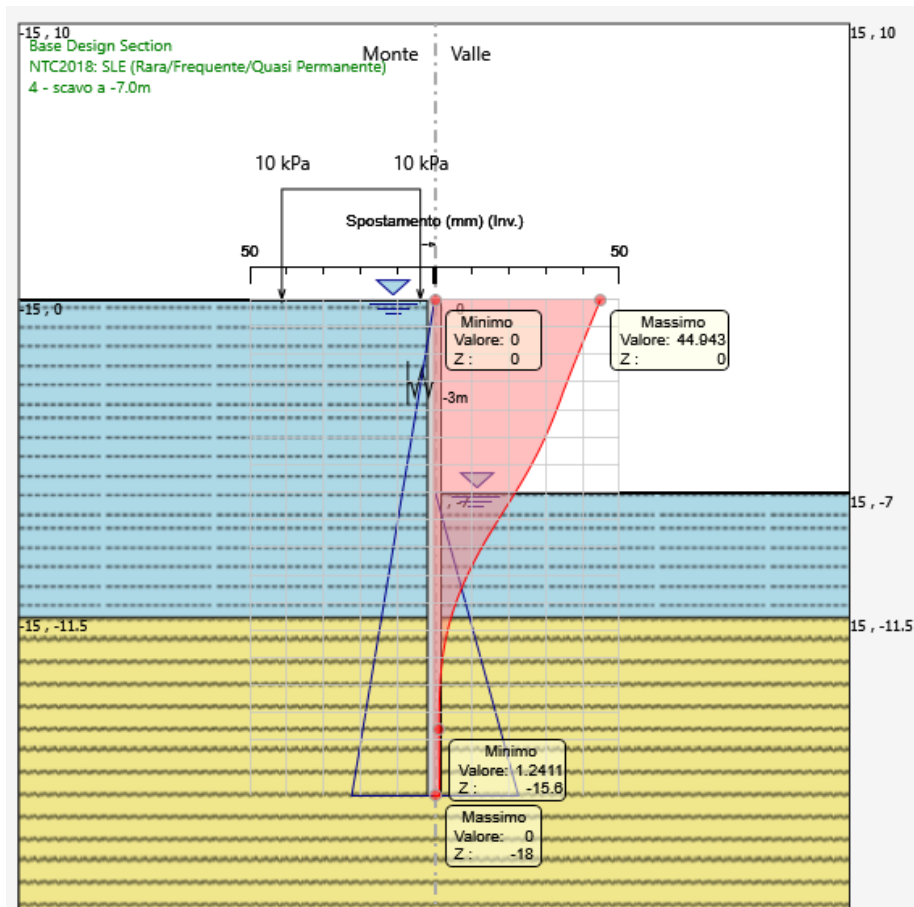
 ITALFERR GRUPPO FERROVIE DELLO STATO ITALIANE	DIRETTRICE FERROVIARIA MESSINA - CATANIA - PALERMO NUOVO COLLEGAMENTO PALERMO - CATANIA PROGETTO DEFINITIVO VI07 - Viadotto ferroviario a Doppio binario					
	<i>Progetto definitivo</i> <i>Relazione di calcolo delle Opere</i> <i>Provisionali</i>	COMMESSA RS3U	LOTTO 40	CODIFICA D09CL	DOCUMENTO VI0703001	REV. B

10. RISULTATI E VERIFICHE DELLA PARATIA (PILA P8)

Nel seguito si espongono, in sintesi, i principali risultati di interesse progettuale.

10.1 RISULTATI (COMBINAZIONE SLE)

Dall'involuppo degli spostamenti in combinazione SLE si osserva che lo spostamento massimo orizzontale della paratia risulta pari a circa 45 mm.



 ITALFERR GRUPPO FERROVIE DELLO STATO ITALIANE	DIRETTRICE FERROVIARIA MESSINA - CATANIA - PALERMO NUOVO COLLEGAMENTO PALERMO - CATANIA PROGETTO DEFINITIVO VI07 - Viadotto ferroviario a Doppio binario					
	<i>Progetto definitivo</i> <i>Relazione di calcolo delle Opere</i> <i>Provisionali</i>	COMMESSA RS3U	LOTTO 40	CODIFICA D09CL	DOCUMENTO VI0703001	REV. B

10.2 RISULTATI E VERIFICHE SLU-STR PARATIA (combinazione A1+M1+R1)

Dall'involuppo del momento flettente in combinazione A1+M1+R1 si osserva che il massimo valore sulla paratia si ha ad una quota di 11.6 m da testa palo e risulta pari a 187 kNm/m.

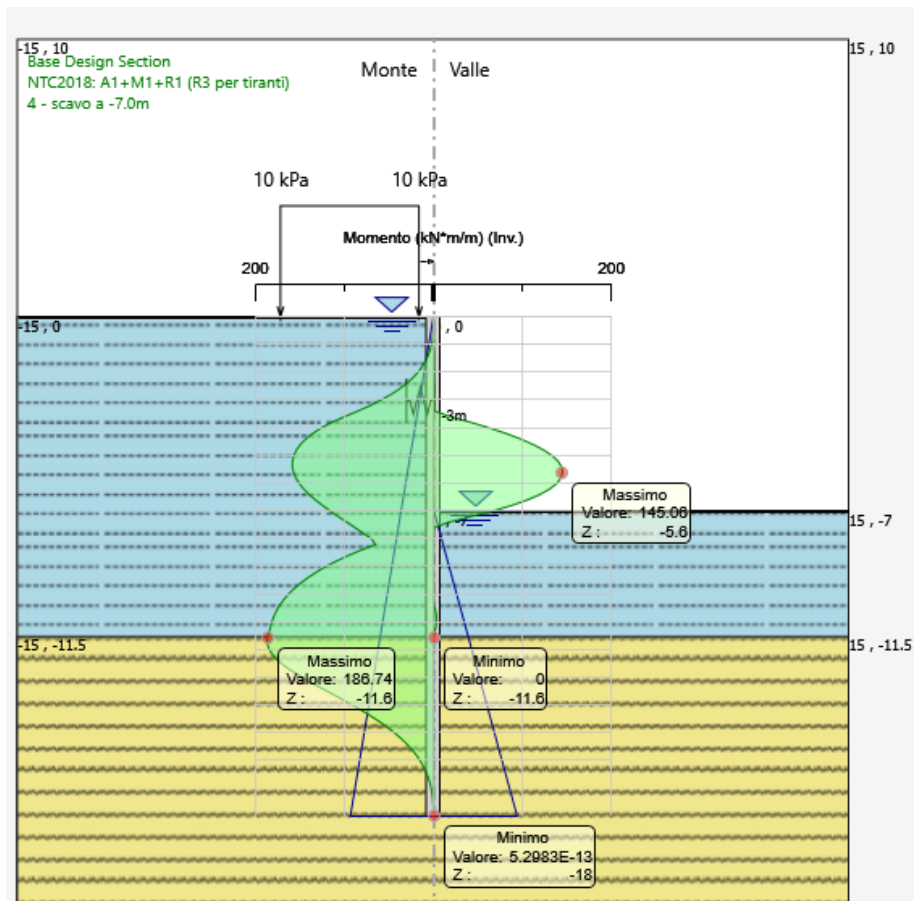


Figura 11: momento flettente allo SLU-STR

<i>Progetto definitivo</i>	COMMESSA	LOTTO	CODIFICA	DOCUMENTO	REV.	FOGLIO
<i>Relazione di calcolo delle Opere Provisionali</i>	RS3U	40	D09CL	VI0703001	B	94 di 171

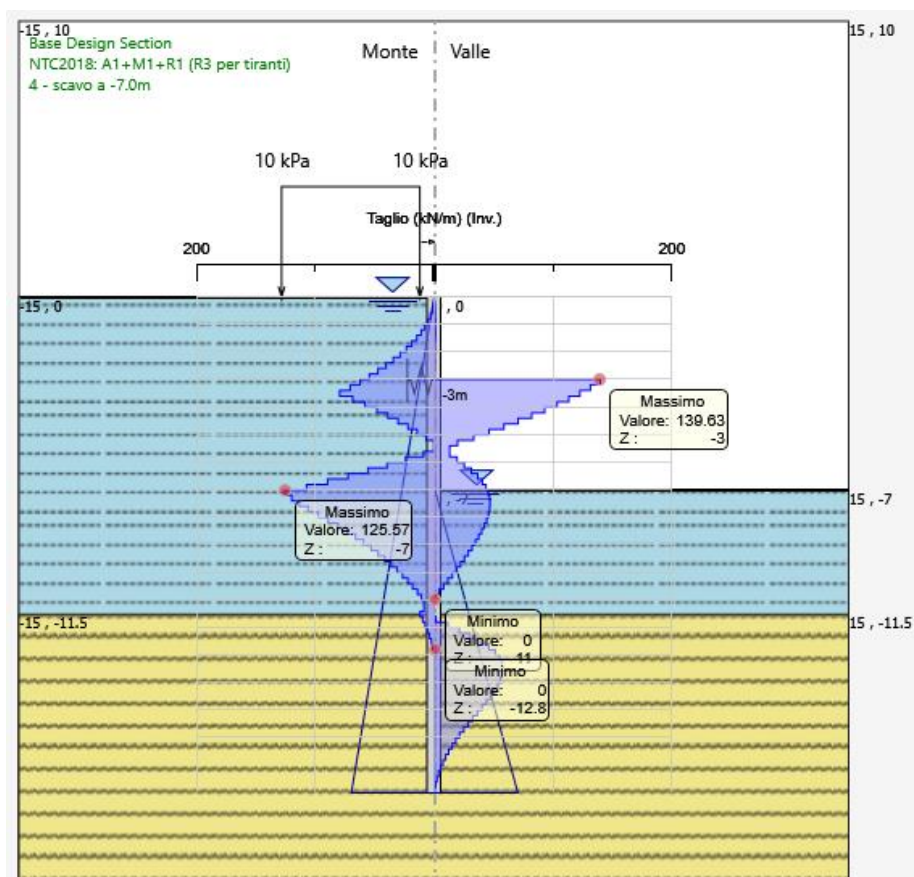


Figura 12: forza di taglio allo SLU-STR

combinazione (-)	M (kN*m/m)	profondità (m)	V (kN/m)
SLU-STR	186.7	11.6	139.6
SLE	143.6	11.6	-

combinazione (-)	D _{palo} (m)	i _{palo} (m)	M (kN*m)	N (kN)	V (kN)
SLU-STR	0.5	0.6	112.0	56.9	83.8
SLE	0.5	0.6	86.2	56.9	-

Tabella 1: riepilogo delle sollecitazioni sulla paratia

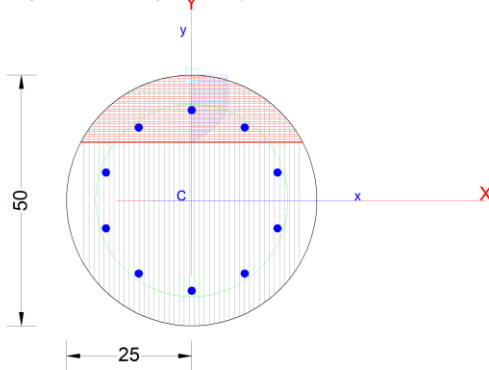
Nel seguito si riportano i risultati delle verifiche strutturali dei pali a flessione e a taglio condotte mediante l'ausilio del software RC-SEC.

	DIRETTRICE FERROVIARIA MESSINA - CATANIA - PALERMO NUOVO COLLEGAMENTO PALERMO - CATANIA PROGETTO DEFINITIVO VI07 - Viadotto ferroviario a Doppio binario					
	<i>Progetto definitivo</i> <i>Relazione di calcolo delle Opere Provisionali</i>	COMMESSA RS3U	LOTTO 40	CODIFICA D09CL	DOCUMENTO VI0703001	REV. B

Dati verifica strutturale e riepilogo risultati

- Calcestruzzo classe C25/30
- Acciaio di armatura in tondi classe B450C
- Armature di pressoflessione: 10Ø16 (percentuale di armatura= 1.02%)
- Armature di taglio: spirale Ø8/20
- Fattore di sicurezza allo SLU (pressoflessione)= 1.27
- Fattore di sicurezza allo SLU (taglio)= 2.04
- Massima tensione di compressione nel conglomerato= 12.1 MPa
- Massima tensione di trazione nelle barre di armatura= 312.3 MPa

Section name: palo500-0.6_VI07-L4_P8_rev05-2020.secEC Comb. n. 1 (U.L.S.)
 Edge cover long. bars: 6.2 cm Edge cover stirrups: 5.4 cm



GENERAL DATA OF GENERIC RC CROSS-SECTION

Section Name: palo500-0.6_VI07-L4_P8_rev05-2020.secEC

(File path: C:\Alessandro\LAVORI ALESSANDRO\IEDIN\ITF-Pa-CT\GEOTEAM\Davide\lotto 4\paratie VI07\verifiche strutturali\palo500-0.6_VI07-L4_P8_rev05-2020.secEC)

Section description:

Section type: Beam
 Reference code: EC2/EC8 Italian Annex
 Exposure Class: XC2 - Carbonation (long-term water contact/foundations)
 Stress path: Constant axial force force to achieve bending ULS
 Type of bending: Uniaxial (neutral axis always parallel to Y axis of reference system)
 Reference of assigned forces: Principal axes y,y of inertia

MATERIALS DATA

CONCRETE - Class: C25/30
 Design compressive strength fcd: 14.2 MPa
 Shear reduced compressive strenght v1*fcd: 7.1 MPa (6.9)EC2
 Coeff Crd,c: 0.1200 (§ 6.2.2(1) EC2)
 Coeff K1: 0.1500 (§ 6.2.2(1) EC2)
 Coeff v min: 0.0091 Mpa (§ 6.2.2(1) EC2)

 ITALFERR GRUPPO FERROVIE DELLO STATO ITALIANE	DIRETTRICE FERROVIARIA MESSINA - CATANIA - PALERMO NUOVO COLLEGAMENTO PALERMO - CATANIA PROGETTO DEFINITIVO VI07 - Viadotto ferroviario a Doppio binario					
	<i>Progetto definitivo</i> <i>Relazione di calcolo delle Opere</i> <i>Provisionali</i>	COMMESSA RS3U	LOTTO 40	CODIFICA D09CL	DOCUMENTO VI0703001	REV. B

Strain at max strength ϵ_{c2} : 0.0020
 Ultimate strain ϵ_{cu} : 0.0035
 Compression diagram stress-strain: Parabola-Rettangle
 Mean Elastic Modulus E_{cm} : 31475.8 MPa
 Mean tensile strength f_{ctm} : 2.6 MPa
 E_s/E_c in SLS combination: 15.00
 Stress limit in SLS Characteristic comb.: 15.0 kN/cm²

STEEL - Longitudinal Bars and Stirrups: B450C
 Characteristic yield stress f_{yk} : 450.00 MPa
 Tensile strength f_{tk} : 450.0 MPa
 Design yield stress f_{yd} : 391.3 MPa
 Design strength f_{td} : 391.3 MPa
 Design ultimate strain ϵ_{su} : 0.068
 Mean elastic modulus E_s : 200000.0 MPa
 SLS Charact. - S_s Limit: 360.00 MPa

GEOMETRICAL DATA OF CONCRETE CROSS-SECTION

Shape of Region: Circular
 Concrete Class: C25/30

Radius: 25.0 cm
 X center: 0.0 cm
 Y center: 0.0 cm

CIRCULAR GENERATIONS OF LONGITUDINAL BARS

Gen.N. Number of generated bars of the current linear generation
 Xcenter X-Coordinate [cm] center of circle along which are disposed the generated bars
 Ycenter Y-Coordinate [cm] center of circle along which are disposed the generated bars
 Radius Radius [cm] of circle along which are disposed the generated bars
 N. Bars Number of equidistant generated bars
 \emptyset Diameter [mm] of each generated bar

Gen.N.	Xcenter	Ycenter	Radius	N. Bars	\emptyset
1	0.0	0.0	18.0	10	16

SHEAR REINFORCEMENT

Stirrups diameter: 8 mm
 Spacing of stirrups: 20.0 cm

 Stirrups: One hoop

ULTIMATE LIMIT STATE - ASSIGNED DESIGN FORCES FOR EACH COMBINATION

MX d Design bending force [kNm] around X axis of reference system
 VY d Design shear component [kN] parallel to Y reference axis

Comb.	N d	Mx d	Vy d
-------	-----	------	------

 ITALFERR GRUPPO FERROVIE DELLO STATO ITALIANE	DIRETTRICE FERROVIARIA MESSINA - CATANIA - PALERMO NUOVO COLLEGAMENTO PALERMO - CATANIA PROGETTO DEFINITIVO VI07 - Viadotto ferroviario a Doppio binario					
	<i>Progetto definitivo</i> <i>Relazione di calcolo delle Opere</i> <i>Provisionali</i>	COMMESSA RS3U	LOTTO 40	CODIFICA D09CL	DOCUMENTO VI0703001	REV. B

1 56.90 112.00 83.80

SERVICEABILITY LIMIT STATES - CHARACTERISTIC COMB. - ASSIGNED INTERNAL FORCES FOR EACH COMBINATION

N Axial force [kN] applied at the centroid of concrete section (+ if compressive)
 MX Bending force [kNm] around X axis of reference system. First cracking value is shown between brackets.

Comb.	N	Mx	My
1	56.90	86.80	0.00

CHECKS RESULTS

Checks OK for all assigned combinations

Min edge cover of longitudinal bars: 6.2 cm
 Min distance between longitudinal bars: 9.5 cm
 Min edge cover of stirrups: 5.4 cm

ULTIMATE LIMIT STATES - N-MX-MY CAPACITY CHECKS

Check Result of check
 N Design axial force [kN] applied at the centroid of concrete section (+ if compressive)
 Mx Design bending moment [kNm] around x axis principal of inerzia
 N ult Axial force capacity [kN] (+ if compressive)
 Mx ult Bending moment capacity [kNm] around x axis principal of inertia
 S.F. Safety Factor = vectorial ratio of (N ult,Mx ult,My ult) to (N,Mx,My). Check OK if ratio >=1.00
 As Tension Area [cm²] of bars in tension (beam section). Min area for code is shown between brackets [eq.(9.1N) EC2]

Comb.	Check	N	Mx	N ult	Mx ult	S.F.	As Tension
1	OK	56.90	112.00	56.95	142.15	1.269	14.1(0.0)

ULTIMATE LIMIT STATE - BENDING AND AXIAL FORCE - STRAIN VALUES

ec max Ultimate compressive strain in concrete
 ec* Strain in the concrete fiber at ec2/ecu of depth (if ec*>0 then the section is all compressed)
 Xc max X-coordinate [cm] in the concrete point in wich is ec max
 Yc max Y-coordinate [cm] in the concrete point in wich is ec max
 es max Max strain in steel bars (+ if compressive)
 Xs max X-coordinate [cm] of bar in wich is es max
 Ys max Y-coordinate [cm] of bar in wich is es max
 es min Min strain in steel bars (+ if compressive)
 Xs min X-coordinate [cm] of bar in wich is es min
 Ys min Y-coordinate [cm] of bar in wich is es min

Comb.	ec max	ec*	Xc max	Yc max	es max	Xs max	Ys max	es min	Xs min	Ys min
1	0.00350	-0.00210	0.0	25.0	0.00167	0.0	18.0	-0.00774	0.0	-18.0

ULTIMATE LIMIT STATE - POSITION OF NEUTRAL AXIS FOR EACH COMBINATION

a, b, c Coeff. a, b, c in neutral axis equation: aX+bY+c=0 reference X,Y,O

 ITALFERR GRUPPO FERROVIE DELLO STATO ITALIANE	DIRETTRICE FERROVIARIA MESSINA - CATANIA - PALERMO NUOVO COLLEGAMENTO PALERMO - CATANIA PROGETTO DEFINITIVO VI07 - Viadotto ferroviario a Doppio binario					
	<i>Progetto definitivo</i> <i>Relazione di calcolo delle Opere</i> <i>Provisionali</i>	COMMESSA RS3U	LOTTO 40	CODIFICA D09CL	DOCUMENTO VI0703001	REV. B

x/d Ratio of the depth of neutral axis to the effective depth of the section
D Ratio of redistributed moment to the elastic moment in continuous beams [eq.(5.10)EC2]

Comb.	a	b	c	x/d	D
1	0.000000000	0.000261372	-0.003034311	0.311	0.829

ULTIMATE LIMIT STATES - SHEAR CHECKS

Stirrup diameter: 8 mm
Stirrups spacing(pitch): 20.0 cm < Max spacing for code = 24.0 cm
Area stirrup/m: 5.2 cm²/m > Stirrup area strictly necessary for shear = 2.5cm²/m
Area stirrups/m: 5.2 cm²/m > Min. Area stirrup bars (9.5N) = 3.8cm²/m

Check Result of check
Ved Design Shear Vy [kN] orthogonal to neutral axis
Vrd,max Shear resistance [kN] by concrete diagonal struts [(6.9) EC2]
Vrd,s Shear resistance [kN] by stirrups [(6.8) EC2]
Zm Main weighted inner lever arm [cm] of strips orthogonal to neutral axis:
are not included strips without an extreme compressed.
The weights are constituted by the length of lever arm for each strips.
Dm Main weighted effective depth [cm] of strips orthogonal to neutral axis.
bw Mean weighted shear width [cm] misurate parallel to the neutral axis =
= ratio of area of resistant strips to Zmed value
Ctg Cot of angle between the inclined concrete struts and beam axis (§6.2.3(1) EC2)
Ast min Min area [cm²/m] of stirrups: Ast min = 100*rw*bw. In wich rw is given from (9.5N) EC2
Ast Area of hoops+cross-ties strictly necessary for shear force[cm²/m]
A.Eff Effective Area of hoops+cross-ties in the shear direction in current comb. [cm²/m]

Comb.	Check	Ved	Vrd,max	Vrd,s	Zm Dm	bw	Ctg	Ast min	Ast	A.Eff
1	OK	83.80	350.37	170.97	33.6 37.7	42.6	2.50	3.8	2.5	5.2

SLS CHARACTERISTIC COMBINATIONS - STRESS LIMITATION [§ 7.2 EC2]

Tension in concrete: Considered if not less than -fctm
Check Result of Check
Reg Number of current concrete sub-region of the cross section
Sc max (Sc lim) Max compressive stress (+) in concrete [Mpa]. Code limit stress Sc lim is shown between brackets
Xc max, Yc max X-coordinae, Y-coordinate [cm] of concrete vertex corresponding to Sc max (reference X,Y,O)
Ss min (Ss lim) Min stress (- if tensile) in steel bars [Mpa]. Code limit stress is shown between brackets
Xs min, Ys min X-coordinae, Y-coordinate [cm] of bar corresponding to Ss min (reference X,Y,O)
Ac eff Effective tension area [cm²] that is the area of concrete surrounding the tension reinforcement (for crack width control)
As eff Area of tension steel bars [cm²] within Ac eff (for crack width control)
r eff Geometrical ratio Ac eff/Ac eff [eq.(7.10) Ec2]

NComb	Reg	Check	Sc max	Xc max	Yc max	Ss min	Xs min	Ys min	Ac eff	As eff	r eff
1	1	OK	12.15 (15.0)	0.0	60.0	-312.3 (360.0)	0.0	-18.0	341	6.0	0.018

SLS CHARACTERISTIC - CRACK WIDTH [§ 7.3.4 EC2]

Section is assumed cracked if flexural tensile stress exceeds fctm in at least one combination
Check Result of check
e1 Greater concrete tensile strain (tension is -) assessed in cracked section
e2 Lesser concrete tensile strain within the entire section (tension is -)assessed in cracked section

<i>Progetto definitivo</i>	COMMESSA	LOTTO	CODIFICA	DOCUMENTO	REV.	FOGLIO
<i>Relazione di calcolo delle Opere Provisionali</i>	RS3U	40	D09CL	VI0703001	B	99 di 171

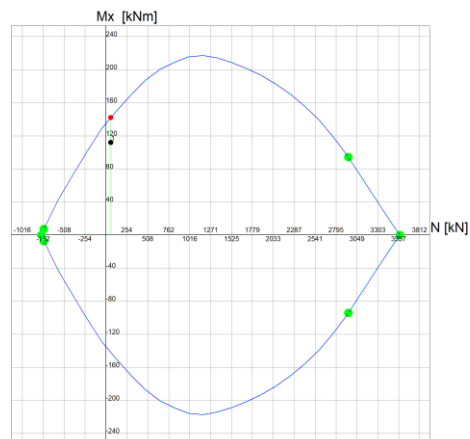
k1 = 0.8 high bond bars assigned [see eq.(7.11) EC2]
 kt = 0.6 for frequent and characteristic SLS; = 0.4 for q.perm SLS [see eq.(7.9) EC2]
 k2 = 0.5 for bending; $= (e1 + e2) / (2 * e1)$ for eccentric tension [see eq.(7.13) EC2]
 k3 = 3.400 Coeff. in eq. (7.11) according to national annex
 k4 = 0.425 Coeff. in eq. (7.11) according to national annex
 Ø Bar diameter [mm] or equivalent diameter of tensile bars in Ac eff [eq.(7.11)]
 e sm - e cm Difference between the mean strain of tensile steel and concrete [eq.(7.8)]
 Between brackets: Minimum value of eq.(7.9) = 0.6 Smax / Es
 sr max Max final crack [mm] spacing
 wk Calculated value [mm] of crack width = sr max*(e sm - e cm) [eq.(7.8)]. Limit value of wk is shown between brackets
 MX crack First cracking bending moment around X axis[kNm]
 MY crack First cracking bending moment around Y axis[kNm]

Comb.	Check	e1	e2	k2	Ø	e sm - e cm	sr max	wk	Mx crack	My crack
1	OK	-0.00196	0	0.500	16.0	0.00108 (0.00094)	331	0.356	38.06	0.00

STRENGTH DOMAIN N-Mx (ULTIMATE LIMIT STATE)

Section name: palo500-0.6_VI07-L4_PB_rev05-2020.secEC

File path: C:\Alessandro\LAVORI ALESSANDRO\EDIN\TF-Pa-CT\GEOTEAM\ Davide\lotto 4\parabre VI07\verifiche strutturali\palo500-0.6_VI07-L4_PB_rev05-2020.secEC



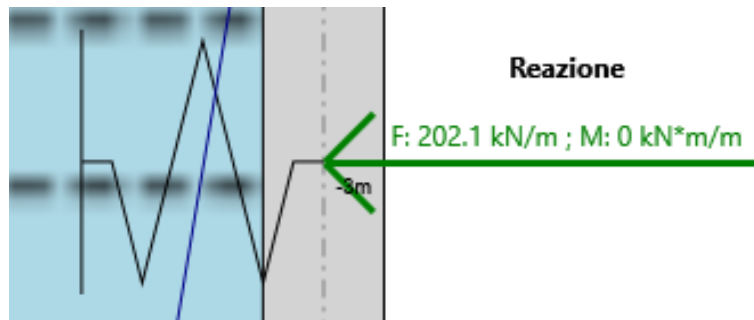
Grid spacing Mx = 40 kNm

Grid spacing N = 254 kN

 ITALFERR GRUPPO FERROVIE DELLO STATO ITALIANE	DIRETTRICE FERROVIARIA MESSINA - CATANIA - PALERMO NUOVO COLLEGAMENTO PALERMO - CATANIA PROGETTO DEFINITIVO VI07 - Viadotto ferroviario a Doppio binario					
	<i>Progetto definitivo</i> <i>Relazione di calcolo delle Opere Provisionali</i>	COMMESSA RS3U	LOTTO 40	CODIFICA D09CL	DOCUMENTO VI0703001	REV. B

10.3 RISULTATI E VERIFICHE SLU-STR PER IL SISTEMA DI CONTRASTO (combinazione A1+M1+R1)

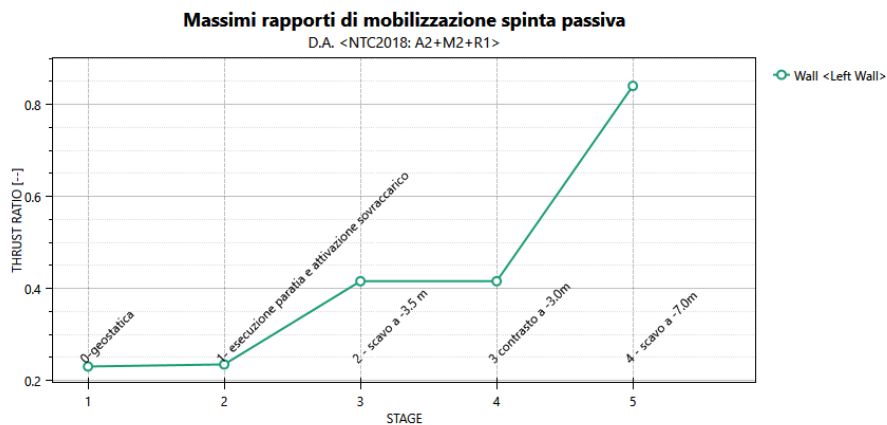
Di seguito si riporta il valore di reazione sul sistema di contrasto ottenuto dall'analisi nella combinazione SLU-STR. Tale reazione risulta essere pari a 202 kN/m.



Per le verifiche del sistema di contrasto fare riferimento alle verifiche eseguite per le pile P9÷P11 per le quali risulta maggiormente sollecitato

10.4 Verifica SLU-GEO della paratia (combinazione A2+M2+R1)

Il massimo rapporto di mobilitazione della spinta passiva è circa il 84%



 ITALFERR GRUPPO FERROVIE DELLO STATO ITALIANE	DIRETTRICE FERROVIARIA MESSINA - CATANIA - PALERMO NUOVO COLLEGAMENTO PALERMO - CATANIA PROGETTO DEFINITIVO VI07 - Viadotto ferroviario a Doppio binario					
	<i>Progetto definitivo</i> <i>Relazione di calcolo delle Opere</i> <i>Provisionali</i>	COMMESSA RS3U	LOTTO 40	CODIFICA D09CL	DOCUMENTO VI0703001	REV. B

Massimi rapporti di mobilitazione spinta passiva

Result Title :Wall <Left Wall>

STAGE THRUST_RATIO [--]

1	0.23
2	0.235
3	0.416
4	0.416
5	0.84

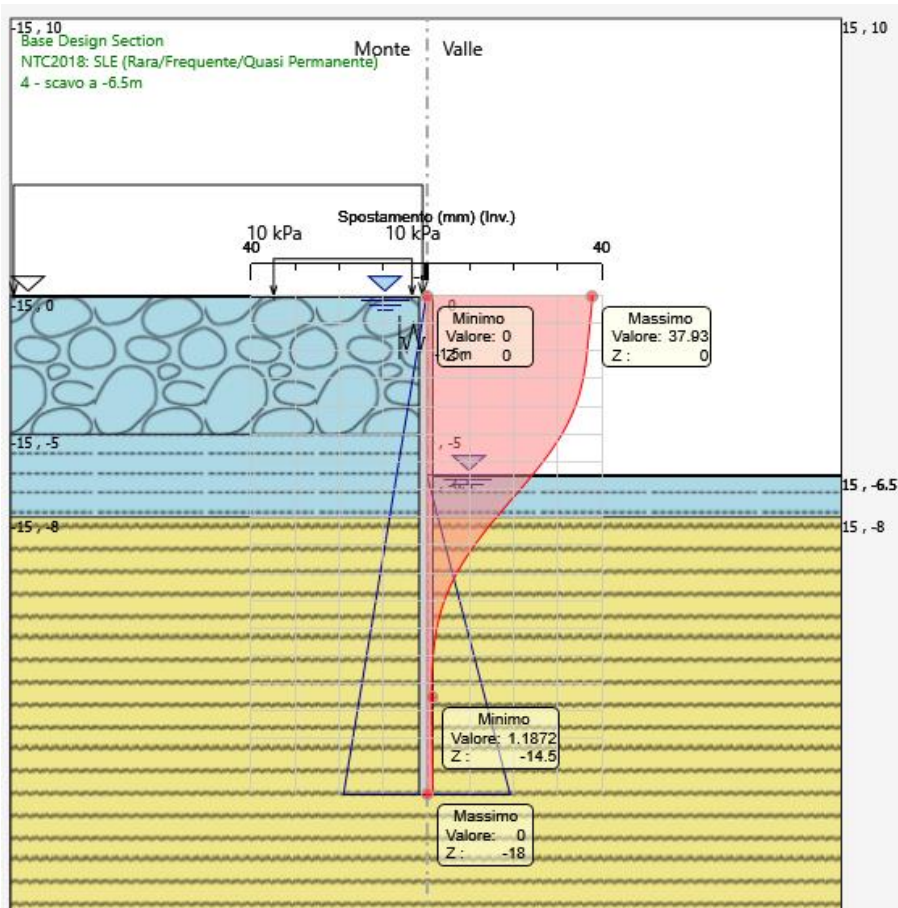
 ITALFERR GRUPPO FERROVIE DELLO STATO ITALIANE	DIRETTRICE FERROVIARIA MESSINA - CATANIA - PALERMO NUOVO COLLEGAMENTO PALERMO - CATANIA PROGETTO DEFINITIVO VI07 - Viadotto ferroviario a Doppio binario					
	<i>Progetto definitivo</i> <i>Relazione di calcolo delle Opere</i> <i>Provisionali</i>	COMMESSA RS3U	LOTTO 40	CODIFICA D09CL	DOCUMENTO VI0703001	REV. B

11. RISULTATI E VERIFICHE DELLA PARATIA (PILA P9÷P11)

Nel seguito si espongono, in sintesi, i principali risultati di interesse progettuale.

11.1 RISULTATI (COMBINAZIONE SLE)

Dall'inviluppo degli spostamenti in combinazione SLE si osserva che lo spostamento massimo orizzontale della paratia risulta pari a circa 38 mm.



 ITALFERR GRUPPO FERROVIE DELLO STATO ITALIANE	DIRETTRICE FERROVIARIA MESSINA - CATANIA - PALERMO NUOVO COLLEGAMENTO PALERMO - CATANIA PROGETTO DEFINITIVO VI07 - Viadotto ferroviario a Doppio binario					
	<i>Progetto definitivo</i> <i>Relazione di calcolo delle Opere</i> <i>Provisionali</i>	COMMESSA RS3U	LOTTO 40	CODIFICA D09CL	DOCUMENTO VI0703001	REV. B

11.2 RISULTATI E VERIFICHE SLU-STR PARATIA (combinazione A1+M1+R1)

Dall'involuppo del momento flettente in combinazione A1+M1+R1 si osserva che il massimo valore sulla paratia si ha ad una quota di 4.5 m da testa palo e risulta pari a 280 kNm/m.

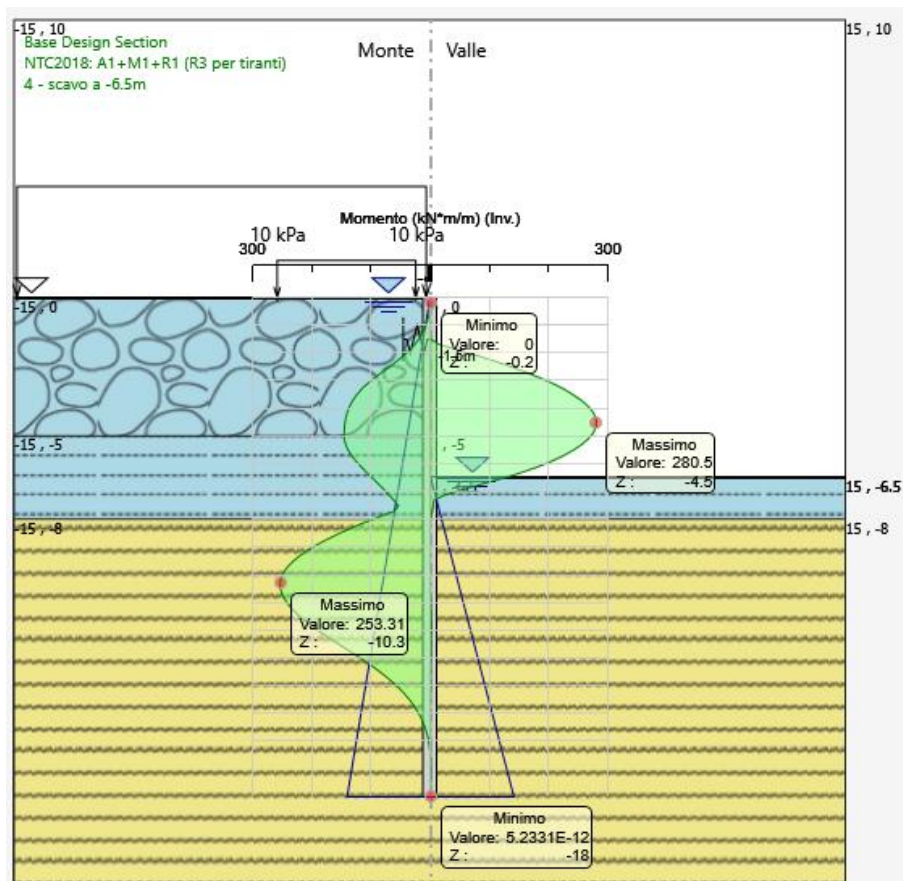


Figura 13: momento flettente allo SLU-STR

<i>Progetto definitivo</i>	COMMESSA	LOTTO	CODIFICA	DOCUMENTO	REV.	FOGLIO
<i>Relazione di calcolo delle Opere Provisionali</i>	RS3U	40	D09CL	VI0703001	B	104 di 171

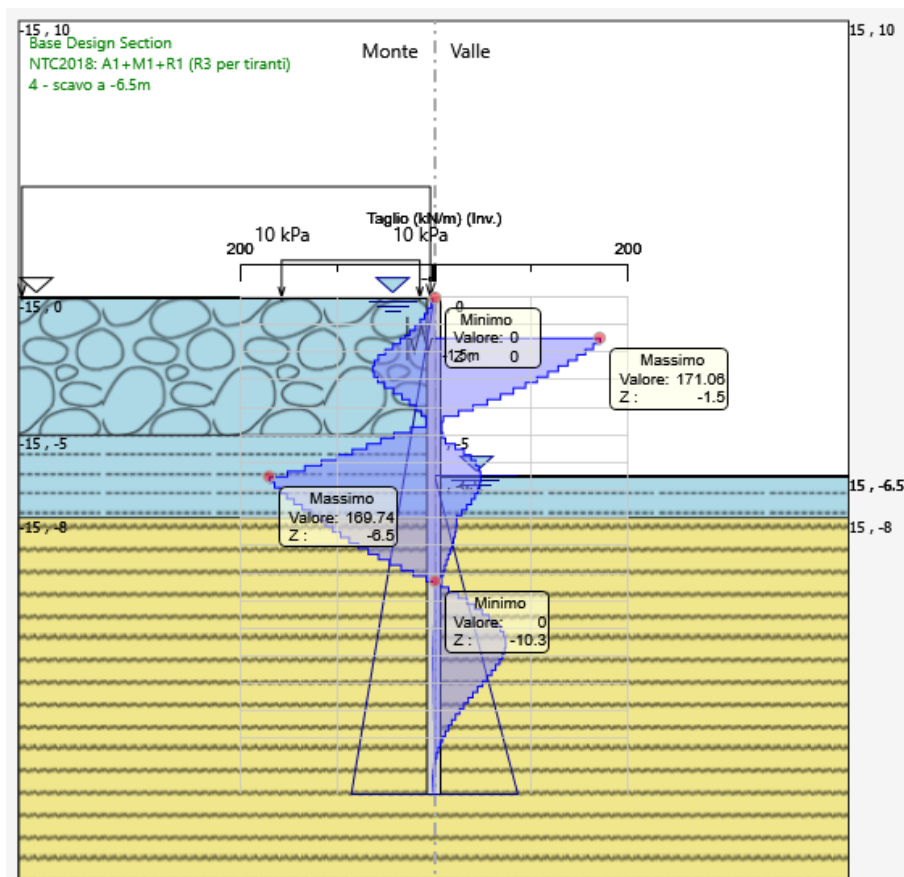


Figura 14: forza di taglio allo SLU-STR

combinazione (-)	M (kN*m/m)	profondità (m)	V (kN/m)
SLU-STR	280.5	4.5	171.0
SLE	214.1	4.5	-

combinazione (-)	D _{palo} (m)	i _{palo} (m)	M (kN*m)	N (kN)	V (kN)
SLU-STR	0.5	0.6	168.3	22.1	102.6
SLE	0.5	0.6	128.5	22.1	-

Tabella 2: riepilogo delle sollecitazioni sulla paratia

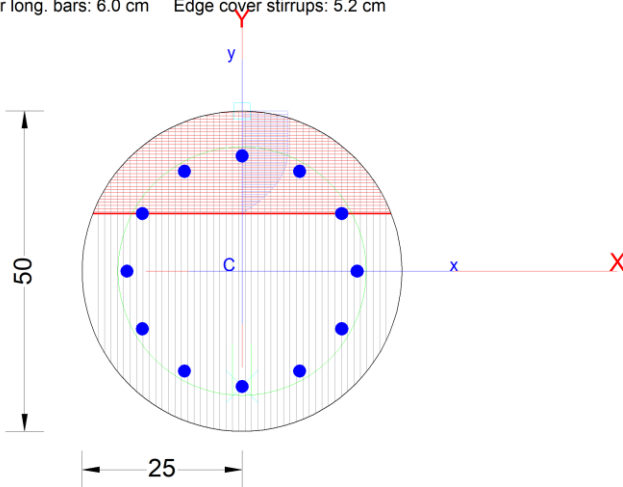
Nel seguito si riportano i risultati delle verifiche strutturali dei pali a flessione e a taglio condotte mediante l'ausilio del software RC-SEC.

 ITALFERR GRUPPO FERROVIE DELLO STATO ITALIANE	DIRETTRICE FERROVIARIA MESSINA - CATANIA - PALERMO NUOVO COLLEGAMENTO PALERMO - CATANIA PROGETTO DEFINITIVO VI07 - Viadotto ferroviario a Doppio binario					
	<i>Progetto definitivo</i> <i>Relazione di calcolo delle Opere</i> <i>Provisionali</i>	COMMESSA RS3U	LOTTO 40	CODIFICA D09CL	DOCUMENTO VI0703001	REV. B

Dati verifica strutturale e riepilogo risultati

- Calcestruzzo classe C25/30
- Acciaio di armatura in tondi classe B450C
- Armature di pressoflessione: 12Ø16 (percentuale di armatura= 1.22%)
- Armature di taglio: spirale Ø8/20
- Fattore di sicurezza allo SLU (pressoflessione)= 1.38
- Fattore di sicurezza allo SLU (taglio)= 1.61
- Massima tensione di compressione nel conglomerato= 13.2 MPa
- Massima tensione di trazione nelle barre di armatura= 286.6 MPa

Section name: palo500-0.6_VI07-L4_P9-----P11.secEC Comb. n. 1 (U.L.S.)
 Edge cover long. bars: 6.0 cm Edge cover stirrups: 5.2 cm



GENERAL DATA OF GENERIC RC CROSS-SECTION

Section Name: palo500-0.6_VI07-L4_P9-----P11.secEC

(File path: C:\Alessandro\LAVORI ALESSANDRO\EDIN\ITF-Pa-CT\GEOTEAM\Davide\lotto 4\paratie VI07\verifiche strutturali\palo500-0.6_VI07-L4_P9-----P11.secEC)

Section description:

Section type:	Beam
Reference code:	EC2/EC8 Italian Annex
Exposure Class:	XC2 - Carbonation (long-term water contact/foundations)
Stress path:	Constant axial force force to achieve bending ULS
Type of bending:	Uniaxial (neutral axis always parallel to Y axis of reference system)
Reference of assigned forces:	Principal axes y,y of inertia

MATERIALS DATA

 ITALFERR GRUPPO FERROVIE DELLO STATO ITALIANE	DIRETTRICE FERROVIARIA MESSINA - CATANIA - PALERMO NUOVO COLLEGAMENTO PALERMO - CATANIA PROGETTO DEFINITIVO VI07 - Viadotto ferroviario a Doppio binario					
	<i>Progetto definitivo</i> <i>Relazione di calcolo delle Opere</i> <i>Provisionali</i>	COMMESSA RS3U	LOTTO 40	CODIFICA D09CL	DOCUMENTO VI0703001	REV. B

CONCRETE -	Class:	C25/30
	Design compressive strength fcd:	14.2 MPa
	Shear reduced compressive strenght v1*fcd:	7.1 MPa (6.9)EC2
	Coeff Crd,c:	0.1200 (§ 6.2.2(1) EC2
	Coeff K1:	0.1500 (§ 6.2.2(1) EC2
	Coeff v min:	0.0091 Mpa (§ 6.2.2(1) EC2
	Strain at max strength ec2:	0.0020
	Ultimate strain ecu:	0.0035
	Compression diagram stress-strain:	Parabola-Rettangle
	Mean Elastic Modulus Ecm:	31475.8 MPa
	Mean tensile strength fctm:	2.6 MPa
	Es/Ec in SLS combination:	15.00
	Stress limit in SLS Characteristic comb.:	15.0 kN/cm ²

STEEL -	Longitudinal Bars and Stirrups:	B450C
	Characteristic yield stress fyk:	450.00 MPa
	Tensile strength ftk:	450.0 MPa
	Design yield stress fyd:	391.3 MPa
	Design strength ftd:	391.3 MPa
	Design ultimate strain esu:	0.068
	Mean elastic modulus Es:	200000.0 MPa
	SLS Charact. - Ss Limit:	360.00 MPa

GEOMETRICAL DATA OF CONCRETE CROSS-SECTION

Shape of Region: Circular
 Concrete Class: C25/30

Radius: 25.0 cm
 X center: 0.0 cm
 Y center: 0.0 cm

CIRCULAR GENERATIONS OF LONGITUDINAL BARS

Gen.N. Number of generated bars of the current linear generation
 Xcenter X-Coordinate [cm] center of circle along which are disposed the generated bars
 Ycenter Y-Coordinate [cm] center of circle along which are disposed the generated bars
 Radius Radius [cm] of circle along which are disposed the generated bars
 N. Bars Number of equidistant generated bars
 Ø Diameter [mm] of each generated bar

Gen.N.	Xcenter	Ycenter	Radius	N. Bars	Ø
1	0.0	0.0	18.0	12	20

SHEAR REINFORCEMENT

Stirrups diameter: 8 mm
 Spacing of stirrups: 20.0 cm

Stirrups: One hoop

ULTIMATE LIMIT STATE - ASSIGNED DESIGN FORCES FOR EACH COMBINATION

 ITALFERR GRUPPO FERROVIE DELLO STATO ITALIANE	DIRETTRICE FERROVIARIA MESSINA - CATANIA - PALERMO NUOVO COLLEGAMENTO PALERMO - CATANIA PROGETTO DEFINITIVO VI07 - Viadotto ferroviario a Doppio binario					
	<i>Progetto definitivo</i> <i>Relazione di calcolo delle Opere</i> <i>Provisionali</i>	COMMESSA RS3U	LOTTO 40	CODIFICA D09CL	DOCUMENTO VI0703001	REV. B

MX d Design bending force [kNm] around X axis of reference system
 VY d Design shear component [kN] parallel to Y reference axis

Comb.	N d	Mx d	Vy d
1	22.10	168.30	102.60

SERVICEABILITY LIMIT STATES - CHARACTERISTIC COMB. - ASSIGNED INTERNAL FORCES FOR EACH COMBINATION

N Axial force [kN] applied at the centroid of concrete section (+ if compressive)
 MX Bending force [kNm] around X axis of reference system. First cracking value is shown between brackets.

Comb.	N	Mx	My
1	22.10	128.50	0.00

CHECKS RESULTS

Checks OK for all assigned combinations

Min edge cover of longitudinal bars:	6.0	cm
Min distance between longitudinal bars:	7.3	cm
Min edge cover of stirrups:	5.2	cm

ULTIMATE LIMIT STATES - N-MX-MY CAPACITY CHECKS

Check	Result of check
N	Design axial force [kN] applied at the centroid of concrete section (+ if compressive)
Mx	Design bending moment [kNm] around x axis principal of inerzia
N ult	Axial force capacity [kN] (+ if compressive)
Mx ult	Bending moment capacity [kNm] around x axis principal of inertia
S.F.	Safety Factor = vectorial ratio of (N ult,Mx ult,My ult) to (N,Mx,My). Check OK if ratio >=1.00
As Tension	Area [cm ²] of bars in tension (beam section). Min area for code is shown between brackets [eq.(9.1N) EC2]

Comb.	Check	N	Mx	N ult	Mx ult	S.F.	As Tension
1	OK	22.10	168.30	21.85	231.65	1.376	22.0(0.0)

ULTIMATE LIMIT STATE - BENDING AND AXIAL FORCE - STRAIN VALUES

ec max	Ultimate compressive strain in concrete
ec*	Strain in the concrete fiber at ec2/ecu of depth (if ec*>0 then the section is all compressed)
Xc max	X-coordinate [cm] in the concrete point in wich is ec max
Yc max	Y-coordinate [cm] in the concrete point in wich is ec max
es max	Max strain in steel bars (+ if compressive)
Xs max	X-coordinate [cm] of bar in wich is es max
Ys max	Y-coordinate [cm] of bar in wich is es max
es min	Min strain in steel bars (+ if compressive)
Xs min	X-coordinate [cm] of bar in wich is es min
Ys min	Y-coordinate [cm] of bar in wich is es min

Comb.	ec max	ec*	Xc max	Yc max	es max	Xs max	Ys max	es min	Xs min	Ys min
-------	--------	-----	--------	--------	--------	--------	--------	--------	--------	--------

 ITALFERR GRUPPO FERROVIE DELLO STATO ITALIANE	DIRETTRICE FERROVIARIA MESSINA - CATANIA - PALERMO NUOVO COLLEGAMENTO PALERMO - CATANIA PROGETTO DEFINITIVO VI07 - Viadotto ferroviario a Doppio binario					
	<i>Progetto definitivo</i> <i>Relazione di calcolo delle Opere Provisionali</i>	COMMESSA RS3U	LOTTO 40	CODIFICA D09CL	DOCUMENTO VI0703001	REV. B

1 0.00350 -0.00118 0.0 25.0 0.00197 0.0 18.0 -0.00589 0.0 -18.0

ULTIMATE LIMIT STATE - POSITION OF NEUTRAL AXIS FOR EACH COMBINATION

a, b, c Coeff. a, b, c in neutral axis equation: $aX+bY+c=0$ reference X,Y,O
 x/d Ratio of the depth of neutral axis to the effective depth of the section
 D Ratio of redistributed moment to the elastic moment in continuous beams [eq.(5.10)EC2]

Comb.	a	b	c	x/d	D
1	0.000000000	0.000218427	-0.001960676	0.373	0.906

ULTIMATE LIMIT STATES - SHEAR CHECKS

Stirrup diameter: 8 mm
 Stirrups spacing(pitch): 20.0 cm < Max spacing for code = 27.9 cm
 Area stirrup/m: 5.2 cm²/m > Stirrup area strictly necessary for shear = 3.3cm²/m
 Area stirrups/m: 5.2 cm²/m > Min. Area stirrup bars (9.5N) = 3.9cm²/m

Check Result of check
 Ved Design Shear Vy [kN] orthogonal to neutral axis
 Vrd,max Shear resistance [kN] by concrete diagonal struts [(6.9) EC2]
 Vrd,s Shear resistance [kN] by stirrups [(6.8) EC2]
 Zm Main weighted inner lever arm [cm] of strips orthogonal to neutral axis:
 are not included strips without an extreme compressed.
 The weights are constituted by the length of lever arm for each strips.
 Dm Main weighted effective depth [cm] of strips orthogonal to neutral axis.
 bw Mean weighted shear width [cm] misurate parallel to the neutral axis =
 = ratio of area of resistant strips to Zmed value
 Ctg Cot of angle between the inclined concrete struts and beam axis (§6.2.3(1) EC2)
 Ast min Min area [cm²/m] of stirrups: Ast min = 100*rw*bw. In wich rw is given from (9.5N) EC2
 Ast Area of hoops+cross-ties strictly necessary for shear force[cm²/m]
 A.Eff Effective Area of hoops+cross-ties in the shear direction in current comb. [cm²/m]

Comb.	Check	Ved	Vrd,max	Vrd,s	Zm Dm	bw	Ctg	Ast min	Ast	A.Eff
1	OK	102.60	346.39	164.78	32.3 37.2	44.0	2.50	3.9	3.3	5.2

SLS CHARACTERISTIC COMBINATIONS - STRESS LIMITATION [§ 7.2 EC2]

Tension in concrete: Considered if not less than -fctm
 Check Result of Check
 Reg Number of current concrete sub-region of the cross section
 Sc max (Sc lim) Max compressive stress (+) in concrete [Mpa]. Code limit stress Sc lim is shown between brackets
 Xc max, Yc max X-coordinae, Y-coordinate [cm] of concrete vertex corresponding to Sc max (reference X,Y,O)
 Ss min (Ss lim) Min stress (- if tensile) in steel bars [Mpa]. Code limit stress is shown between brackets
 Xs min, Ys min X-coordinae, Y-coordinate [cm] of bar corresponding to Ss min (reference X,Y,O)
 Ac eff Effective tension area [cm²] that is the area of concrete surrounding the tension reinforcement (for crack width control)
 As eff Area of tension steel bars [cm²] within Ac eff (for crack width control)
 r eff Geometrical ratio Ac eff/Ac [eq.(7.10) Ec2]

NComb	Reg	Check	Sc max	Xc max	Yc max	Ss min	Xs min	Ys min	Ac eff	As eff	r eff
1	1	OK	13.20 (15.0)	0.0	0.0	-286.6 (360.0)	0.0	-18.0	321	9.4	0.029

<i>Progetto definitivo</i>	COMMESSA	LOTTO	CODIFICA	DOCUMENTO	REV.	FOGLIO
<i>Relazione di calcolo delle Opere Provisionali</i>	RS3U	40	D09CL	VI0703001	B	109 di 171

SLS CHARACTERISTIC - CRACK WIDTH [§ 7.3.4 EC2]

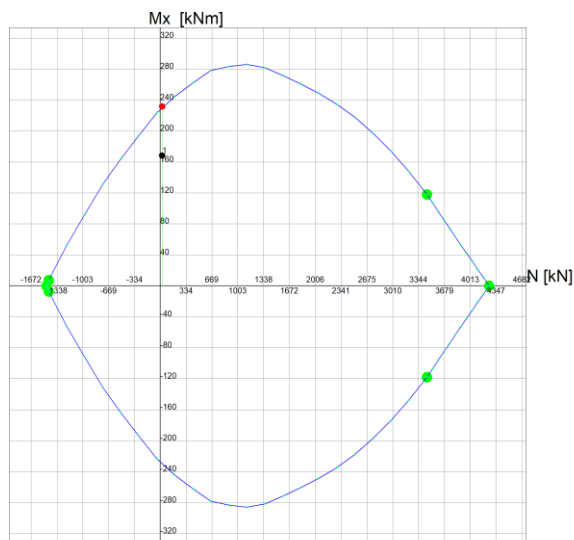
Check	Section is assumed cracked if flexural tensile stress exceeds f_{ctm} in at least one combination
e1	Result of check
e2	Greater concrete tensile strain (tension is -) assessed in cracked section
k1	Lesser concrete tensile strain within the entire section (tension is -) assessed in cracked section
kt	= 0.8 high bond bars assigned [see eq.(7.11) EC2]
k2	= 0.6 for frequent and characteristic SLS; = 0.4 for q.perm SLS [see eq.(7.9) EC2]
k3	= 0.5 for bending; $= (e1 + e2) / (2 * e1)$ for eccentric tension [see eq.(7.13) EC2]
k4	= 3.400 Coeff. in eq. (7.11) according to national annex
\emptyset	= 0.425 Coeff. in eq. (7.11) according to national annex
e sm - e cm	Bar diameter [mm] or equivalent diameter of tensile bars in Ac eff [eq.(7.11)]
sr max	Difference between the mean strain of tensile steel and concrete [eq.(7.8)]
wk	Between brackets: Minimum value of eq.(7.9) = $0.6 S_{max} / E_s$
MX crack	Max final crack [mm] spacing
MY crack	Calculated value [mm] of crack width = $sr \max * (e \text{ sm} - e \text{ cm})$ [eq.(7.8)]. Limit value of wk is shown between brackets
	First cracking bending moment around X axis [kNm]
	First cracking bending moment around Y axis [kNm]

Comb.	Check	e1	e2	k2	\emptyset	e sm - e cm	sr max	wk	Mx crack	My crack
1	OK	-0.00183	0	0.500	20.0	0.00112 (0.00086)	286	0.321	41.32	0.00

STRENGTH DOMAIN N-Mx (ULTIMATE LIMIT STATE)

Section name: palo500-0.6_VI07-L4_P9-----P11.secEC

File path: C:\Alessandro\LAVORI ALESSANDRO\EDIN\ITF-Pa-CT\GEOTEAM\Davide\lotto 4\paratie VI07\verifiche strutturali\palo500-0.6_VI07-L4_P9-----P11.secEC



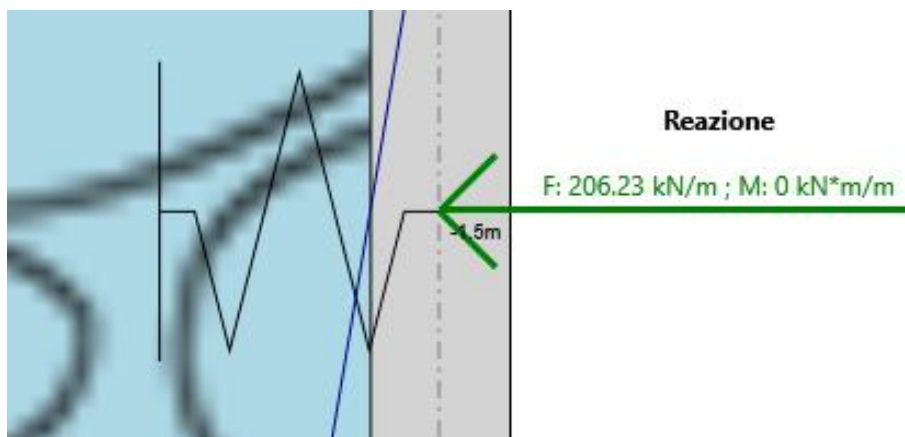
Grid spacing Mx = 40 kNm

Grid spacing N = 334 kN

	DIRETTRICE FERROVIARIA MESSINA - CATANIA - PALERMO NUOVO COLLEGAMENTO PALERMO - CATANIA PROGETTO DEFINITIVO VI07 - Viadotto ferroviario a Doppio binario					
	<i>Progetto definitivo</i> <i>Relazione di calcolo delle Opere</i> <i>Provisionali</i>	COMMESSA RS3U	LOTTO 40	CODIFICA D09CL	DOCUMENTO VI0703001	REV. B

11.3 RISULTATI E VERIFICHE SLU-STR PER IL SISTEMA DI CONTRASTO (combinazione A1+M1+R1)

Di seguito si riporta il valore di reazione sul sistema di contrasto ottenuto dall'analisi nella combinazione SLU-STR. Tale reazione, che risulta essere pari a 206 kN/m, è stata utilizzata come moltiplicatore del carico unitario nel modello in SAP2000. In tal modo è stato valutato lo sforzo normale agente sul singolo puntone e le sollecitazioni di pressoflessione sulle travi di ripartizione.



<i>Progetto definitivo</i>	COMMESSA	LOTTO	CODIFICA	DOCUMENTO	REV.	FOGLIO
<i>Relazione di calcolo delle Opere Provisionali</i>	RS3U	40	D09CL	VI0703001	B	111 di 171

Riepilogo delle sollecitazioni:

- Max momento sulla singola trave di ripartizione= $0.5 \cdot 1156 = 578 \text{ kN} \cdot \text{m}$
- Taglio max momento della singola trave di ripartizione= $0.5 \cdot 978 = 489 \text{ kN}$
- Forza assiale della singola trave di ripartizione= $0.5 \cdot 1871 = 935.5 \text{ kN}$
- Sforzo assiale nei puntoni= 2139 kN

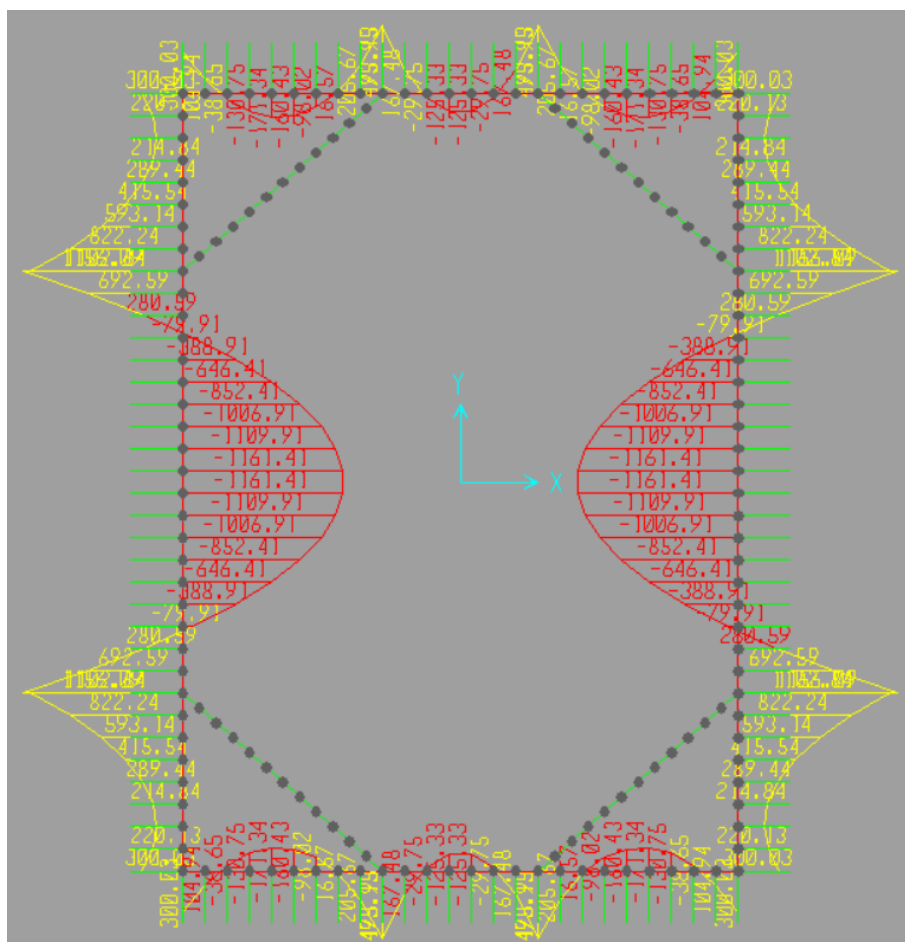


Figura 15: momento flettente allo SLU-STR

<i>Progetto definitivo</i>	COMMESSA	LOTTO	CODIFICA	DOCUMENTO	REV.	FOGLIO
<i>Relazione di calcolo delle Opere Provisionali</i>	RS3U	40	D09CL	VI0703001	B	112 di 171

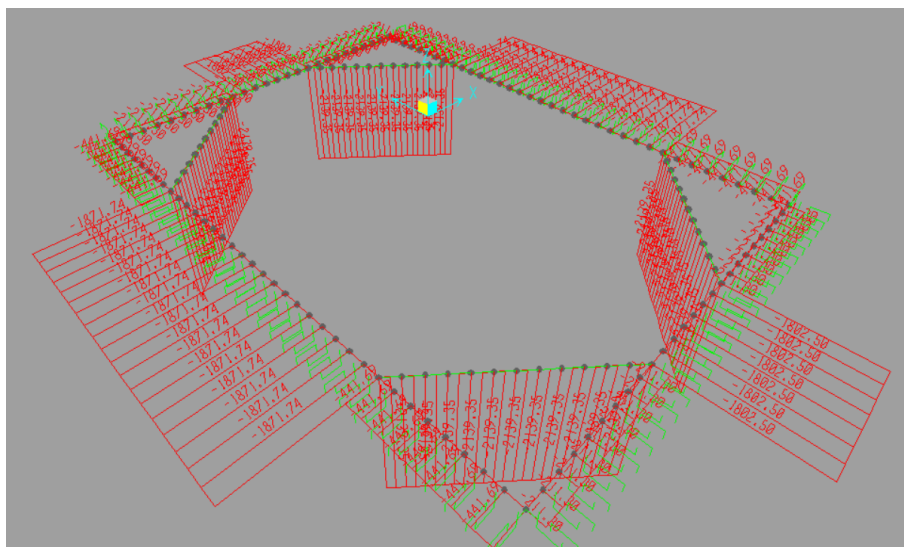


Figura 16: forza assiale allo SLU-STR

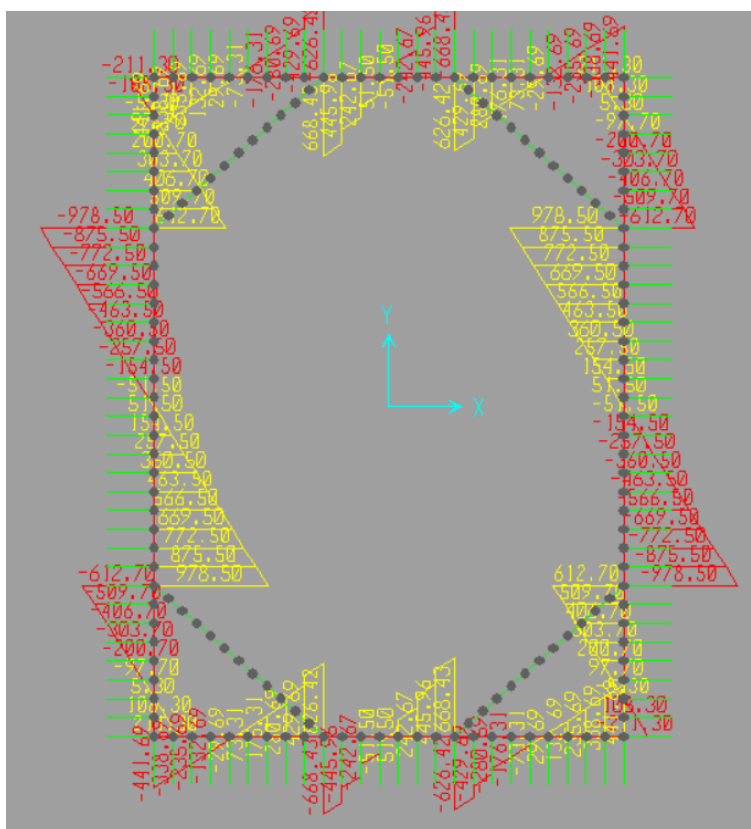


Figura 17: forza di taglio allo SLU-STR

 ITALFERR GRUPPO FERROVIE DELLO STATO ITALIANE	DIRETTRICE FERROVIARIA MESSINA - CATANIA - PALERMO NUOVO COLLEGAMENTO PALERMO - CATANIA PROGETTO DEFINITIVO VI07 - Viadotto ferroviario a Doppio binario					
	<i>Progetto definitivo</i> <i>Relazione di calcolo delle Opere Provisionali</i>	COMMESSA RS3U	LOTTO 40	CODIFICA D09CL	DOCUMENTO VI0703001	REV. B

Dati verifica strutturale e riepilogo risultati per il telaio di contrasto

- Acciaio tipo: S275
- Minimo fattore di sicurezza allo SLU travi di ripartizione (pressoflessione e taglio)= $1/0.720= 1.39$
- Minimo fattore di sicurezza allo SLU puntoni (pressoflessione e taglio)= $1/0.65= 1.54$

Verifica travi di ripartizione

	S 275	
Valore di snervamento dell'acciaio del profilo	f_{yk}	275 [N/mm ²]
Valore di rottura dell'acciaio del profilo	f_{uk}	430 [N/mm ²]
Modulo di elasticità dell'acciaio del profilo	E	210000 [N/mm ²]
Modulo di elasticità tangenziale dell'acciaio del profilo	G	80769 [N/mm ²]
Coefficiente parziale di sicurezza per le verifiche di resistenza	γ_{M0}	1.05 [-]
Coefficiente parziale di sicurezza per le verifiche di stabilità	γ_{M1}	1.05 [-]
Coefficiente parziale di sicurezza per le verifiche di rottura	γ_{M2}	1.25 [-]

Caratteristiche meccaniche del profilo		HE 400 B
Altezza della sezione trasversale	h	400 [mm]
Larghezza della sezione trasversale	b_f	300 [mm]
Spessore dell'anima	t_w	13.5 [mm]
Spessore dell'ala	t_f	24 [mm]
Raggio di raccordo	r	27 [mm]
Area della sezione trasversale	A	19780 [mm ²]
Altezza della sezione trasversale al netto delle ali	h_w	352 [mm]
Altezza del pannello d'anima	c_w	298 [mm]
Diametro massimo consentito dei bulloni d'ala	$d_{bf,max}$	27 [mm]
Passo minimo trasversale tra i bulloni d'ala	$p_{b,min}$	124 [mm]
Passo massimo trasversale tra i bulloni d'ala	$p_{b,max}$	198 [mm]
Momento d'inerzia della sezione trasversale attorno all'asse forte	I_y	5.768E+08 [mm ⁴]
Modulo di resistenza elastico attorno all'asse forte	$W_{el,y}$	2.884E+06 [mm ³]
Modulo di resistenza plastico attorno all'asse forte	$W_{pl,y}$	3.232E+06 [mm ³]
Area resistente a taglio nel piano dell'anima	$A_{v,z}$	6998 [mm ²]
Raggio d'inerzia attorno all'asse forte	i_y	170.8 [mm]
Momento d'inerzia della sezione trasversale attorno all'asse debole	I_z	1.082E+08 [mm ⁴]
Modulo di resistenza elastico attorno all'asse debole	$W_{el,z}$	7.213E+05 [mm ³]
Modulo di resistenza plastico attorno all'asse debole	$W_{pl,z}$	1.104E+06 [mm ³]
Area resistente a taglio nel piano delle ali	$A_{v,y}$	15028 [mm ²]
Raggio d'inerzia attorno all'asse debole	i_z	74.0 [mm]
Momento d'inerzia torsionale	I_t	3.557E+06 [mm ⁴]
Costante di Warping	I_w	3.817E+12 [mm ⁶]

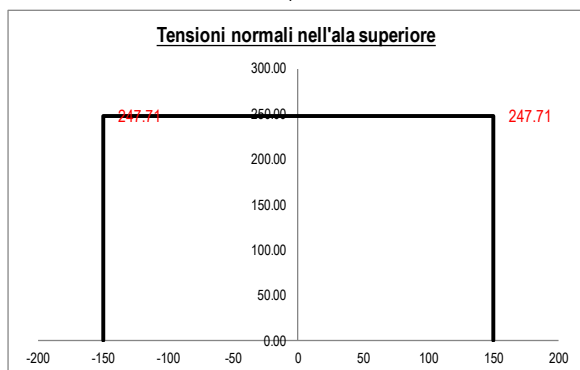
Caratteristiche di sollecitazione nella sezione di verifica		
Forza normale (positiva se di compressione)	N_{Ed}	935.50 [kN]
Forza di taglio agente in direzione parallela all'anima	$V_{z,Ed}$	489.00 [kN]
Forza di taglio agente in direzione parallela alle ali	$V_{y,Ed}$	0.00 [kN]
Momento flettente attorno all'asse maggiore di inerzia	$M_{y,Ed}$	578.00 [kNm]
Momento flettente attorno all'asse minore di inerzia	$M_{z,Ed}$	0.00 [kNm]
Momento torcente primario (alla Saint Venant)	T_{Ed}	0.00 [kNm]

<i>Progetto definitivo</i>	COMMESSA	LOTTO	CODIFICA	DOCUMENTO	REV.	FOGLIO
<i>Relazione di calcolo delle Opere Provisionali</i>	RS3U	40	D09CL	VI0703001	B	114 di 171

Classificazione della sezione trasversale di verifica

Determinazione dello stato tensionale dovuto a N - M_y - M_x

Distribuzione delle tensioni normali nei punti salienti della sezione trasversale

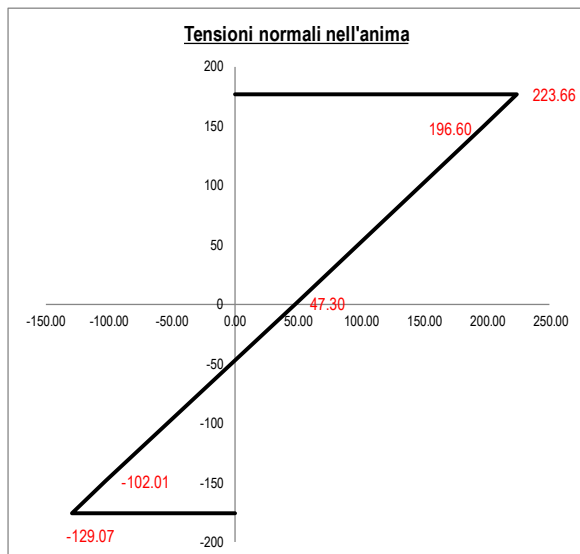


Tensioni elastiche per CL < 4

σ _A	247.71	[N/mm ²]
σ _B	247.71	[N/mm ²]
σ _C	247.71	[N/mm ²]
σ _D	223.66	[N/mm ²]
σ _E	223.66	[N/mm ²]

Tensioni efficaci per CL = 4

σ _{A,eff}	247.71	[N/mm ²]
σ _{B,eff}	247.71	[N/mm ²]
σ _{C,eff}	247.71	[N/mm ²]
σ _{D,eff}	223.66	[N/mm ²]
σ _{E,eff}	223.66	[N/mm ²]

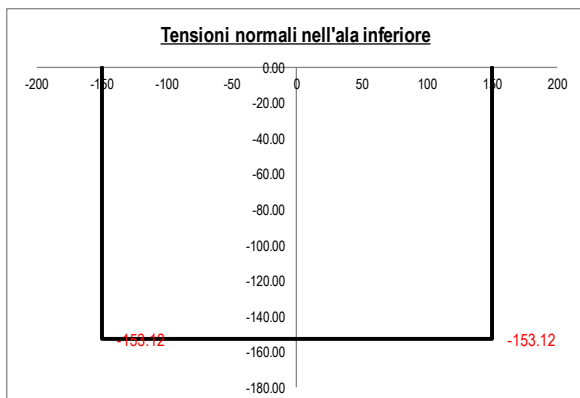


Tensioni elastiche per CL < 4

σ _F	223.66	[N/mm ²]
σ _{F'}	196.60	[N/mm ²]
σ _G	47.30	[N/mm ²]
σ _H	-102.01	[N/mm ²]
σ _H	-129.07	[N/mm ²]

Tensioni efficaci per CL = 4

σ _{F,eff}	223.66	[N/mm ²]
σ _{F',eff}	196.60	[N/mm ²]
σ _{G,eff}	47.30	[N/mm ²]
σ _{H,eff}	-102.01	[N/mm ²]
σ _{H,eff}	-129.07	[N/mm ²]



Tensioni elastiche per CL < 4

σ _I	-129.07	[N/mm ²]
σ _L	-129.07	[N/mm ²]
σ _M	-153.12	[N/mm ²]
σ _N	-153.12	[N/mm ²]
σ _O	-153.12	[N/mm ²]

Tensioni efficaci per CL = 4

σ _{I,eff}	-129.07	[N/mm ²]
σ _{L,eff}	-129.07	[N/mm ²]
σ _{M,eff}	-153.12	[N/mm ²]
σ _{N,eff}	-153.12	[N/mm ²]
σ _{O,eff}	-153.12	[N/mm ²]

<i>Progetto definitivo</i>	COMMESSA	LOTTO	CODIFICA	DOCUMENTO	REV.	FOGLIO
<i>Relazione di calcolo delle Opere Provisionali</i>	RS3U	40	D09CL	VI0703001	B	115 di 171

Resistenza a flessione, forza assiale e taglio

[Calcolo plastico per sezioni in classe 1 o 2](#)

Parametri limite che valutano l'intensità della forza assiale

$N_{lim,1}$ 1295.12 [kN]

$N_{lim,2}$ 622.29 [kN]

$N_{lim,3}$ 1244.57 [kN]

n 0.181 [-]

a 0.272 [-]

Resistenza a flessione attorno all'asse maggiore ridotta per effetto di N_{Ed}

$M_{Ny,Rd}$ 802.79 [kNm]

Verifica flessionale attorno all'asse maggiore

$\rho_{N-My-pl}$  0.720 [-]

Resistenza a flessione attorno all'asse minore ridotta per effetto di N_{Ed}

$M_{Nz,Rd}$ 289.14 [kNm]

Verifica flessionale attorno all'asse minore

$\rho_{N-Mz-pl}$  0.000 [-]

Verifica di presso/tenso flessione biassiale (*metodo normale*)

$\rho_{N-My-Mz-pl}$  0.518 [-]

Verifica di presso/tenso flessione biassiale (*metodo cautelativo*)

$\rho_{N-My-Mz-pl}$  0.720 [-]

<i>Progetto definitivo</i>	COMMESSA	LOTTO	CODIFICA	DOCUMENTO	REV.	FOGLIO
<i>Relazione di calcolo delle Opere Provisionali</i>	RS3U	40	D09CL	VI0703001	B	116 di 171

Verifica puntoni

Tipo di acciaio utilizzato

Coefficiente parziale di sicurezza per le verifiche di resistenza	γ_{M0}	1.05 [-]
Coefficiente parziale di sicurezza per le verifiche di stabilità	γ_{M1}	1.05 [-]
Coefficiente parziale di sicurezza per le verifiche di rottura	γ_{M2}	1.25 [-]

Caratteristiche del profilo

Sezione trasversale del tubolare

Diametro esterno del profilo tubolare (UTENTE)	d_{ext}	254.00 [mm]
Spessore del profilo tubolare (UTENTE)	t	20.00 [mm]
Diametro esterno del profilo tubolare utilizzato nelle verifiche		254 [mm]
Spessore del profilo tubolare utilizzato nelle verifiche		20 [mm]

Geometria della membratura

Lunghezza geometrica della membratura	L	5.00 [m]
Coefficiente di lunghezza di libera inflessione attorno all'asse y - y	β_y	1.00 [-]
Coefficiente di lunghezza di libera inflessione attorno all'asse z - z	β_z	1.00 [-]
Lunghezza di libera inflessione attorno all'asse y - y	$L_{cr,y}$	5000.00 [mm]
Lunghezza di libera inflessione attorno all'asse z - z	$L_{cr,z}$	5000.00 [mm]

Coefficienti di momento equivalente

Nota: l'utente deve inserire i valori C_{my} , C_{mz} con riferimento al prospetto B.3 - EN 1993 - 1 - 1: 2010, tenendo presente che utilizzando $C_{my} = C_{mz} = 1.00$ la verifica sarà sempre "cautelativa".

Coefficienti di momento equivalente

Coefficiente di momento equivalente per flessione attorno all'asse y - y C_{my}	1.000 [-]
Coefficiente di momento equivalente per flessione attorno all'asse z - z C_{mz}	1.000 [-]

Caratteristiche di sollecitazione

Nota: la forza assiale è POSITIVA se di compressione

Calcola

Svuota

Comb.	N_{Ed}	$V_{z,Ed}$	$V_{y,Ed}$	$M_{y,Ed}$	$M_{z,Ed}$	T_{Ed}	Verifica
[n°]	[kN]	[kN]	[kN]	[kNm]	[kNm]	[kNm]	[-]
1	2139.00						✓ 0.65

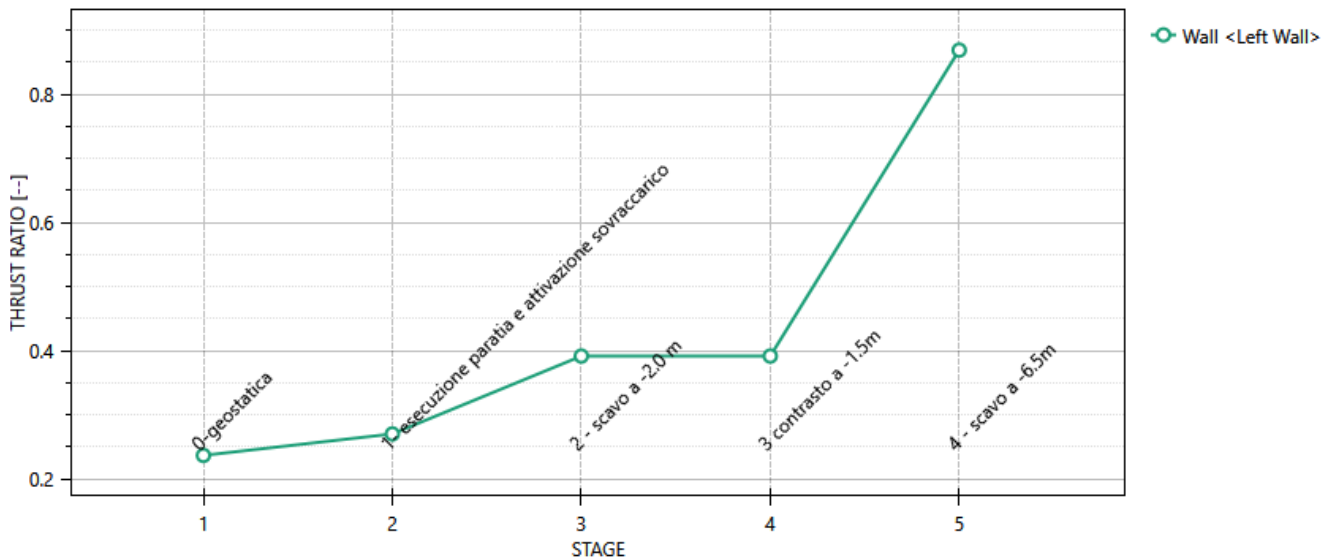
 ITALFERR GRUPPO FERROVIE DELLO STATO ITALIANE	DIRETTRICE FERROVIARIA MESSINA - CATANIA - PALERMO NUOVO COLLEGAMENTO PALERMO - CATANIA PROGETTO DEFINITIVO VI07 - Viadotto ferroviario a Doppio binario					
	<i>Progetto definitivo</i> <i>Relazione di calcolo delle Opere</i> <i>Provisionali</i>	COMMESSA RS3U	LOTTO 40	CODIFICA D09CL	DOCUMENTO VI0703001	REV. B

11.4 Verifica SLU-GEO della paratia (combinazione A2+M2+R1)

Il massimo rapporto di mobilitazione della spinta passiva è circa il 87%

Massimi rapporti di mobilitazione spinta passiva

D.A. <NTC2018: A2+M2+R1>



Massimi rapporti di mobilitazione spinta passiva

Result Title :Wall <Left Wall>

STAGE THRUST_RATIO [--]

1	0.237
2	0.27
3	0.392
4	0.392
5	0.869

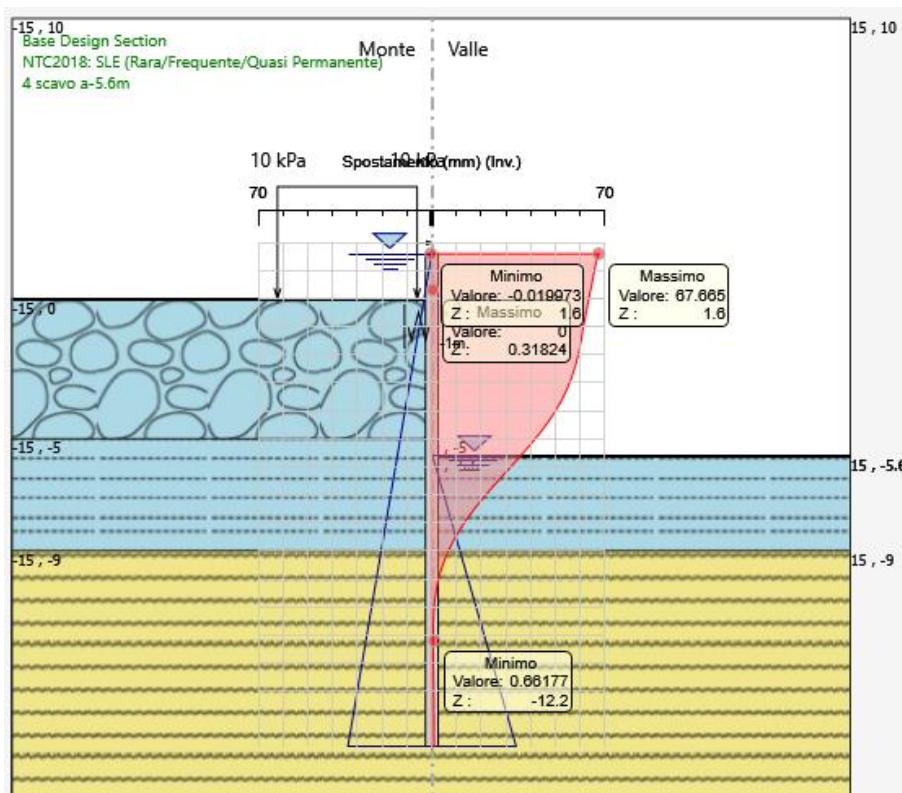
 ITALFERR GRUPPO FERROVIE DELLO STATO ITALIANE	DIRETTRICE FERROVIARIA MESSINA - CATANIA - PALERMO NUOVO COLLEGAMENTO PALERMO - CATANIA PROGETTO DEFINITIVO VI07 - Viadotto ferroviario a Doppio binario					
	<i>Progetto definitivo</i> <i>Relazione di calcolo delle Opere</i> <i>Provisionali</i>	COMMESSA RS3U	LOTTO 40	CODIFICA D09CL	DOCUMENTO VI0703001	REV. B

12. RISULTATI E VERIFICHE DELLA PARATIA (PILA P12)

Nel seguito si espongono, in sintesi, i principali risultati di interesse progettuale.

12.1 RISULTATI (COMBINAZIONE SLE)

Dall'involuppo degli spostamenti in combinazione SLE si osserva che lo spostamento massimo orizzontale della paratia risulta pari a circa 68 mm.



 ITALFERR GRUPPO FERROVIE DELLO STATO ITALIANE	DIRETTRICE FERROVIARIA MESSINA - CATANIA - PALERMO NUOVO COLLEGAMENTO PALERMO - CATANIA PROGETTO DEFINITIVO VI07 - Viadotto ferroviario a Doppio binario					
	<i>Progetto definitivo</i> <i>Relazione di calcolo delle Opere</i> <i>Provisionali</i>	COMMESSA RS3U	LOTTO 40	CODIFICA D09CL	DOCUMENTO VI0703001	REV. B

12.2 RISULTATI E VERIFICHE SLU-STR PARATIA (combinazione A1+M1+R1)

Dall'involuppo del momento flettente in combinazione A1+M1+R1 si osserva che il massimo valore sulla paratia si ha ad una quota di 4.4 m da testa palo e risulta pari a 222.8 kNm/m.

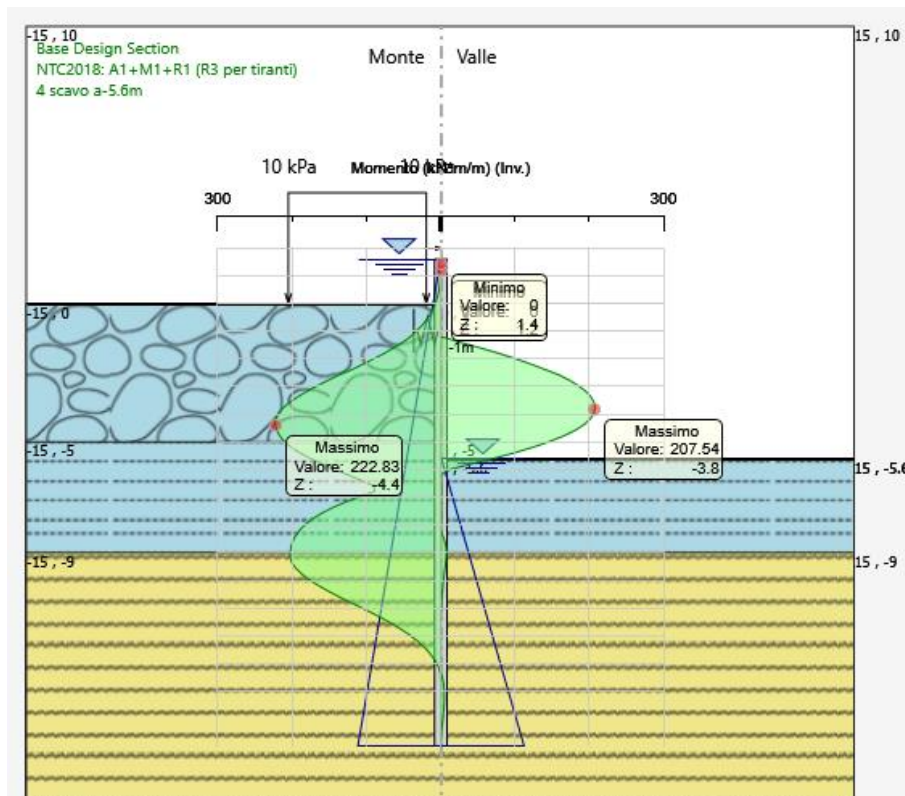


Figura 18: momento flettente allo SLU-STR

<i>Progetto definitivo</i>	COMMESSA	LOTTO	CODIFICA	DOCUMENTO	REV.	FOGLIO
<i>Relazione di calcolo delle Opere Provisionali</i>	RS3U	40	D09CL	VI0703001	B	120 di 171

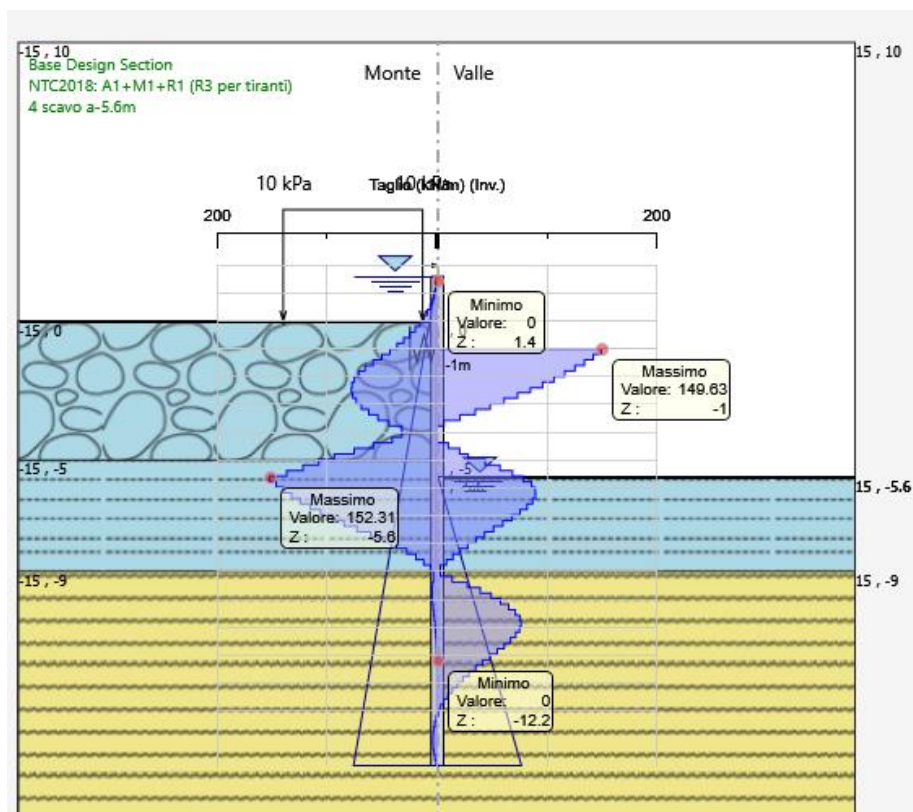


Figura 19: forza di taglio allo SLU-STR

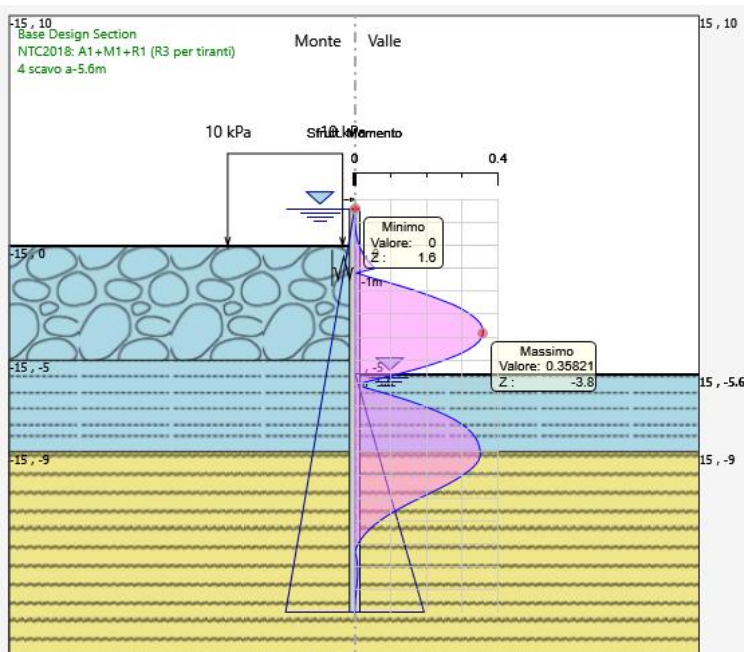
combinazione (-)	M (kN*m/m)	profondità (m)	V (kN/m)
SLU-STR	222.8	4.4	152.3
SLE	170.2	4.4	-

Tabella 3: riepilogo delle sollecitazioni sulla paratia

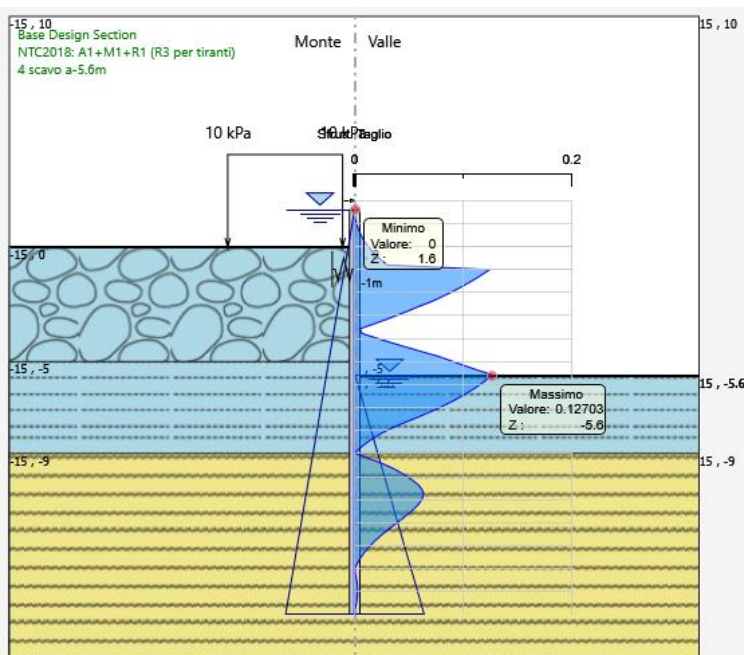
Nel seguito si riportano i risultati delle verifiche strutturali delle palancole a flessione e a taglio.

<i>Progetto definitivo</i>	COMMESSA	LOTTO	CODIFICA	DOCUMENTO	REV.	FOGLIO
<i>Relazione di calcolo delle Opere Provisionali</i>	RS3U	40	D09CL	VI0703001	B	121 di 171

Tasso di sfruttamento a momento flettente



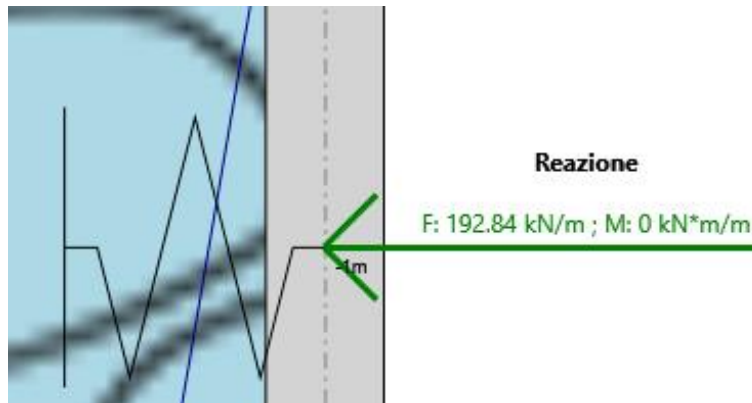
Tasso di sfruttamento al taglio



 ITALFERR GRUPPO FERROVIE DELLO STATO ITALIANE	DIRETTRICE FERROVIARIA MESSINA - CATANIA - PALERMO NUOVO COLLEGAMENTO PALERMO - CATANIA PROGETTO DEFINITIVO VI07 - Viadotto ferroviario a Doppio binario					
	<i>Progetto definitivo</i> <i>Relazione di calcolo delle Opere Provisionali</i>	COMMESSA RS3U	LOTTO 40	CODIFICA D09CL	DOCUMENTO VI0703001	REV. B

12.3 RISULTATI E VERIFICHE SLU-STR PER IL SISTEMA DI CONTRASTO (combinazione A1+M1+R1)

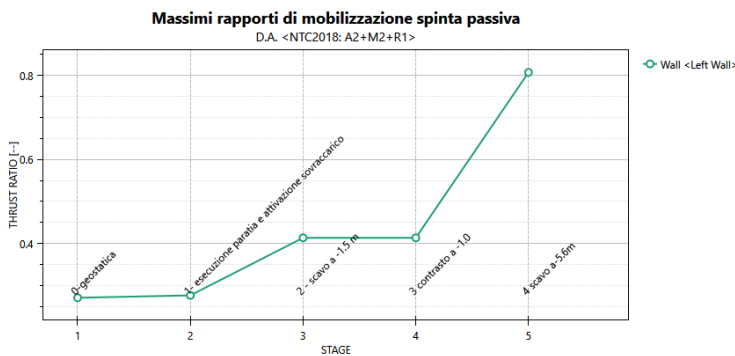
Di seguito si riporta il valore di reazione sul sistema di contrasto ottenuto dall'analisi nella combinazione SLU-STR. Tale reazione risulta essere pari a 193 kN/m.



Per la verifica del sistema di contrasto fare riferimento alle verifiche eseguite per le pile P9-P11 per le quali risulta maggiormente sollecitato.

12.4 Verifica SLU-GEO della paratia (combinazione A2+M2+R1)

Il massimo rapporto di mobilitazione della spinta passiva è circa il 81%



Massimi rapporti di mobilitazione spinta passiva

 <p>ITALFERR GRUPPO FERROVIE DELLO STATO ITALIANE</p>	<p>DIRETTRICE FERROVIARIA MESSINA - CATANIA - PALERMO NUOVO COLLEGAMENTO PALERMO - CATANIA PROGETTO DEFINITIVO VI07 - Viadotto ferroviario a Doppio binario</p>					
	<p><i>Progetto definitivo</i></p> <p><i>Relazione di calcolo delle Opere Provisionali</i></p>	<p>COMMESSA</p> <p>RS3U</p>	<p>LOTTO</p> <p>40</p>	<p>CODIFICA</p> <p>D09CL</p>	<p>DOCUMENTO</p> <p>VI0703001</p>	<p>REV.</p> <p>B</p>

Result Title :Wall <Left Wall>

STAGE THRUST_RATIO [--]

1	0.271
2	0.276
3	0.413
4	0.413
5	0.807

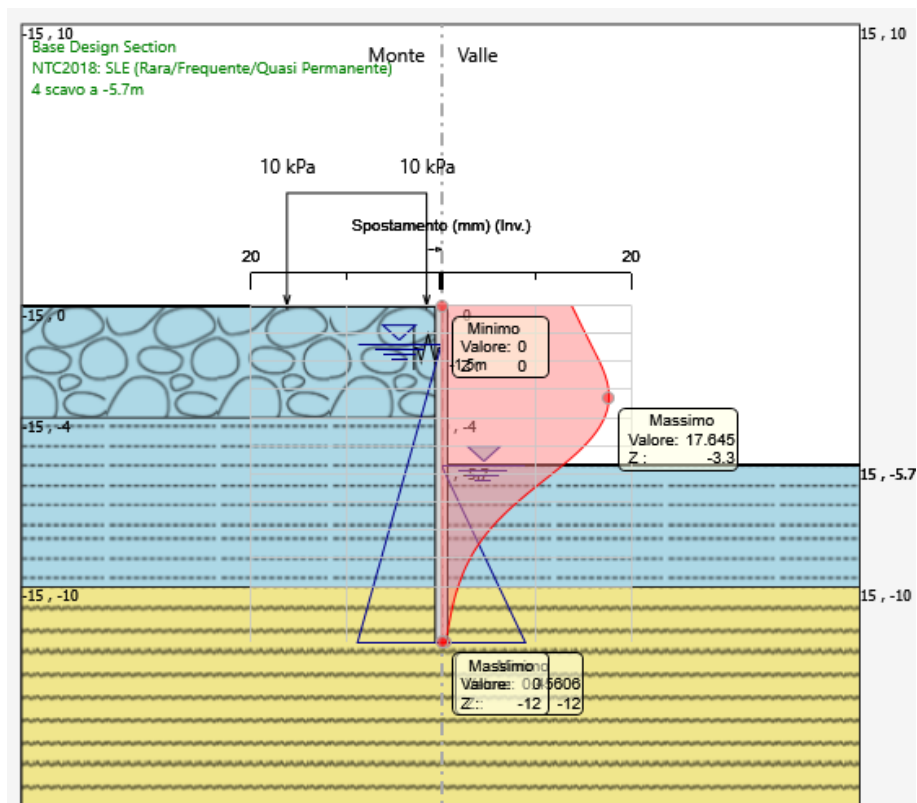
 <p>ITALFERR GRUPPO FERROVIE DELLO STATO ITALIANE</p>	<p>DIRETTRICE FERROVIARIA MESSINA - CATANIA - PALERMO NUOVO COLLEGAMENTO PALERMO - CATANIA PROGETTO DEFINITIVO VI07 - Viadotto ferroviario a Doppio binario</p>					
	<p><i>Progetto definitivo</i></p> <p><i>Relazione di calcolo delle Opere Provisionali</i></p>	<p>COMMESSA</p> <p>RS3U</p>	<p>LOTTO</p> <p>40</p>	<p>CODIFICA</p> <p>D09CL</p>	<p>DOCUMENTO</p> <p>VI0703001</p>	<p>REV.</p> <p>B</p>

13. RISULTATI E VERIFICHE DELLA PARATIA (PILA P13÷P14)

Nel seguito si espongono, in sintesi, i principali risultati di interesse progettuale.

13.1 RISULTATI (COMBINAZIONE SLE)

Dall'involuppo degli spostamenti in combinazione SLE si osserva che lo spostamento massimo orizzontale della paratia risulta pari a circa 17 mm.



 ITALFERR GRUPPO FERROVIE DELLO STATO ITALIANE	DIRETTRICE FERROVIARIA MESSINA - CATANIA - PALERMO NUOVO COLLEGAMENTO PALERMO - CATANIA PROGETTO DEFINITIVO VI07 - Viadotto ferroviario a Doppio binario					
	<i>Progetto definitivo</i> <i>Relazione di calcolo delle Opere</i> <i>Provisionali</i>	COMMESSA RS3U	LOTTO 40	CODIFICA D09CL	DOCUMENTO VI0703001	REV. B

13.2 RISULTATI E VERIFICHE SLU-STR PARATIA (combinazione A1+M1+R1)

Dall'involuppo del momento flettente in combinazione A1+M1+R1 si osserva che il massimo valore sulla paratia si ha ad una quota di 3.9 m da testa palo e risulta pari a 107.2 kNm/m.

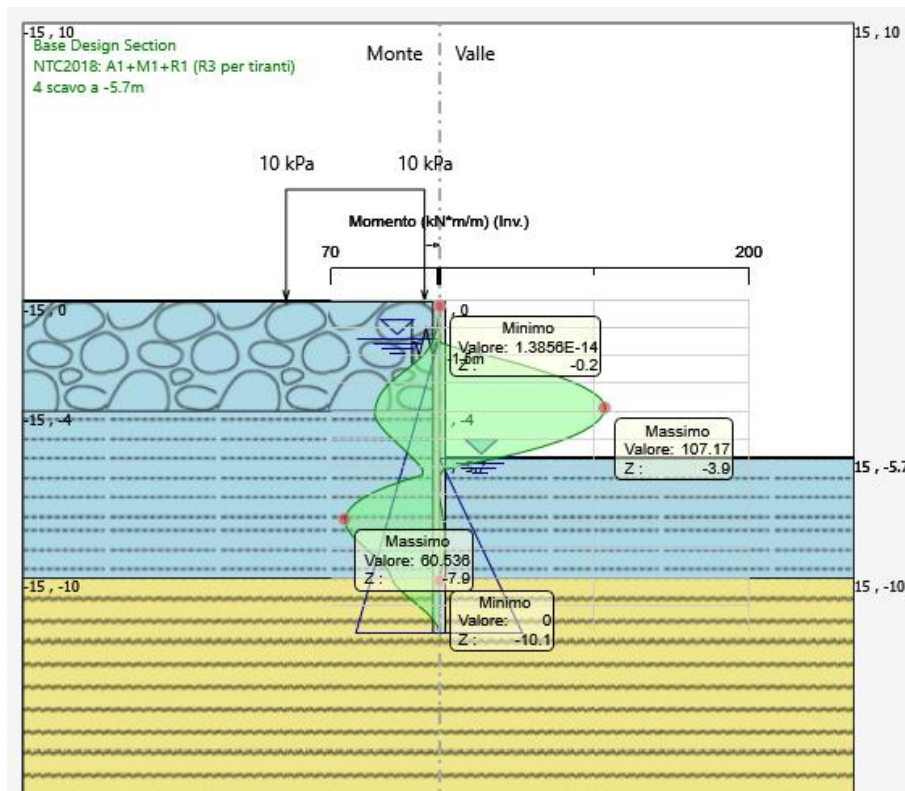


Figura 20: momento flettente allo SLU-STR

<i>Progetto definitivo</i>	COMMESSA	LOTTO	CODIFICA	DOCUMENTO	REV.	FOGLIO
<i>Relazione di calcolo delle Opere Provisionali</i>	RS3U	40	D09CL	VI0703001	B	126 di 171

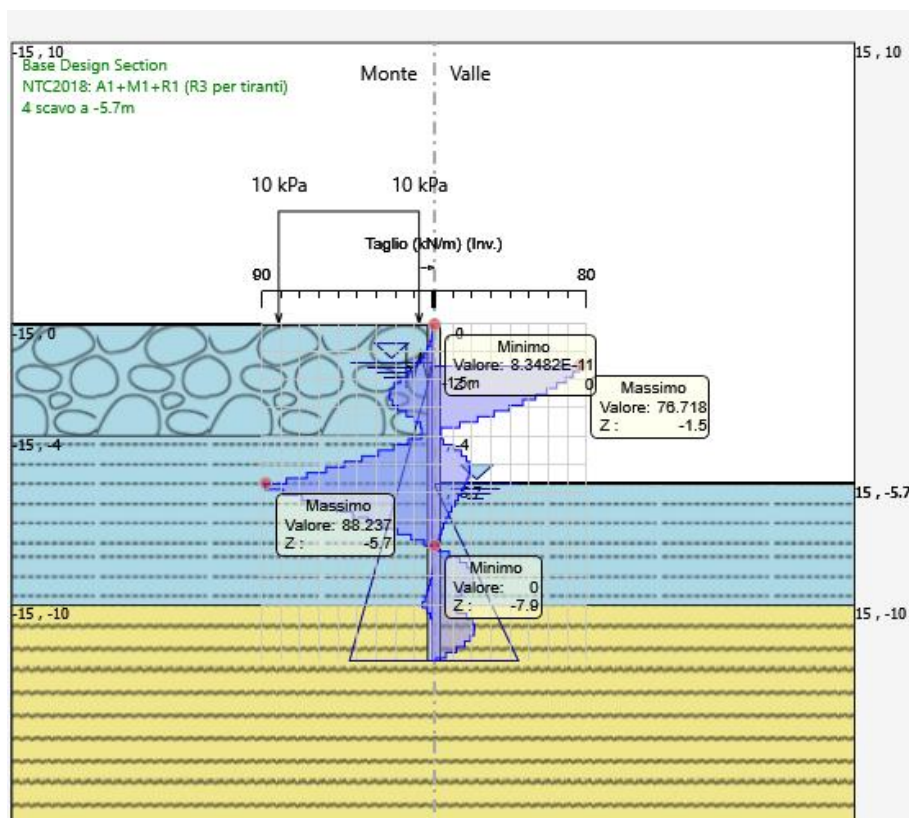


Figura 21: forza di taglio allo SLU-STR

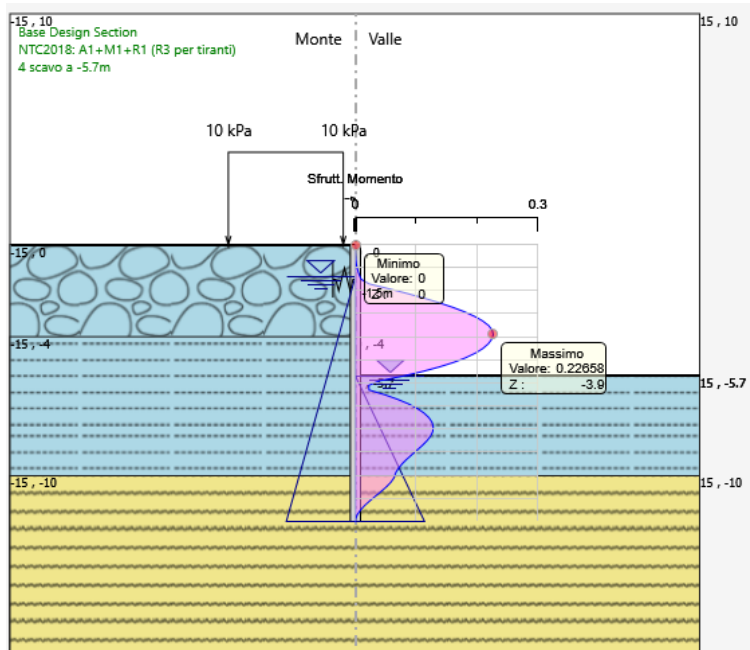
combinazione (-)	M (kN*m/m)	profondità (m)	V (kN/m)
SLU-STR	107.2	3.9	88.2
SLE	82.1	3.9	-

Tabella 4: riepilogo delle sollecitazioni sulla paratia

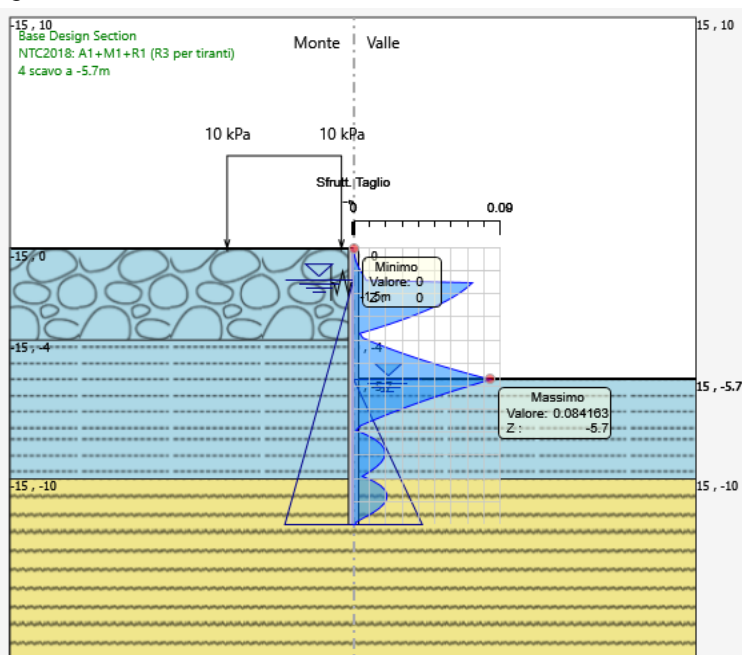
Nel seguito si riportano i risultati delle verifiche strutturali delle palancole a flessione e a taglio.

<i>Progetto definitivo</i>	COMMESSA	LOTTO	CODIFICA	DOCUMENTO	REV.	FOGLIO
<i>Relazione di calcolo delle Opere Provisionali</i>	RS3U	40	D09CL	VI0703001	B	127 di 171

Tasso di sfruttamento a momento flettente



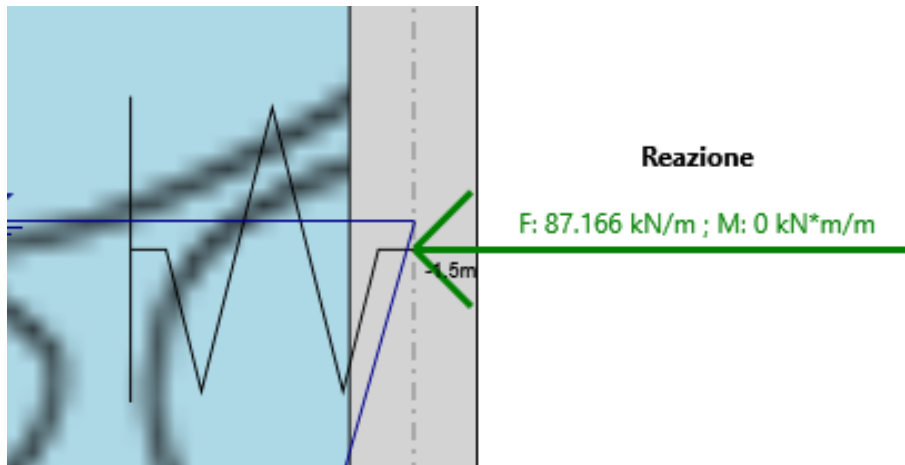
Tasso di sfruttamento al taglio



 ITALFERR GRUPPO FERROVIE DELLO STATO ITALIANE	DIRETTRICE FERROVIARIA MESSINA - CATANIA - PALERMO NUOVO COLLEGAMENTO PALERMO - CATANIA PROGETTO DEFINITIVO VI07 - Viadotto ferroviario a Doppio binario					
	<i>Progetto definitivo</i> <i>Relazione di calcolo delle Opere Provisionali</i>	COMMESSA RS3U	LOTTO 40	CODIFICA D09CL	DOCUMENTO VI0703001	REV. B

13.3 RISULTATI E VERIFICHE SLU-STR PER IL SISTEMA DI CONTRASTO (combinazione A1+M1+R1)

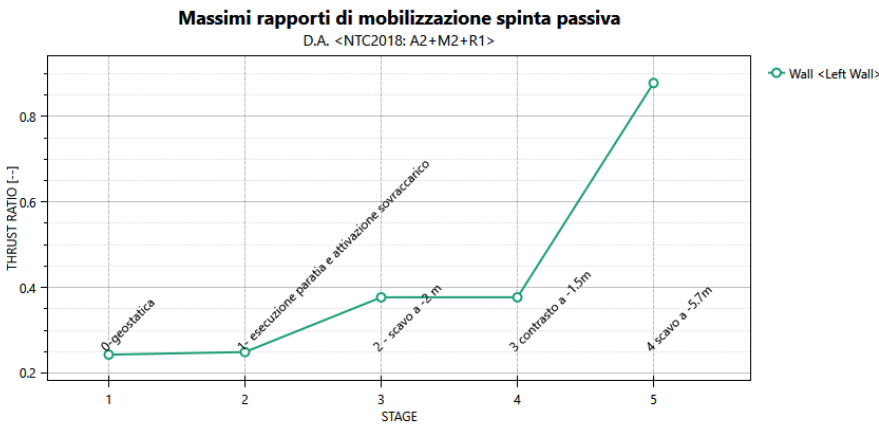
Di seguito si riporta il valore di reazione sul sistema di contrasto ottenuto dall'analisi nella combinazione SLU-STR. Tale reazione risulta essere pari a 87 KN/m.



Per la verifica del sistema di contrasto fare riferimento alle verifiche eseguite per le pile P22-P25 per le quali risulta maggiormente sollecitato.

13.4 Verifica SLU-GEO della paratia (combinazione A2+M2+R1)

Il massimo rapporto di mobilitazione della spinta passiva è circa il 88%



 ITALFERR GRUPPO FERROVIE DELLO STATO ITALIANE	DIRETTRICE FERROVIARIA MESSINA - CATANIA - PALERMO NUOVO COLLEGAMENTO PALERMO - CATANIA PROGETTO DEFINITIVO VI07 - Viadotto ferroviario a Doppio binario					
	<i>Progetto definitivo</i> <i>Relazione di calcolo delle Opere</i> <i>Provisionali</i>	COMMESSA RS3U	LOTTO 40	CODIFICA D09CL	DOCUMENTO VI0703001	REV. B

Massimi rapporti di mobilitazione spinta passiva

Result Title :Wall <Left Wall>

STAGE THRUST_RATIO [--]

1	0.243
2	0.249
3	0.377
4	0.377
5	0.878

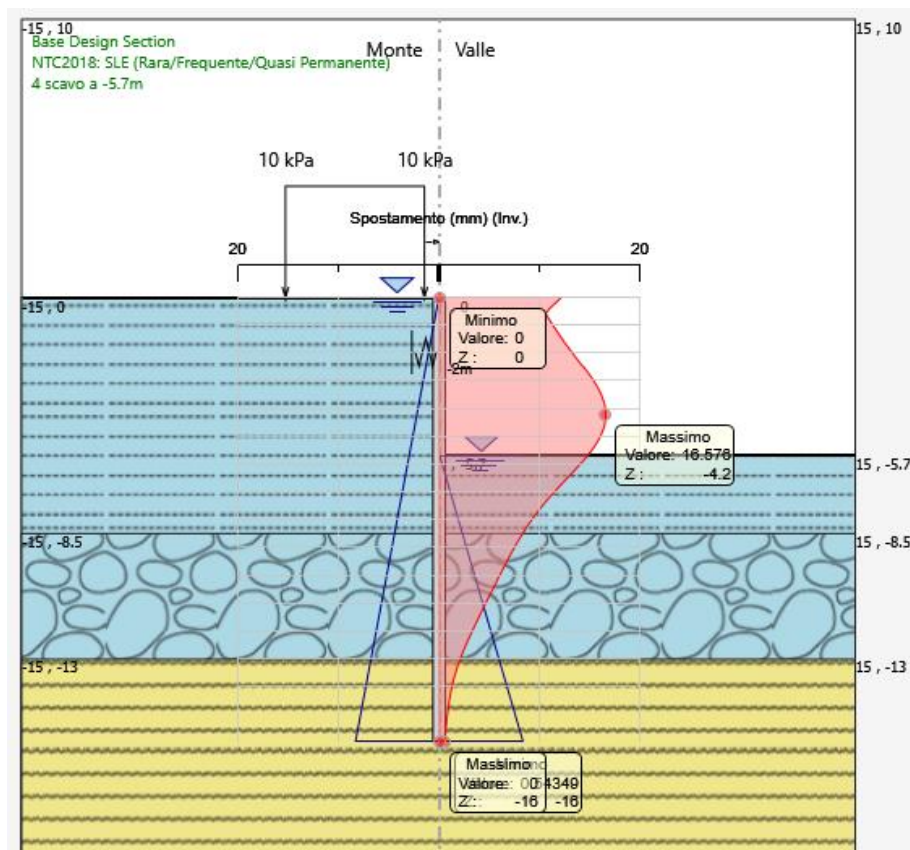
 ITALFERR GRUPPO FERROVIE DELLO STATO ITALIANE	DIRETTRICE FERROVIARIA MESSINA - CATANIA - PALERMO NUOVO COLLEGAMENTO PALERMO - CATANIA PROGETTO DEFINITIVO VI07 - Viadotto ferroviario a Doppio binario					
	<i>Progetto definitivo</i> <i>Relazione di calcolo delle Opere</i> <i>Provisionali</i>	COMMESSA RS3U	LOTTO 40	CODIFICA D09CL	DOCUMENTO VI0703001	REV. B

14. RISULTATI E VERIFICHE DELLA PARATIA (PILA P18)

Nel seguito si espongono, in sintesi, i principali risultati di interesse progettuale.

14.1 RISULTATI (COMBINAZIONE SLE)

Dall'involuppo degli spostamenti in combinazione SLE si osserva che lo spostamento massimo orizzontale della paratia risulta pari a circa 17 mm.



 ITALFERR GRUPPO FERROVIE DELLO STATO ITALIANE	DIRETTRICE FERROVIARIA MESSINA - CATANIA - PALERMO NUOVO COLLEGAMENTO PALERMO - CATANIA PROGETTO DEFINITIVO VI07 - Viadotto ferroviario a Doppio binario					
	<i>Progetto definitivo</i> <i>Relazione di calcolo delle Opere</i> <i>Provisionali</i>	COMMESSA RS3U	LOTTO 40	CODIFICA D09CL	DOCUMENTO VI0703001	REV. B

14.2 RISULTATI E VERIFICHE SLU-STR PARATIA (combinazione A1+M1+R1)

Dall'involuppo del momento flettente in combinazione A1+M1+R1 si osserva che il massimo valore sulla paratia si ha ad una quota di 4.4 m da testa palo e risulta pari a 109.1 kNm/m.

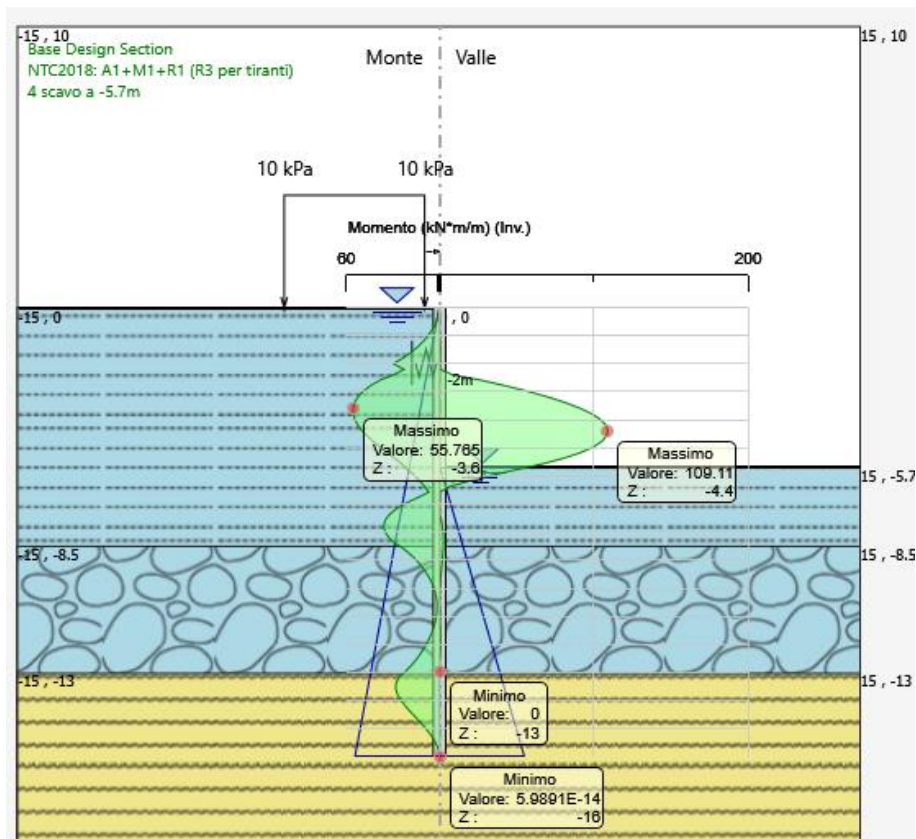


Figura 22: momento flettente allo SLU-STR

<i>Progetto definitivo</i>	COMMESSA	LOTTO	CODIFICA	DOCUMENTO	REV.	FOGLIO
<i>Relazione di calcolo delle Opere Provisionali</i>	RS3U	40	D09CL	VI0703001	B	132 di 171

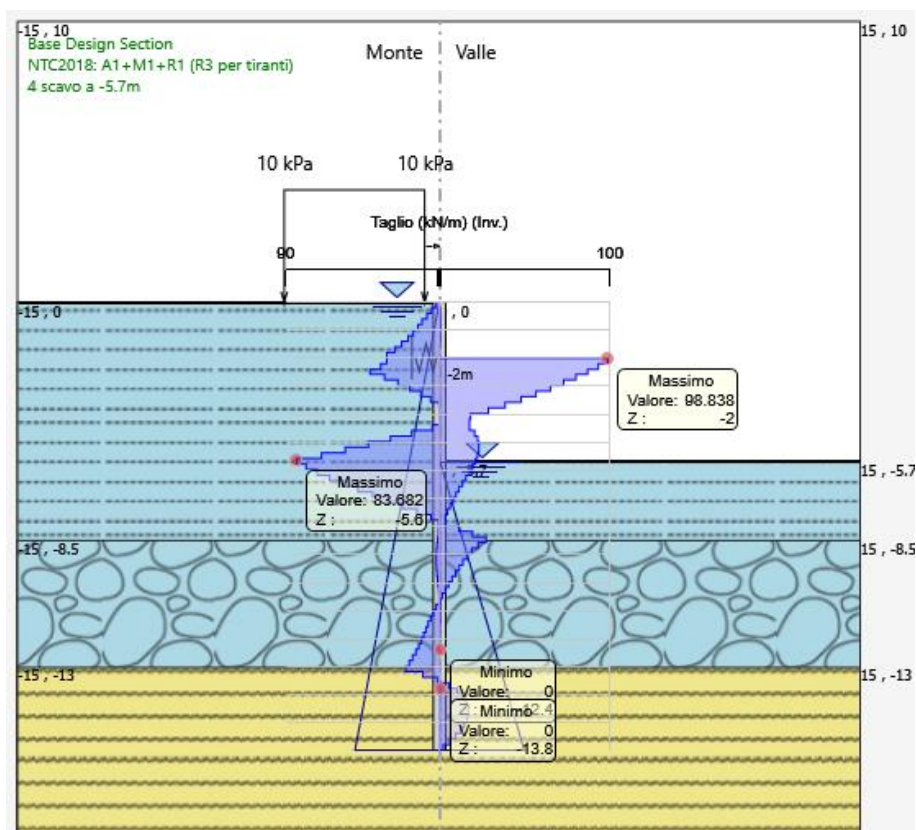


Figura 23: forza di taglio allo SLU-STR

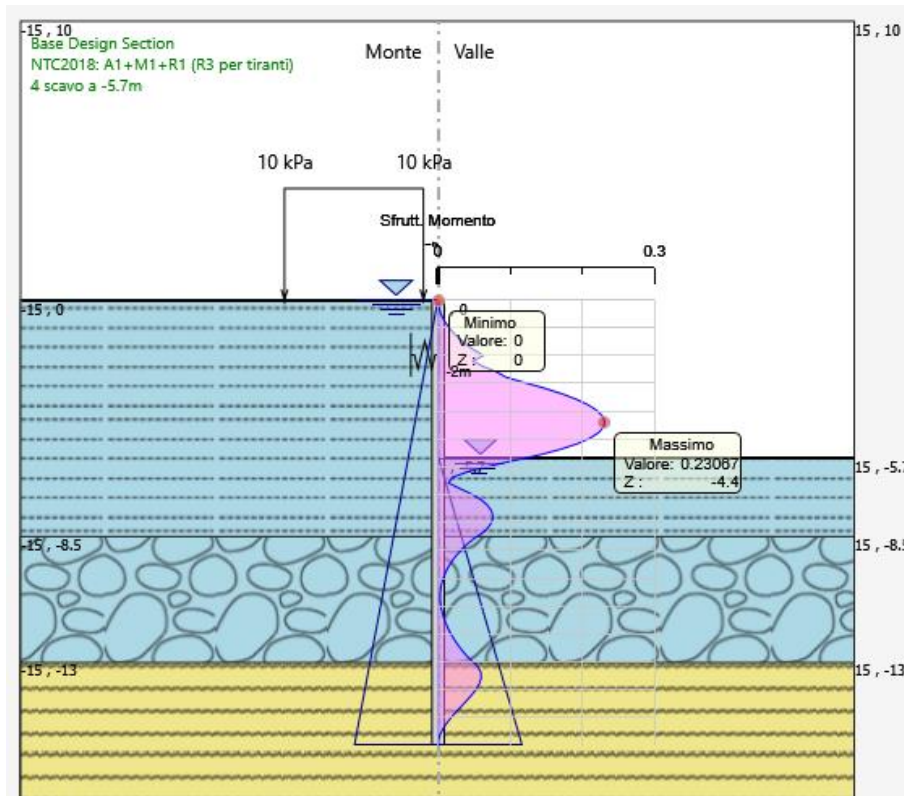
combinazione (-)	M (kN*m/m)	profondità (m)	V (kN/m)
SLU-STR	109.1	4.4	98.8
SLE	83.9	4.4	-

Tabella 5: riepilogo delle sollecitazioni sulla paratia

Nel seguito si riportano i risultati delle verifiche strutturali delle palancole a flessione e a taglio.

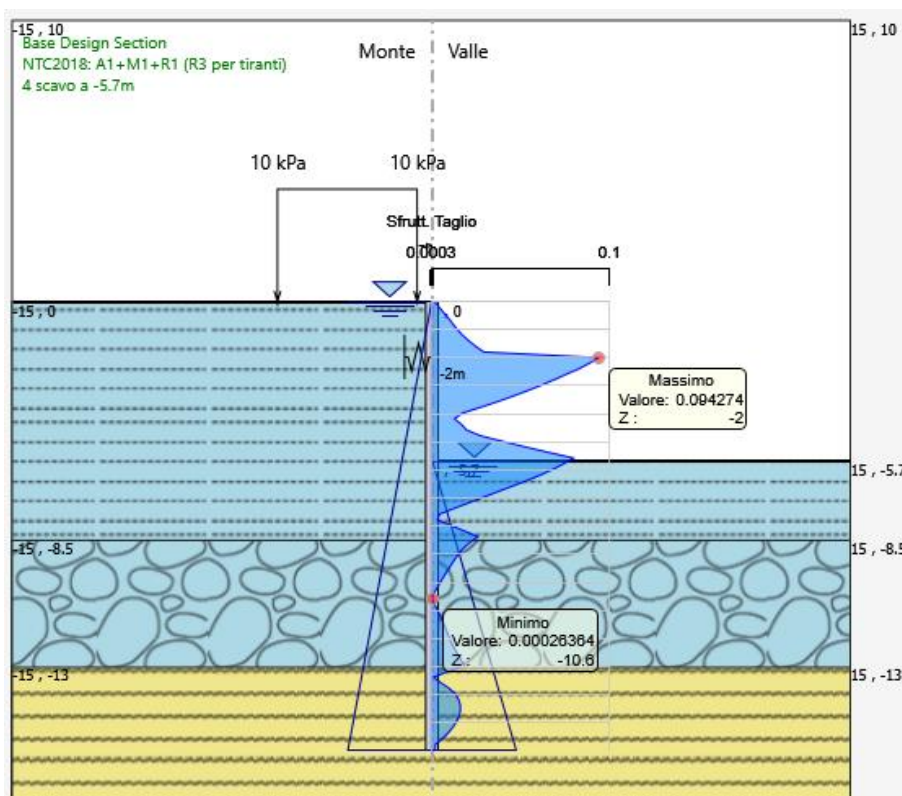
 <p>ITALFERR GRUPPO FERROVIE DELLO STATO ITALIANE</p>	<p>DIRETTRICE FERROVIARIA MESSINA - CATANIA - PALERMO NUOVO COLLEGAMENTO PALERMO - CATANIA PROGETTO DEFINITIVO VI07 - Viadotto ferroviario a Doppio binario</p>					
	<p><i>Progetto definitivo</i></p> <p><i>Relazione di calcolo delle Opere Provisionali</i></p>	<p>COMMESSA</p> <p>RS3U</p>	<p>LOTTO</p> <p>40</p>	<p>CODIFICA</p> <p>D09CL</p>	<p>DOCUMENTO</p> <p>VI0703001</p>	<p>REV.</p> <p>B</p>

Tasso di sfruttamento a momento flettente



Tasso di sfruttamento al taglio

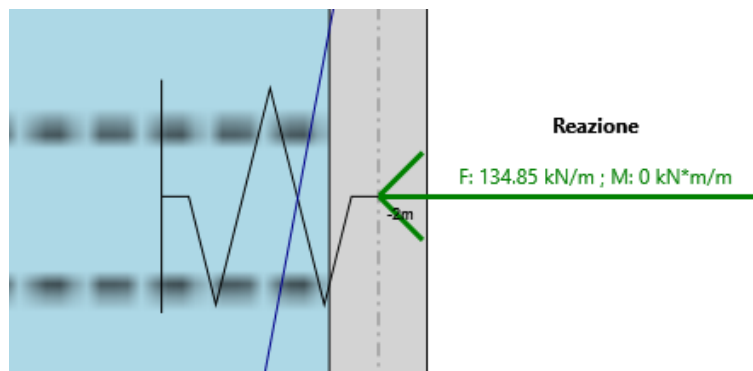
<i>Progetto definitivo</i>	COMMESSA	LOTTO	CODIFICA	DOCUMENTO	REV.	FOGLIO
<i>Relazione di calcolo delle Opere Provisionali</i>	RS3U	40	D09CL	VI0703001	B	134 di 171



	DIRETTRICE FERROVIARIA MESSINA - CATANIA - PALERMO NUOVO COLLEGAMENTO PALERMO - CATANIA PROGETTO DEFINITIVO VI07 - Viadotto ferroviario a Doppio binario					
	<i>Progetto definitivo</i> <i>Relazione di calcolo delle Opere</i> <i>Provisionali</i>	COMMESSA RS3U	LOTTO 40	CODIFICA D09CL	DOCUMENTO VI0703001	REV. B

14.3 RISULTATI E VERIFICHE SLU-STR PER IL SISTEMA DI CONTRASTO (combinazione A1+M1+R1)

Di seguito si riporta il valore di reazione sul sistema di contrasto ottenuto dall'analisi nella combinazione SLU-STR. Tale reazione risulta essere pari a 134.8 KN/m.

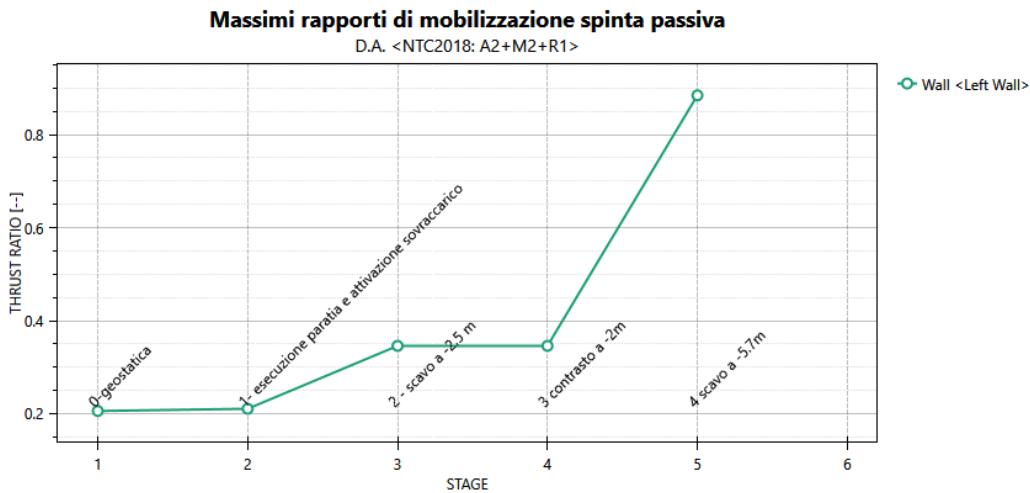


Per la verifica del sistema di contrasto fare riferimento alle verifiche eseguite per le pile P22-P25 per le quali risulta maggiormente sollecitato.

 ITALFERR GRUPPO FERROVIE DELLO STATO ITALIANE	DIRETTRICE FERROVIARIA MESSINA - CATANIA - PALERMO NUOVO COLLEGAMENTO PALERMO - CATANIA PROGETTO DEFINITIVO VI07 - Viadotto ferroviario a Doppio binario					
	<i>Progetto definitivo</i> <i>Relazione di calcolo delle Opere Provisionali</i>	COMMESSA RS3U	LOTTO 40	CODIFICA D09CL	DOCUMENTO VI0703001	REV. B

14.4 Verifica SLU-GEO della paratia (combinazione A2+M2+R1)

Il massimo rapporto di mobilitazione della spinta passiva è circa il 88%



Massimi rapporti di mobilitazione spinta passiva

Result Title :Wall <Left Wall>

STAGE	THRUST_RATIO [--]
1	0.206
2	0.211
3	0.346
4	0.346
5	0.885

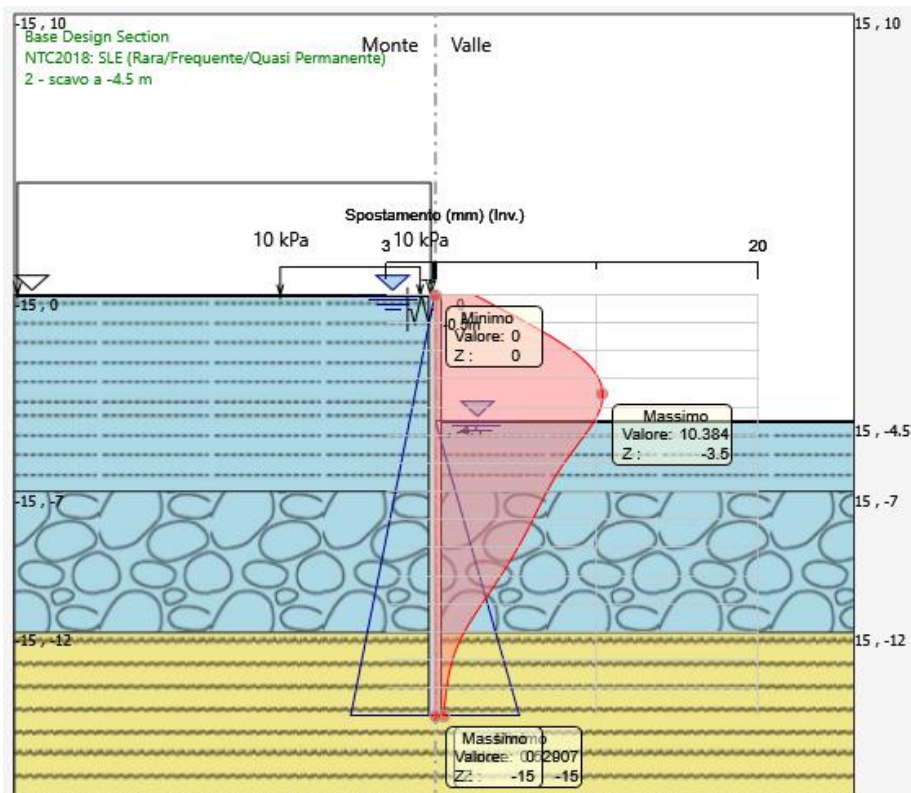
 ITALFERR GRUPPO FERROVIE DELLO STATO ITALIANE	DIRETTRICE FERROVIARIA MESSINA - CATANIA - PALERMO NUOVO COLLEGAMENTO PALERMO - CATANIA PROGETTO DEFINITIVO VI07 - Viadotto ferroviario a Doppio binario					
	<i>Progetto definitivo</i> <i>Relazione di calcolo delle Opere</i> <i>Provisionali</i>	COMMESSA RS3U	LOTTO 40	CODIFICA D09CL	DOCUMENTO VI0703001	REV. B

15. RISULTATI E VERIFICHE DELLA PARATIA (PILA P19-P21)

Nel seguito si espongono, in sintesi, i principali risultati di interesse progettuale.

15.1 RISULTATI (COMBINAZIONE SLE)

Dall'involuppo degli spostamenti in combinazione SLE si osserva che lo spostamento massimo orizzontale della paratia risulta pari a circa 10 mm.



 ITALFERR GRUPPO FERROVIE DELLO STATO ITALIANE	DIRETTRICE FERROVIARIA MESSINA - CATANIA - PALERMO NUOVO COLLEGAMENTO PALERMO - CATANIA PROGETTO DEFINITIVO VI07 - Viadotto ferroviario a Doppio binario					
	<i>Progetto definitivo</i> <i>Relazione di calcolo delle Opere</i> <i>Provisionali</i>	COMMESSA RS3U	LOTTO 40	CODIFICA D09CL	DOCUMENTO VI0703001	REV. B

15.2 RISULTATI E VERIFICHE SLU-STR PARATIA (combinazione A1+M1+R1)

Dall'involuppo del momento flettente in combinazione A1+M1+R1 si osserva che il massimo valore sulla paratia si ha ad una quota di 3.9 m da testa palo e risulta pari a 94 kNm/m.

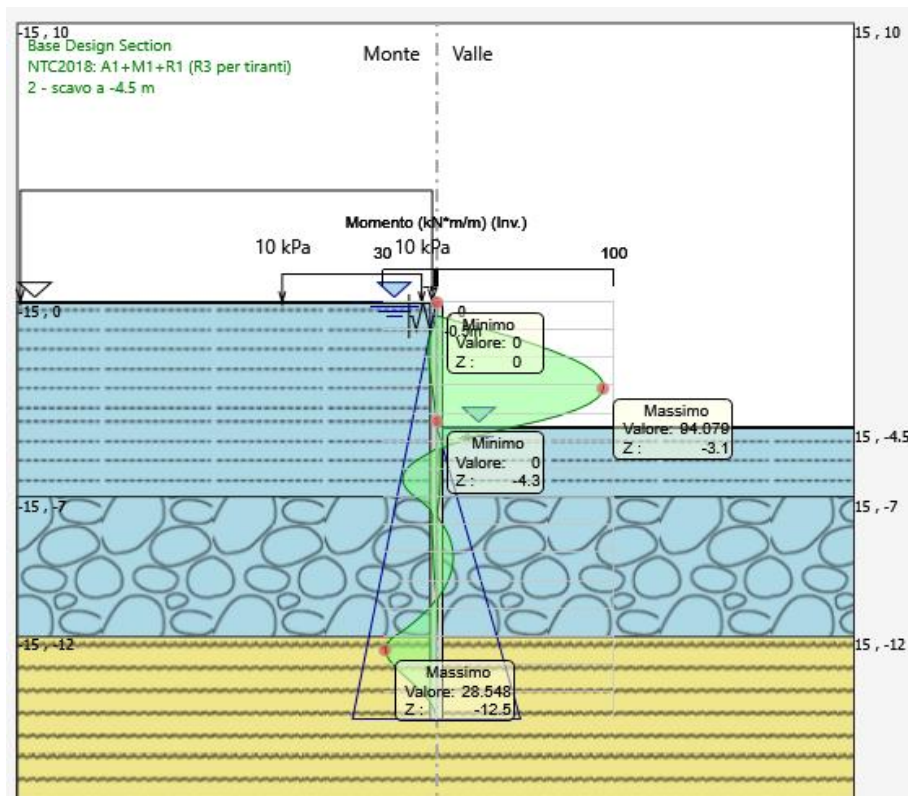


Figura 24: momento flettente allo SLU-STR

<i>Progetto definitivo</i>	COMMESSA	LOTTO	CODIFICA	DOCUMENTO	REV.	FOGLIO
<i>Relazione di calcolo delle Opere Provisionali</i>	RS3U	40	D09CL	VI0703001	B	139 di 171

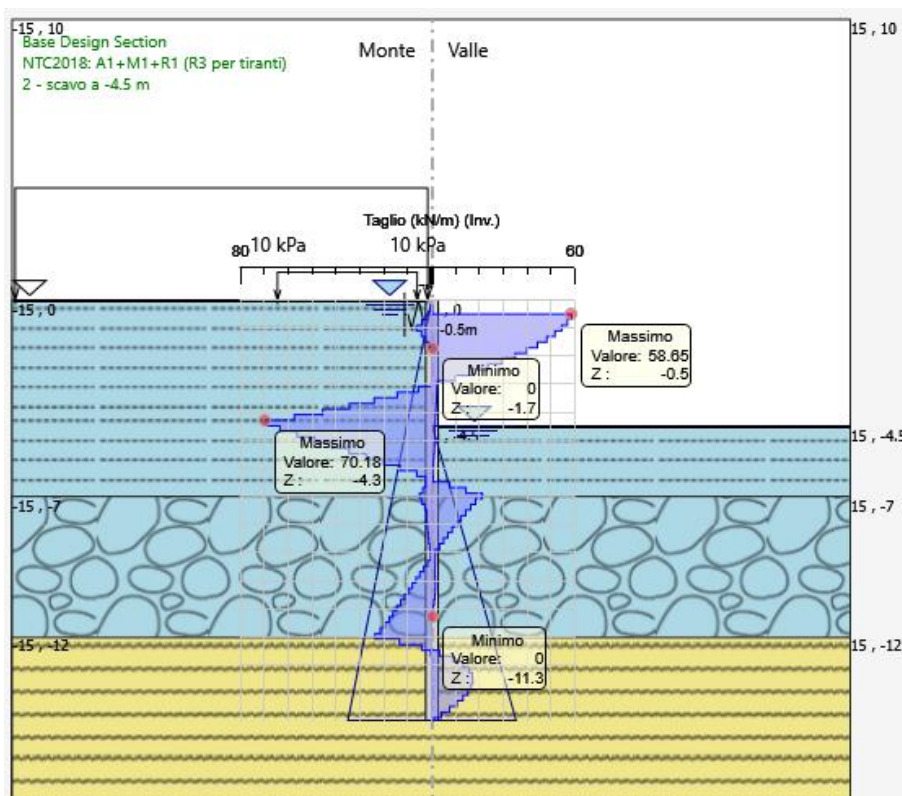


Figura 25: forza di taglio allo SLU-STR

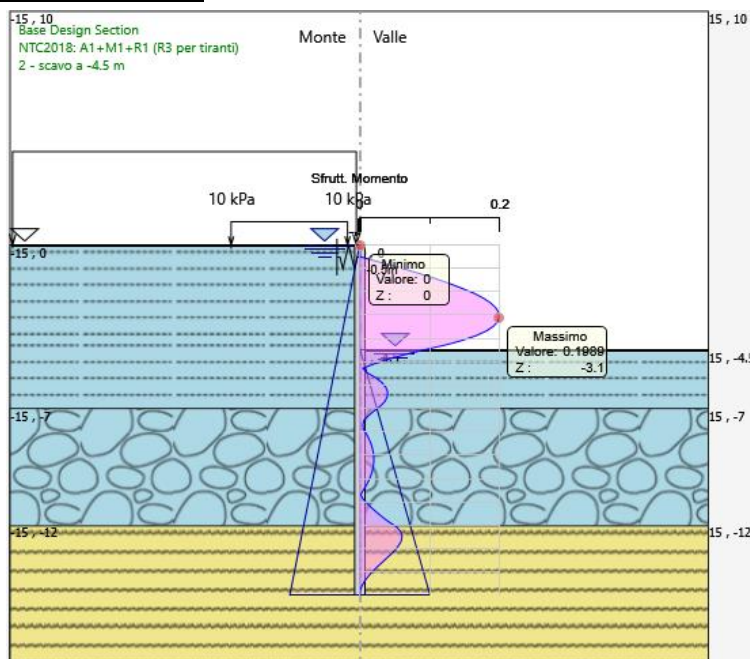
combinazione (-)	M (kN*m/m)	profondità (m)	V (kN/m)
SLU-STR	94.0	3.1	70.1
SLE	71.8	3.1	-

Tabella 6: riepilogo delle sollecitazioni sulla paratia

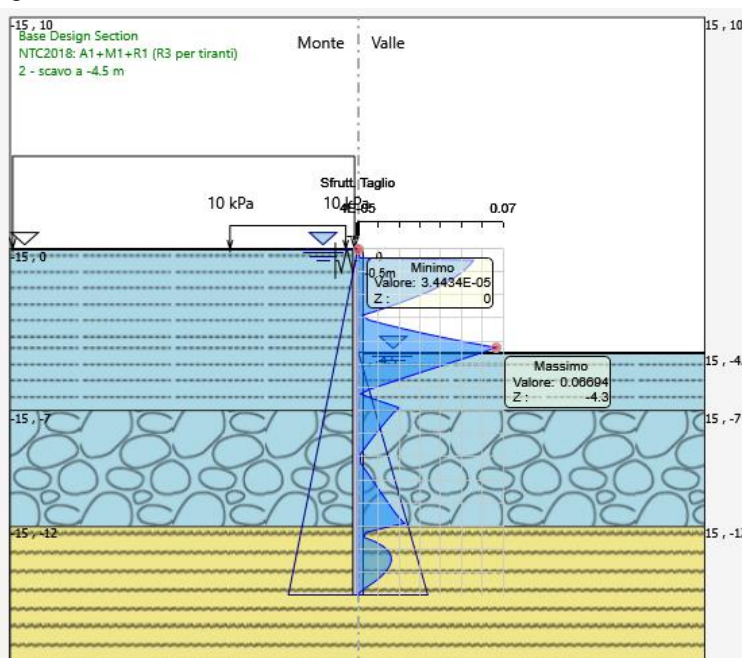
Nel seguito si riportano i risultati delle verifiche strutturali delle palancole a flessione e a taglio.

<i>Progetto definitivo</i>	COMMESSA	LOTTO	CODIFICA	DOCUMENTO	REV.	FOGLIO
<i>Relazione di calcolo delle Opere Provisionali</i>	RS3U	40	D09CL	VI0703001	B	140 di 171

Tasso di sfruttamento a momento flettente



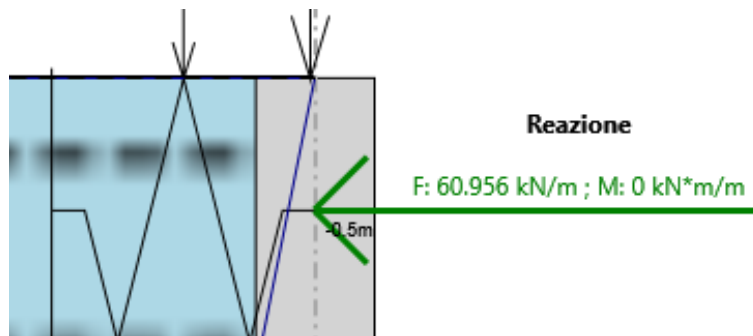
Tasso di sfruttamento al taglio



 ITALFERR GRUPPO FERROVIE DELLO STATO ITALIANE	DIRETTRICE FERROVIARIA MESSINA - CATANIA - PALERMO NUOVO COLLEGAMENTO PALERMO - CATANIA PROGETTO DEFINITIVO VI07 - Viadotto ferroviario a Doppio binario					
	<i>Progetto definitivo</i> <i>Relazione di calcolo delle Opere Provisionali</i>	COMMESSA RS3U	LOTTO 40	CODIFICA D09CL	DOCUMENTO VI0703001	REV. B

15.3 RISULTATI E VERIFICHE SLU-STR PER IL SISTEMA DI CONTRASTO (combinazione A1+M1+R1)

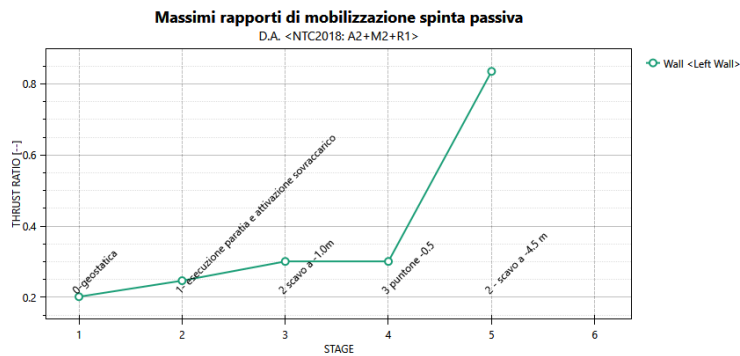
Di seguito si riporta il valore di reazione sul sistema di contrasto ottenuto dall'analisi nella combinazione SLU-STR. Tale reazione risulta essere pari a 61 kN/m.



Per la verifica del sistema di contrasto fare riferimento alle verifiche eseguite per le pile P22-P25 per le quali risulta maggiormente sollecitato.

15.4 Verifica SLU-GEO della paratia (combinazione A2+M2+R1)

Il massimo rapporto di mobilitazione della spinta passiva è circa il 84%



STAGE THRUST_RATIO [--]

1	0.202
2	0.247
3	0.301
4	0.301
5	0.836

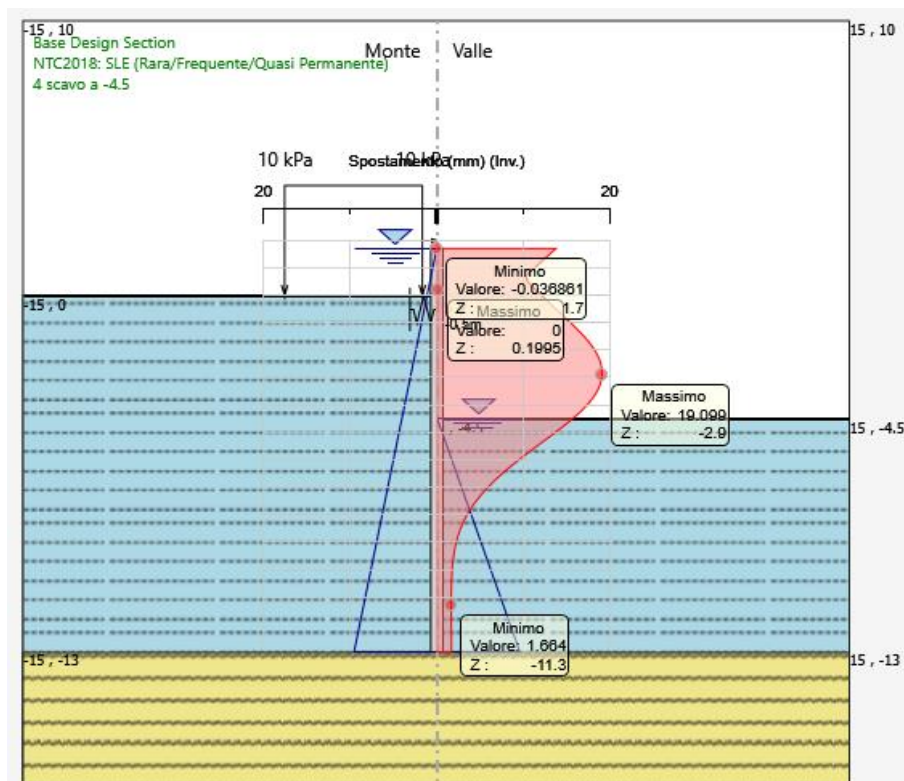
 ITALFERR GRUPPO FERROVIE DELLO STATO ITALIANE	DIRETTRICE FERROVIARIA MESSINA - CATANIA - PALERMO NUOVO COLLEGAMENTO PALERMO - CATANIA PROGETTO DEFINITIVO VI07 - Viadotto ferroviario a Doppio binario					
	<i>Progetto definitivo</i> <i>Relazione di calcolo delle Opere Provisionali</i>	COMMESSA RS3U	LOTTO 40	CODIFICA D09CL	DOCUMENTO VI0703001	REV. B

16. RISULTATI E VERIFICHE DELLA PARATIA (PILA P22÷P25)

Nel seguito si espongono, in sintesi, i principali risultati di interesse progettuale.

16.1 RISULTATI (COMBINAZIONE SLE)

Dall'involuppo degli spostamenti in combinazione SLE si osserva che lo spostamento massimo orizzontale della paratia risulta pari a circa 19 mm.



<i>Progetto definitivo</i>	COMMESSA	LOTTO	CODIFICA	DOCUMENTO	REV.	FOGLIO
<i>Relazione di calcolo delle Opere Provisionali</i>	RS3U	40	D09CL	VI0703001	B	143 di 171

16.2 RISULTATI E VERIFICHE SLU-STR PARATIA (combinazione A1+M1+R1)

Dall'involuppo del momento flettente in combinazione A1+M1+R1 si osserva che il massimo valore sulla paratia si ha ad una quota di 3.9 m da testa palo e risulta pari a 94 kNm/m.

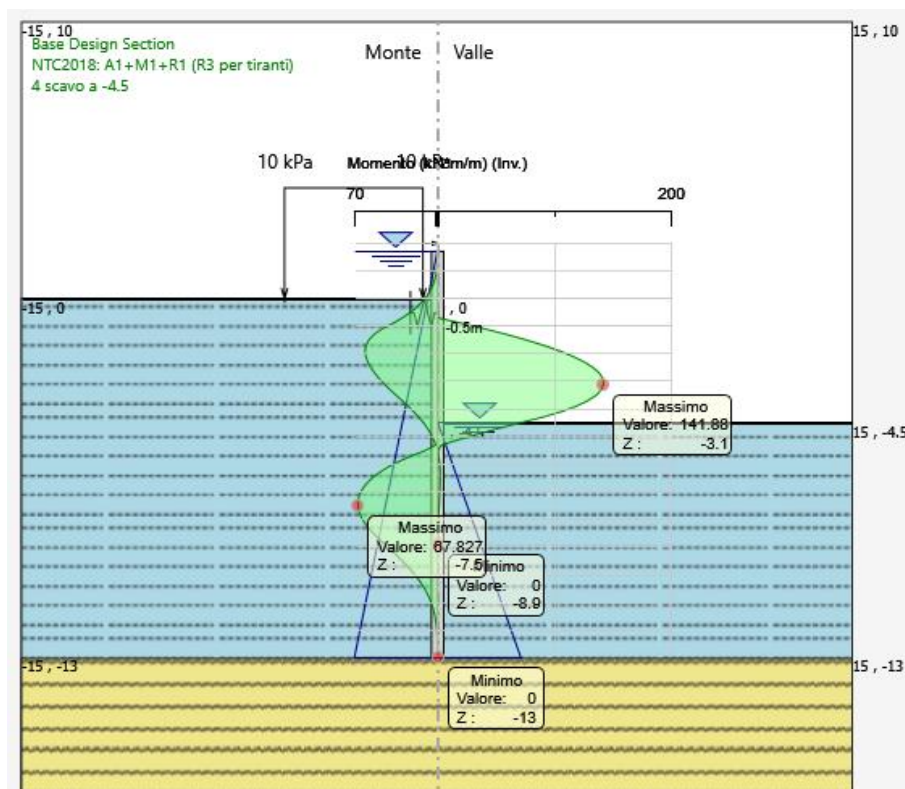


Figura 26: momento flettente allo SLU-STR

<i>Progetto definitivo</i>	COMMESSA	LOTTO	CODIFICA	DOCUMENTO	REV.	FOGLIO
<i>Relazione di calcolo delle Opere Provisionali</i>	RS3U	40	D09CL	VI0703001	B	144 di 171

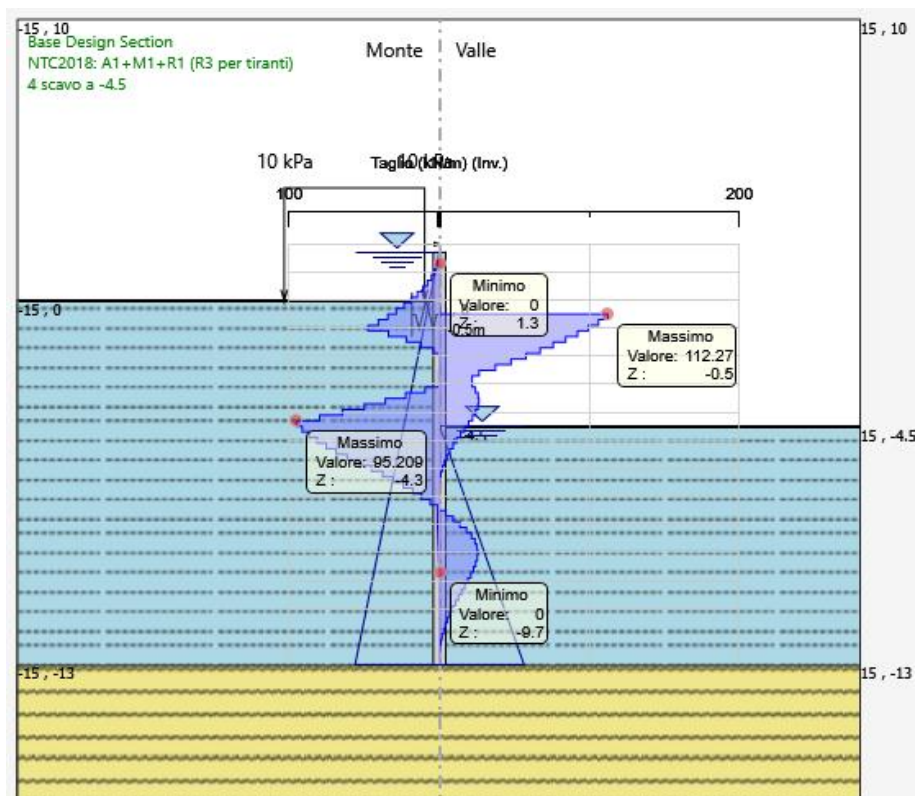


Figura 27: forza di taglio allo SLU-STR

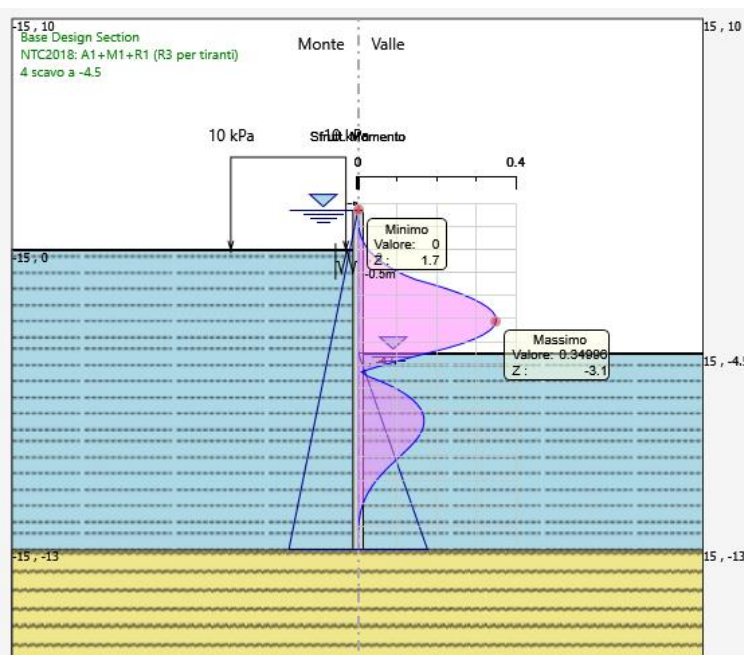
combinazione (-)	M (kN*m/m)	profondità (m)	V (kN/m)
SLU-STR	142.0	3.1	112.3
SLE	109.0	3.1	-

Tabella 7: riepilogo delle sollecitazioni sulla paratia

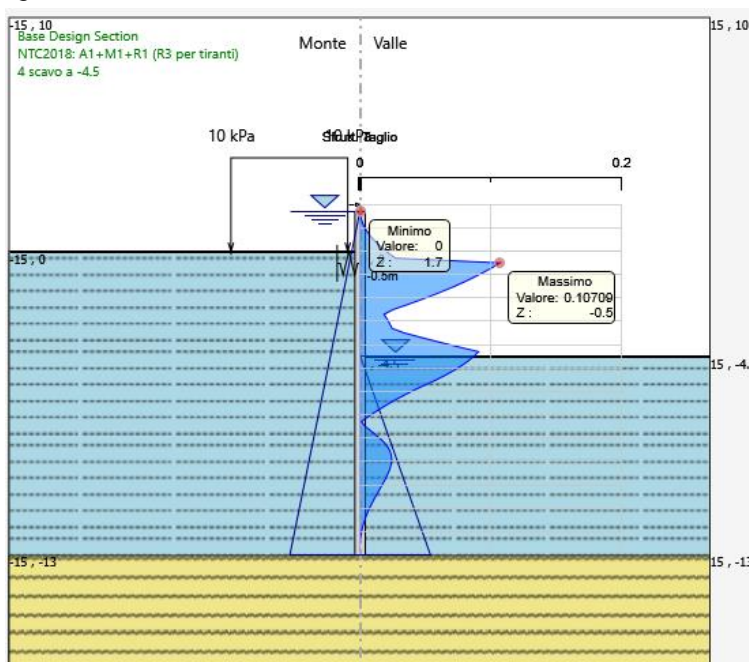
Nel seguito si riportano i risultati delle verifiche strutturali delle palancole a flessione e a taglio.

<i>Progetto definitivo</i>	COMMESSA	LOTTO	CODIFICA	DOCUMENTO	REV.	FOGLIO
<i>Relazione di calcolo delle Opere Provisionali</i>	RS3U	40	D09CL	VI0703001	B	145 di 171

Tasso di sfruttamento a momento flettente



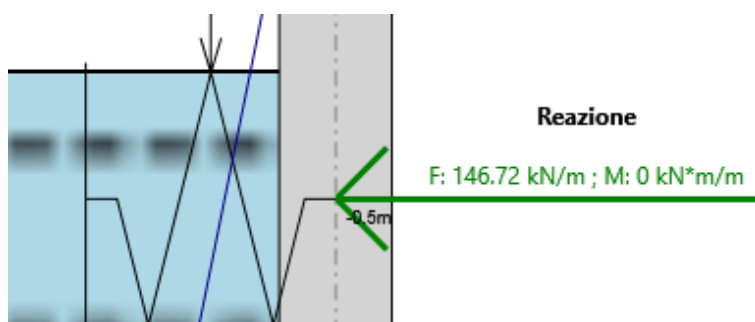
Tasso di sfruttamento al taglio



 ITALFERR GRUPPO FERROVIE DELLO STATO ITALIANE	DIRETTRICE FERROVIARIA MESSINA - CATANIA - PALERMO NUOVO COLLEGAMENTO PALERMO - CATANIA PROGETTO DEFINITIVO VI07 - Viadotto ferroviario a Doppio binario					
	<i>Progetto definitivo</i> <i>Relazione di calcolo delle Opere</i> <i>Provisionali</i>	COMMESSA RS3U	LOTTO 40	CODIFICA D09CL	DOCUMENTO VI0703001	REV. B

16.3 RISULTATI E VERIFICHE SLU-STR PER IL SISTEMA DI CONTRASTO (combinazione A1+M1+R1)

Di seguito si riporta il valore di reazione sul sistema di contrasto ottenuto dall'analisi nella combinazione SLU-STR. Tale reazione, che risulta essere pari a 147 kN/m, è stata utilizzata come moltiplicatore del carico unitario nel modello in SAP2000. In tal modo è stato valutato lo sforzo normale agente sul singolo puntone e le sollecitazioni di pressoflessione sulle travi di ripartizione.



 ITALFERR GRUPPO FERROVIE DELLO STATO ITALIANE	DIRETTRICE FERROVIARIA MESSINA - CATANIA - PALERMO NUOVO COLLEGAMENTO PALERMO - CATANIA PROGETTO DEFINITIVO VI07 - Viadotto ferroviario a Doppio binario					
	<i>Progetto definitivo</i> <i>Relazione di calcolo delle Opere</i> <i>Provisionali</i>	COMMESSA RS3U	LOTTO 40	CODIFICA D09CL	DOCUMENTO VI0703001	REV. B

Riepilogo delle sollecitazioni:

- Max momento sulla singola trave di ripartizione= $0.5 \cdot 825 = 412.5 \text{ kN} \cdot \text{m}$
- Taglio max momento della singola trave di ripartizione= $0.5 \cdot 698 = 349 \text{ kN}$
- Forza assiale della singola trave di ripartizione= $0.5 \cdot 1335 = 667.5 \text{ kN}$
- Sforzo assiale nei puntoni= 1526 kN

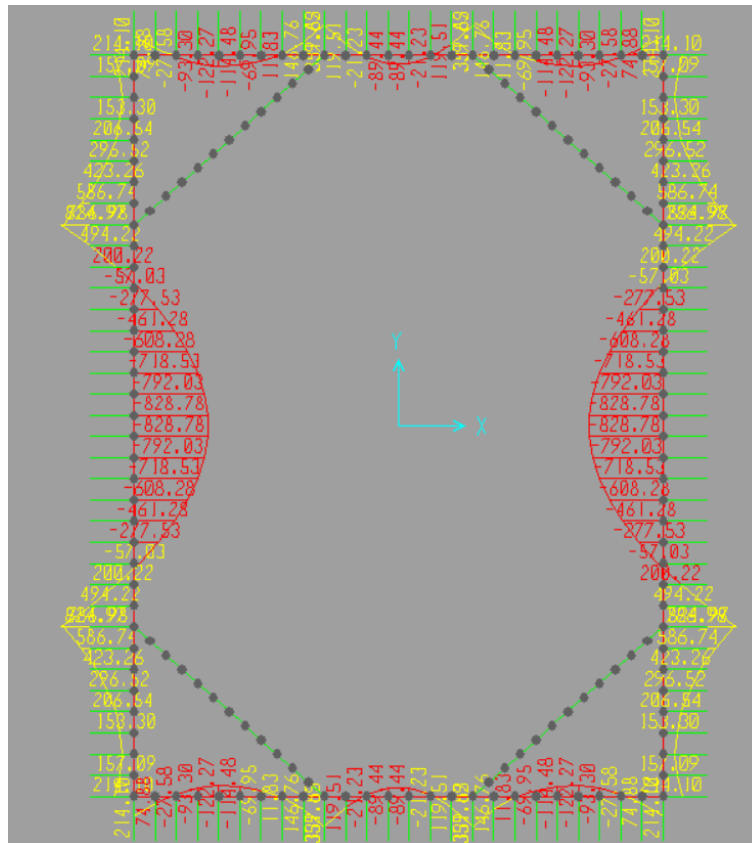


Figura 28: momento flettente allo SLU-STR

<i>Progetto definitivo</i>	COMMESSA	LOTTO	CODIFICA	DOCUMENTO	REV.	FOGLIO
<i>Relazione di calcolo delle Opere Provisionali</i>	RS3U	40	D09CL	VI0703001	B	148 di 171

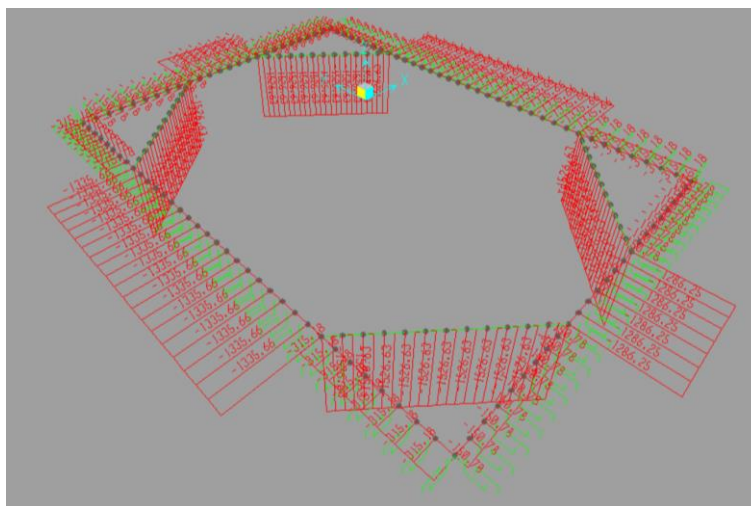


Figura 29: forza assiale allo SLU-STR

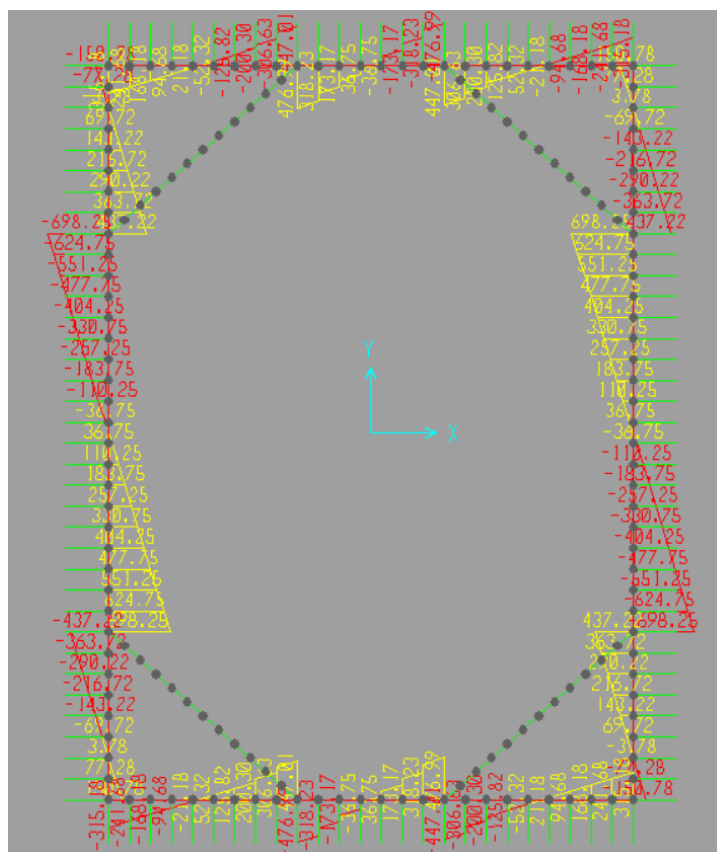


Figura 30: forza di taglio allo SLU-STR

 ITALFERR GRUPPO FERROVIE DELLO STATO ITALIANE	DIRETTRICE FERROVIARIA MESSINA - CATANIA - PALERMO NUOVO COLLEGAMENTO PALERMO - CATANIA PROGETTO DEFINITIVO VI07 - Viadotto ferroviario a Doppio binario					
	<i>Progetto definitivo</i> <i>Relazione di calcolo delle Opere Provisionali</i>	COMMESSA RS3U	LOTTO 40	CODIFICA D09CL	DOCUMENTO VI0703001	REV. B

Dati verifica strutturale e riepilogo risultati per il telaio di contrasto

- Acciaio tipo: S275
- Minimo fattore di sicurezza allo SLU travi di ripartizione (pressoflessione e taglio)= $1/0.897= 1.11$
- Minimo fattore di sicurezza allo SLU puntoni (pressoflessione e taglio)= $1/0.71= 1.41$

Verifica travi di ripartizione

	S 275	
Valore di snervamento dell'acciaio del profilo	f_{yk}	275 [N/mm ²]
Valore di rottura dell'acciaio del profilo	f_{uk}	430 [N/mm ²]
Modulo di elasticità dell'acciaio del profilo	E	210000 [N/mm ²]
Modulo di elasticità tangenziale dell'acciaio del profilo	G	80769 [N/mm ²]
Coefficiente parziale di sicurezza per le verifiche di resistenza	γ_{M0}	1.05 [-]
Coefficiente parziale di sicurezza per le verifiche di stabilità	γ_{M1}	1.05 [-]
Coefficiente parziale di sicurezza per le verifiche di rottura	γ_{M2}	1.25 [-]

Caratteristiche meccaniche del profilo		HE 300 B
Altezza della sezione trasversale	h	300 [mm]
Larghezza della sezione trasversale	b_f	300 [mm]
Spessore dell'anima	t_w	11 [mm]
Spessore dell'ala	t_f	19 [mm]
Raggio di raccordo	r	27 [mm]
Area della sezione trasversale	A	14910 [mm ²]
Altezza della sezione trasversale al netto delle ali	h_w	262 [mm]
Altezza del pannello d'anima	c_w	208 [mm]
Diametro massimo consentito dei bulloni d'ala	$d_{bf,max}$	27 [mm]
Passo minimo trasversale tra i bulloni d'ala	$p_{b,min}$	120 [mm]
Passo massimo trasversale tra i bulloni d'ala	$p_{b,max}$	198 [mm]
Momento d'inerzia della sezione trasversale attorno all'asse forte	I_y	2.517E+08 [mm ⁴]
Modulo di resistenza elastico attorno all'asse forte	$W_{el,y}$	1.678E+06 [mm ³]
Modulo di resistenza plastico attorno all'asse forte	$W_{pl,y}$	1.869E+06 [mm ³]
Area resistente a taglio nel piano dell'anima	$A_{v,z}$	4743 [mm ²]
Raggio d'inerzia attorno all'asse forte	i_y	129.9 [mm]
Momento d'inerzia della sezione trasversale attorno all'asse debole	I_z	8.563E+07 [mm ⁴]
Modulo di resistenza elastico attorno all'asse debole	$W_{el,z}$	5.709E+05 [mm ³]
Modulo di resistenza plastico attorno all'asse debole	$W_{pl,z}$	8.701E+05 [mm ³]
Area resistente a taglio nel piano delle ali	$A_{v,y}$	12028 [mm ²]
Raggio d'inerzia attorno all'asse debole	i_z	75.8 [mm]
Momento d'inerzia torsionale	I_t	1.850E+06 [mm ⁴]
Costante di Warping	I_w	1.688E+12 [mm ⁶]

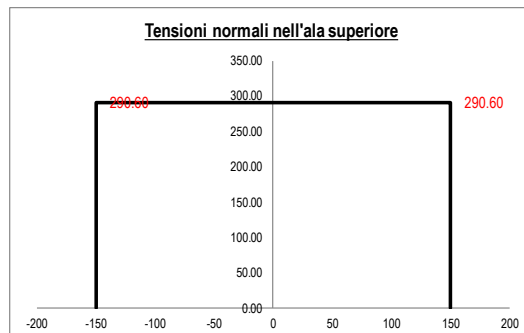
Caratteristiche di sollecitazione nella sezione di verifica		
Forza normale (positiva se di compressione)	N_{Ed}	667.50 [kN]
Forza di taglio agente in direzione parallela all'anima	$V_{z,Ed}$	349.00 [kN]
Forza di taglio agente in direzione parallela alle ali	$V_{y,Ed}$	0.00 [kN]
Momento flettente attorno all'asse maggiore di inerzia	$M_{y,Ed}$	412.50 [kNm]
Momento flettente attorno all'asse minore di inerzia	$M_{z,Ed}$	0.00 [kNm]
Momento torcente primario (alla Saint Venant)	T_{Ed}	0.00 [kNm]

<i>Progetto definitivo</i>	COMMESSA	LOTTO	CODIFICA	DOCUMENTO	REV.	FOGLIO
<i>Relazione di calcolo delle Opere Provisionali</i>	RS3U	40	D09CL	VI0703001	B	150 di 171

Classificazione della sezione trasversale di verifica

Determinazione dello stato tensionale dovuto a N - M_y - M_x

Distribuzione delle tensioni normali nei punti salienti della sezione trasversale

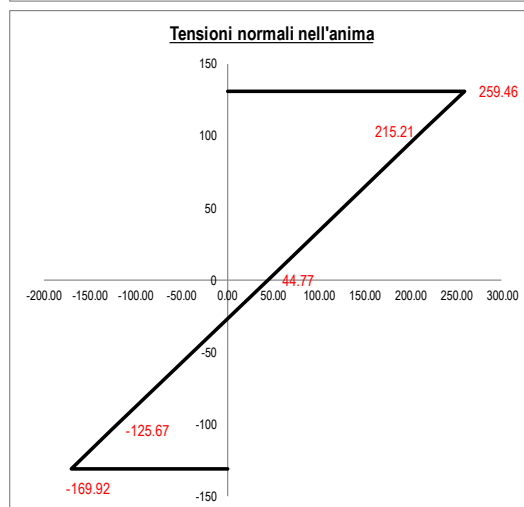


Tensioni elastiche per CL < 4

σ _A	290.60	[N/mm ²]
σ _B	290.60	[N/mm ²]
σ _C	290.60	[N/mm ²]
σ _D	259.46	[N/mm ²]
σ _E	259.46	[N/mm ²]

Tensioni efficaci per CL = 4

σ _{A,eff}	290.60	[N/mm ²]
σ _{B,eff}	290.60	[N/mm ²]
σ _{C,eff}	290.60	[N/mm ²]
σ _{D,eff}	259.46	[N/mm ²]
σ _{E,eff}	259.46	[N/mm ²]

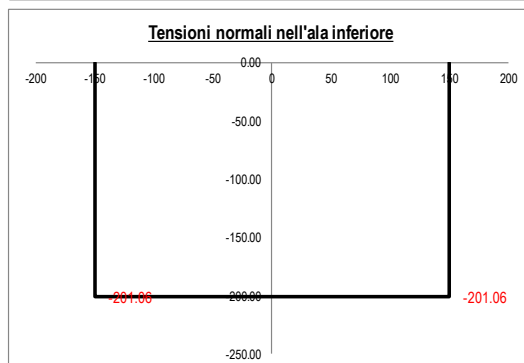


Tensioni elastiche per CL < 4

σ _F	259.46	[N/mm ²]
σ _{F'}	215.21	[N/mm ²]
σ _G	44.77	[N/mm ²]
σ _H	-125.67	[N/mm ²]
σ _{H'}	-169.92	[N/mm ²]

Tensioni efficaci per CL = 4

σ _{F,eff}	259.46	[N/mm ²]
σ _{F',eff}	215.21	[N/mm ²]
σ _{G,eff}	44.77	[N/mm ²]
σ _{H,eff}	-125.67	[N/mm ²]
σ _{H',eff}	-169.92	[N/mm ²]



Tensioni elastiche per CL < 4

σ _I	-169.92	[N/mm ²]
σ _L	-169.92	[N/mm ²]
σ _M	-201.06	[N/mm ²]
σ _N	-201.06	[N/mm ²]
σ _O	-201.06	[N/mm ²]

Tensioni efficaci per CL = 4

σ _{I,eff}	-169.92	[N/mm ²]
σ _{L,eff}	-169.92	[N/mm ²]
σ _{M,eff}	-201.06	[N/mm ²]
σ _{N,eff}	-201.06	[N/mm ²]
σ _{O,eff}	-201.06	[N/mm ²]

<i>Progetto definitivo</i>	COMMESSA	LOTTO	CODIFICA	DOCUMENTO	REV.	FOGLIO
<i>Relazione di calcolo delle Opere Provisionali</i>	RS3U	40	D09CL	VI0703001	B	151 di 171

Resistenza a flessione, forza assiale e taglio

[Calcolo plastico per sezioni in classe 1 o 2](#)

Parametri limite che valutano l'intensità della forza assiale

$N_{lim,1}$ 976.25 [kN]

$N_{lim,2}$ 377.40 [kN]

$N_{lim,3}$ 754.81 [kN]

n 0.171 [-]

a 0.235 [-]

Resistenza a flessione attorno all'asse maggiore ridotta per effetto di N_{Ed}

$M_{Ny,Rd}$ 459.97 [kNm]

Verifica flessionale attorno all'asse maggiore

$\rho_{N-My-pl}$  **0.897** [-]

Resistenza a flessione attorno all'asse minore ridotta per effetto di N_{Ed}

$M_{Nz,Rd}$ 227.88 [kNm]

Verifica flessionale attorno all'asse minore

$\rho_{N-Mz-pl}$  **0.000** [-]

Verifica di presso/tenso flessione biassiale (*metodo normale*)

$\rho_{N-My-Mz-pl}$  **0.804** [-]

Verifica di presso/tenso flessione biassiale (*metodo cautelativo*)

$\rho_{N-My-Mz-pl}$  **0.897** [-]

<i>Progetto definitivo</i>	COMMESSA	LOTTO	CODIFICA	DOCUMENTO	REV.	FOGLIO
<i>Relazione di calcolo delle Opere Provisionali</i>	RS3U	40	D09CL	VI0703001	B	152 di 171

Verifica puntoni

Tipo di acciaio utilizzato

Coefficiente parziale di sicurezza per le verifiche di resistenza	γ_{M0}	1.05 [-]
Coefficiente parziale di sicurezza per le verifiche di stabilità	γ_{M1}	1.05 [-]
Coefficiente parziale di sicurezza per le verifiche di rottura	γ_{M2}	1.25 [-]

Caratteristiche del profilo

Sezione trasversale del tubolare

Diametro esterno del profilo tubolare (UTENTE)	d_{ext}	254.00 [mm]
Spessore del profilo tubolare (UTENTE)	t	12.50 [mm]
Diametro esterno del profilo tubolare utilizzato nelle verifiche		254 [mm]
Spessore del profilo tubolare utilizzato nelle verifiche		12.5 [mm]

Geometria della membratura

Lunghezza geometrica della membratura	L	5.00 [m]
Coefficiente di lunghezza di libera inflessione attorno all'asse y - y	β_y	1.00 [-]
Coefficiente di lunghezza di libera inflessione attorno all'asse z - z	β_z	1.00 [-]
Lunghezza di libera inflessione attorno all'asse y - y	$L_{cr,y}$	5000.00 [mm]
Lunghezza di libera inflessione attorno all'asse z - z	$L_{cr,z}$	5000.00 [mm]

Coefficienti di momento equivalente

Nota: l'utente deve inserire i valori C_{my} , C_{mz} con riferimento al prospetto B.3 - EN 1993 - 1 - 1: 2010, tenendo presente che utilizzando $C_{my} = C_{mz} = 1.00$ la verifica sarà sempre "cautelativa".

Coefficienti di momento equivalente

Coefficiente di momento equivalente per flessione attorno all'asse y - y C_{my}	1.000 [-]
Coefficiente di momento equivalente per flessione attorno all'asse z - z C_{mz}	1.000 [-]

Caratteristiche di sollecitazione

Nota: la forza assiale è POSITIVA se di compressione

Calcola

Svuota

Comb.	N_{Ed}	$V_{z,Ed}$	$V_{y,Ed}$	$M_{y,Ed}$	$M_{z,Ed}$	T_{Ed}	Verifica
[n°]	[kN]	[kN]	[kN]	[kNm]	[kNm]	[kNm]	[-]
1	1526.00						✓ 0.71

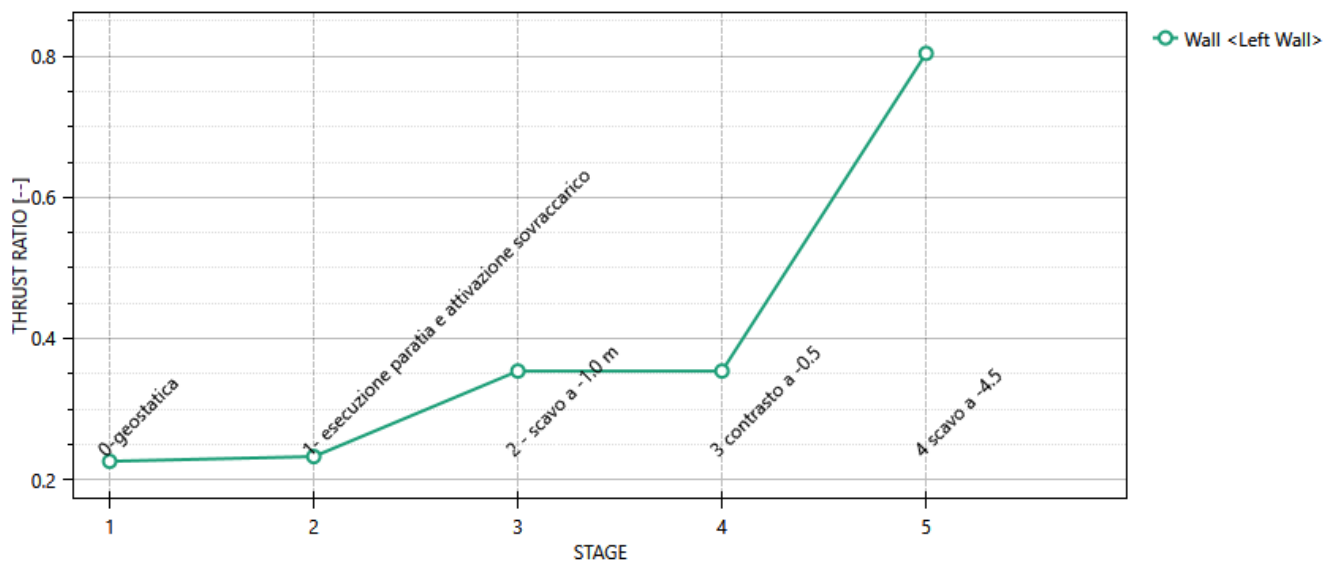
<i>Progetto definitivo</i>	COMMESSA	LOTTO	CODIFICA	DOCUMENTO	REV.	FOGLIO
<i>Relazione di calcolo delle Opere Provisionali</i>	RS3U	40	D09CL	VI0703001	B	153 di 171

16.4 Verifica SLU-GEO della paratia (combinazione A2+M2+R1)

Il massimo rapporto di mobilitazione della spinta passiva è circa il 80%

Massimi rapporti di mobilitazione spinta passiva

D.A. <NTC2018: A2+M2+R1>



STAGE THRUST_RATIO [--]

1	0.226
2	0.233
3	0.354
4	0.354
5	0.804

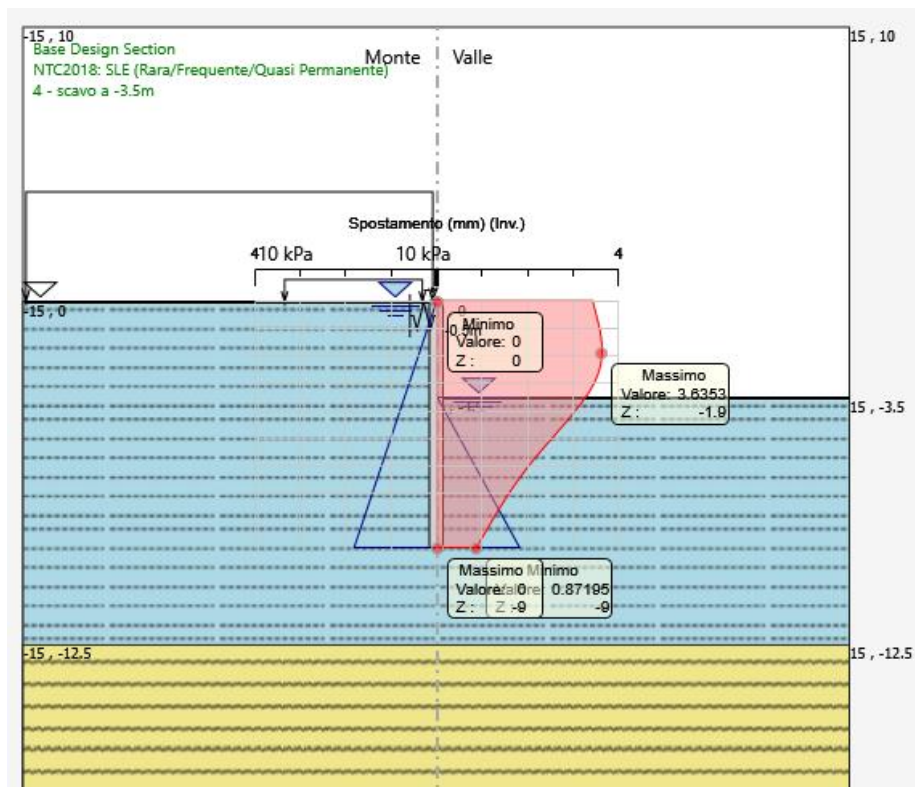
 ITALFERR GRUPPO FERROVIE DELLO STATO ITALIANE	DIRETTRICE FERROVIARIA MESSINA - CATANIA - PALERMO NUOVO COLLEGAMENTO PALERMO - CATANIA PROGETTO DEFINITIVO VI07 - Viadotto ferroviario a Doppio binario					
	<i>Progetto definitivo</i> <i>Relazione di calcolo delle Opere</i> <i>Provisionali</i>	COMMESSA RS3U	LOTTO 40	CODIFICA D09CL	DOCUMENTO VI0703001	REV. B

17. RISULTATI E VERIFICHE DELLA PARATIA (SPALLA SPB)

Nel seguito si espongono, in sintesi, i principali risultati di interesse progettuale.

17.1 RISULTATI (COMBINAZIONE SLE)

Dall'involuppo degli spostamenti in combinazione SLE si osserva che lo spostamento massimo orizzontale della paratia risulta pari a circa 3.6 mm.



 ITALFERR GRUPPO FERROVIE DELLO STATO ITALIANE	DIRETTRICE FERROVIARIA MESSINA - CATANIA - PALERMO NUOVO COLLEGAMENTO PALERMO - CATANIA PROGETTO DEFINITIVO VI07 - Viadotto ferroviario a Doppio binario					
	<i>Progetto definitivo</i> <i>Relazione di calcolo delle Opere</i> <i>Provisionali</i>	COMMESSA RS3U	LOTTO 40	CODIFICA D09CL	DOCUMENTO VI0703001	REV. B

17.2 RISULTATI E VERIFICHE SLU-STR PARATIA (combinazione A1+M1+R1)

Dall'involuppo del momento flettente in combinazione A1+M1+R1 si osserva che il massimo valore sulla paratia si ha ad una quota di 11.6 m da testa palo e risulta pari a 187 kNm/m.

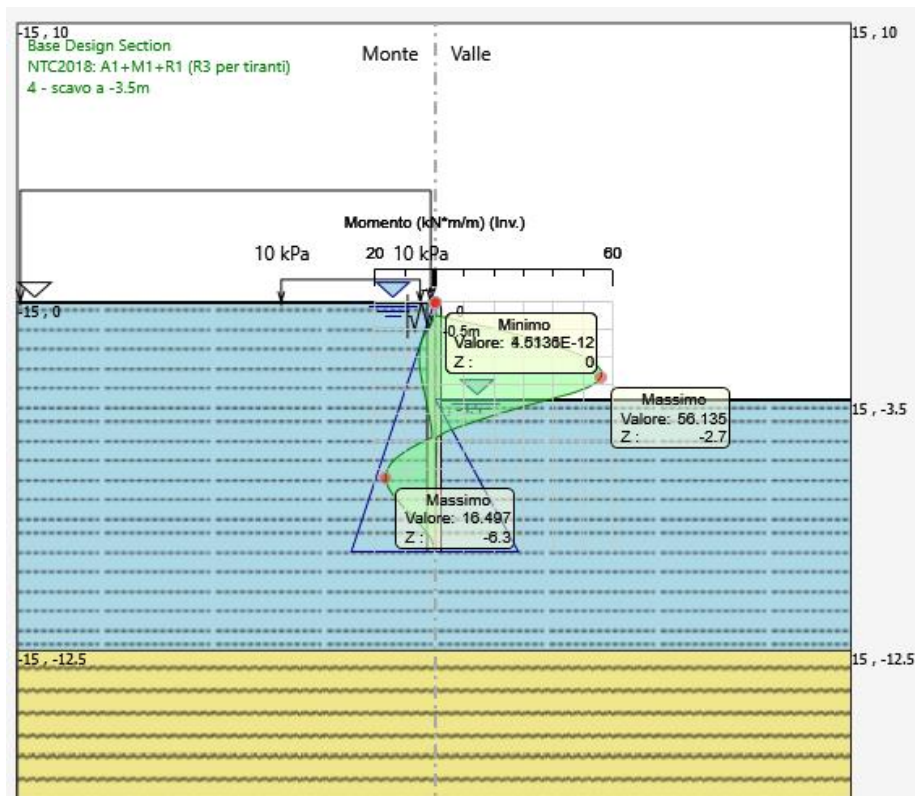


Figura 31: momento flettente allo SLU-STR

<i>Progetto definitivo</i>	COMMESSA	LOTTO	CODIFICA	DOCUMENTO	REV.	FOGLIO
<i>Relazione di calcolo delle Opere Provisionali</i>	RS3U	40	D09CL	VI0703001	B	156 di 171

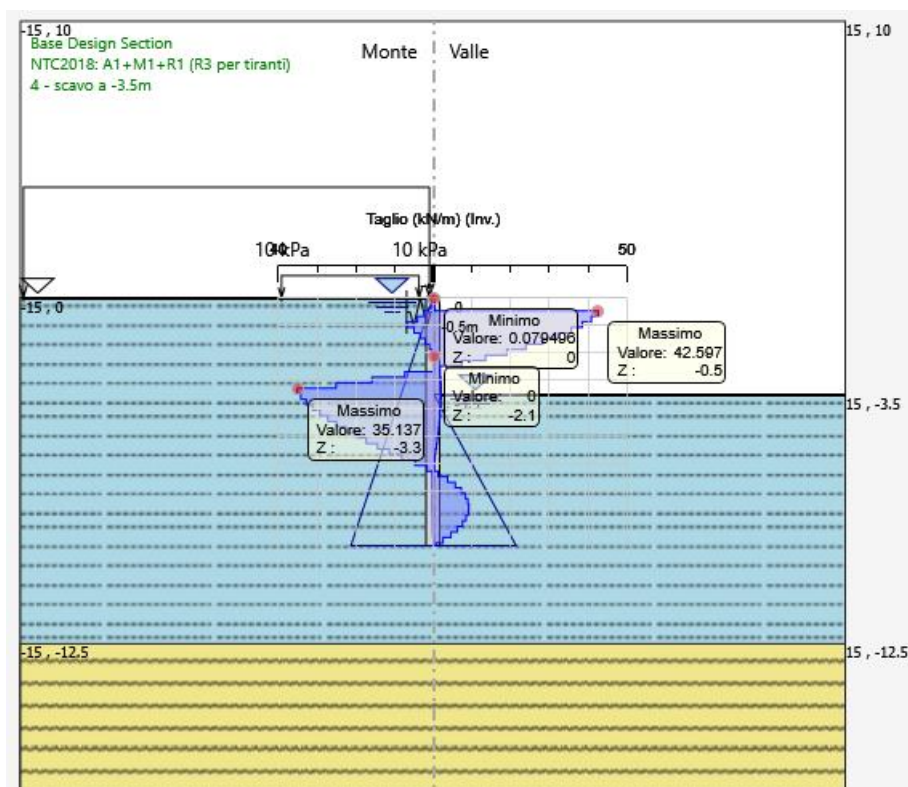


Figura 32: forza di taglio allo SLU-STR

combinazione (-)	M (kN*m/m)	profondità (m)	V (kN/m)
SLU-STR	56.1	2.7	42.6
SLE	42.5	2.7	-

combinazione (-)	D _{palo} (m)	i _{palo} (m)	M (kN*m)	N (kN)	V (kN)
SLU-STR	0.5	0.6	33.7	13.2	25.6
SLE	0.5	0.6	25.5	13.2	-

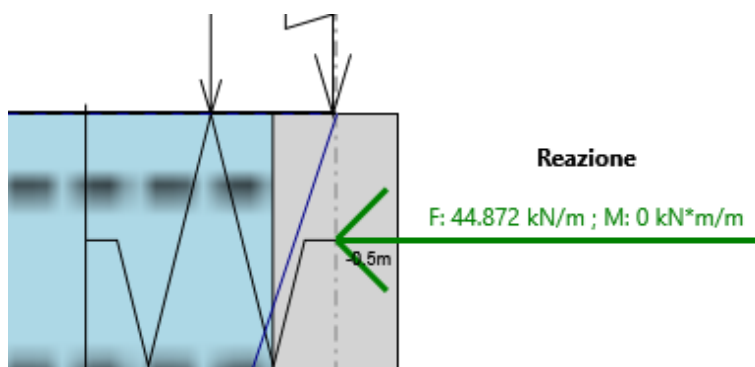
Tabella 8: riepilogo delle sollecitazioni sulla paratia

Per le verifiche strutturali dei pali a flessione e a taglio fare riferimento a quelle condotte per la pila P8 per la quale, a parità di armatura, risultano maggiormente caricati.

 ITALFERR GRUPPO FERROVIE DELLO STATO ITALIANE	DIRETTRICE FERROVIARIA MESSINA - CATANIA - PALERMO NUOVO COLLEGAMENTO PALERMO - CATANIA PROGETTO DEFINITIVO VI07 - Viadotto ferroviario a Doppio binario					
	<i>Progetto definitivo</i> <i>Relazione di calcolo delle Opere</i> <i>Provisionali</i>	COMMESSA RS3U	LOTTO 40	CODIFICA D09CL	DOCUMENTO VI0703001	REV. B

17.3 RISULTATI E VERIFICHE SLU-STR PER IL SISTEMA DI CONTRASTO (combinazione A1+M1+R1)

Di seguito si riporta il valore di reazione sul sistema di contrasto ottenuto dall'analisi nella combinazione SLU-STR. Tale reazione, che risulta essere pari a 44.8 kN/m.



Tale reazione è stata utilizzata per dimensionare il cordolo di testa della paratia.

$$P = \text{reazione} = 44.8 \text{ kN/m}$$

$$l = 15 \text{ m}$$

$$M = pl^2/12 = 840 \text{ kN*m}$$

$$N = 0 \text{ kN}$$

$$V = pl/2 = 336 \text{ kN}$$

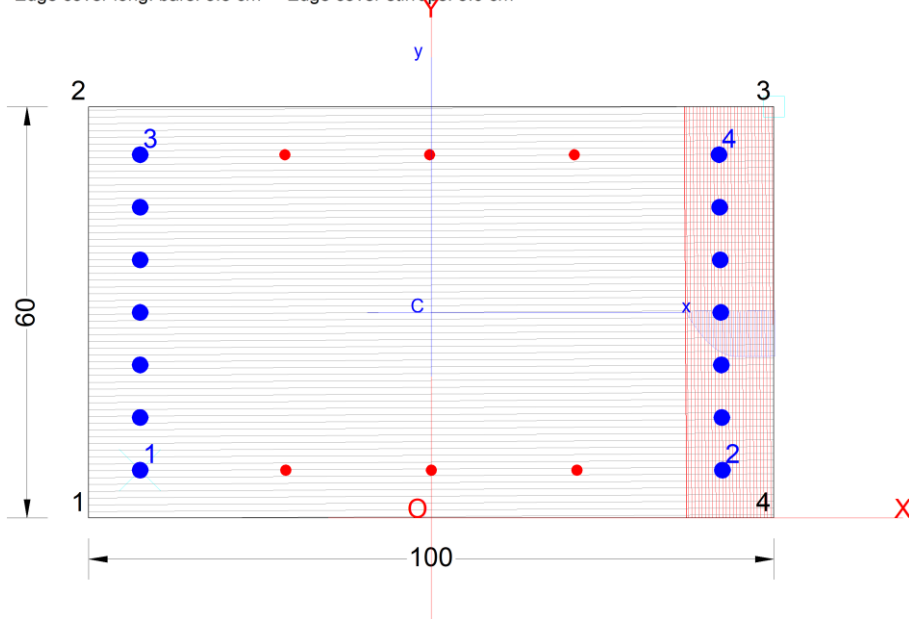
Nel seguito si riportano i risultati delle verifiche strutturali del cordolo a flessione e a taglio condotte mediante l'ausilio del software RC-SEC.

 ITALFERR GRUPPO FERROVIE DELLO STATO ITALIANE	DIRETTRICE FERROVIARIA MESSINA - CATANIA - PALERMO NUOVO COLLEGAMENTO PALERMO - CATANIA PROGETTO DEFINITIVO VI07 - Viadotto ferroviario a Doppio binario					
	<i>Progetto definitivo</i> <i>Relazione di calcolo delle Opere Provisionali</i>	COMMESSA RS3U	LOTTO 40	CODIFICA D09CL	DOCUMENTO VI0703001	REV. B

Dati verifica strutturale e riepilogo risultati

- Calcestruzzo classe C20/25
- Acciaio di armatura in tondi classe B450C
- Armature di pressoflessione: 7Ø24+7Ø24 (3+3 Ø16 in parete)
- Armature di taglio: spirale Ø8/20
- Fattore di sicurezza allo SLU (pressoflessione)= 1.51
- Fattore di sicurezza allo SLU (taglio)= 1.76
- Massima tensione di compressione nel conglomerato= 6.71 MPa
- Massima tensione di trazione nelle barre di armatura= 225.4 MPa

Section name: VI07-L4_SPB cordolo.secEC Comb. n. 1 (U.L.S.)
 Edge cover long. bars: 5.8 cm Edge cover stirrups: 5.0 cm



GENERAL DATA OF GENERIC RC CROSS-SECTION

Section Name: VI07-L4_SPB cordolo.secEC

(File path: C:\Alessandro\LAVORI ALESSANDRO\IEDIN\ITF-Pa-CT\IGEOTEAM\Davide\lotto 4\paratie VI07\verifiche strutturali\VI07-L4_SPB cordolo.secEC)

Section description:

Section type:	Column (compression member)
Reference code:	EC2/EC8
Exposure Class:	XC2 - Carbonation (long-term water contact/foundations)
Stress path:	Constant axial force force to achieve bending ULS
Reference of assigned forces:	Principal axes y,y of inertia
Section's position in the member:	In critical region

 ITALFERR GRUPPO FERROVIE DELLO STATO ITALIANE	DIRETTRICE FERROVIARIA MESSINA - CATANIA - PALERMO NUOVO COLLEGAMENTO PALERMO - CATANIA PROGETTO DEFINITIVO VI07 - Viadotto ferroviario a Doppio binario					
	<i>Progetto definitivo</i> <i>Relazione di calcolo delle Opere</i> <i>Provisionali</i>	COMMESSA RS3U	LOTTO 40	CODIFICA D09CL	DOCUMENTO VI0703001	REV. B

MATERIALS DATA

CONCRETE -	Class:	C20/25	
	Design compressive strength fcd:	13.3	MPa
	Shear reduced compressive strenght v1*fcd:	7.4	MPa (6.9)EC2
	Coeff Crd,c:	0.1200	(§ 6.2.2(1) EC2
	Coeff K1:	0.1500	(§ 6.2.2(1) EC2
	Coeff v min:	0.0091	Mpa(§ 6.2.2(1) EC2
	Strain at max strength ec2:	0.0020	
	Ultimate strain ecu:	0.0035	
	Compression diagram stress-strain:	Parabola-Rettangle	
	Mean Elastic Modulus Ecm:	29962.0	MPa
	Mean tensile strength fctm:	2.2	MPa
	Es/Ec in SLS combination:	15.00	
	Stress limit in SLS Characteristic comb.:	12.0	kN/cm ²
STEEL -	Longitudinal Bars and Stirrups:	B450C	
	Characteristic yield stress fyk:	450.00	MPa
	Tensile strength ftk:	450.0	MPa
	Design yield stress fyd:	391.3	MPa
	Design strength ftd:	391.3	MPa
	Design ultimate strain esu:	0.068	
	Mean elastic modulus Es:	200000.0	MPa
	SLS Charact. - Ss Limit:	360.00	MPa

GEOMETRICAL DATA OF CONCRETE CROSS-SECTION

Shape of Region:	Polygonal	
Concrete Class:	C20/25	
Vertex N.:	X [cm]	Y [cm]
1	-50.0	0.0
2	-50.0	60.0
3	50.0	60.0
4	50.0	0.0

DATA ISOLATED LONGITUDINAL BARS

Bar N.	X [cm]	Y [cm]	DiamØ[mm]
1	-42.5	7.0	24
2	42.5	7.0	24
3	-42.5	53.0	24
4	42.0	53.0	24

DATA OF LINEAR GENERATIONS OF LONGITUDINAL BARS

N. Gen.	Number of generated bars of the current linear generation
N.Initial Bar	Order number of initial bar (between the isolated bars just defined)
N.Final Bar	Order number of final bar (between the isolated bars just defined)
N. Bars	Number of bars generated equidistant in the current generation
Ø	Diameter [mm] of generated bars

 ITALFERR GRUPPO FERROVIE DELLO STATO ITALIANE	DIRETTRICE FERROVIARIA MESSINA - CATANIA - PALERMO NUOVO COLLEGAMENTO PALERMO - CATANIA PROGETTO DEFINITIVO VI07 - Viadotto ferroviario a Doppio binario					
	<i>Progetto definitivo</i> <i>Relazione di calcolo delle Opere</i> <i>Provisionali</i>	COMMESSA RS3U	LOTTO 40	CODIFICA D09CL	DOCUMENTO VI0703001	REV. B

Gen.N.	Initial Bar	Final Bar	N. Bars	Ø
1	1	2	3	16
2	3	4	3	16
3	1	3	5	24
4	2	4	5	24

SHEAR REINFORCEMENT

Stirrups diameter:	8 mm
Spacing of stirrups:	15.0 cm
Stirrups:	One hoop

ULTIMATE LIMIT STATE - ASSIGNED DESIGN FORCES FOR EACH COMBINATION

N d	Design axial force [kN] applied at centroid of concrete section (+ if compressive)
Mx d	Design bending force [kNm] around x principal axis of inertia
My d	Design bending force [kNm] around y principal axis of inertia
Vy d	Design shear component [kN] parallel to y principal axis of inertia
Vx d	Design shear component [kN] parallel to x principal axis of inertia

Comb.	N d	Mx d	My d	Vy d	Vx d
1	0.00	0.00	840.00	0.00	336.00

SERVICEABILITY LIMIT STATES - CHARACTERISTIC COMB. - ASSIGNED INTERNAL FORCES FOR EACH COMBINATION

N	Axial force [kN] applied at the centroid of concrete section (+ if compressive)
Mx	Bending force [kNm] around x principal axis of inertia. First cracking value is shown between brackets.
My	Bending force [kNm] around y principal axis of inertia. First cracking value is shown between brackets.

Comb.	N	Mx	My
1	0.00	0.00	646.00

CHECKS RESULTS

Checks OK for all assigned combinations

Min edge cover of longitudinal bars:	5.8 cm
Min distance between longitudinal bars:	5.3 cm
Min edge cover of stirrups:	5.0 cm

ULTIMATE LIMIT STATES - N-MX-MY CAPACITY CHECKS

Check	Result of check
N	Design axial force [kN] applied at the centroid of concrete section (+ if compressive)
Mx	Design bending moment [kNm] around x axis principal of inerzia
My	Design bending moment [kNm] around y axis principal of inerzia
N ult	Axial force capacity [kN] (+ if compressive)
Mx ult	Bending moment capacity [kNm] around x axis principal of inertia

 ITALFERR GRUPPO FERROVIE DELLO STATO ITALIANE	DIRETTRICE FERROVIARIA MESSINA - CATANIA - PALERMO NUOVO COLLEGAMENTO PALERMO - CATANIA PROGETTO DEFINITIVO VI07 - Viadotto ferroviario a Doppio binario					
	<i>Progetto definitivo</i> <i>Relazione di calcolo delle Opere</i> <i>Provisionali</i>	COMMESSA RS3U	LOTTO 40	CODIFICA D09CL	DOCUMENTO VI0703001	REV. B

My ult Bending moment capacity [kNm] around y axis principal of inertia
 S.F. Safety Factor = vectorial ratio of (N ult, Mx ult, My ult) to (N, Mx, My). Check OK if ratio >=1.00

Comb.	Check	N	Mx	My	N ult	Mx ult	My ult	S.F.
1	OK	0.00	0.00	840.00	0.00	0.08	1270.45	1.512

ULTIMATE LIMIT STATE - BENDING AND AXIAL FORCE - STRAIN VALUES

ec max Ultimate compressive strain in concrete
 ec* Strain in the concrete fiber at ec2/ecu of depth (if ec*>0 then the section is all compressed)
 Xc max X-coordinate [cm] in the concrete point in wich is ec max
 Yc max Y-coordinate [cm] in the concrete point in wich is ec max
 es max Max strain in steel bars (+ if compressive)
 Xs max X-coordinate [cm] of bar in wich is es max
 Ys max Y-coordinate [cm] of bar in wich is es max
 es min Min strain in steel bars (+ if compressive)
 Xs min X-coordinate [cm] of bar in wich is es min
 Ys min Y-coordinate [cm] of bar in wich is es min

Comb.	ec max	ec*	Xc max	Yc max	es max	Xs max	Ys max	es min	Xs min	Ys min
1	0.00350	-0.00801	50.0	60.0	0.00141	42.5	7.0	-0.02135	-42.5	7.0

ULTIMATE LIMIT STATE - POSITION OF NEUTRAL AXIS FOR EACH COMBINATION

a, b, c Coeff. a, b, c in neutral axis equation: aX+bY+c=0 reference X,Y,O
 x/d Ratio of the depth of neutral axis to the effective depth of the section
 D Ratio of redistributed moment to the elastic moment in continuous beams [eq.(5.10)EC2]

Comb.	a	b	c	x/d	D
1	0.000267771	0.000001479	-0.009977292	----	----

ULTIMATE LIMIT STATES - SHEAR CHECKS

Stirrup diameter: 8 mm > Min diameter for code = 6.0 mm
 Stirrups spacing(pitch): 15.0 cm < Max spacing for code = 19.2 cm
 Area stirrup/m: 6.7 cm²/m > Stirrup area strictly necessary for shear = 3.8cm²/m

Check Result of check
 Ved Design Shear [kN] = sum of Vx and Vy projected onto the normal to the neutral axis
 Vrd,max Shear resistance [kN] by concrete diagonal struts [(6.9) EC2]
 Vrd,s Shear resistance [kN] by stirrups [(6.8) EC2]
 Zm Main weighted inner lever arm [cm] of strips orthogonal to neutral axis:
 are not included strips without an extreme compressed.
 The weights are constituted by the length of lever arm for each strips.
 Dm Main weighted effective depth [cm] of strips orthogonal to neutral axis.
 bw Mean weighted shear width [cm] misurate parallel to the neutral axis =
 = ratio of area of resistant strips to Zmed value
 Ctg Cot of angle between the inclined concrete struts and beam axis (§6.2.3(1) EC2)
 Ast Area of hoops+cross-ties strictly necessary for shear force[cm²/m]
 A.Eff Effective Area of hoops+cross-ties in the shear direction in current comb. [cm²/m]

Comb.	Check	Ved	Vrd,max	Vrd,s	Zm Dm	bw	Ctg	Ast	A.Eff
-------	-------	-----	---------	-------	-------	----	-----	-----	-------

 ITALFERR GRUPPO FERROVIE DELLO STATO ITALIANE	DIRETTRICE FERROVIARIA MESSINA - CATANIA - PALERMO NUOVO COLLEGAMENTO PALERMO - CATANIA PROGETTO DEFINITIVO VI07 - Viadotto ferroviario a Doppio binario					
	<i>Progetto definitivo</i> <i>Relazione di calcolo delle Opere Provisionali</i>	COMMESSA RS3U	LOTTO 40	CODIFICA D09CL	DOCUMENTO VI0703001	REV. B

1 OK 335.99 1391.90 593.99 90.6|100.7 60.5 2.50 ---- 3.8 6.7

SLS CHARACTERISTIC COMBINATIONS - STRESS LIMITATION [§ 7.2 EC2]

Tension in concrete:	Considered if not less than $-f_{ctm}$
Check	Result of Check
Reg	Number of current concrete sub-region of the cross section
Sc max (Sc lim)	Max compressive stress (+) in concrete [Mpa]. Code limit stress Sc lim is shown between brackets
Xc max, Yc max	X-coordinae, Y-coordinate [cm] of concrete vertex corresponding to Sc max (reference X,Y,O)
Ss min (Ss lim)	Min stress (- if tensile) in steel bars [Mpa]. Code limit stress is shown between brackets
Xs min, Ys min	X-coordinae, Y-coordinate [cm] of bar corresponding to Ss min (reference X,Y,O)
Ac eff	Effective tension area [cm ²] that is the area of concrete surrounding the tension reinforcement (for crack width control)
As eff	Area of tension steel bars [cm ²] within Ac eff (for crack width control)
r eff	Geometrical ratio $Ac\ eff/As\ eff$ [eq.(7.10) Ec2]

NComb	Reg	Check	Sc max	Xc max	Yc max	Ss min	Xs min	Ys min	Ac eff	As eff	r eff
1	1	OK	6.71 (12.0)	50.0	60.0	-225.4 (360.0)	-42.5	7.0	1430	31.7	0.022

SLS CHARACTERISTIC - CRACK WIDTH [§ 7.3.4 EC2]

Check	Section is assumed cracked if flexural tensile stress exceeds f_{ctm} in at least one combination
e1	Greater concrete tensile strain (tension is -) assessed in cracked section
e2	Lesser concrete tensile strain within the entire section (tension is -) assessed in cracked section
k1	= 0.8 high bond bars assigned [see eq.(7.11) EC2]
kt	= 0.6 for frequent and characteristic SLS; = 0.4 for q.perm SLS [see eq.(7.9) EC2]
k2	= 0.5 for bending; $=(e1 + e2)/(2*e1)$ for eccentric tension [see eq.(7.13) EC2]
k3	= 3.400 Coeff. in eq. (7.11) according to national annex
k4	= 0.425 Coeff. in eq. (7.11) according to national annex
Ø	Bar diameter [mm] or equivalent diameter of tensile bars in Ac eff [eq.(7.11)]
e sm - e cm	Difference between the mean strain of tensile steel and concrete [eq.(7.8)] Between brackets: Minimum value of eq.(7.9) = $0.6\ S_{max} / E_s$
sr max	Max final crack [mm] spacing
wk	Calculated value [mm] of crack width = $sr\ max*(e\ sm - e\ cm)$ [eq.(7.8)]. Limit value of wk is shown between brackets
MX crack	First cracking bending moment around X axis[kNm]
MY crack	First cracking bending moment around Y axis[kNm]

Comb.	Check	e1	e2	k2	Ø	e sm - e cm	sr max	wk	Mx crack	My crack
1	OK	-0.00126	0	0.500	24.0	0.00078 (0.00068)	381	0.299	0.00	298.82

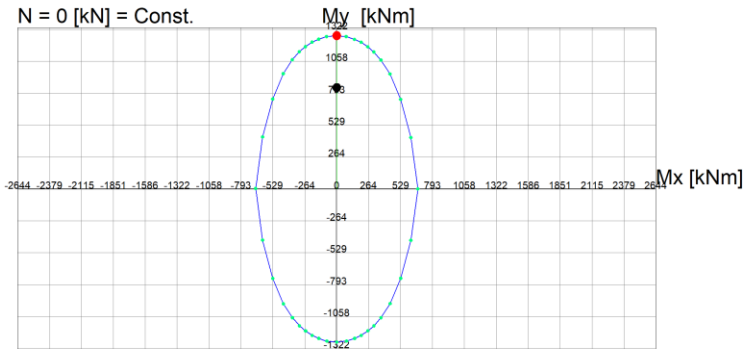
 <p>ITALFERR GRUPPO FERROVIE DELLO STATO ITALIANE</p>	<p>DIRETTRICE FERROVIARIA MESSINA - CATANIA - PALERMO NUOVO COLLEGAMENTO PALERMO - CATANIA PROGETTO DEFINITIVO VI07 - Viadotto ferroviario a Doppio binario</p>					
	<p>Progetto definitivo</p> <p>Relazione di calcolo delle Opere Provisionali</p>	<p>COMMESSA</p> <p>RS3U</p>	<p>LOTTO</p> <p>40</p>	<p>CODIFICA</p> <p>D09CL</p>	<p>DOCUMENTO</p> <p>VI0703001</p>	<p>REV.</p> <p>B</p>

STRENGTH DOMAIN Mx-My (ULTIMATE LIMIT STATE)

Section name: VI07-L4_SPB cordolo.secEC

File path: C:\Alessandro\LAVORI ALESSANDRO\IEDINITF-Pa-CT\GEOTEAM\Davide\lotto 4\paratie VI07\verifiche strutturali\VI07-L4_SPB cordolo.secEC

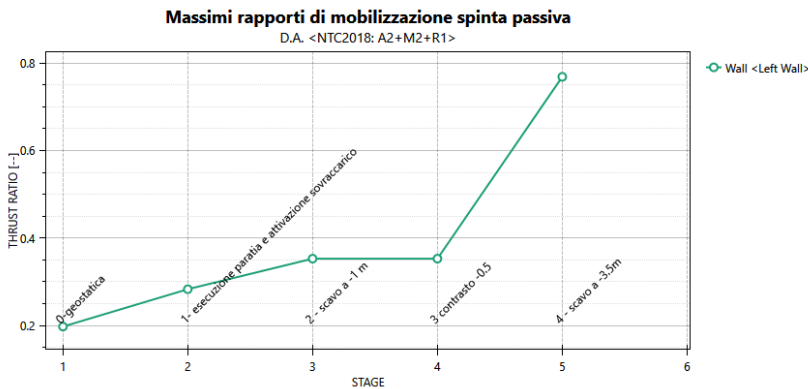
N = 0 [kN] = Const.



Grid spacing moments Mx, My = 264 kNm

17.4 Verifica SLU-GEO della paratia (combinazione A2+M2+R1)

Il massimo rapporto di mobilitazione della spinta passiva è circa il 77%



STAGE THRUST_RATIO [--]

1	0.198
2	0.283
3	0.353
4	0.353
5	0.768

 ITALFERR GRUPPO FERROVIE DELLO STATO ITALIANE	DIRETTRICE FERROVIARIA MESSINA - CATANIA - PALERMO NUOVO COLLEGAMENTO PALERMO - CATANIA PROGETTO DEFINITIVO VI07 - Viadotto ferroviario a Doppio binario					
	<i>Progetto definitivo</i> <i>Relazione di calcolo delle Opere Provisionali</i>	COMMESSA RS3U	LOTTO 40	CODIFICA D09CL	DOCUMENTO VI0703001	REV. B

18. VERIFICA SLU – UPL

Il § 6.2.4.2. del DM 17.01.2018 specifica che le opere geotecniche devono essere verificate, ove ricorrano le condizioni, anche che nei riguardi di possibili stati limite di sollevamento o di sifonamento.

A tal fine, nella valutazione delle pressioni interstiziali e delle quote piezometriche caratteristiche, si devono assumere le condizioni più sfavorevoli, considerando i possibili effetti delle condizioni stratigrafiche.

Per la stabilità al sollevamento deve risultare che il valore di progetto dell'azione instabilizzante ($V_{inst,d}$) ovvero della risultante delle pressioni idrauliche ottenuta considerando separatamente la parte permanente ($G_{inst,d}$) e quella variabile ($Q_{inst,d}$), sia non maggiore della combinazione dei valori di progetto delle azioni stabilizzanti ($G_{stb,d}$) e delle resistenze (R_d), ovvero:

$$V_{inst,d} \leq G_{stb,d} + R_d \quad [6.2.4]$$

$$V_{inst,d} = G_{inst,d} + Q_{inst,d} \quad [6.2.5]$$

Per le verifiche di stabilità al sollevamento, i relativi coefficienti parziali sulle azioni sono indicati nella Tab. 6.2.III.

Tab. 6.2.III – Coefficienti parziali sulle azioni per le verifiche nei confronti di stati limite di sollevamento

	Effetto	Coefficiente Parziale γ_F (o γ_E)	Sollevamento (UPL)
Carichi permanenti G_1	Favorevole	γ_{G1}	0,9
	Sfavorevole		1,1
Carichi permanenti $G_2^{(1)}$	Favorevole	γ_{G2}	0,8
	Sfavorevole		1,5
Azioni variabili Q	Favorevole	γ_{Q1}	0,0
	Sfavorevole		1,5

⁽¹⁾ Per i carichi permanenti G_2 si applica quanto indicato alla Tabella 2.6.I. Per la spinta delle terre si fa riferimento ai coefficienti γ_{G1}

Al fine del calcolo della resistenza di progetto R_d , tali coefficienti devono essere combinati in modo opportuno con quelli relativi ai parametri geotecnici (M2).

	DIRETTRICE FERROVIARIA MESSINA - CATANIA - PALERMO NUOVO COLLEGAMENTO PALERMO - CATANIA PROGETTO DEFINITIVO VI07 - Viadotto ferroviario a Doppio binario					
	<i>Progetto definitivo</i> <i>Relazione di calcolo delle Opere Provisionali</i>	COMMESSA RS3U	LOTTO 40	CODIFICA D09CL	DOCUMENTO VI0703001	REV. B

Ove necessario, il calcolo della resistenza va eseguito in accordo a quanto indicato negli specifici paragrafi della normativa dedicata alle fondazioni su pali e per gli ancoraggi.

In presenza di scavi a valle di opere di sostegno di terreni in falda, quando il piano finale di scavo da progetto è inferiore al livello della falda in sito, si configurano due potenziali meccanismi di instabilità della zona a valle delle opere, e che vanno indagati, ovvero :

- Instabilità del fondo scavo per “sifonamento”
- Instabilità del fondo scavo per “sollevamento”

I fenomeni sono legati essenzialmente ai processi di filtrazione che si innescano verso la zona di fondo scavo a completamento degli scavi, che avvengono “a breve termine” per terreni a grana grossa, ovvero a “lungo termine” per terreni a grana fine, o comunque, in quest’ultimo caso, alla sovrappressione di tipo idrostatico che agisce a piede del cuneo di terreno potenzialmente instabile immediatamente a ridosso dell’opera. Terzaghi ha osservato che il fenomeno di instabilità si estende a tutta la profondità D di infissione dell’opera, per una larghezza pari a $D/2$ e che l’andamento delle sovrappressioni interstiziali, secondo lo schema grafico di figura seguente:

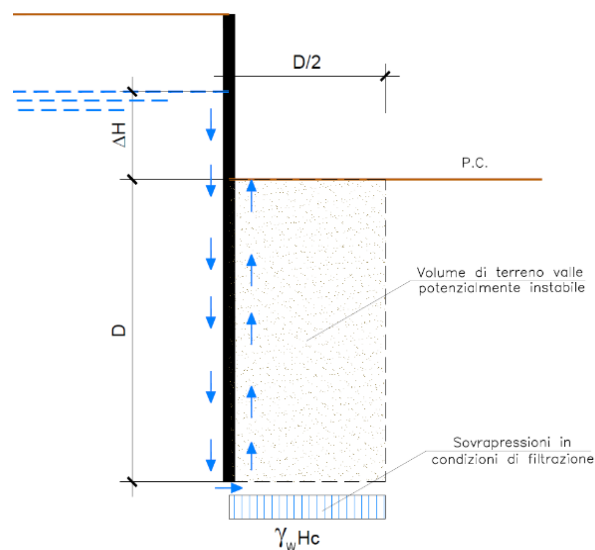


Figura 33: Schema di filtrazione per effetto di scavi sotto falda a valle di opere di sostegno

	DIRETTRICE FERROVIARIA MESSINA - CATANIA - PALERMO NUOVO COLLEGAMENTO PALERMO - CATANIA PROGETTO DEFINITIVO VI07 - Viadotto ferroviario a Doppio binario					
	<i>Progetto definitivo</i> <i>Relazione di calcolo delle Opere Provisionali</i>	COMMESSA RS3U	LOTTO 40	CODIFICA D09CL	DOCUMENTO VI0703001	REV. B

In prima approssimazione, nell'ipotesi di mezzo omogeneo, il valore della sovrappressione H_c al piede del diaframma si può ipotizzare sia costante per una larghezza $D/2$ e pari ad $\gamma_w \cdot H_c$, dove H_c si ricava dall'equazione: $H_c = i_e D$ essendo i_e il gradiente idraulico medio lungo il percorso di filtrazione, valutabile in via semplificata come di seguito: $i_e = \Delta H / (\Delta H + 2D)$ e quindi:

$$H_c = (\Delta H D) / (\Delta H + 2D).$$

In questa condizione, il fattore di sicurezza "al sollevamento", può essere espresso, a meno dei coefficienti parziali da applicare alle azioni stabilizzanti ed destabilizzanti prescritte dalla normativa come già definiti, può essere espresso come segue:

$$FS = \frac{W'}{S_w} = \frac{\gamma' \cdot D \cdot D / 2}{\gamma_w \cdot H_c \cdot D / 2} = \frac{\gamma' \cdot D}{\gamma_w \cdot H_c}$$

Ovvero, tenendo conto delle espressioni precedenti, in termini di gradienti idraulici : $FS = i_c / i_E$, avendo posto:

$i_c = \gamma' / \gamma_w$ (gradiente idraulico critico)

$i_e = H_c / D$ (gradiente idraulico medio)

In aggiunta al meccanismo di sollevamento, la normativa prescrive di effettuare verifiche specifiche nei riguardi del rischio di "sifonamento", che riguarda specificamente le condizioni di filtrazione che si innescano a valle degli scavi, per effetto dei quali, a seguito dell'incremento delle pressioni interstiziali nella zona di valle, si può determinare un annullamento delle tensioni verticali efficaci e quindi la completa perdita di resistenza del terreno che determina un trasporto delle particelle da parte dell'acqua in movimento, dando origine ad un fenomeno progressivo di erosione che conduce al collasso della struttura del terreno.

Si definisce fattore di sicurezza globale nei confronti del sifonamento il rapporto tra il gradiente idraulico critico e quello che si ha in esercizio ossia: $FS = i_c / i_E$

dove i_c ed i_E assumono le espressioni già definite in precedenza.

<i>Progetto definitivo</i>	COMMESSA	LOTTO	CODIFICA	DOCUMENTO	REV.	FOGLIO
<i>Relazione di calcolo delle Opere Provisionali</i>	RS3U	40	D09CL	VI0703001	B	167 di 171

VERIFICA A SIFONAMENTO FONDO SCAVO

In condizioni di flusso prevalentemente verticale:

- nel caso di frontiera di efflusso libera, la verifica a sifonamento si esegue controllando che il gradiente idraulico i risulti non superiore al gradiente idraulico critico i_c diviso per un coefficiente parziale $\gamma_R = 3$, se si assume come effetto delle azioni il gradiente idraulico medio, e per un coefficiente parziale $\gamma_R = 2$ nel caso in cui si consideri il gradiente idraulico di efflusso;
- in presenza di un carico imposto sulla frontiera di efflusso, la verifica si esegue controllando che la pressione interstiziale in eccesso rispetto alla condizione idrostatica risulti non superiore alla tensione verticale efficace calcolata in assenza di filtrazione, divisa per un coefficiente parziale $\gamma_R = 2$.

In tutti gli altri casi il progettista deve valutare gli effetti delle forze di filtrazione e garantire adeguati livelli di sicurezza, da prefissare e giustificare esplicitamente.

Si riportano i risultati delle verifiche.

18.1 Sezione di calcolo per scavi della pila P2 & P15

$\Delta H =$	1.7	m	(differenza di carico rispetto al fondo scavo)	
$D =$	7.5	m	(infissione paratia/lunghezza parte infissa colonna intasamento jet-grouting)	
$\gamma' =$	10	kN/m ³		
$\gamma_w =$	10	kN/m ³	(peso di volume acqua)	
$\gamma_{G1} =$	0.9		(coefficiente parziale azioni permanenti favorevoli)	
$\gamma_f =$	0.9		(coefficiente parziale resistenze)	
$G_{stb,d} =$	253	kN/m	$\gamma_{G1} \cdot (\gamma' \cdot D \cdot D / 2)$	
$R_k =$	0	kN/m	(resistenza, valore caratteristico)	
$R_d =$	0	kN/m	(resistenza, valore di progetto)	
$A_{stb,d} =$	253	kN/m	(azione stabilizzante compressiva, valore caratteristico)	
$\gamma_{G1} =$	1.1		(coefficiente parziale azioni permanenti sfavorevoli)	
$H_c =$	0.76	m	(sovrappressione idrodinamica espressa in metri d'acqua)	$H_c = (\Delta H \cdot D) / (\Delta H + 2D)$
$A_{instb,d} =$	31.5	kN/m		
$i_e =$	0.102		(gradiente idraulico medio lungo il percorso di filtrazione)	
$FS =$	8.04		$FS = \frac{W'}{S_w} = \frac{\gamma' \cdot D \cdot D / 2}{\gamma_w \cdot H_c \cdot D / 2} = \frac{\gamma' \cdot D}{\gamma_w \cdot H_c}$	VERIFICA SODDISFATTA
			(fattore di sicurezza al sollevamento del fondo scavo)	

 ITALFERR GRUPPO FERROVIE DELLO STATO ITALIANE	DIRETTRICE FERROVIARIA MESSINA - CATANIA - PALERMO NUOVO COLLEGAMENTO PALERMO - CATANIA PROGETTO DEFINITIVO VI07 - Viadotto ferroviario a Doppio binario					
	<i>Progetto definitivo</i> <i>Relazione di calcolo delle Opere</i> <i>Provisionali</i>	COMMESSA RS3U	LOTTO 40	CODIFICA D09CL	DOCUMENTO VI0703001	REV. B

18.2 Sezione di calcolo per scavi della pila P8

$\Delta H =$	6.5	m	(differenza di carico rispetto al fondo scavo)		
$D =$	7	m	(infissione paratia/lunghezza parte infissa colonna intasamento jet-grouting)		
$\gamma' =$	10	kN/m ³		$L_{colonna,jet} (m) =$	14.5
$\gamma_w =$	10	kN/m ³	(peso di volume acqua)		
$\gamma_{G1} =$	0.9		(coefficiente parziale azioni permanenti favorevoli)		
$\gamma_f =$	0.9		(coefficiente parziale resistenze)		
$G_{stb,d} =$	221	kN/m	$\gamma_{G1} \cdot (\gamma' \cdot D \cdot D / 2)$		
$R_k =$	0	kN/m	(resistenza, valore caratteristico)		
$R_d =$	0	kN/m	(resistenza, valore di progetto)		
$A_{stb,d} =$	221	kN/m	(azione stabilizzante complessiva, valore caratteristico)		
$\gamma_{G1} =$	1.1		(coefficiente parziale azioni permanenti sfavorevoli)		
$H_c =$	2.22	m	(sovrappressione idrodinamica espressa in metri d'acqua)	$H_c = (\Delta H \cdot D) / (\Delta H + 2D)$	
$A_{instb,d} =$	85.5	kN/m			
$i_e =$	0.317		(gradiente idraulico medio lungo il percorso di filtrazione)		
$FS =$	2.58		$FS = \frac{W'}{S_w} = \frac{\gamma' \cdot D \cdot D / 2}{\gamma_w \cdot H_c \cdot D / 2} = \frac{\gamma' \cdot D}{\gamma_w \cdot H_c}$		VERIFICA SODDISFATTA
			(fattore di sicurezza al sollevamento del fondo scavo)		

18.3 Sezione di calcolo per scavi della pila P9 & P11

$\Delta H =$	6	m	(differenza di carico rispetto al fondo scavo)		
$D =$	7	m	(infissione paratia/lunghezza parte infissa colonna intasamento jet-grouting)		
$\gamma' =$	10	kN/m ³		$L_{colonna,jet} (m) =$	14
$\gamma_w =$	10	kN/m ³	(peso di volume acqua)		
$\gamma_{G1} =$	0.9		(coefficiente parziale azioni permanenti favorevoli)		
$\gamma_f =$	0.9		(coefficiente parziale resistenze)		
$G_{stb,d} =$	221	kN/m	$\gamma_{G1} \cdot (\gamma' \cdot D \cdot D / 2)$		
$R_k =$	0	kN/m	(resistenza, valore caratteristico)		
$R_d =$	0	kN/m	(resistenza, valore di progetto)		
$A_{stb,d} =$	221	kN/m	(azione stabilizzante complessiva, valore caratteristico)		
$\gamma_{G1} =$	1.1		(coefficiente parziale azioni permanenti sfavorevoli)		
$H_c =$	2.10	m	(sovrappressione idrodinamica espressa in metri d'acqua)	$H_c = (\Delta H \cdot D) / (\Delta H + 2D)$	
$A_{instb,d} =$	80.9	kN/m			
$i_e =$	0.300		(gradiente idraulico medio lungo il percorso di filtrazione)		
$FS =$	2.73		$FS = \frac{W'}{S_w} = \frac{\gamma' \cdot D \cdot D / 2}{\gamma_w \cdot H_c \cdot D / 2} = \frac{\gamma' \cdot D}{\gamma_w \cdot H_c}$		VERIFICA SODDISFATTA
			(fattore di sicurezza al sollevamento del fondo scavo)		

 ITALFERR GRUPPO FERROVIE DELLO STATO ITALIANE	DIRETTRICE FERROVIARIA MESSINA - CATANIA - PALERMO NUOVO COLLEGAMENTO PALERMO - CATANIA PROGETTO DEFINITIVO VI07 - Viadotto ferroviario a Doppio binario					
	<i>Progetto definitivo</i> <i>Relazione di calcolo delle Opere Provisionali</i>	COMMESSA RS3U	LOTTO 40	CODIFICA D09CL	DOCUMENTO VI0703001	REV. B

18.4 Sezione di calcolo per scavi della pila P12

$\Delta H =$	5.1	m	(differenza di carico rispetto al fondo scavo)	
$D =$	10.9	m	(infissione paratia/lunghezza parte infissa colonna intasamento jet-grouting)	
$\gamma' =$	10	kN/m ³		
$\gamma_w =$	10	kN/m ³	(peso di volume acqua)	
$\gamma_{G1} =$	0.9		(coefficiente parziale azioni permanenti favorevoli)	
$\gamma_f =$	0.9		(coefficiente parziale resistenze)	
$G_{sb,d} =$	535	kN/m	$\gamma_{G1} \cdot (\gamma' \cdot D \cdot D / 2)$	
$R_k =$	0	kN/m	(resistenza, valore caratteristico)	
$R_d =$	0	kN/m	(resistenza, valore di progetto)	
$A_{sb,d} =$	535	kN/m	(azione stabilizzante complessiva, valore caratteristico)	
$\gamma_{G1} =$	1.1		(coefficiente parziale azioni permanenti sfavorevoli)	
$H_c =$	2.07	m	(sovrappressione idrodinamica espressa in metri d'acqua)	$H_c = (\Delta H \cdot D) / (\Delta H + 2D)$
$A_{n, sb,d} =$	123.9	kN/m		
$i_e =$	0.190		(gradiente idraulico medio lungo il percorso di filtrazione)	
$FS =$	4.32		$FS = \frac{W'}{S_w} = \frac{\gamma' \cdot D \cdot D / 2}{\gamma_w \cdot H_c \cdot D / 2} = \frac{\gamma' \cdot D}{\gamma_w \cdot H_c}$ (fattore di sicurezza al sollevamento del fondo scavo)	VERIFICA SODDISFATTA

18.5 Sezione di calcolo per scavi della pila P13-P14

$\Delta H =$	3.8	m	(differenza di carico rispetto al fondo scavo)	
$D =$	8.2	m	(infissione paratia/lunghezza parte infissa colonna intasamento jet-grouting)	
$\gamma' =$	10	kN/m ³		
$\gamma_w =$	10	kN/m ³	(peso di volume acqua)	
$\gamma_{G1} =$	0.9		(coefficiente parziale azioni permanenti favorevoli)	
$\gamma_f =$	0.9		(coefficiente parziale resistenze)	
$G_{sb,d} =$	303	kN/m	$\gamma_{G1} \cdot (\gamma' \cdot D \cdot D / 2)$	
$R_k =$	0	kN/m	(resistenza, valore caratteristico)	
$R_d =$	0	kN/m	(resistenza, valore di progetto)	
$A_{sb,d} =$	303	kN/m	(azione stabilizzante complessiva, valore caratteristico)	
$\gamma_{G1} =$	1.1		(coefficiente parziale azioni permanenti sfavorevoli)	
$H_c =$	1.54	m	(sovrappressione idrodinamica espressa in metri d'acqua)	$H_c = (\Delta H \cdot D) / (\Delta H + 2D)$
$A_{n, sb,d} =$	69.6	kN/m		
$i_e =$	0.188		(gradiente idraulico medio lungo il percorso di filtrazione)	
$FS =$	4.35		$FS = \frac{W'}{S_w} = \frac{\gamma' \cdot D \cdot D / 2}{\gamma_w \cdot H_c \cdot D / 2} = \frac{\gamma' \cdot D}{\gamma_w \cdot H_c}$ (fattore di sicurezza al sollevamento del fondo scavo)	VERIFICA SODDISFATTA

 ITALFERR GRUPPO FERROVIE DELLO STATO ITALIANE	DIRETTRICE FERROVIARIA MESSINA - CATANIA - PALERMO NUOVO COLLEGAMENTO PALERMO - CATANIA PROGETTO DEFINITIVO VI07 - Viadotto ferroviario a Doppio binario					
	<i>Progetto definitivo</i> <i>Relazione di calcolo delle Opere Provisionali</i>	COMMESSA RS3U	LOTTO 40	CODIFICA D09CL	DOCUMENTO VI0703001	REV. B

18.6 Sezione di calcolo per scavi della pila P18

$\Delta H =$	5.9	m	(differenza di carico rispetto al fondo scavo)		
$D =$	10.1	m	(infissione paratia/lunghezza parte infissa colonna intasamento jet-grouting)		
$\gamma' =$	10	kN/m ³			
$\gamma_w =$	10	kN/m ³	(peso di volume acqua)		
$\gamma_{G1} =$	0.9		(coefficiente parziale azioni permanenti favorevoli)		
$\gamma_f =$	0.9		(coefficiente parziale resistenze)		
$G_{sb,d} =$	459	kN/m	$\gamma_{G1} \cdot (\gamma' \cdot D \cdot D / 2)$		
$R_k =$	0	kN/m	(resistenza, valore caratteristico)		
$R_d =$	0	kN/m	(resistenza, valore di progetto)		
$A_{sb,d} =$	459	kN/m	(azione stabilizzante complessiva, valore caratteristico)		
$\gamma_{G1} =$	1.1		(coefficiente parziale azioni permanenti sfavorevoli)		
$H_c =$	2.28	m	(sovrappressione idrodinamica espressa in metri d'acqua)	$H_c = (\Delta H \cdot D) / (\Delta H + 2D)$	
$A_{n\text{stb},d} =$	126.8	kN/m			
$i_e =$	0.226		(gradiente idraulico medio lungo il percorso di filtrazione)		
$FS =$	3.62		$FS = \frac{W'}{S_w} = \frac{\gamma' \cdot D \cdot D / 2}{\gamma_w \cdot H_c \cdot D / 2} = \frac{\gamma' \cdot D}{\gamma_w \cdot H_c}$ (fattore di sicurezza al sollevamento del fondo scavo)	VERIFICA SODDISFATTA	

18.7 Sezione di calcolo per scavi della pila P19-P21

$\Delta H =$	4	m	(differenza di carico rispetto al fondo scavo)		
$D =$	11	m	(infissione paratia/lunghezza parte infissa colonna intasamento jet-grouting)		
$\gamma' =$	10	kN/m ³			
$\gamma_w =$	10	kN/m ³	(peso di volume acqua)		
$\gamma_{G1} =$	0.9		(coefficiente parziale azioni permanenti favorevoli)		
$\gamma_f =$	0.9		(coefficiente parziale resistenze)		
$G_{sb,d} =$	545	kN/m	$\gamma_{G1} \cdot (\gamma' \cdot D \cdot D / 2)$		
$R_k =$	0	kN/m	(resistenza, valore caratteristico)		
$R_d =$	0	kN/m	(resistenza, valore di progetto)		
$A_{sb,d} =$	545	kN/m	(azione stabilizzante complessiva, valore caratteristico)		
$\gamma_{G1} =$	1.1		(coefficiente parziale azioni permanenti sfavorevoli)		
$H_c =$	1.69	m	(sovrappressione idrodinamica espressa in metri d'acqua)	$H_c = (\Delta H \cdot D) / (\Delta H + 2D)$	
$A_{n\text{stb},d} =$	102.4	kN/m			
$i_e =$	0.154		(gradiente idraulico medio lungo il percorso di filtrazione)		
$FS =$	5.32		$FS = \frac{W'}{S_w} = \frac{\gamma' \cdot D \cdot D / 2}{\gamma_w \cdot H_c \cdot D / 2} = \frac{\gamma' \cdot D}{\gamma_w \cdot H_c}$ (fattore di sicurezza al sollevamento del fondo scavo)	VERIFICA SODDISFATTA	

 ITALFERR GRUPPO FERROVIE DELLO STATO ITALIANE	DIRETTRICE FERROVIARIA MESSINA - CATANIA - PALERMO NUOVO COLLEGAMENTO PALERMO - CATANIA PROGETTO DEFINITIVO VI07 - Viadotto ferroviario a Doppio binario					
	<i>Progetto definitivo</i> <i>Relazione di calcolo delle Opere Provisionali</i>	COMMESSA RS3U	LOTTO 40	CODIFICA D09CL	DOCUMENTO VI0703001	REV. B

18.8 Sezione di calcolo per scavi della pila P22-P25

$\Delta H =$	4	m	(differenza di carico rispetto al fondo scavo)	
$D =$	9	m	(infissione paratia/lunghezza parte infissa colonna intasamento jet-grouting)	
$\gamma' =$	10	kN/m ³		
$\gamma_w =$	10	kN/m ³	(peso di volume acqua)	
$\gamma_{G1} =$	0.9		(coefficiente parziale azioni permanenti favorevoli)	
$\gamma_f =$	0.9		(coefficiente parziale resistenze)	
$G_{sb,d} =$	365	kN/m	$\gamma_{G1} \cdot (\gamma' \cdot D \cdot D/2)$	
$R_k =$	0	kN/m	(resistenza, valore caratteristico)	
$R_d =$	0	kN/m	(resistenza, valore di progetto)	
$A_{sb,d} =$	365	kN/m	(azione stabilizzante complessiva, valore caratteristico)	
$\gamma_{G1} =$	1.1		(coefficiente parziale azioni permanenti sfavorevoli)	
$H_c =$	1.64	m	(sovrappressione idrodinamica espressa in metri d'acqua)	$H_c = (\Delta H \cdot D) / (\Delta H + 2D)$
$A_{n\text{stb},d} =$	81.0	kN/m		
$i_e =$	0.182		(gradiente idraulico medio lungo il percorso di filtrazione)	
$FS =$	4.50		$FS = \frac{W'}{S_w} = \frac{\gamma' \cdot D \cdot D/2}{\gamma_w \cdot H_c \cdot D/2} = \frac{\gamma' \cdot D}{\gamma_w \cdot H_c}$ (fattore di sicurezza al sollevamento del fondo scavo)	VERIFICA SODDISFATTA

18.9 Sezione di calcolo per scavi della Spalla B

$\Delta H =$	3	m	(differenza di carico rispetto al fondo scavo)	
$D =$	4	m	(infissione paratia/lunghezza parte infissa colonna intasamento jet-grouting)	
$\gamma' =$	10	kN/m ³		$L_{\text{colonna,jet}} \text{ (m)} = 8$
$\gamma_w =$	10	kN/m ³	(peso di volume acqua)	
$\gamma_{G1} =$	0.9		(coefficiente parziale azioni permanenti favorevoli)	
$\gamma_f =$	0.9		(coefficiente parziale resistenze)	
$G_{sb,d} =$	72	kN/m	$\gamma_{G1} \cdot (\gamma' \cdot D \cdot D/2)$	
$R_k =$	0	kN/m	(resistenza, valore caratteristico)	
$R_d =$	0	kN/m	(resistenza, valore di progetto)	
$A_{sb,d} =$	72	kN/m	(azione stabilizzante complessiva, valore caratteristico)	
$\gamma_{G1} =$	1.1		(coefficiente parziale azioni permanenti sfavorevoli)	
$H_c =$	1.09	m	(sovrappressione idrodinamica espressa in metri d'acqua)	$H_c = (\Delta H \cdot D) / (\Delta H + 2D)$
$A_{n\text{stb},d} =$	24.0	kN/m		
$i_e =$	0.273		(gradiente idraulico medio lungo il percorso di filtrazione)	
$FS =$	3.00		$FS = \frac{W'}{S_w} = \frac{\gamma' \cdot D \cdot D/2}{\gamma_w \cdot H_c \cdot D/2} = \frac{\gamma' \cdot D}{\gamma_w \cdot H_c}$ (fattore di sicurezza al sollevamento del fondo scavo)	VERIFICA SODDISFATTA